

Космометрия

(от веры к осознанию)

Часть первая

о мирозданиях, пространствах и элементарных частицах

© Иван Дмитриевич Станев 2012г.

Николаев, 54017, Украина

E-mail: stanev50@mail.ru

Аннотация

Целью данных теоретических исследований является решение некоторых важных научных проблем космологии и микромира. В аспекте данных исследований, автору удалось получить следующие научные результаты:

Представлена и исследована система Мирозданий, и найдено место «нашей» Вселенной в этой системе. Предложено новое определение эфилона (частицы нулевого уровня). Раскрыта сущность и свойства эфилона. Предложена и определена динамическая субстанция эфира, управляющая эфилонами и всеми процессами во Вселенной. Предложен и исследован механизм управления Вселенскими процессами. Открыты и определены ранее неизвестные науке элементарные частицы. Раскрыта сущность и структура процессов первого уровня (основ лептонов и гравитона), процессов второго уровня (лептонов и гравитона), процессов третьего уровня (нейтрона и протона) и процесса четвёртого уровня (атома гелия). Исследовано и определено электрическое, магнитное и гравитационное поле. Предложено новое явление - **слабый гравиелектрический эффект** (название введено автором). Исследованы механизмы взаимодействий, предложен вариант Суперобъединения фундаментальных взаимодействий. Определена и раскрыта сущность, структура и свойства пространства Вселенной.

В результате вышеперечисленных исследований проявилась сущность ряда загадочных явлений природы. Например, выявлен источник магнитных полей небесных тел, выявлена причина ускоренного расширения Вселенной. Данные исследования объясняют и другие загадки природы.

Ключевые слова

Природа нейтрино. Природа позитрона. Природа гравитона. Природа эфира. Природа эфилона. Структура нейтрино. Структура позитрона. Структура электрона. Структура гравитона. Структура лептонов. Структура пространства. Структура вакуума. Сущность нейтрино. Сущность позитрона. Сущность эфилона. Сущность эфира. Сущность гравитона. Сущность вакуума. Сущность пространства. Сущность Вселенной. Сущность гравитации. Сущность взаимодействий. Сущность материи. Сущность энергии. Механизм гравитации. Механизмы взаимодействий.

ОГЛАВЛЕНИЕ:

<i>ВВЕДЕНИЕ</i>	3
ГЛАВА 1 МАТРИЦА МИРОЗДАНИЙ 5	
1.1 <i>ОСНОВНЫЕ ПОНЯТИЯ</i>	5
1.2 <i>ПРИНЦИПИАЛЬНАЯ СХЕМА МАТРИЦЫ МИРОЗДАНИЙ</i>	9
ГЛАВА 2 САМБАТЭРПРОСТРАНСТВО 17	
2.1 <i>ОСНОВНЫЕ ПОНЯТИЯ</i>	17
2.2 <i>СТРУКТУРА САМБАТЭРПРОСТРАНСТВА</i>	17
2.3 <i>ЭФИРНАЯ ИНФОРМАЦИЯ И ЕЁ РОЛЬ В ОРГАНИЗАЦИИ САМ-БАТЭРЫ</i>	20
2.4 <i>ЭФИКСАТОРЫ САМБАТЭРПРОСТРАНСТВА</i>	22
2.5 <i>СВОЙСТВА ЭФИРОНОВ САМБАТЭРПРОСТРАНСТВА</i>	25
ГЛАВА 3 ВСЕОБРАЗУЮЩИЙ ЭЛЕМЕНТАРНЫЙ ПРОЦЕСС САМ-БАТЭРЫ (ВЭПС) 32	
3.1 <i>АНАЛИЗ СТРУКТУРЫ ВЭПСА</i>	32
3.2 <i>ГЕОМЕТРИЧЕСКИЕ ХАРАКТЕРИСТИКИ ВЭПСА</i>	32
3.3 <i>АНАЛИЗ ДИНАМИКИ ВЭПСА</i>	37
3.4 <i>ПОЛЯ СМЕЩЕНИЙ РАВНОМЕРНО ДВИЖУЩИХСЯ ВЭПСБЛОКОВ</i>	42
ГЛАВА 4 СТАБИЛЬНЫЙ ЭЛЕМЕНТАРНЫЙ ПРОЦЕСС САМ-БАТЭРЫ (СЭПС) 47	
4.1 <i>СПОНТАННАЯ ВСТРЕЧА</i>	47
4.2 <i>АНАЛИЗ СЭПСА</i>	51
4.3 <i>МОНОСЭПСЫ</i>	68
ГЛАВА 5 ГРАВИТАЦИОННЫЕ ВЗАИМОДЕЙСТВИЯ В САМ-БАТЭРЕ 73	
5.1 <i>ГЕОМЕТРИЯ ОДИСФЕЙПРОСТРАНСТВА</i>	73
5.2 <i>ГЕОМЕТРИЧЕСКИЕ И ДИНАМИЧЕСКИЕ ХАРАКТЕРИСТИКИ СЭПСОВ</i>	75
5.3 <i>ГРАВИТОН</i>	77
5.4 <i>МЕХАНИЗМ ГРАВИТАЦИОННЫХ ВЗАИМОДЕЙСТВИЙ</i>	80
5.5 <i>ИНЕРЦИЯ ЦЕНТРАЛЬНЫХ ПОЛЕЙ</i>	91
5.6 <i>СЛАБЫЙ ГРАВИЭЛЕКТРИЧЕСКИЙ ЭФФЕКТ</i>	96
ГЛАВА 6 СИЛЬНЫЕ И СЛАБЫЕ ВЗАИМОДЕЙСТВИЯ 99	
6.1 <i>МУЛЬТИСЭПСОВЫЕ ПРОЦЕССЫ</i>	99
6.2 <i>ВЗАИМОДЕЙСТВИЯ МЕЖДУ НУКЛОНАМИ</i>	102
6.3 <i>КОРОТКО О БОЛЬШОМ ВЗРЫВЕ</i>	106
ГЛАВА 7 МАГНИТНОЕ ПОЛЕ ПРЯМОЛИНЕЙНОГО ПРОВОДНИКА С ТОКОМ 108	
7.1 <i>ОБЩИЕ ОПРЕДЕЛЕНИЯ</i>	108
7.2 <i>МАГНИТНАЯ СИСТЕМА КООРДИНАТ (МСК)</i>	109
7.3 <i>СМЕЩЕНИЯ ЭФИРОНОВ В ОКРЕСТНОСТИ ПРОВОДНИКА С ТОКОМ</i>	110
7.4 <i>ПРОБНЫЕ ЗАРЯДЫ В ОКРЕСТНОСТИ ПРОВОДНИКА С ТОКОМ</i>	118
ГЛАВА 8 МАГНИТНЫЕ ПОЛЯ НЕБЕСНЫХ ТЕЛ 125	
8.1 <i>СМЕЩЕНИЯ ЭФИРОНОВ В ОКРЕСТНОСТИ ГРАВИПРОВОДНИКА С ГРАВИТОКОМ</i>	125
8.2 <i>ПОВЕДЕНИЕ ПРОБНЫХ ЗАРЯДОВ В ОКРЕСТНОСТИ ГРАВИПРОВОДНИКА С ГРАВИТОКОМ</i> ..	129
<i>ЗАКЛЮЧЕНИЕ</i>	134
<i>ПРИЛОЖЕНИЕ: СПИСОК ЭЛЕМЕНТОВ ТЕКСТА С НОВЫМИ ЗНАЧЕНИЯМИ</i>	136
<i>ЛИТЕРАТУРА:</i>	146

ВВЕДЕНИЕ

Данная работа, под общим названием «Космометрия», содержит ряд фундаментальных теоретических исследований проведенных автором с целью решения общеизвестных научных проблем космологии и физики микромира. Автору, конечно, известно, что решать проблемы физики чисто теоретическим путём в научном мире не принято, но анализируя процесс научных исследований космологии и микромира последних десятилетий, автор пришёл к выводу, что рано или поздно от этого принципа придется отказаться. Уже на современном этапе развития науки, очевидно, что чем глубже в микромир пытаются заглянуть экспериментаторы, тем дороже и менее эффективными становятся их исследования. По мнению автора такая ситуация обусловлена тем, что экспериментальная наука вплотную добралась до микрообъектов, которые находятся у самого предела, дальше которого прямые эксперименты принципиально невозможны. Следовательно, если сильно хочется за этот предел, то надо разработать новую методику для исследования элементарных частиц и самого пространства. В качестве основных инструментов для данных исследований автор использовал своё воображение, интуицию и доступную для автора информацию по физике.

Как это ни парадоксально, но данная чисто теоретическая работа сама по себе является экспериментом. Автор делает попытку найти новый более эффективный научный путь, по которому никто конкретно не шёл. Но идя этим путем, автор не ощущал полной темноты т. к. этот новый путь освещён результатом самоотверженных усилий выдающихся учёных многих поколений. При отсутствии такого освещения, автор не смог бы пройти и доли этого, чисто теоретического, пути. Поскольку сослаться сразу на всех учёных, от которых исходит это общее освещение физически невозможно, то ссылок на конкретных исследователей в данной работе практически нет. Получить чисто теоретическим путём большинство устоявшихся физических формул и других результатов, полученных экспериментальным путём, это главная цель автора. Следовательно, использовать конкретные результаты, в которых присутствует даже косвенная экспериментальная составляющая, автор не может и не использует. Но автор знает и помнит об этих результатах, т. к. они являются для него главным ориентиром. Поэтому автор просит Вас, уважаемые читатели, отбрасывать мысли о том, что он игнорирует достижения других исследователей.

С другой стороны если автору удастся теоретическим путём получить те же результаты, которые ранее были получены при помощи многих экспериментов, то очевидно, что результаты этих экспериментов подтверждают и данную гипотезу. Конечно, хочется подтвердить гипотезу автора и новыми экспериментами, но у автора нет материальной возможности проводить какие либо эксперименты, но экспериментальная проверка конкретно данных исследований возможна по многим направлениям.

Теперь перечислим более подробно все цели, которые поставил перед собой автор, приступая к данным теоретическим исследованиям:

- Провести фундаментальные исследования мироздания и разобраться со слухами о так называемых «параллельных мирах», и если они есть, то «нарисовать» их ясную картину и показать место «нашей» Вселенной в ней.
- Выяснить, как возникают Мироздания из «ничего», и в частности выяснить является ли «наша» Вселенная вечной и принципиально неуничтожимой, а если она когда-то возникла и не вечна, то выяснить механизмы её рождения и смерти и другие подробности о ней.
- Выяснить фундаментальную сущность пространства и его структуру, свойства и другие его атрибуты.
- Выяснить фундаментальную сущность времени.
- Выяснить причину ускоренного расширения Вселенной.
- Выяснить фундаментальную сущность элементарных электрических зарядов и их полей, причины и механизмы их возникновения и аннигиляции, причины и механизмы взаимодействий между зарядами.

- Найти первичную элементарную частицу «нашей» Вселенной, выяснить её структуру и механизм её возникновения и уничтожения (если она не вечна).
- Выяснить механизмы возникновения и структурную организацию элементарных вторичных частиц, и вообще прояснить организацию всей Вселенной.
- Провести структурный анализ лептонов и их стабилизирующей основы.
- Выяснить причины и механизмы, вызывающие элементарные и неэлементарные магнитные поля.
- Выяснить существует ли гравитон и если он существует, то выявить его структуру и свойства, причины и механизмы возникновения элементарного гравитационного поля, причины и механизмы гравитационных взаимодействий.
- Выяснить причины и механизмы, возникновения слабых взаимодействий.
- Привести фундаментальный анализ нуклонов, а также атомов водорода и гелия (исследование остальных атомов, молекул и макротел автор не планирует). Выявить причины и механизмы возникновения этих частиц, их структуру, причины и механизмы взаимодействий между нуклонами и распада свободных нейтронов.
- Привести фундаментальный анализ магнитного поля прямолинейного проводника с током. При этом прояснить механизм его возникновения и сущность таких его характеристик как магнитная индукция, сила Лоренца, сила Ампера, магнитные силовые линии, магнитный поток, явление самоиндукции и другие.
- Вывести чисто теоретическим путём полученные в прошлом эмпирическим путём основные физические формулы.
- Выяснить фундаментальный механизм возбуждения магнитных полей небесных тел и причины, управляющие этим механизмом.
- И многое другое.

ГЛАВА 1 МАТРИЦА МИРОЗДАНИЙ

Поскольку в данных исследованиях автору пришлось иметь дело с неизвестными науке процессами, явлениями и объектами Мироздания, то он вынужденно ввёл в текст несколько сотен новых значений и названий, которые выражены соответствующими элементами текста (см. приложение). Насколько соответствуют реальной действительности открытые автором явления, процессы и объекты, судить научному сообществу, следовательно, от разговоров на эту тему автор воздерживается. Возможно, некоторые из этих названий, покажутся читателю неудачными, за что автор заранее просит прощения. Все слова и группы слов с новым названием, при первом вводе в документ, определяются и выделяются полужирным подчёркнутым курсивом. Далее по тексту все повторяющиеся одиночные слова с новым названием и их словоформы выделяются подчёркиванием. Многие из новых однословных названий составлены из подходящих частей русских слов, а многие имеют совершенно новое написание и звучание. Следовательно, при переводе на другие языки необходимо учитывать вышесказанное.

В данной главе проводится фундаментальный анализ «запредельных миров», которые журналистами принято называть «параллельными мирами». Из теоретических исследований автора приведенных в данной главе следует, что «параллельные миры» параллельны друг другу подобно листьям на деревьях.

1.1 ОСНОВНЫЕ ПОНЯТИЯ

Определение 1-1 Глобальное n -мерное физическое пространство (Π^n) – множество идентичных друг другу элементарных $(n+1)$ -мерных частиц, образующих сферическую n -мерную поверхность шарообразного $(n+1)$ -мерного объекта, достаточно толстый приповерхностный слой которого (возможно, что и весь его объём) является однородной и изотропной $(n+1)$ -мерной средой, которую условимся далее называть пространствообразующей средой. Упомянутые здесь однородные элементарные $(n+1)$ -мерные частицы $(n+1)$ -мерной пространствообразующей среды, условимся далее называть эфиронами (по мнению автора, это общеизвестное название подходит именно для такого рода объектов) пространства Π^n , и обозначать их символом Ξ^n .

Определение 1-2 Глобальная n -мерная вселенная V^n – глобальное n -мерное физическое пространство, в котором присутствуют и развиваются (в соответствии с присущими ему физическими законами) динамические эфирные отношения, проявляющиеся в виде волно-вихревых объектов размерностью, не превышающей размерность самого пространства (см. опр.1-15 на стр.9). Объекты глобальных вселенных подразделяются на следующие два основных типа:

1. Прямые объекты вселенной V^n – n -мерные волно-вихревые объекты данной n -мерной вселенной, взаимодействующие по её физическим законам. Каждый прямой объект вселенной V^n занимает некоторую n -мерную область в пространстве Π^n , ограниченную $(n-1)$ -мерной границей.

2. Косвенные объекты вселенной V^n – прямые объекты всех её последующих вселенных, размерность которых (см. далее) всегда меньше размерности данной вселенной.

Из вышесказанного следует, что глобальные вселенные возникают при определённых условиях на замкнутых границах однородных и изотропных сред произвольной размерности. Термины «глобальное» и «глобальная» в определениях 1-1 и 1-2 означают, что определяемые объекты замкнуты, т. е. не имеют явных границ. Например, представим себе, что где-то в пределах «нашей» вселенной существует планета, состоящая полностью из воды (а ещё лучше из некоторой идеальной жидкости). Если эта планета достаточно больших размеров, то на ней могут формироваться следующие два типа вселенных:

1. Глобальная (замкнутая) двумерная вселенная поверхностных волно-вихревых

объектов, пространством для которой служит двумерная сферическая поверхность этой планеты;

2. Не глобальная (не замкнутая) трёхмерная вселенная всевозможных звуковых объектов, пространством для которой служит объём этой планеты ограниченный её сферической поверхностью.

Очевидно, что объекты первой вселенной, двигаясь по прямой линии в любом направлении своего пространства, никогда не достигнут явной границы. Объекты второй вселенной, двигаясь по прямой линии в любом направлении своего пространства, рано или поздно достигнут поверхности планеты, которая является для них принципиально непреодолимой границей. Поскольку в данной работе рассматриваются только глобальные пространства и глобальные вселенные, то условимся далее в соответствующих случаях опускать слова «глобальное» и «глобальная».

Как видно из схемы матрицы мирозданий (см. раздел 1.2, стр.9) все вселенные «нашего» мироздания условно делятся, по признаку своего отношения к некоторой произвольно выбранной вселенной $Вс^n$ «нашего» мироздания, на следующие два класса:

- **Значимые вселенные** – вселенные (её предыдущие вселенные), косвенным объектом которых является данная вселенная, и вселенные (её последующие вселенные), которые сами являются косвенными объектами данной вселенной.

- **Незначимые вселенные** – все прочие вселенные «нашего» мироздания, которые не являются значимыми вселенными относительно данной вселенной.

Значимые вселенные произвольно выбранной вселенной $Вс^n$ «нашего» мироздания могут находиться с нею в следующих отношениях:

Определения 1-3:

1. **Предыдущая вселенная первого порядка** – $(n+1)$ -мерная вселенная $Вс^{n+1}$, элементы некоторого множества прямых однородных объектов которой являются эфирами данной вселенной $Вс^n$.

2. **Предыдущая вселенная второго порядка** – $(n+2)$ -мерная вселенная $Вс^{n+2}$, элементы некоторого множества прямых однородных объектов которой являются эфирами предыдущей вселенной первого порядка $Вс^{n+1}$.

3. **Предыдущая вселенная k-го порядка** – $(n+k)$ -мерная вселенная $Вс^{n+k}$, элементы некоторого множества прямых однородных объектов которой являются эфирами предыдущей вселенной $(k-1)$ -го порядка.

4. **Последующая вселенная первого порядка** – $(n-1)$ -мерная вселенная $Вс^{n-1}$, эфиры которой являются элементами некоторого множества прямых однородных объектов данной вселенной $Вс^n$.

5. **Последующая вселенная второго порядка** – $(n-2)$ -мерная вселенная $Вс^{n-2}$, эфиры которой являются элементами некоторого множества прямых однородных объектов последующей вселенной первого порядка.

6. **Последующая вселенная k-го порядка** – $(n-k)$ -мерная вселенная $Вс^{n-k}$, эфиры которой являются элементами некоторого множества прямых однородных объектов последующей вселенной $(k-1)$ -го порядка.

Примечание 1-4. Условимся для краткости далее называть предыдущую (последующую) вселенную первого порядка, просто **предыдущей (последующей) вселенной**, а в случаях, когда порядок больше единицы, то его будем называть.

Определения 1-5:

Теорема 1. Всякая n -мерная вселенная $Вс^n$ находится в следующих отношениях со своими предыдущими вселенными:

- Имеет одну и только одну предыдущую вселенную, размерностью $(n+1)$.
- Имеет одну и только одну предыдущую вселенную второго порядка, размерностью $(n+2)$.

- Имеет одну и только одну предыдущую вселенную k -го порядка размерностью $(n+k)$, при этом справедливо неравенство $1 \leq k \leq (m - n)$, где m максимальное число измерений в нашем мироздании (M_3^{m*}) (см. [опр. 1-27](#), стр.11).

Доказательство:

Пространство любой вселенной по определению есть множество однородных элементарных объектов (эфиронов) предыдущей вселенной, взаимодействующих между собой по единым для данного пространства физическим законам. Очевидно, что эфиры любого пространства не могут принадлежать разным вселенным, т. к. в противном случае они не могут быть однородными и не в состоянии как-то взаимодействовать между собой, а тем более по единым для всего пространства физическим законам. Следовательно, каждая вселенная имеет одну и только одну предыдущую вселенную первого порядка, размерностью на единицу большей размерности данной вселенной. Действительно данная вселенная по определению является замкнутой границей некоторого прямого объекта своей предыдущей вселенной, размерность границы которого на единицу меньше его размерности, т. е. размерности предыдущей вселенной. Следовательно, размерность данной вселенной на единицу меньше размерности предыдущей вселенной. Для предыдущей вселенной теорема доказана. Очевидно, что если данная теорема верна для предыдущей вселенной первого порядка, то она верна и для предыдущих вселенных всех последующих порядков.

Теорема 2. Всякая n -мерная вселенная V_n^n может иметь неограниченное количество последующих вселенных k -го порядка размерностью равной $(n-k)$ или не иметь их вообще (здесь $1 \leq k < n$ натуральное число).

Доказательство:

Количество объектов произвольной вселенной «нашего» мироздания, на поверхности которых может возникнуть последующая вселенная, никак не ограничено. Их может не быть вообще или может быть сколько угодно.

Теорема 3. Если произвольномерная физическая вселенная V_n^n «нашего» мироздания не имеет последующих вселенных k -го порядка, то она не имеет и последующих вселенных более высоких порядков.

Доказательство:

По определению последующие вселенные k -го порядка вселенной V_n^n являются предыдущими вселенными по отношению ко всем её последующим вселенным $(k+1)$ -го порядка и выше. Следовательно, если не существует предыдущей вселенной, то не существуют и её последующие вселенные, что и требовалось доказать.

Примечание 1-2. Всякая вселенная V_n^n является:

- Предыдущей вселенной по отношению к любой из множества своих последующих вселенных,
- Последующей вселенной по отношению к (существующей в единственном числе) своей предыдущей вселенной V_{n+1}^{n+1} .

Определение 1-6. Эфирные отношения ($Э^n$) произвольной вселенной V_n^n – векторы её пространства, определяющие взаимные расположения её эфиронов.

Определение 1-7. Эфирные взаимодействия ($Э^n$) вселенной V_n^n – взаимодействия между эфирами данной вселенной V_n^n по физическим законам её предыдущей вселенной V_{n+1}^{n+1} .

Определение 1-8. Порядковые эфирные отношения ($ПЭ_i^n$) произвольного эфирона $Э_i^n$ пространства $П_r^n$ – множество эфирных отношений данного эфирона с остальными эфирами пространства $П_r^n$ (графически $ПЭ_i^n$ можно представить как множество радиус-векторов соединяющих центр эфирона $Э_i^n$ с центрами остальных эфиронов $П_r^n$).

Определение 1-9. Эфирные отношения первого порядка ($\Pi\Xi_{i1}^n$) произвольного эфилона Ξ_i^n пространства Π^n – порядковые эфирные отношения между эфиром Ξ_i^n и ближайшими равноудалёнными от него эфирами, которые условимся обозначать символом Ξ_{i1}^n и называть эфирами первого порядка. Сферу, на которой расположены центры эфиров первого порядка эфилона Ξ_i^n , условимся называть порядкообразующей сферой первого порядка центра эфилона Ξ_i^n и обозначать символом Θ_{i1}^n .

Определение 1-10. Эфирные отношения второго порядка ($\Pi\Xi_{i2}^n$) произвольного эфилона Ξ_i^n пространства Π^n – порядковые эфирные отношения между эфиром Ξ_i^n и каждым из ближайших (после эфиров первого порядка) равноудалённых от него эфиров, которые условимся обозначать символом Ξ_{i2}^n и называть эфирами второго порядка. Сферу, на которой расположены центры эфиров второго порядка эфилона Ξ_i^n , условимся называть порядкообразующей сферой второго порядка центра эфилона Ξ_i^n и обозначать символом Θ_{i2}^n .

Определение 1-11. Эфирные отношения m-го порядка ($\Pi\Xi_{im}^n$) произвольного эфилона Ξ_i^n пространства Π^n – порядковые эфирные отношения между эфиром Ξ_i^n и каждым из ближайших (после эфиров (m-1)-го порядка) равноудалённых от него эфиров, которые условимся обозначать символом Ξ_{im}^n и называть эфирами m-го порядка. Сферу, на которой расположены центры эфиров m-го порядка эфилона Ξ_i^n , условимся называть порядкообразующей сферой m-го порядка центра эфилона Ξ_i^n и обозначать символом Θ_{im}^n .

Примечание 1-3. Из приведенных выше определений, следует, что порядкообразующие сферы произвольного эфилона пространства Π^n являются (n-1)-мерными концентрическими сферами. Их центр совмещён с центром эфилона, а радиус равен модулю отношений данного эфилона с эфирами соответствующего порядка. Очевидно, что точно определить радиус Θ_{im}^n (при больших значениях m) практически невозможно, поэтому на практике можно пользоваться средним радиусом некоторого слоя смежных порядкообразующих сфер. Тогда вместо символа Θ_{im}^n удобнее применять символ $\Theta_{R_{i \rightarrow j}}^n$, т. е. порядкообразующая сфера центра данного эфилона i , на которой расположена анализируемая точка j .

Определение 1-12. Тривиальные эфирные отношения (Ξ_{tr}^n) – эфирные отношения вселенной \mathbf{B}_c^n , при которых отношения между её ближайшими смежными эфирами не зависят от их координат и времени. Условимся далее называть тривиальные отношения между ближайшими смежными эфирами квантом эфирных отношений или квантом расстояния пространства Π^n .

Определение 1-13. Тривиальное n-мерное физическое пространство (Π_{tr}^n) – n-мерное пространство (возможно, некоторая его область), эфиры которого (которой) находятся в тривиальных эфирных отношениях.

Определение 1-14. Динамические эфирные отношения ($\Delta\Xi^n$) – эфирные отношения вселенной \mathbf{B}_c^n , при которых отношения между её ближайшими смежными эфирами зависят от их координат и времени.

Примечание 1-4. С точки зрения наблюдателя из предыдущей вселенной \mathbf{B}_c^{n+1} динамические эфирные отношения проявляются как многообразные по форме и интенсивности

волно-вихревые объекты. Но с точки зрения наблюдателя из данной вселенной $Вс^n$ они проявляются как физические объекты (в число которых входит и физическое тело наблюдателя), непрерывно и повсеместно взаимодействующие между собой по физическим законам данной вселенной $Вс^n$.

Определение 1-15. Динамическое n-мерное физическое пространство или n-мерная вселенная (см. [опр. 1-2](#), стр. 5) – n-мерное пространство (возможно, некоторая его область), эфиры которого (которой) находятся в динамических эфирных отношениях.

Определение 1-16 Энергия вселенной ($W_{Вс^n}$) – общая для всех вселенных количественная характеристика динамических эфирных отношений данной вселенной. Иначе говоря, энергия это количественная характеристика степени нетривиальности пространства данной вселенной.

Определение 1-17 Полная энергия n-мерной вселенной ($W_{Вс^n}^\Sigma$) – суммарная энергия всех без исключения динамических эфирных отношений данной вселенной.

Определение 1-18 Внешние воздействия на n-мерную вселенную ($В_{0n+1 \rightarrow 0n}$) – воздействия со стороны объектов её предыдущей вселенной на её эфирные отношения, вызывающие изменение её полной энергии.

Определение 1-19 Внутренние взаимодействия в n-мерной вселенной ($В_{0n \leftrightarrow 0n}$) – всевозможные взаимодействия между её объектами, которые в принципе не могут изменить её полную энергию.

Определение 1-20 Внутренний закон сохранения энергии, присущий всем вселенным – постоянство их полной энергии $W_{Вс^n}^\Sigma$ при отсутствии внешних воздействий на их эфирные отношения. Иначе говоря, никакие внутренние взаимодействия и отношения не могут изменить полную энергию вселенной $Вс^n$, её могут изменить только внешние воздействия.

Определение 1-21 Закон динамизма нетривиальных эфирных отношений вселенных – всякое пространство $Пр^n$ всегда и во всех своих точках стремится к тривиальному состоянию, вызывая тем самым динамизм своих нетривиальных эфирных отношений. Иначе говоря, стремясь сгладить свои искривления, пространство $Пр^n$ непрерывно перемещает и преобразует их из одного вида в другой, но внутренний закон сохранения энергии не позволяет ему уменьшить свою общую кривизну и, тем более, полностью избавиться от нее. Поэтому ему остаётся только одно – как можно рациональнее распределить её в себя, но в связи с эффектом запаздывания в пространстве возникают закликивания очагов кривизны, которые проявляются великим многообразием объектов и явлений данной вселенной.

Определение 1-22. Стабильные вселенные – вселенные, которые не подвергаются внешнему воздействию.

Определение 1-23. Нестабильные вселенные – вселенные, которые подвержены внешним воздействиям. Они бывают набүхающимися (полная энергия возрастает) и затүхающими (полная энергия убывает).

1.2 ПРИНЦИПИАЛЬНАЯ СХЕМА МАТРИЦЫ МИРОЗДАНИЙ

Ниже приводится схема вторичной реальности, последовательно отображающей только «наше» мироздание, а именно ту ветвь проявления кардинальной реальности, в которой содержится «наша» вселенная. Условимся далее добавлять в верхнем (или нижнем) индексе символ «*», во всех условных обозначениях вселенных, содержащих в себе «нашу» трёхмерную вселенную $Вс^{3*}$, поскольку так удобнее проследивать «нашу» ветвь вселенных.

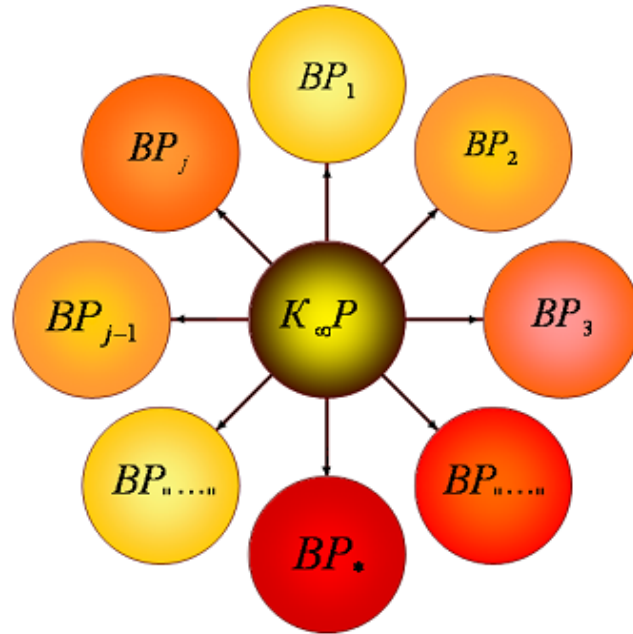


Рисунок 1.1. Кардинальная реальность и её проявления

где:

$K_{\infty}P$ – Кардинальная Реальность.

$(BP_1, BP_2, BP_3, \dots, BP_*, \dots, BP_j)$ – проявления Кардинальной реальности (вторичные реальности).

Определение 1-24 **Кардинальная реальность** ($K_{\infty}P$) – недоступная (для любого эксперимента из вторичной реальности) бесконечномерная, суперинтеллектуальная и супер-духовная инстанция, существующая в единственном числе и обладающая неограниченным выбором и возможностями для своего проявления (см. рис. 1.1).

Определение 1-25 **Вторичная реальность** ($BP_1, BP_2, BP_3, \dots, BP_*, \dots, BP_j$) – ни-где и никогда не повторяющийся, управляемый Кардинальной Реальностью процесс её проявления (рис. с 1.1 по 1.m–1).

Рисунок 1.2. Множество мирозданий «нашего» типа (BP_*) (продолжение рис. 1.1)

где:

$M_3^{m_1}, \dots, M_3^{m_*} (B_c^{m_*}), \dots, M_3^{m_i}$ – множество мирозданий входящих в группу BP_* .
Каждый элемент этого множества является мирозданием подобным «нашему» мирозданию $M_3^{m_*} (B_c^{m_*})$.

$m_1 \dots m_* \dots m_i$ – размерности соответствующих мирозданий.

Определение 1-26 Мироздания «нашего» типа (BP_*) (рис. 1.2) – множество подобных друг другу (им свойственно пространство, время и др.) мирозданий, в число которых входит и наше мироздание $M_3^{m_*} (B_c^{m_*})$.

Естественно, что множество мирозданий «нашего» типа содержит в себя и «наше» Мироздание (рис. 1.3). Поскольку вторичная реальность это процесс, то она непрерывно меняется со временем, т. е. число мирозданий в текущий момент может быть огромным, но возможно и то, что в настоящее время «наше» мироздание является единственным проявлением Кардинальной Реальности.

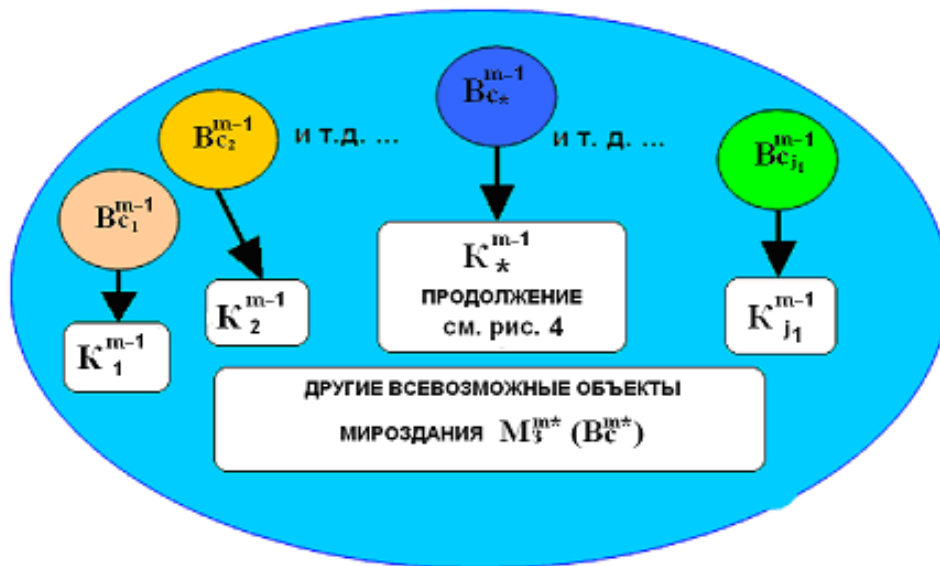


Рисунок 1.3. «Наше» мироздание $M_3^{m_*} (B_c^{m_*})$ (продолжение рис. 1.2)

где:

$B_{c_1}^{m-1}, B_{c_2}^{m-1}, \dots, B_{c_*}^{m-1}, \dots, B_{c_{j_1}}^{m-1}$ – последующие вселенные (см. [опр. 1-3](#), стр. 6) вселенной $B_c^{m_*}$.

$K_1^{m-1}, K_2^{m-1}, \dots, K_*^{m-1}, \dots, K_{j_1}^{m-1}$ – кроны последующих вселенных (всевозможных порядков) вселенных $B_{c_1}^{m-1}, B_{c_2}^{m-1}, \dots, B_{c_*}^{m-1}, \dots, B_{c_{j_1}}^{m-1}$, соответственно.

Определение 1-27 «Наше» мироздание $M_3^{m_*} (B_c^{m_*})$ – непосредственное (прямое) проявление Кардинальной Реальности в формате m -мерной вселенной, содержащей в себя множество вселенных размерностью от $m-1$ до 2 включительно, в том числе и «нашу» трёхмерную вселенную. Для удобства изложения материала дадим «нашему» мирозданию имя «Стивда», а его m -мерному пространству «Стивдпространство». Число измерений Стивды m является максимальным конечным числом измерений в нём, точное значение которого является для нас принципиальной тайной.

Как видно из схемы матрицы мироздания Стивда очень напоминает обычную матрицу.

Начиная с рис. 1.4 включительно, следуют рисунки последующих вселенных относительно Стивды (от 1-го до $(m-2)$ -го прядка включительно), каждая из которых (кроме вселенной B_c^{2*}) содержат в себя «нашу» трёхмерную вселенную B_c^{3*} .

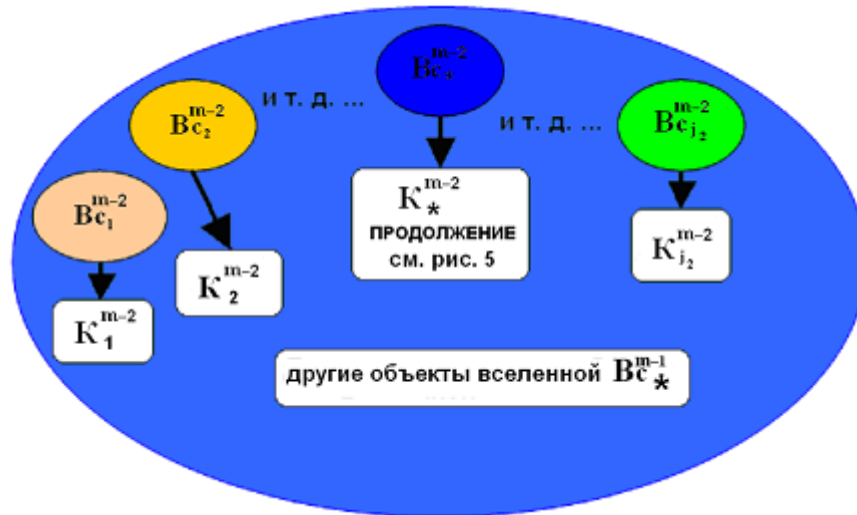


Рисунок 1.4. Вселенная $B_c^{(m-1)*}$ (продолжение рис. 1.3)

где: $B_{c_1}^{m-2}$, $B_{c_2}^{m-2}$, ..., $B_{c_*}^{m-2}$, ..., $B_{c_{j_2}}^{m-2}$ – последующие вселенные вселенной $B_c^{(m-1)*}$.

K_1^{m-2} , K_2^{m-2} , ..., K_*^{m-2} , ..., $K_{j_2}^{m-2}$ – кроны последующих вселенных (всевозможных порядков)

по отношению к вселенным $B_{c_1}^{m-2}$, $B_{c_2}^{m-2}$, ..., $B_{c_*}^{m-2}$, ..., $B_{c_{j_2}}^{m-2}$, соответственно.

Далее пропускаем серию однотипных рисунков, от рисунка 1.5 по рисунок (1.m-3) включительно, и переходим таким образом к рисунку (1.m-2).

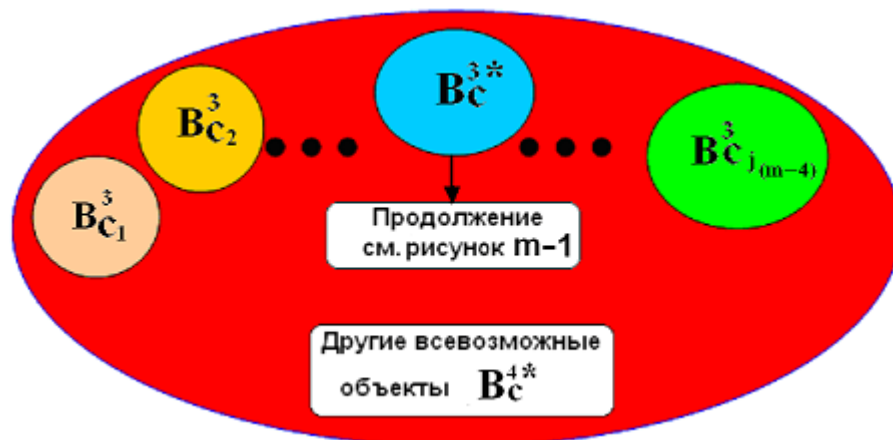


Рисунок 1. (m-2). Предыдущая вселенная B_c^{4*} (продолжение рис. 1. (m-3))

где:

$V_{c_1}^3, V_{c_2}^3, \dots, V_{c^*}^{3*}, \dots, V_{c_{j(m-4)}}^3$ – последующие вселенные вселенной $V_{c^*}^{4*}$, у каждой из которых могут быть последующие двухмерные вселенные.

Предыдущая вселенная $V_{c^*}^{4*}$ является особо интересной для нас, т. к. она является непосредственным основанием для «нашей» Вселенной и, следовательно, вероятность её существования соизмерима с вероятностью существования «нашей» Вселенной. Как будет показано при анализе $V_{c^*}^{3*}$, существование последней немыслимо без существования $V_{c^*}^{4*}$.



Рисунок 1.(m-1). «Наша» вселенная $V_{c^*}^{3*}$ (продолжение рис. 1. (m-2))

где: $V_{c_1}^2, V_{c_2}^2, \dots, V_{c^*}^{2*}, \dots, V_{c_{j(m-3)}}^2$ – последующие вселенные вселенной $V_{c^*}^{3*}$.

$V_{c^*}^{2*}$ – поверхность мирового океана совместно с волно-вихревыми объектами на ней. Вполне вероятно, что в «нашей» вселенной существует немало двухмерных вселенных, и не только на поверхности воды.

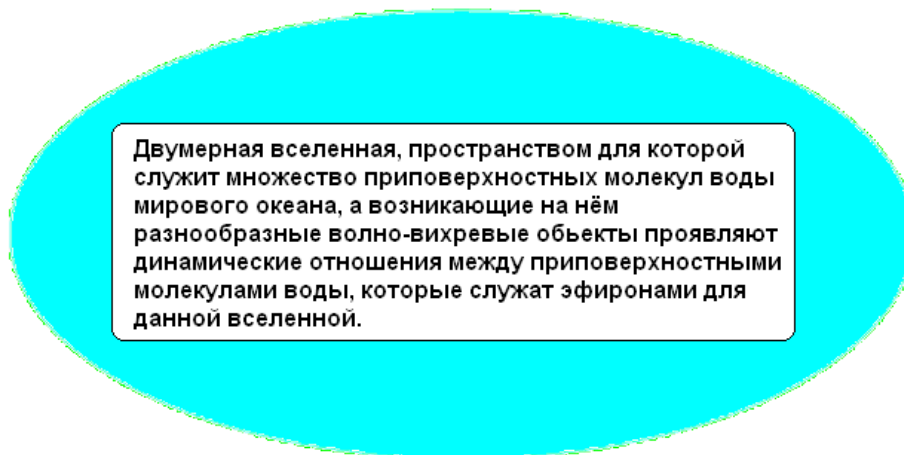


Рисунок 1.m. Последующая вселенная $V_{c^*}^{2*}$ (продолжение рис. 1.(m-1))

Для выделения важных для нас вселенных среди огромного количества аналогичных объектов, условимся далее называть «нашу» вселенную B_c^{3*} – «Сам-Батэрой», её пространство P_r^{3*} и его четырёхмерную пространствообразующую среду – «Самбатэрпространством» и «Самбатэрсредой» соответственно, предыдущую по отношению к Сам-Батэре вселенную B_c^{4*} – «Одис-Феей», а её пространство P_r^{4*} – «Одисфейпространством».

Очевидно, что изображённая на рисунке 1.m последующая по отношению к Сам-Батэре вселенная является нестабильной вселенной к тому же она несоизмеримо беднее разнообразием объектов по сравнению с Сам-Батэрой. Вполне вероятно, что в Сам-Батэре при некоторых условиях могут (или могли) существовать стабильные двумерные вселенные.

То, что автор не изобразил на схеме Матрицы Мирозданий одномерные вселенные, не означает, что они в принципе не возможны. Попробуем представить себе достаточно массивную и упругую цилиндрическую спираль (подобную спиралью электроплиток или утюгов), замкнутую в кольцо радиусом соизмеримым с радиусом Земли. В такой кольцевой пружине, как известно, могут возникать продольные волны, как в прямом, так и в обратном направлении и при отсутствии диссипации эти волны должны перемещаться вдоль кольца бесконечно долго. Естественно, что существование этого вполне наглядного образца одномерной вселенной маловероятно, но вполне вероятно, что в Сам-Батэре существуют механизмы для возникновения стабильных одномерных вселенных. Очевидно, что одномерные вселенные несоизмеримо беднее двумерных вселенных и тем более трёхмерных вселенных.

Возникает вопрос, а возможны ли безразмерные вселенные? Автор считает, что нульмерные вселенные в принципе возможны, и в качестве примера можно привести процесс мышления (обработки информации) конкретного человека, т. е. самого человека в отрыве от его физического тела, которое, по сути, является всего лишь фабрикой и хранилищем человека. Как известно, мысли не имеют протяжённостей в пространстве, но они, в своей совокупности, имеют одномерную и однонаправленную протяжённость во времени. Если предположить, что наша цивилизация несоизмеримо более развита по сравнению с тем, чем она есть на самом деле, и при этом она охватывает не отдельную планету, а целую галактику или несколько галактик, то в её бесконечномерном информационном пространстве могут возникать информационные вселенные различных размерностей. Среди разнообразных объектов этих вселенных могут быть и объекты, обладающие интеллектом, до неузнаваемости, не похожим на интеллект человека. Возможно, эти мыслящие существа воспринимали бы нашу цивилизацию как некую кардинальную реальность, а информационное мироздание, частицей которого они являлись бы, как вторичную реальность. Следовательно, нульмерные объекты (если они существуют), могут служить переходным звеном между Матрицей Мирозданий и некоторой её производной матрёшкой мирозданий совершенно иного типа.

Но вернёмся к Стивде. Из содержания данной статьи следует, что каждый объект Стивды имеет следующие две сущности:

- С одной стороны, объекты любой вселенной Стивды - это системы динамических эфирных отношений, которые развиваются и взаимодействуют в соответствии с законами своей вселенной.
- С другой стороны, те же объекты являются проявлением Кардинальной Реальности, т. е. каждому из них соответствуют некие глубинные «корни» (отображения соответствующих объектов в самой Кардинальной Реальности).

Из вышесказанного следует, что кроме известных нам параметров (температура, давление и др.) объектам Сам-Батэры присуща и система «глубинных» параметров отображающих эти объекты в глубинах Кардинальной Реальности. Условимся называть эти параметры параметрами глубинного состояния объектов. О параметрах глубинного состояния объектов современная наука, возможно, не знает, т. к. обнаружить их опытным путём принципиально невозможно, а чистые теоретические исследования у неё пока не в почёте. Но вернёмся к нашей теме, рассмотрим в качестве примера такие три глубинных параметра объектов

Сам-Батэры как протяжённости пространства, движение и время, которые образуют на уровне нашего восприятия «раму нашего сознания». Эти параметры, подобно температуре, являются непрерывными переменными величинами, скоростью изменения которых можно управлять прямо из Сам-Батэры, где расположен объект. Следовательно, глубинные состояния объектов Сам-Батэры однозначно определяются их глубинными параметрами, которые напрямую не воспринимаются нами. Косвенно мы воспринимаем их как некие независимые друг от друга протяжённости (координаты), возможно, что такое их восприятие является самой удобной рамой для отображения окружающего мира в нашем осознании. Число параметров глубинного состояния равно количеству измерений Стивды, т. е. числу m , но по причинам, изложенным выше, в Сам-Батэре могут одновременно проявляться только три из них. Из вышесказанного следует, что протяженность и движение это всего лишь психологические иллюзии реально существуют только глубинные многомерные (зависящие от нескольких взаимонезависимых глубинных параметров) состояния объектов, способных к непрерывным преобразованиям. Мы постоянно осуществляем эти глубинные преобразования, но воспринимаем это как приобретение некоторого количества движения, именно по этой причине пока нет точной формулировки движения по сути, т. е. нет ясного ответа на вопрос, чем отличается движущееся тело от неподвижного тела.

Очевидно, что из всех рассмотренных выше объектов самыми важными для нас являются Кардинальная Реальность, Стивда, Сам-Батэра и Одис-Фея. Вероятность существования Сам-Батэры и Одис-Феи практически равна единице (100%), и поскольку число измерений Стивды нам неизвестно, то вероятность существования предыдущих вселенных высших порядков падает с ростом их порядка.

Из всего вышесказанного следует, что каждая точка Самбатэпрпространства непосредственно соприкасается с пространствами предыдущих вселенных всех порядков, а также с пространством Кардинальной Реальности. Но никак не наоборот, т. е. не все точки пространства любой из предыдущих вселенных или Кардинальной Реальности соприкасаются с Сам-батэпрпространством. Это говорит о том, что Сам-Батэра не является прямым проявлением Кардинальной Реальности, т. к. между ними есть посредники, которыми являются предыдущие вселенные всех порядков. Но, тем не менее, между Сам-Батэрой и Кардинальной Реальностью существует и прямой контакт, т. к. любая точка Самбатэпрпространства одновременно является и точкой m -мерного пространства мироздания M_3^{m*} , а также находится в прямом контакте с Кардинальной Реальностью. По мнению автора к прямым проявлениям Кардинальной Реальности в Сам-Батэре можно отнести одухотворённую часть человеческого интеллекта и возможно некоторые другие подобные ему проявления, все остальные объекты явно опосредованы. Как увидим ниже, Сам-Батэра похожа на огромный 3D монитор, который частично управляется непосредственно Кардинальной Реальностью, но в некоторой степени он управляет собою и сам. Следовательно, Кардинальная Реальность управляет Сам-Батэрой при помощи следующих каналов управления:

1. Через внутренние физические законы Сам-Батэры.
2. Через предыдущие вселенные всех порядков, которые обуславливают внутренние физические законы Сам-Батэры.
3. Прямым воздействием на объекты Сам-Батэры, внедрённым в неё интеллектом и духовностью.

Несомненно, что Одис-Фея по своему многообразию объектов и явлений несоизмеримо богаче Сам-Батэры, и вполне вероятно, что там существуют цивилизации, уровень развития которых несоизмерим не только с нашим уровнем, но и с уровнем любой гипотетической цивилизации Сам-Батэры. Например, логически понятно, что воскресить мёртвого человека мы в принципе не можем, т. к. из Самбатэпрпространства принципиально невозможно оперировать произвольную внутреннюю клетку организма не дотронувшись при этом до других клеток. По той же причине вышеупомянутые гипотетические четырёхмерные существа принципиально не могут воскрешать своих соплеменников, но зато у них есть принципиальная возможность воскрешать наших мертвецов, т. к. они могут через четвёртое измерение

оперировать любую клетку воскрешаемого, не касаясь при этом других его клеток. Конечно, то, что у них есть принципиальная возможность воскрешать существа меньшей размерности, не означает, что у них есть реальная возможность для этого, ведь мы в принципе тоже можем посещать соседние галактики Сам-Батэры, но реальной возможности для этого у нас нет и, не скоро появится. Но поскольку принципиальная возможность для этого у нас все-таки есть, то это уже радует, а вот то, что, ни мы, ни наши приборы и никакие объекты Сам-Батэры принципиально не могут посещать Одис-Фею уже приговор, который обжалованию не подлежит. Тут следует сказать что не исключена возможность того что Сам-Батэра искусственный объект, т. е. творение «рук» четырёхмерных существ.

Например, трудно себе представить живые волно-вихревые объекты на поверхности мирового океана, т. к. двумерная вселенная несоизмеримо беднее Сам-Батэры своим многообразием. Но нельзя исключать того, что рано или поздно человечество может сотворить искусственную двумерную вселенную, некоторые объекты которой могут быть живыми существами.

Тут следует сказать, что о глубинных параметрах объектов, а также о глубинной сущности физических пространств (независимо от их размерности), времени и других важных отношениях между проявлениями Кардинальной Реальности поговорим во второй части данных исследований. Вторую часть автор предоставит для публикации после того, как будет опубликована первая часть, которую Вы в данный момент читаете.

В первой части данной работы ничего не сказано об электромагнитных волнах и их двойственном проявлении, об этих и других, не обладающих массой покоя объектах, также пойдёт речь во второй части.

ГЛАВА 2 САМБАТЭРПРОСТРАНСТВО

2.1 ОСНОВНЫЕ ПОНЯТИЯ

И так, приступаем к подробному анализу самого близкого и осязаемого нами объекта мироздания – пространства Вселенной B_c^{3*} (см. [рис. 1.\(m-1\)](#), стр. 13), объектами которой являются все воспринимаемые нами (прямо или косвенно) физические тела.

Определение 2-1 Самбатэрпространство – множество идентичных друг другу элементарных четырёхмерных частиц образующих сферическую поверхность некоторого шарообразного четырёхмерного объекта O_6^{4*} Одис-Феи, достаточно толстый поверхностный слой которого (возможно, что и весь его объём) является однородной и изотропной четырёхмерной средой, которую условимся обозначать символом C_p^{4*} и называть Самбатэрсредой.

Определение 2-2 Эфиры Самбатэрпространства – упомянутые в определении 2-1 элементарные 4D частицы (поверхностные четырёхмерные «молекулы» Самбатэрсреды) взаимодействующие по физическим законам Одис-Феи. Условимся далее обозначать эфиры Самбатэрпространства символом \ddot{E}^* (или в упрощенном виде \ddot{E} , т. к. в данной и последующих главах рассматриваются только эфиры Сам-Батэры).

Примечание 2-1. Условимся считать, что тривиальные отношения (см. [опр.1-12](#), стр.8) между молекулами Самбатэрсреды образуют в Одисфейпространстве общеизвестную плотнейшую решетчатую четырехмерную упаковку D^4 ([см. \[1\]](#)), в которой центрами молекул являются точки с целыми координатами x, y, z, k , в сумме дающие четное число. Следовательно, тривиальные отношения между эфирами подпространств \overline{P}_p^{3*} и \tilde{P}_p^{3*} (см. ниже [опр. 2-3](#) и [2-4](#)) образуют гранецентрированные кубические решетки (fcc-решетки, которые, как известно из кристаллографии, являются плотнейшими трёхмерными упаковками).

Примечание 2-2. Физические законы Одис-Феи мы не можем исследовать напрямую, и это принципиально, но усилиями воображения можно понять механизм взаимодействия между эфирами Самбатэрпространства. Если в первом приближении и возникнут некоторые неточности, то в последствии они непременно будут устранены. Возможно, между 4D молекулами Самбатэрсреды существует только один тип взаимодействия, а возможно их несколько, но в любом случае для удобства их можно условно объединить в один тип. Поскольку для подробного изучения элементарных процессов Сам-Батэры нам не обязательно досконально знать физические законы Одис-Феи, то условимся считать, что взаимодействия между объектами Одис-Феи осуществляются при помощи некоторой субстанции–посредника, которую назовём «эфирной информацией». Этот механизм если и отличается от реального механизма то только по форме, но не, по сути.

2.2 СТРУКТУРА САМБАТЭРПРОСТРАНСТВА

Самбатэрпространство является составным пространством, т. е. оно является множеством подпространств, которое условно разделим на головное подмножество и существенно менее значимое хвостовое подмножество. Головное подмножество подпространств Самбатэрпространства ([рис.2.1](#) см. ниже) состоит из двух элементов, которые определены ниже ([опр. 2-3](#) и [2-4](#)):

Определение 2-3 Лицевое подпространство – множество молекул Самбатэрсреды образующих наружный трёхмерный слой её сферической поверхности толщиной в один диаметр её четырехмерной молекулы. Условимся обозначать лицевое подпространство символом \overline{P}_p^{3*} , а его эфиры называть лицеронами, и обозначать символом \overline{E}^* .

Определение 2-4 **Теневое подпространство** – множество молекул Самбатэрсреды образующих внутренний (второй после наружного) трёхмерный слой её поверхности толщиной в один диаметр её четырехмерной молекулы. Условимся обозначать теневое подпространство символом $\tilde{\Pi}_p^{3*}$, а его эфироны называть **тенеронами**, и обозначать символом $\tilde{\Xi}^*$.

Примечание 2-3. В случаях, когда для нас неважно в каком подпространстве находится эфирон, мы будем обозначать его обобщённым Символом Ξ^* (см. опр. 2-2, см. выше).

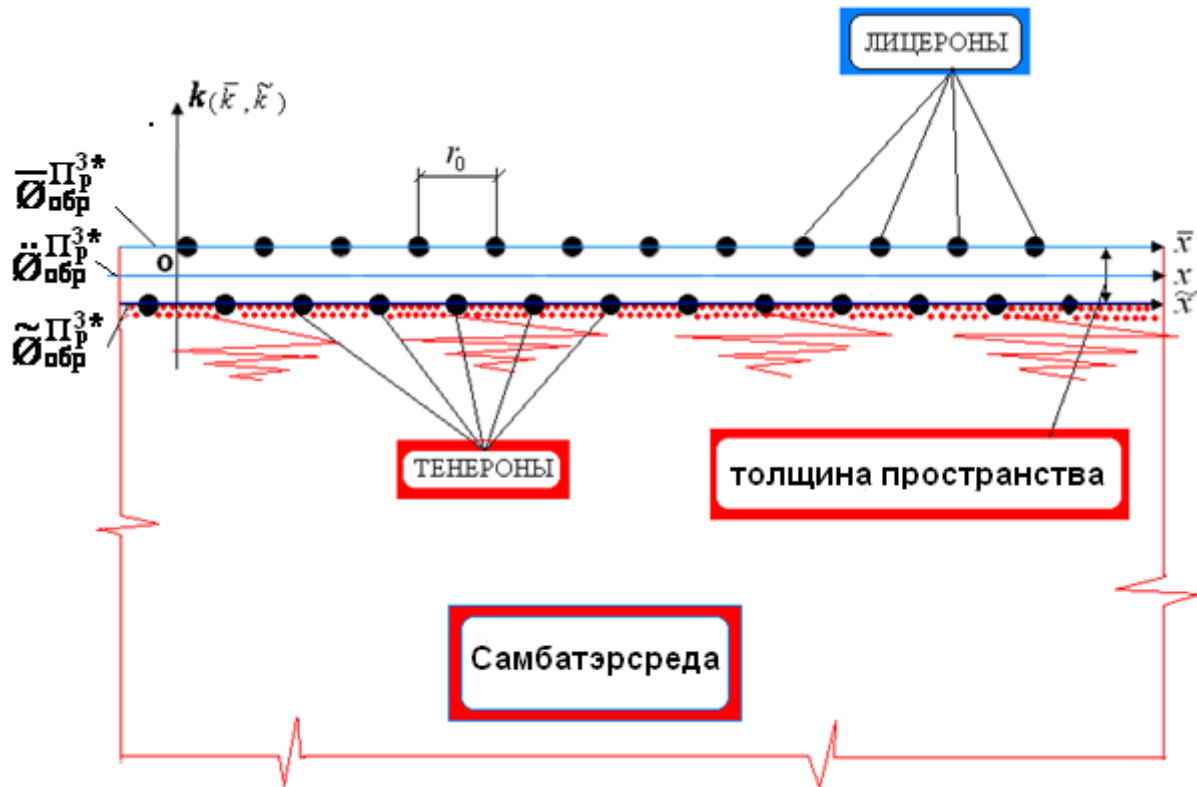


Рисунок 2.1. Фрагмент схематического сечения головных подпространств Самбатэрсреды координатной плоскостью $хоκ$

где:

- $\overline{\Theta}_{обр}^{3*}$ – лицевая сфера Самбатэрсреды;
- $\tilde{\Theta}_{обр}^{3*}$ – теневая сфера Самбатэрсреды;
- $\ddot{\Theta}_{обр}^{3*}$ – главная сфера Самбатэрсреды.
- Ось k – перпендикулярная Самбатэрсреды четвёртая ось (**квартата**) четырёхмерной прямоугольной системы координат.

Очевидно, что Самбатэрсреды не заканчивается после своего второго 3D слоя (пространства $\tilde{\Pi}_p^{3*}$), существует и третий 3D слой ($3D_{сл}^{№3}$), и четвёртый ($3D_{сл}^{№4}$), ..., $3D_{сл}^{№k}$, и так далее. Если лицевое подпространство ($3D_{сл}^{№1}$) и теневое подпространство ($3D_{сл}^{№2}$) по своей значимости являются кардинальными составляющими Самбатэрсреды, то значимость подпространства $3D_{сл}^{№3}$ несоизмеримо меньше и с ростом номера последующего слоя она быстро падает. Множество 3D слоёв Самбатэрсреды следующих за теневым подпространством образует упомянутое выше хвостовое подмножество подпространств Самба-

тэрпространства. С хвостовым подмножеством мы познакомимся ниже при анализе процессов связанных с ним. А здесь мы займёмся головным подмножеством.

Так как все процессы, происходящие в Сам-Батэре, всегда охватывают оба подпространства головного подмножества, то условимся (при необходимости) рядом с названиями или обозначениями отображающими объекты, в каком либо из этих подпространств, писать в скобках соответствующие названия или обозначения, отображающие эти объекты во втором подпространстве. А для облегчения дальнейшего изложения данного материала, определим некоторые абстрактные понятия:

Определение 2-5. Пространствообразующие сферы тривиального Самбатэрпространства – нижеперечисленные трёхмерные концентрические сферы с общим центром, совмещённым с центром шарообразного объекта O_6^{4*} (см. [опр.2-1](#), стр.17):

1. Лицевая сфера $\bar{O}_{обр}^{3*}$ тривиального Самбатэрпространства – пространствообразующая 3D сфера, пересекающая лицероны по максимальному суммарному трёхмерному сечению $\bar{V}_\Sigma^{макс}$.

$$\bar{V}_\Sigma^{макс} = \sum_{i=1}^{\bar{N}} \bar{V}_i. \quad (2-1)$$

2. Теневая сфера $\tilde{O}_{обр}^{3*}$ тривиального Самбатэрпространства – пространствообразующая 3D сфера, пересекающая тенероны по максимальному суммарному трёхмерному сечению $\tilde{V}_\Sigma^{макс}$.

$$\tilde{V}_\Sigma^{макс} = \sum_{i=1}^{\tilde{N}} \tilde{V}_j. \quad (2-2)$$

3. Главная сфера $\ddot{O}_{обр}^{3*}$ тривиального Самбатэрпространства – пространствообразующая 3D сфера с радиусом:

$$\ddot{R}_{пр}^{3*} = \frac{\bar{R}_{пр}^{3*} + \tilde{R}_{пр}^{3*}}{2}. \quad (2-3)$$

Где:

- \bar{V}_i и \tilde{V}_j – трёхмерные сечения i -го лицерона и j -го тенерона лицевой и теневой пространствообразующими сферами соответственно;
- $\bar{R}_{пр}^{3*}$, $\tilde{R}_{пр}^{3*}$, $\ddot{R}_{пр}^{3*}$ – радиусы лицевой, теневой и главной сферы тривиального Самбатэрпространства соответственно;
- \bar{N} и \tilde{N} – общие количества лицеронов и тенеронов в подпространствах $\bar{Пр}^{3*}$ и $\tilde{Пр}^{3*}$ соответственно.

Определение 2-6. Объём эфилона \ddot{V}_3^{3*} – средний **3D** объём **3D** сечений молекул Самбатэрсреды (см. [опр. 2-1](#), стр.17) лицевой и теневой сферами.

$$\ddot{V}_3^{3*} = \overline{V}_3^{3*} = \widetilde{V}_3^{3*} = \frac{\overline{V}_\Sigma^{\text{макс}} + \widetilde{V}_\Sigma^{\text{макс}}}{\overline{N} + \widetilde{N}}. \quad (2-4)$$

Определение 2-7. Суперобъём эфилона \ddot{V}_3^{4*} – средний **4D** объём **4D** молекул Самбатэрсреды.

Определение 2-8. Эфинокрестность O_i^{3*} точки **i** – шарообразная **3D** область Самбатэпространства с центром в данной точке **i** и объёмом равным объёму эфилона.

Определение 2-9. Суперэфинокрестность O_i^{3*} точки **i** – шарообразная **4D** область Одисфейпространства с центром в данной точке **i** и объёмом равным суперобъёму эфилона.

Примечание 2-4. Эфинокрестность или суперэфинокрестность точки **i** условимся далее называть:

- пустой эфинокрестностью (суперэфинокрестностью), если она не пересекается с эфиром;
- условно пустой эфинокрестностью (суперэфинокрестностью), если она пересекается с эфиром или её центр совмещен с центром эфилона, но при этом мы мысленно удаляем пересекающий её эфирон и анализируем её как пустую эфинокрестность или суперэфинокрестность.
- полной эфинокрестностью (суперэфинокрестностью), если её центр совмещен с центром эфилона;
- неполной эфинокрестностью (суперэфинокрестностью), если она пересекается с эфиром, но при этом её центр не совмещен с центром эфилона.

2.3 ЭФИРНАЯ ИНФОРМАЦИЯ И ЕЁ РОЛЬ В ОРГАНИЗАЦИИ САМ-БАТЭРЫ

Определение 2-10 Эфирная информация Самбатэпространства – субстанция, распространяющаяся с постоянной скоростью \ddot{C} , равной скорости света C или возможно незначительно превышающей её, относительно своего реального источника (эфилона) и управляющая эфиронами взаимодействуя с ними, и таким образом организующая вместе с эфиронами Самбатэпространства Сам-Батэру. Условимся обозначать эфирную информацию символом **Й**.

Примечание 2-5. Как будет показано далее, единственными реальными источниками эфирной информации в Самбатэпространстве являются эфироны, которые в тривиальном пространстве стабильно неподвижны. Следовательно, в тривиальном пространстве эфирная информация распространяется с постоянной скоростью \ddot{C} относительно Самбатэсреды. В нетривиальном Самбатэпространстве возможны случаи, когда отдельные его области перемещаются относительно Самбатэсреды (см. [опр.2-1](#), стр.17) как одно целое. Если источник расположен в такой области и неподвижен относительно неё, то излучаемая им эфирная информация распространяется с постоянной скоростью \ddot{C} по всему суперспектру (смотри ниже) направлений центра источника относительно этой области, а не относительно всей Самбатэсреды.

Прежде чем приступить к анализу эфирной информации, сформулируем несколько абстрактных определений:

Определение 2-11. Спектр направлений $\bar{C}_{i \rightarrow j}^{3*} (\tilde{C}_{i \rightarrow j}^{3*})$ произвольной точки $\bar{i}(\tilde{i})$ подпространства $\bar{P}^{3*}(\tilde{P}^{3*})$ – множество направлений $\bar{i} \rightarrow \bar{j}(\tilde{i} \rightarrow \tilde{j})$ из данной точки $\bar{i}(\tilde{i})$ в текущую точку $\bar{j}(\tilde{j})$, последовательно пробегающую все граничные точки эфиронокрестности точки $\bar{i}(\tilde{i})$.

Определение 2-12. Суперспектр направлений $\bar{C}_{i \rightarrow j}^{4*} (\tilde{C}_{i \rightarrow j}^{4*})$ произвольной точки $\bar{i}(\tilde{i})$ подпространства $\bar{P}^{3*}(\tilde{P}^{3*})$ – множество направлений $\bar{i} \rightarrow \bar{j}(\tilde{i} \rightarrow \tilde{j})$ из данной точки $\bar{i}(\tilde{i})$ в текущую точку $\bar{j}(\tilde{j})$, последовательно пробегающую все граничные точки суперэфиронокрестности точки $\bar{i}(\tilde{i})$.

Примечание 2-6. В некоторых случаях будет удобнее вместо направления $\bar{i} \rightarrow \bar{j}$ использовать направление $\bar{i} \rightarrow \mathbf{a}$ (где \mathbf{a} произвольная точка полуоси $\bar{i} \rightarrow \infty$, на которой расположена и точка \bar{j}).

Примечание 2-7. Если точка \bar{i} является центром эфилона, эфиронокрестности или суперэфиронокрестности, то её спектр направлений является также спектром направлений эфилона, эфиронокрестности или суперэфиронокрестности соответственно.

Примечание 2-8. Если перенаправить в обратную сторону все направления спектра или суперспектра направлений данной точки \bar{i} , то получим обратные спектры направлений $\bar{C}_{i \leftarrow j}^{3*} (\tilde{C}_{i \leftarrow j}^{3*})$ или $\bar{C}_{i \leftarrow j}^{4*} (\tilde{C}_{i \leftarrow j}^{4*})$ соответственно.

Определение 2-13. Интенсивность переноса эфирной информации $\bar{I}_{i \rightarrow j}^{\text{пер}} (\tilde{I}_{i \rightarrow j}^{\text{пер}})$ через эфиронокрестность точки $\bar{i}(\tilde{i})$ подпространства $\bar{P}^{3*}(\tilde{P}^{3*})$ в направлении $\bar{i} \rightarrow \bar{j}(\tilde{i} \rightarrow \tilde{j})$ – количество эфирной информации, переносимой через эфиронокрестность данной точки $\bar{i}(\tilde{i})$ (т. е. дважды пересекающей её границу) в направлении $\bar{i} \rightarrow \bar{j}(\tilde{i} \rightarrow \tilde{j})$ за единицу времени.

Определение 2-14. Интенсивность излучения эфирной информации $\bar{I}_{i \rightarrow j}^{\text{изл}} (\tilde{I}_{i \rightarrow j}^{\text{изл}})$ эфиронокрестностью точки $\bar{i}(\tilde{i})$ подпространства $\bar{P}^{3*}(\tilde{P}^{3*})$ в направлении $\bar{i} \rightarrow \bar{j}(\tilde{i} \rightarrow \tilde{j})$ – количество эфирной информации, испускаемой эфиронокрестностью данной точки $\bar{i}(\tilde{i})$ (т. е. единожды пересекающей её границу) в направлении $\bar{i} \rightarrow \bar{j}(\tilde{i} \rightarrow \tilde{j})$ за единицу времени.

Определение 2-15. Интенсивность поглощения эфирной информации $\bar{I}_{i \rightarrow j}^{\text{полг}} (\tilde{I}_{i \rightarrow j}^{\text{полг}})$ эфиронокрестностью точки $\bar{i}(\tilde{i})$ подпространства $\bar{P}^{3*}(\tilde{P}^{3*})$ в направлении $\bar{i} \leftarrow \bar{j}(\tilde{i} \leftarrow \tilde{j})$ – количество эфирной информации, поглощаемой эфиронокрестностью данной точки $\bar{i}(\tilde{i})$ (т. е. единожды пересекающей её границу) в направлении $\bar{i} \leftarrow \bar{j}(\tilde{i} \leftarrow \tilde{j})$ за единицу времени.

Примечание 2-9. Очевидно, что пропускать через себя эфирную информацию могут только пустые и неполные (см. [примеч.2-4](#), стр.20) эфиронокрестности, а излучать и поглощать только полные и неполные эфиронокрестности.

Примечание 2-10. Определения 2-13, 2-14 и 2-15 справедливы также и для суперэфиронокрестности точки « \bar{i} ».

Определение 2-16. Эфирное давление $\bar{P}_{i \leftarrow j}(\tilde{P}_{i \leftarrow j})$ на точку $\bar{i}(\tilde{i})$ пространства $\bar{P}^{3*}(\tilde{P}^{3*})$ в направлении $\bar{i} \leftarrow \bar{j}(\tilde{i} \leftarrow \tilde{j})$ – разность между интенсивностями эфирной ин-

формации поступающей в пустую или условно пустую эфиронокрестность точки \bar{i} (\tilde{i}) в обратном $\bar{i} \leftarrow \bar{j}$ ($\tilde{i} \leftarrow \tilde{j}$) и прямом $\bar{i} \rightarrow \bar{j}$ ($\tilde{i} \rightarrow \tilde{j}$) направлении.

$$\bar{P}_{i \leftarrow j} = \bar{I}_{i \leftarrow j} - \bar{I}_{i \rightarrow j} = \Delta \bar{I}_{i \leftarrow j}, \quad (\tilde{P}_{i \leftarrow j} = \tilde{I}_{i \leftarrow j} - \tilde{I}_{i \rightarrow j} = \Delta \tilde{I}_{i \leftarrow j}). \quad (2-5)$$

2.4 ЭФИКСАТОРЫ САМБАТЭРПРОСТРАНСТВА

Определение 2-17. Эфирный фиксатор (эфиксатор) $\Phi_{\bar{i}}$ – точка i Самбатэрпространства, эфирное давление на которую равно нулю, по всему её суперспектру направлений.

Определение 2-18. Стационарный эфиксатор $\Phi_{\bar{i}}^C$ – эфиксатор, неподвижный относительно Самбатэрсреды или движущейся как абсолютно жесткое тело её области, внутри которой он находится. Стационарные эфиксаторы могут менять своё положение относительно Самбатэрсреды или движущейся как абсолютно жесткое тело её области, но только скачкообразно (т. е. со скоростью \ddot{C}).

Определение 2-19. Динамический эфиксатор $\Phi_{\bar{i}}^D$ – эфиксатор, возникающий в момент начала смещения эфирыона (см. далее) и сопровождающий его, будучи совмещённым с ним, до момента завершения смещения эфирыона. В этот момент они оба совмещаются со стационарным эфиксатором эфирыона, который скачкообразно сместился в момент начала смещения эфирыона.

Определение 2-20. Смещение эфирыона (эфиксатора) – перемещение эфирыона (эфиксатора) из эфиронокрестности точки i в эфиронокрестность точки i_1 , вызванное приращением интенсивности переноса эфирной информации в направлении $i \rightarrow i_1$ от некоторого спонтанно возникшего источника эфирной информации.

В тривиальном Самбатэрпространстве все эфиксаторы стационарны (они не меняют своего положения в пространстве даже скачкообразно), и подразделяются на следующие два типа (см. рис. 2.2):

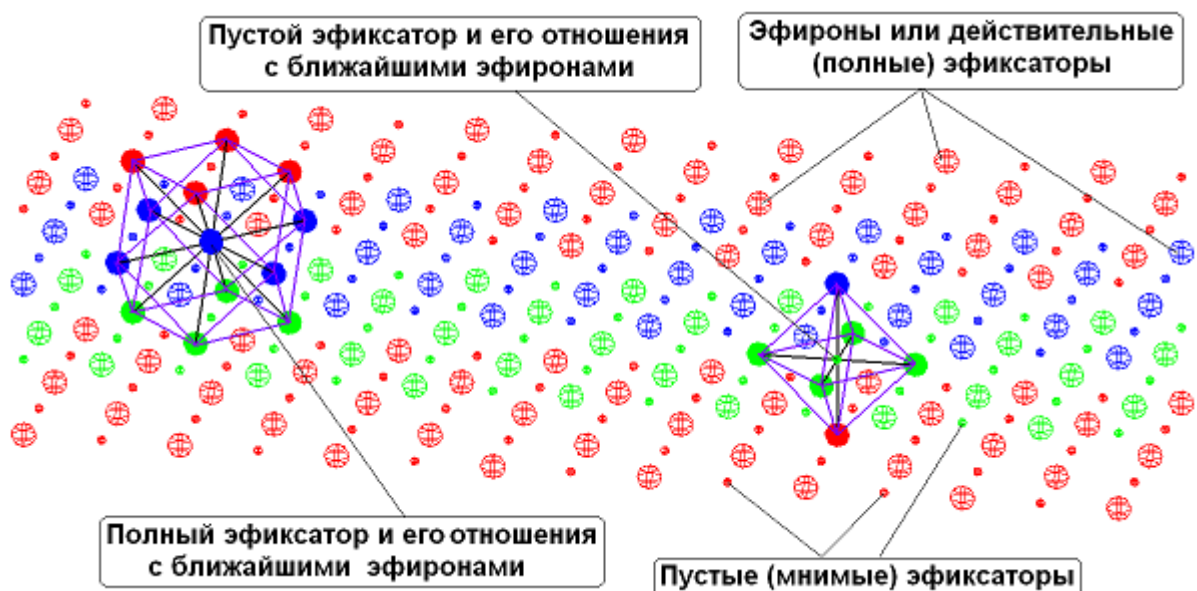


Рисунок 2.2. Гранецентрированная кубическая решетка тривиального лицевого или теневого подпространства

Определение 2-21. Действительные эфиксаторы $\Phi_{\Xi_i}^{12}$ – эфиксаторы совмещённые с эфиронами тривиального Самбатэрпространства, центры которых образуют известные гранецентрированные кубические решетки в подпространствах \bar{P}^{3*} и \tilde{P}^{3*} (см. [рис. 2.2](#)(стр.22) и [примеч. 2-1](#)(стр.17)).

Определение 2-22. Мнимые эфиксаторы $\Phi_{\Xi_i}^6$ – эфиксаторы не совмещённые с эфиронами и расположенные в геометрических центрах элементарных решетчатых ячеек (октаэдрах) образованных ближайшими друг от друга шестью эфиронами (см. [рис. 2.2](#)). Если их рассматривать отдельно от действительных эфиксаторов, то они также образуют гранецентрированные кубические решетки в подпространствах \bar{P}^{3*} и \tilde{P}^{3*} .

Из свойств решетчатой четырехмерной упаковки D^{4*} следуют следующие четыре примечания:

Примечание 2-11. В тривиальном Самбатэрпространстве множество всех действительных эфиксаторов подпространства \bar{P}^{3*} эквивалентно множеству всех мнимых эфиксаторов подпространства \tilde{P}^{3*} , также как множество всех действительных эфиксаторов подпространства \tilde{P}^{3*} эквивалентно множеству всех мнимых эфиксаторов подпространства \bar{P}^{3*} .

Примечание 2-12. Порядкообразующая сфера первого порядка каждого действительного эфиксатора тривиального подпространства \bar{P}^{3*} (\tilde{P}^{3*}) содержит двенадцать лицеронов (тенеронов), а её радиус равен кванту расстояния r_0 (см. [опр.3-49](#), стр.41), т. е. расстоянию между двумя ближайшими соседними эфиронами тривиального Самбатэрпространства. Центры эфиронов этой сферы образуют двенадцать вершин четырнадцатигранника (см. [рис. 2.2](#), стр.22), гранями которого служат шесть правильных четырехугольников и восемь правильных треугольников, стороны которых равны кванту расстояния r_0 .

Примечание 2-13. Порядкообразующая сфера первого порядка каждого мнимого эфиксатора тривиального подпространства \bar{P}^{3*} (\tilde{P}^{3*}) содержит шесть лицеронов (тенеронов), центры которых расположены на вершинах октаэдра. Радиус этой сферы равен $2^{-0,5} r_0$, т. е. частному от деления кванта расстояния на корень квадратный из двух (расстоянию между центром октаэдра и его вершиной). Напомню что у октаэдра шесть вершин и восемь граней (равных друг другу правильных треугольников), стороны которых равны кванту расстояния r_0 .

Примечание 2-14. В тривиальном Самбатэрпространстве проекции центров лицеронов на теневое подпространство и проекции центров тенеронов на лицевое подпространство совпадают с центрами мнимых эфиксаторов этих подпространств. Иначе говоря, отношения тривиальных подпространств \bar{P}^{3*} и \tilde{P}^{3*} таковы, что напротив каждого действительного эфиксатора подпространства \bar{P}^{3*} (\tilde{P}^{3*}) расположен мнимый эфиксатор подпространства \tilde{P}^{3*} (\bar{P}^{3*}).

Определение 2-23. Линейная зона эфиксатора ($Z_{\Phi_i}^1$) – шарообразная область подпространства \bar{P}^{3*} (\tilde{P}^{3*}), центр которой совмещён с центром эфиксатора, а внешнее эфирное давление на её произвольную точку k , находится в линейной зависимости от рас-

стояния между этой точкой и центром эфиксатора. Данное определение справедливо только для пустого или условно пустого эфиксатора (без учета эфилона, зафиксированного в нем, т. е. его необходимо мысленно удалить). Если же мысленно сместить центр эфилона полного эфиксатора из центра эфиксатора i в произвольную точку линейной зоны k , то внешнее эфирное давление на эфирон, линейно зависящее от расстояния $r_{i \rightarrow k}$, сместит эфирон в обратном направлении до совмещения его центра с центром эфиксатора. Из вышесказанного следуют выражения:

$$\ddot{P}_{i \leftarrow k}^{ЛЗ} = -K_{ЛЗ} r_{i \rightarrow k}, \quad \Delta \ddot{I}_{i \leftarrow k}^{ЛЗ} = -K_{ЛЗ} r_{i \rightarrow k}, \quad (2-6)$$

где:

- $\ddot{P}_{i \leftarrow k}^{ЛЗ}$ – внешнее эфирное давление (см. [опр.2-16](#), стр.21) на произвольную точку k линейной зоны эфиксатора.
- $\Delta \ddot{I}_{i \leftarrow k}^{ЛЗ}$ – приращение интенсивности эфирной информации переносимой через эфиронокрестность точки k в направлении $i \leftarrow k$;
- $K_{ЛЗ} = \text{const}$ – коэффициент линейной зоны;
- $r_{i \rightarrow k} \leq R_{ЛЗ}$ – расстояние от центра эфиксатора i до точки k ;
- $R_{ЛЗ}$ – радиус линейной зоны.

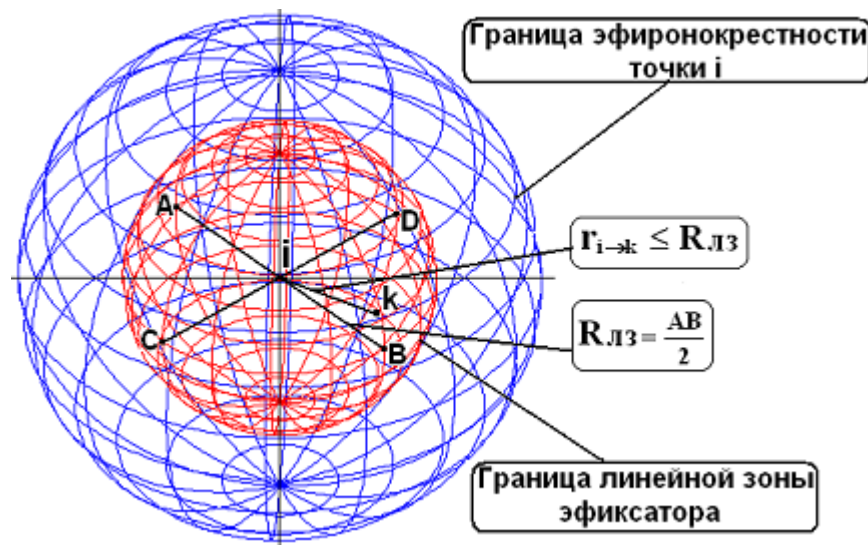


Рисунок 2.3. Пустой стационарный эфиксатор $\Phi_{\Xi i}^C$

Определение 2-24). Нелинейная зона $Z_{\Phi i}^{НЛ}$ условно пустого эфиксатора – область подпространства $\overline{P}^{3*}(\tilde{P}^{3*})$, расположенная за пределами линейной зоны эфиксатора, на произвольную точку k которой воздействует внешнее эфирное давление, нелинейно зависящее от расстояния $r_{i \rightarrow k}$ между точкой k и центром эфиксатора. Данное определение, также как и предыдущее, справедливо только для пустого или условно пустого эфиксатора. Если мысленно сместить центр эфилона из точки i в точку k , то эфирное давление $\ddot{P}_{i \leftarrow k}^{НЛЗ}$ вернёт его сначала в линейную зону, а затем в точку i .

$$\ddot{P}_{i \leftarrow k}^{НЛЗ} = -K_{НЛЗ} r_{i \rightarrow k}, \quad (2-7)$$

где:

- $\ddot{P}_{i \leftarrow k}^{нлз}$ – эфирное давление на точку k нелинейной зоне;
- $K_{нлз} = \varphi(r_{i \rightarrow k})$ – коэффициент нелинейной зоны переменная величина.

Определение 2-25. Переходная зона $Z_{\Phi i}^n$ условно пустого эфиксатора – область между линейной и нелинейной зонами, которую можно относить к линейной или к нелинейной зоне, в зависимости от обстоятельств.

2.5 СВОЙСТВА ЭФИРОНОВ САМБАТЭРПРОСТРАНСТВА

Определение 2-26. Все эфирыны Самбатэрпространства являются тождественными друг другу реальными источниками эфирной информации постоянной мощности $M_{\ddot{y}}$ (количество эфирной информации в секунду) излучения. Излучаемая эфирынами эфирная информация равномерно распределена по всему суперспектру направлений излучающего эфирына и распространяется со скоростью \ddot{C} относительно источника независимо от его отношений с соседями и Самбатэрсредой в целом.

Излучаемая эфирыном или условным источником (опр. 3-50, стр.42) эфирная информация образует в Одисфейпространстве центральное поле приращений интенсивности радиального переноса эфирной информации (поле эфирных давлений). Поля эфирных давлений всегда вызывают соответствующие смещения эфирынов, которые условимся называть полями смещений эфирынов. Мощности возникающих таким образом центральных полей приращения интенсивности радиального переноса эфирной информации определяется следующим законом:

Определение 2-27 Приращение интенсивности радиального переноса эфирной информации $\Delta I_{i \rightarrow i_1}^{пер}$ в произвольной точке i_1 вызванное реальным или условным источником мощностью $M_{\ddot{y}_i}$ ($M_{\ddot{y}_i}$) расположенном в точке i , прямо пропорционально этой мощности и обратно пропорционально «площади» трехмерной гиперсферы радиусом $R_{i \rightarrow i_1}$, равному расстоянию от точки i_1 до центра источника i .

$$\Delta I_{i \rightarrow i_1}^{пер} = \frac{M_{\ddot{y}_i}(M_{\ddot{y}_i})}{2\pi^2 R_{i \rightarrow i_1}^3}, \quad (2-8)$$

где:

- $M_{\ddot{y}_i}$ ($M_{\ddot{y}_i}$) – мощность реального (условного) источника приращения интенсивности эфирной информации;
- $\Delta I_{i \rightarrow i_1}^{пер}$ – приращение интенсивности радиального переноса эфирной информации в произвольной точке i_1 , вызванное источником эфирной информации с центром в точке i .

Доказательство данной теоремы вытекает из определения 2-26 и формулы $S_{\Phi}^{4*} = 2\pi^2 R^3$ для площади поверхности четырёхмерного шара радиусом R , которая легко выводится методом интегрального исчисления (см. [2]). Эту формулу мы применяем в связи с тем, что эфирная информация испущенная источником равномерно распределяется не по спектру, а по суперспектру направлений.

Определение 2-28. Суперпозиция полей эфирных давлений, вызываемых всеми молекулами Самбатэрсреды, формирует действительные и мнимые эфиксаторы Самбатэр-

пространства, распределяя тем самым и эфирыны Самбатэрпространства (это распределение является частным проявлением распределения молекул Самбатэрсреды в Одисфейпространстве).

Действительно источниками всей пересекающей Самбатэрпространство эфирной информации являются:

- эфирыны Самбатэрпространства;
- нижний информационный фон – эфирная информация, исходящий из достаточно толстого слоя прилегающих к Самбатэрпространству 4D молекул Самбатэрсреды;
- верхний информационный фон – эфирная информация, поступающая из окружающего Самбатэрсреду Одисфейпространства.

Эти источники уравнивают друг друга, формируя при этом действительные и мнимые эфиксаторы Самбатэрпространства.

Определение 2-29. Эфирыны Самбатэрпространства являются поглотителями всей поступающей к ним эфирной информации и каждый из них всегда находится в таком состоянии движения или покоя относительно Самбатэрсреды или некоторой её области, при котором оказываемое на него эфирное давление равно нулю по всему его суперспектру направлений. Аналитически это определение описывается уравнением:

$$P_{i \rightarrow j}^{4*} = 0, \quad (2-9)$$

где:

- i – центр эфирына \ddot{E}_i Самбатэрпространства;
- j – пробегает все граничные точки суперэфиронокрестности эфирына \ddot{E}_i ;
- $i \rightarrow j$ – текущее направление эфирного давления.

Следовательно, при спонтанном возникновении приращения интенсивности эфирной информации $\Delta \ddot{I}_{i \rightarrow j}^{\text{полгл}}$ переносимой через суперэфиронокрестность эфирына \ddot{E}_i в направлении $i \rightarrow j$, произойдёт следующее:

Стационарный эфиксатор эфирына \ddot{E}_i скачкообразно сместится из точки i в некоторую точку i_1 , расположенную на линии $i \rightarrow j$ в пределах линейной зоны (нелинейные процессы здесь не рассматриваются), где согласно формуле (2-6) внешнее эфирное давление нейтрализует спонтанно возникшее приращение интенсивности эфирной информации. Откуда получаем:

$$\Delta \ddot{I}_{i \rightarrow j}^{\text{полгл}} = \ddot{P}_{i \rightarrow j}^{\text{полгл}} = -\ddot{P}_{i \leftarrow i_1}^{\text{лз}} = K_{\text{лз}} r_{i \leftarrow i_1},$$

тогда:

$$\Delta E_{i \rightarrow i_1}^{\Phi_{\ddot{E}_i}} = r_{i \leftarrow i_1} = \frac{\Delta \ddot{I}_{i \rightarrow j}^{\text{полгл}}}{K_{\text{лз}}}, \quad (2-10)$$

где:

- $\Delta E_{i \rightarrow i_1}^{\Phi_{\ddot{E}_i}} = r_{i \leftarrow i_1}$ – скачкообразное смещение эфиксатора эфирына \ddot{E}_i из точки i в точку i_1 ;
- $\Delta \ddot{I}_{i \rightarrow j}^{\text{полгл}} = \ddot{P}_{i \rightarrow j}^{\text{полгл}}$ – приращение интенсивности эфирной информации, вызванное спонтанно возникшим условным источником.

Оставшийся в точке i эфирон под воздействием спонтанно возникшего эфирного давления $\ddot{\mathbf{P}}_{i \rightarrow j}^{\text{полгл}}$ начинает смещаться в направлении $i \rightarrow j$ ($i \rightarrow i_1$) со скоростью $V_{i \rightarrow i_1}^{\ddot{\mathbf{P}}_i}$, при которой оказываемое на данный эфирон эфирное давление равно нулю по всему суперспектру направлений (т.е. на место ушедшего от эфилона стационарного эффиксатора возникает динамический эффиксатор). Начальную скорость смещения эфилона $\ddot{\mathbf{E}}_i$ определим используя уравнение (2-9), из которого следует, что количество поглощаемой эфиром эфирной информации, распространяющейся по направлению смещения эфилона равно количеству поглощаемой эфиром эфирной информации распространяющейся по обратному смещению эфилона направлению, т. е.

$$(|\ddot{\mathbf{C}}| + |V_{i \rightarrow i_1}^{\text{нач}}|) \frac{|\ddot{\mathbf{I}}_{i \leftarrow i_1}^{\text{полгл}}|}{|\ddot{\mathbf{C}}|} = (|\ddot{\mathbf{C}}| - |V_{i \rightarrow i_1}^{\text{нач}}|) \frac{|\ddot{\mathbf{I}}_{i \rightarrow i_1}^{\text{полгл}}| + |\Delta \ddot{\mathbf{I}}_{i \rightarrow i_1}^{\text{полгл}}|}{\ddot{\mathbf{C}}}.$$

Откуда после несложных преобразований получаем:

$$|V_{i \rightarrow i_1}^{\text{нач}}| = \frac{|\ddot{\mathbf{C}}| |\Delta \ddot{\mathbf{I}}_{i \rightarrow i_1}^{\text{полгл}}|}{|\ddot{\mathbf{I}}_{i \rightarrow i_1}^{\text{полгл}}| + |\ddot{\mathbf{I}}_{i \leftarrow i_1}^{\text{полгл}}| + |\Delta \ddot{\mathbf{I}}_{i \rightarrow i_1}^{\text{полгл}}|}, \quad (2-11)$$

где:

- $|V_{i \rightarrow i_1}^{\text{нач}}|$ – абсолютная величина начальной скорости смещения эфилона $\ddot{\mathbf{E}}_i$;
- $|\Delta \ddot{\mathbf{I}}_{i \rightarrow i_1}^{\text{полгл}}|$ – абсолютная величина приращения интенсивности эфирной информации, вызванного спонтанно возникшим условным источником;
- $|\ddot{\mathbf{I}}_{i \rightarrow i_1}^{\text{полгл}}|$ и $|\ddot{\mathbf{I}}_{i \leftarrow i_1}^{\text{полгл}}|$ – абсолютные величины интенсивностей прямых ($i \rightarrow i_1$) и обратных ($i \leftarrow i_1$) фоновых потоков эфирной информации поглощаемой смещающимся эфиром;
- $\frac{|\ddot{\mathbf{I}}_{i \rightarrow i_1}^{\text{полгл}}| + |\Delta \ddot{\mathbf{I}}_{i \rightarrow i_1}^{\text{полгл}}|}{\ddot{\mathbf{C}}}$ и $\frac{|\ddot{\mathbf{I}}_{i \leftarrow i_1}^{\text{полгл}}|}{|\ddot{\mathbf{C}}|}$ – линейная плотность прямого суммарного и обратного

суммарного потока эфирной информации относительно смещающегося эфилона $\ddot{\mathbf{E}}_i$.

Теперь поговорим подробнее о фоновых потоках эфирной информации.

Как говорилось выше, в подпространстве $\overline{\mathbf{P}}\mathbf{r}^*$ ($\tilde{\mathbf{P}}\mathbf{r}^*$) имеются только два типа уравновешенных по всему суперспектру направлений точек, это мнимые (пустые) эффиксаторы и действительные (полные) эффиксаторы. Условимся далее называть уравновешивающие друг друга потоки эфирной информации, пересекающие суперэфиронокрестности мнимых (пустых) эффиксаторов, фоновыми потоками первого типа, а уравновешивающие друг друга потоки эфирной информации, пересекающие условно пустые суперэфиронокрестности действительных эффиксаторов, фоновыми потоками второго типа.

Очевидно, что фоновые потоки второго типа менее интенсивны фоновых потоков первого типа. Это связано с тем, что радиус порядкообразующей сферы мнимого эффиксатора меньше радиуса порядкообразующей сферы действительного эффиксатора (см. [примеч.2-12 и 2-13](#), стр. 23). Абсолютная величина интенсивности фоновых потоков как первого так и второго типа в незначительной степени зависит от направления в пределах их спектров направлений, но эти обусловленные направлением приращения интенсивности уравновешенных потоков ничтожны по сравнению с интенсивностью самих потоков, следовательно, в нашем

случае этими приращениями можно пренебречь. Поскольку интенсивность фоновых потоков второго типа минимальна в тривиальном Самбатэрпространстве, то примем в качестве фонового потока Самбатэрпространства среднюю, по спектру направлений условно пустого действительного эфиксатора, величину фоновых потоков второго типа. Исходя из вышесказанного, среднюю, по спектру направлений центра действительного эфиксатора, интенсивность уравновешенных потоков эфирной информации условимся называть **интенсивностью фонового потока эфирной информации** и считать её одинаковой для фоновых потоков всех точек Самбатэрпространства. Следовательно, интенсивность фонового потока эфирной информации Самбатэрпространства прямо пропорциональна плотности Самбатэрпространства, т. е. плотности его эфиронов (или плотности молекул Самбатэрсреды).

Поскольку интенсивность фоновых потоков несоизмеримо больше интенсивности любого линейного (в пределах линейных зон эфиксаторов) приращения эфирной информации этих потоков, т. е. $2|\ddot{\mathbf{I}}_{i \rightarrow i_1}^{\text{погл}}| \gg |\Delta \ddot{\mathbf{I}}_{i \rightarrow i_1}^{\text{погл}}|$ или $2|\ddot{\mathbf{I}}_{i \rightarrow i_1}^{\text{погл}}| + |\Delta \ddot{\mathbf{I}}_{i \rightarrow i_1}^{\text{погл}}| \approx 2|\ddot{\mathbf{I}}_{i \rightarrow i_1}^{\text{погл}}|$, то без значительных потерь в точности формулу (2-11) можно переписать так:

$$|\mathbf{V}_{i \rightarrow i_1}^{\text{нач}}| = \frac{|\ddot{\mathbf{C}}| |\Delta \ddot{\mathbf{I}}_{i \rightarrow i_1}^{\text{погл}}|}{2|\ddot{\mathbf{I}}_{i \rightarrow i_1}^{\text{погл}}|}. \quad (2-11)^a$$

Откуда следует, что скорость протекания всех процессов в Сам-Батэре обратно пропорциональна плотности Самбатэрпространства или некоторой достаточно обширной его области.

Этот закон подтверждается тем фактом, что скорость света больше в том направлении, в котором линейная плотность эфиронов меньше и наоборот меньше в том направлении, в котором линейная плотность эфиронов больше.

Далее попробуем определить длительность промежутка времени $\Delta t_{i \rightarrow i_1}^{\text{см}}$, в течение которого эфирон $\ddot{\mathbf{I}}_i$ сместится из точки \mathbf{i} в точку \mathbf{i}_1 .

Используя формулы (2-10) и (2-11), получаем следующее выражение для абсолютной величины начальной скорости $|\mathbf{V}_{i \rightarrow i_1}^{\text{нач}}|$ смещения эфирона $\ddot{\mathbf{I}}_i$ (см. [рис.2.4](#), стр.29):

$$|\mathbf{V}_{i \rightarrow i_1}^{\text{нач}}| = \frac{|\ddot{\mathbf{C}}| K_{\text{лз}} |\Delta E_{i \rightarrow i_1}^{\Phi_{\ddot{\mathbf{I}}_i}}|}{|\ddot{\mathbf{I}}_{i \rightarrow i_1}^{\text{погл}}| + |\ddot{\mathbf{I}}_{i \leftarrow i_1}^{\text{погл}}| + K_{\text{лз}} |\Delta E_{i \rightarrow i_1}^{\Phi_{\ddot{\mathbf{I}}_i}}|}. \quad (2-11)^b$$

Для абсолютной величины текущей скорости $|\mathbf{V}_{i \rightarrow i_1}^{\text{тек}}|$ смещения эфирона $\ddot{\mathbf{I}}_i$, получаем следующее выражение:

$$|\mathbf{V}_{i \rightarrow i_1}^{\text{тек}}| = \frac{|\ddot{\mathbf{C}}| K_{\text{лз}} (|\Delta E_{i \rightarrow i_1}^{\Phi_{\ddot{\mathbf{I}}_i}}| - |\Delta E_{i \rightarrow i_1}^{\text{тек}}|)}{2|\ddot{\mathbf{I}}_{i \rightarrow i_1}^{\text{погл}}| + K_{\text{лз}} (|\Delta E_{i \rightarrow i_1}^{\Phi_{\ddot{\mathbf{I}}_i}}| - |\Delta E_{i \rightarrow i_1}^{\text{тек}}|)}. \quad (2-12)$$

Где $\Delta E_{i \rightarrow i_1}^{\text{тек}}$ – текущее значение величины смещения эфирона \ddot{E}_i относительно точки i , которую определим следующим образом:

$$\left| \Delta E_{i \rightarrow i_1}^{\text{тек}} \right| = \int_{t_{\text{нач}}}^{t_{\text{тек}}} \left| V_{i \rightarrow i_1}^{\text{тек}} \right| dt, \quad (2-12)^a$$

где $t_{\text{тек}}$ текущее мгновение.

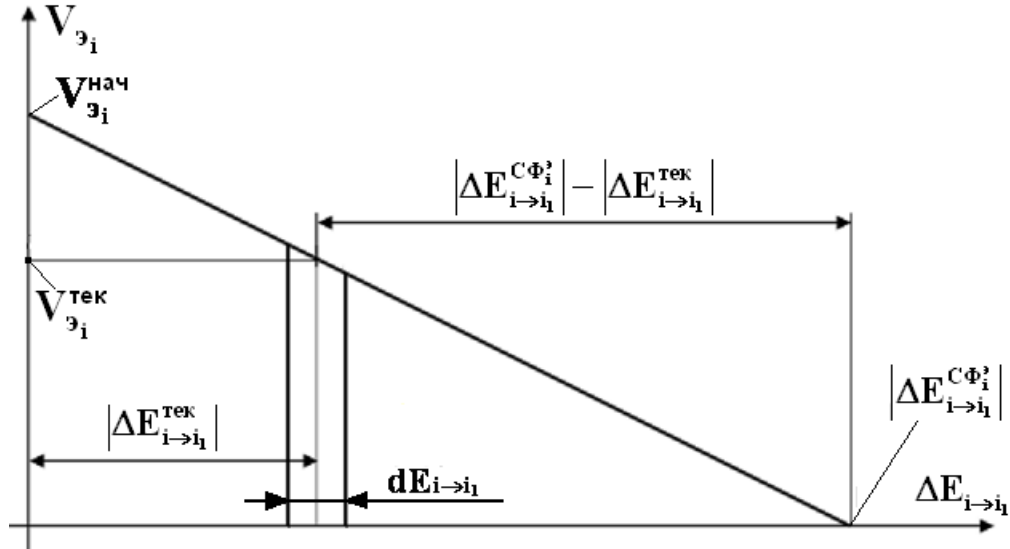


Рисунок 2.4. График функции $V_{\ddot{E}_i}^{\text{тек}} = f(|\Delta E_{i \rightarrow i_1}^{\Phi_{\ddot{E}_i}^c}| - |\Delta E_{i \rightarrow i_1}^{\text{тек}}|)$

Поскольку как говорилось выше в пределах линейной зоны справедливо неравенство $2|\ddot{I}_{i \rightarrow i_1}^{\text{погл}}| \gg K_{\text{лз}}(|\Delta E_{i \rightarrow i_1}^{\Phi_{\ddot{E}_i}^c}| - |\Delta E_{i \rightarrow i_1}^{\text{тек}}|)$ (напоминаю, что здесь мы анализируем только линейные процессы), то вторым членом знаменателя формулы для текущей скорости можно пренебречь, и тогда она примет следующий вид:

$$\left| V_{i \rightarrow i_1}^{\text{тек}} \right| = \frac{|\ddot{C}| K_{\text{лз}} (|\Delta E_{i \rightarrow i_1}^{\Phi_{\ddot{E}_i}^c}| - |\Delta E_{i \rightarrow i_1}^{\text{тек}}|)}{2|\ddot{I}_{i \rightarrow i_1}^{\text{погл}}|}, \quad (2-12)^b$$

или

$$\left| V_{i \rightarrow i_1}^{\text{тек}} \right| = \ddot{K} (|\Delta E_{i \rightarrow i_1}^{\Phi_{\ddot{E}_i}^c}| - |\Delta E_{i \rightarrow i_1}^{\text{тек}}|), \quad (2-12)^B$$

$$\ddot{K} = \frac{K_{\text{лз}} |\ddot{C}|}{2|\ddot{I}_{i \rightarrow i_1}^{\text{погл}}|} = \text{const.}$$

Следовательно, $|V_{i \rightarrow i_1}^{\text{тек}}| = f(|\Delta E_{i \rightarrow i_1}^{\Phi_{\mathfrak{E}_i}^C}| - |\Delta E_{i \rightarrow i_1}^{\text{тек}}|)$ – линейная функция (см. [рис.2.4](#)).

Тогда время, за которое эфирон \mathfrak{E}_i сместится из точки i в точку i_1 , определяется следующим выражением:

$$\Delta t_{i \rightarrow i_1}^{\text{см}} = \int_0^{\Delta E_{i \rightarrow i_1}^{\Phi_{\mathfrak{E}_i}^C}} \frac{dE_{i \rightarrow i_1}}{\ddot{K}(|\Delta E_{i \rightarrow i_1}^{\Phi_{\mathfrak{E}_i}^C}| - |\Delta E_{i \rightarrow i_1}^{\text{тек}}|)} = -\frac{\ln 0}{\ddot{K}} + \frac{\ln |\Delta E_{i \rightarrow i_1}^{\Phi_{\mathfrak{E}_i}^C}|}{\ddot{K}} = \infty. \quad (2-13)$$

Откуда следует, что полный процесс смещения эфирона \mathfrak{E}_i из точки i в точку i_1 относительно своих соседей, при условии, что соседи при этом не смещаются, протекает бесконечно долго. Такой результат получился из-за того что мы рассматривали относительное (см. опр. 2-30) смещение эфирона \mathfrak{E}_i без учёта огромной последовательности смещений всех эфиронов ближних и дальних порядков. В реальном мире процесс смещения эфиронов это обширный во времени и в пространстве процесс, охватывающий огромное число эфиронов ближних и дальних порядков. Эфироны тривиального Самбатэрпространства являются не только реальными центральными источниками эфирной информации, формирующей это пространство, но они способны формировать и условные центральные источники приращения интенсивности эфирной информации. Подробнее об условных источниках сказано в третьей главе, а здесь определим следующие типы смещений эфиронов, вызываемые условными источниками:

Определение 2-30. Относительные радиальные смещения эфиронов – вызванные приращением интенсивности эфирной информации, от центрального условного источника k , радиальные смещения $\Delta E_{i \rightarrow k}^{\mathfrak{E}_i}$ эфиронов порядкообразующей сферы $C_{R_{k \rightarrow i}}^{3*}$ центра источника k , содержащей эфирон \mathfrak{E}_i , относительно порядкообразующей сферы $C_{R_{k \rightarrow i} - r_0}^{3*}$ того же центра.

$$\Delta E_{i \rightarrow k}^{\mathfrak{E}_i} = r_0 - [R_{k \rightarrow i}^{\text{см}} - (R_{k \rightarrow i} - r_0)^{\text{см}}], \quad (2-14)$$

где:

- r_0 – квант расстояния (см. [опр.3-49](#), стр.41);

$R_{k \rightarrow i}$ – радиус порядкообразующей сферы $C_{R_{k \rightarrow i}}^{3*}$ до смещения её эфиронов вызванного источником k (см. [опр. 1-8\(стр.7\)](#), [1-9\(стр.8\)](#), [1-10\(стр.8\)](#) и [1-11\(стр.8\)](#));

- $(R_{k \rightarrow i} - r_0)$ – радиус порядкообразующей сферы $C_{R_{k \rightarrow i} - r_0}^{3*}$ до смещения её эфиронов вызванного источником k ;
- $R_{k \rightarrow i}^{\text{см}}$ – радиус порядкообразующей сферы $C_{R_{k \rightarrow i}}^{3*}$ после смещения её эфиронов вызванного источником k ;
- $(R_{k \rightarrow i} - r_0)^{\text{см}}$ – радиус порядкообразующей сферы $C_{R_{k \rightarrow i} - r_0}^{3*}$ после смещения её эфиронов вызванного источником k .

Примечание 2-15. Относительные радиальные смещения эфиронов уплотняющие порядкообразующие сферы, т. е. сжимающие пространство в радиальном направлении, условимся считать положительными. Если же вышеупомянутые смещения наоборот растягивают пространство, то условимся считать их отрицательными.

Из формул (2-8(стр.25)) и (2-10(стр.26)) получаем:

$$\Delta E_{i \rightarrow k}^{\ddot{e}_i} = \Delta E_{i \rightarrow k}^{\Phi_{\ddot{e}_i}^c} = \frac{1}{K_{\text{лз}}} \Delta \ddot{I}_{i \rightarrow k}^{\text{пер}} = \frac{M_k}{2K_{\text{лз}} \pi^2 R_{k \rightarrow i}^3}, \quad (2-15)$$

где M_k – мощность источника приращения интенсивности эфирной информации k ;

Определение 2-31. Абсолютное радиальное смещение эфирона \ddot{e}_i – радиальное смещение $E_{i \rightarrow k}^{\ddot{e}_i}$ эфирона \ddot{e}_i относительно центра источника k вызванное приращением интенсивности эфирной информации от этого источника.

$$E_{i \rightarrow k}^{\ddot{e}_i} = E_{i \rightarrow k}^{\Phi_{\ddot{e}_i}^c} = \int_{R_{k \rightarrow i}}^{\infty} \Delta E_{i \rightarrow k}^{\ddot{e}_i}(R) dR = \frac{M_k}{2K_{\text{лз}} \pi^2} \int_{R_{k \rightarrow i}}^{\infty} \frac{dR}{R^3} = \frac{M_k}{4K_{\text{лз}} \pi^2 R_{k \rightarrow i}^2},$$

или:

$$E_{i \rightarrow k}^{\ddot{e}_i} = \frac{M_k}{4K_{\text{лз}} \pi^2 R_{k \rightarrow i}^2}. \quad (2-16)$$

Примечание 2-16. Следует заметить, что положительные абсолютные радиальные смещения эфиронов увеличивают радиусы порядкообразующих сфер центра источника k , а отрицательные абсолютные радиальные смещения эфиронов уменьшают эти радиусы.

Определение 2-32. Тангенциальное смещение эфирона \ddot{e}_i – вызванное приращением интенсивности эфирной информации, от центрального источника k , приращение расстояния $E_{R_{i \rightarrow k}}^{\tau}$ между ближайшими соседними эфиронами порядкообразующей сферы центра источника, на которой расположен данный эфирон.

$$E_{R_{i \rightarrow k}}^{\tau} = \frac{r_0 E_{i \rightarrow k}^{\ddot{e}_i}}{R_{i \rightarrow k}} = \frac{r_0 M_k}{4K_{\text{лз}} \pi^2 R_{i \rightarrow k}^3}. \quad (2-17)$$

Примечание 2-17. Тангенциальные смещения эфиронов вызывающие уменьшение расстояний между эфиронами порядкообразующих сфер центра источника условимся считать отрицательными, а увеличивающие эти расстояния – положительными.

Примечание 2-18. Формула (2-13) справедлива только для относительных смещений.

ГЛАВА 3 ВСЕОБРАЗУЮЩИЙ ЭЛЕМЕНТАРНЫЙ ПРОЦЕСС САМ-БАТЭРЫ (ВЭПС)

3.1 АНАЛИЗ СТРУКТУРЫ ВЭПСА

В третьей главе мы займёмся анализом элементарного (в полном смысле этого слова) процесса, который прямо или косвенно образует все, что есть в Сам-Батэре кроме самого тривиального Самбатэрпространства.

Определение 3-1. Негативное нормальное смещение ($N_{\bar{e}}$) – смещение произвольного лицерона \bar{E}_e из точки \bar{e} лицевой сферы (см. [опр. 2-5](#), стр.19) в точку \bar{e} главной сферы Самбатэрпространства, при этом отрезок $\bar{e}\bar{e}$ перпендикулярен к этим сферам. Условимся далее называть нормально смещённые лицероны негаронами.

Определение 3-2. Позитивное нормальное смещение ($N_{\tilde{p}}$) – смещение произвольного тенерона \tilde{E}_p из точки \tilde{p} теневой сферы (см. [опр. 2-5](#), стр.19) в точку \tilde{p} главной сферы Самбатэрпространства, при этом отрезок $\tilde{p}\tilde{p}$ перпендикулярен к этим сферам. Условимся далее называть нормально смещённые тенероны позиронами.

Примечание 3-1. В определении 3-1 (3-2) сказано, что негарон (позирон) расположен на главной сфере Самбатэрпространства, в реальности он несколько (тенденционно) смещен в сторону лицевой (теневой) сферы (см. [рис. 2.1](#), стр.18).

Определение 3-3. Закон единства пары нормальных смещений ($N_{\bar{e} \leftrightarrow \tilde{p}}$) – если в некоторый момент времени t_0 в произвольной точке \bar{e} (\tilde{p}) Самбатэрпространства возникает негативное (позитивное) нормальное смещение, то одновременно с ним в другой точке Самбатэрпространства \tilde{p} (\bar{e}) непременно возникает позитивное (негативное) нормальное смещение. Иначе говоря, негативные и позитивные нормальные смещения возникают парами и только парами, которые условимся обозначать символом $N_{\bar{e} \leftrightarrow \tilde{p}}$.

Определение 3-4. Процесс возникновения пары $N_{\bar{e} \leftrightarrow \tilde{p}}$ необратим, т. к. возникший при нём негарон (позирон) моментально блокируется лицеронами (тенеронами) ближних и дальних порядков.

Определение 3-5. Всеобразующие элементарные процессы Сам-Батэры (далее просто вэпсы) – характерные для Сам-Батэры идентичные друг другу элементарные нестабильные ДЭО, вызываемые спонтанно возникшими в Самбатэрпространстве парами нормальных смещений. При этом каждый вэпс проявляется как пара позитивного и негативного центральных условных источников эфирной информации, ускоренное сближение которых приводит к их аннигиляции или к образованию сэпса (см. далее).

Вэпс структурно состоит из следующих двух блоков:

Определение 3-6. Негативный блок \bar{e} (негаблок) – система ДЭО в Самбатэрпространстве обусловленная негативным нормальным смещением вэпса.

Определение 3-7. Позитивный блок \tilde{p} (позиблок) – система ДЭО в Самбатэрпространстве обусловленная позитивным нормальным смещением вэпса.

В качестве общего названия позиблока и негаблока далее будем использовать термин вэпсблок.

3.2 ГЕОМЕТРИЧЕСКИЕ ХАРАКТЕРИСТИКИ ВЭПСА

Определение 3-8. Прямая линия (или просто прямая) Самбатэрпространства – линия пересечения Самбатэрпространства двумерной плоскостью содержащей в себя общий центр его пространствообразующих сфер (см. [опр. 2-5](#), стр.19). Аналогичным образом оп-

ределяется и прямая линия в Одисфейпространстве, которая очевидно «прямее» прямой линии Самбатэрпространства. Из определения 3-8 следует теорема:

Теорема. Если две или более двух линий попарно параллельны, то среди них может найтись не более одной соответствующей определению 3-8 прямой.

Доказательство. Поскольку согласно опр. 3-8 прямые линии это линии пересечения Самбатэрпространства попарно пересекающимися плоскостями (центр пространствообразующих сфер является их общей точкой), то в Самбатэрпространстве не найдётся ни одной пары прямых линий, которые бы были параллельными друг другу. Если же рассматривать линии пересечения Самбатэрпространства попарно параллельными двумерными плоскостями, среди которых только одна (или ни одна) может содержать в себя центр пространствообразующих сфер, то эти линии попарно параллельны, но только одна (или ни одна) из них может быть прямой.

Из данной теоремы следует, что в Самбатэрпространстве не существует ни одной прямой линии в аспекте Одисфейпространства, точно также на тривиальной поверхности мирового океана невозможно провести прямую линию, в аспекте Самбатэрпространства, т. е. все параллели глобуса (в том числе и экватор) не являются прямыми. Хотя экватор в аспекте двумерного пространства является образцом прямой линии.

Автор мог бы попытаться определить здесь и плоскость, и многие другие математические объекты Космометрии, но поскольку целью данной работы является фундаментальное исследование микромира Сам-Батэры, т. е. физическая сторона Космометрии, то к её математической стороне автор будет прибегать только при острой необходимости. А теперь мы возвращаемся к геометрии вэпса (см. [рис 3.1](#), стр.34):

Определение 3-9. Негативная I_e и позитивная I_p поперечная ось вэпса – перпендикуляры к Самбатэрпространству, вдоль которых произошли негативное и позитивное нормальные смещения соответственно.

Определение 3-10. Негативный и позитивный центры вэпса (\bar{e} и \bar{p}) – точки пересечений осей I_e и I_p с главной сферой Самбатэрпространства соответственно ([рис 3.1](#)).

Определение 3-11. Главная продольная ось вэпса $I_{\bar{e}\bar{p}}$ – прямая линия, содержащая в себе негативный и позитивный центры вэпса.

Определение 3-12. Плечо вэпса I_* – расстояние между негативным и позитивным центрами вэпса.

Определение 3-13. Главный центр вэпса \bar{o} – точка, расположенная на главной продольной оси вэпса и равноудалённая от его негативного и позитивного центров.

Определение 3-14. Главная поперечная ось вэпса I_o – перпендикуляр к Самбатэрпространству, содержащий в себе главный центр вэпса.

Определение 3-15. Лицевые (теневые) проекции негативного, позитивного и главного центров вэпса – точки \bar{e}, \bar{p} и \bar{o} (\tilde{e}, \tilde{p} и \tilde{o}) пересечений осей I_e , I_p и I_o с лицевым (теневым) подпространством.

Определение 3-16. Лицевая продольная ось вэпса $I_{\bar{e}\bar{p}}$ – прямая содержащая в себе точки $(\bar{e}, \bar{p}, \bar{o})$.

Определение 3-17. Теневая продольная ось вэпса $I_{\tilde{e}\tilde{p}}$ – прямая содержащая в себе точки $(\tilde{e}, \tilde{p}, \tilde{o})$.

Определение 3-18. Система координат вэпса – декартова прямоугольная система координат следующей структуры (см. [рис 3.1](#)):

- Началом координат служит центр вэпса \bar{o} .
- Модуль орта базиса равен кванту расстояния r_o Самбатэрпространства (см. [опр. 3-49](#), стр.41).

- Ординату «у» и аппликату «z» можно выбирать произвольно.
- Четвёртой осью «k» служит перпендикуляр к Самбатэпространству восстановленный из главного центра вэпса и направленный к лицевому подпространству. Условимся называть её осью квартат или просто квартатой.

Определение 3-19. Негативная, позитивная и главная экваториальные плоскости вэпса – двумерные плоскости перпендикулярные оси абсцисс и пересекающие её в точках \tilde{e} , \tilde{p} и \tilde{o} соответственно.

Определение 3-20. Лицевые (теневые) пучки меридианных плоскостей – плоскости пространств \bar{P}^{3*} (\tilde{P}^{3*}) содержащие в себе лицевую (теневую) продольную ось.

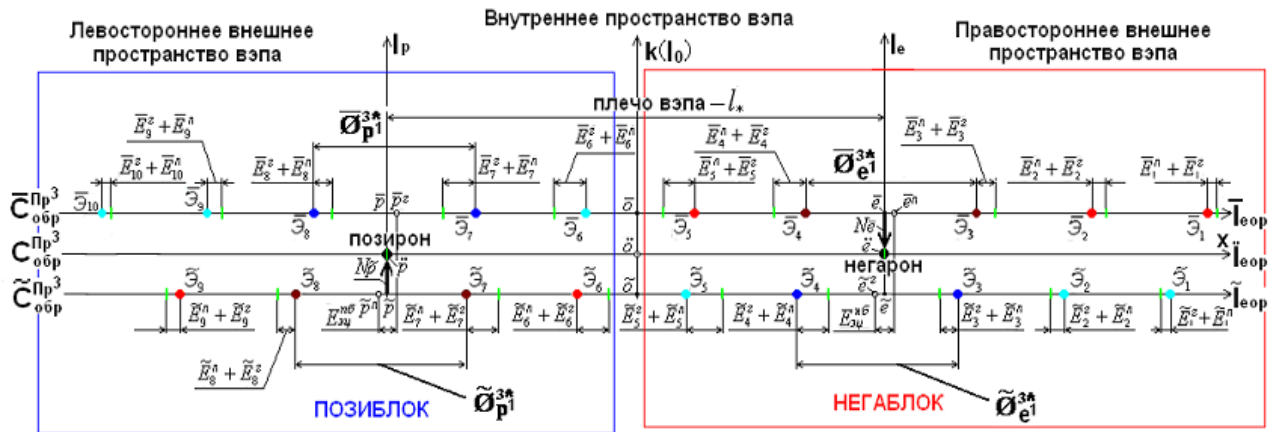


Рисунок 3.1. Принципиальная схема вэпса

где:

- $\bar{O}_{e1}^{3*}, \bar{O}_{p1}^{3*}, \tilde{O}_{e1}^{3*}$ и \tilde{O}_{p1}^{3*} – вэпсовые (не тривиальные) порядкообразующие сферы (опр. 1-9 на стр.8) центров \bar{e} , \bar{p} , \tilde{e} и \tilde{p} , на которых расположено 12, 6, 6 и 12 эфиронов соответственно.
- $\bar{E}_i^L + \bar{E}_i^T$ и $\tilde{E}_i^L + \tilde{E}_i^T$ – суперпозиция смещений лицеронов и тенеронов вызванных негалункой, позигоркой и позилункой, негагоркой соответственно.
- $(\tilde{e}, \tilde{p}, \tilde{o})$, $(\bar{e}, \bar{p}, \bar{o})$ и $(\tilde{e}, \tilde{p}, \tilde{o})$ – центры негаблока, позиблока, вэпса, а также их проекции на лицевое и теневое подпространство соответственно.
- $\tilde{e}^L, \tilde{e}^T, \tilde{p}^L$ и \tilde{p}^T – негалунка, негагорка, позилунка и позигорка соответственно.

Определение 3-21. Меридианы порядкаобразующих сфер – линии пересечения порядкообразующих сфер $\bar{O}_{em}^{3*}, \bar{O}_{pm}^{3*}, \tilde{O}_{em}^{3*}, \tilde{O}_{pm}^{3*}$ (см. [опр. 1-11](#), стр.8) с соответствующими меридианными плоскостями (здесь натуральное число m это номер порядка соответствующей порядкообразующей сферы).

Определение 3-22. Экваторы порядкаобразующих сфер – линии пересечения порядкообразующих сфер $\bar{O}_{em}^{3*}, \bar{O}_{pm}^{3*}, \tilde{O}_{em}^{3*}, \tilde{O}_{pm}^{3*}$ (см. [опр. 1-11](#), стр.8) с соответствующими экваториальными плоскостями.

Определение 3-23. Внутреннее пространство вэпса – область Самбатэпространства, расположенная между негативной и позитивной экваториальными плоскостями ([рис. 3.1](#)).

Определение 3-24. Внешнее пространство вэпса – дополнение внутреннего пространства вэпса к Самбатэпространству ([рис. 3.1](#)).

Определение 3-25. Внешние (внутренние) полюса порядкаобразующих сфер – точки пересечения сфер $\bar{O}_{\epsilon}^{3*}, \bar{O}_{\rho}^{3*}, \tilde{O}_{\epsilon}^{3*}, \tilde{O}_{\rho}^{3*}$ с лицевой и теневой продольной осью вэпса соответственно, расположенные во внешнем (внутреннем) пространстве вэпса.

Определение 3-26. Позитивные (негативные) центры искривления Самбатэр-пространства – эфирнокрестности точек Самбатэрпространства являющиеся позитивными (негативными) условными источниками приращения интенсивности эфирной информации. В структуру вэпса входят следующие четыре центра искривления пространства:

Определение 3-27. Негалунка – эфирнокрестность лицевой проекции $\bar{\epsilon}$ негативного центра вэпса, которая является условным источником негативного приращения интенсивности эфирной информации (точку $\bar{\epsilon}$ условимся называть впадиной негаблока). Интегральную по всему суперспектру направлений лицевую мощность излучения негаблока условимся далее называть мощностью негалунки и обозначать её символом $M_{\bar{\epsilon}}$ (мощность негалунки всегда **отрицательна**).

Определение 3-28. Негагорка – эфирнокрестность теневой проекции $\tilde{\epsilon}$ негативного центра вэпса, которая является условным источником позитивного приращения интенсивности эфирной информации (точку $\tilde{\epsilon}$ условимся называть вершиной негаблока). Интегральную по всему суперспектру направлений теневую мощность излучения негаблока условимся далее называть мощностью негагорки и обозначать её символом $M_{\tilde{\epsilon}}$ (мощность негагорки всегда **положительна**).

Определение 3-29. Позилунка – эфирнокрестность теневой проекции $\tilde{\rho}$ позитивного центра вэпса, которая является условным источником негативного приращения интенсивности эфирной информации (точку $\tilde{\rho}$ условимся называть впадиной позиблока). Интегральную по всему суперспектру направлений теневую мощность излучения позиблока условимся далее называть мощностью позилунки и обозначать её символом $M_{\tilde{\rho}}$ (мощность позилунки всегда **отрицательна**).

Определение 3-30. Позигорка – эфирнокрестность лицевой проекции $\bar{\rho}$ позитивного центра вэпса, которая является условным источником позитивного приращения интенсивности эфирной информации (точку $\bar{\rho}$ условимся называть вершиной позиблока). Интегральную по всему суперспектру направлений теневую мощность излучения позиблока условимся далее называть мощностью позигорки и обозначать её символом $M_{\bar{\rho}}$ (мощность позигорки всегда **положительна**).

Следовательно, $M_{\bar{\rho}} = -M_{\tilde{\rho}} = M_{\tilde{\epsilon}} = -M_{\bar{\epsilon}} = \ddot{M}_{\text{вб}}$ где символом $\ddot{M}_{\text{вб}}$ обозначена обобщённая мощность вэпсблока.

Примечание 3-2. Очевидно, что вэпслунки (общее название негалунки и позилунки) являются действительными эфиксаторами (см. [опр. 2-21](#), стр.23), из которых в результате нормальных смещений вышли эфироны. А вэпсгорки (общее название негагорки и позигорки) это мнимые эфиксаторы (см. [опр. 2-22](#), стр.23), к которым приблизились нормально смещённые эфироны.

Определение 3-31. Негалунсмещение – вызванное негалункой центростремительное (негативное) абсолютное радиальное смещение $\bar{E}_{\bar{\epsilon}_i \rightarrow \bar{\mathbb{L}}}$ произвольного лицерона $\bar{\epsilon}_i$. Обусловленное негалунсмещением относительное смещение $\Delta \bar{E}_{\bar{\epsilon}_i \rightarrow \bar{\mathbb{L}}}$, условимся называть относительным негалунсмещением.

Определение 3-32. Негалунполе – множество негалунсмещений всех лицеронов $\bar{\rho}^{3*}$, вызванных конкретной негалункой.

Определение 3-33. Негагорсмещение – вызванное негагоркой центробежное (позитивное) абсолютное радиальное смещение $\tilde{E}_{\tilde{\epsilon}_i \leftarrow \tilde{\mathbb{L}}}$ произвольного тенирона $\tilde{\epsilon}_i$. Обуслов-

ленное негагорсмещением относительное смещение $\Delta \tilde{E}_{\tilde{\gamma}_i \leftarrow \tilde{\Gamma}}$, условимся называть относительным негагорсмещением.

Определение 3-34. Негагорполе – множество негагорсмещений всех тенеронов $\tilde{\Pi}_r^{3*}$, вызванных конкретной негагоркой.

Определение 3-35. Позилунсмещение – вызванное позилункой центростремительное (негативное) абсолютное радиальное смещение $\tilde{E}_{\tilde{\gamma}_i \rightarrow \tilde{\Lambda}}$ произвольного тенерона $\tilde{\gamma}_i$. Обусловленное позилунсмещением относительное смещение $\Delta \tilde{E}_{\tilde{\gamma}_i \rightarrow \tilde{\Lambda}}$, условимся называть относительным позилунсмещением.

Определение 3-36. Позилунполе – множество позилунсмещений всех тенеронов $\tilde{\Pi}_r^{3*}$ вызванных конкретной позилункой.

Определение 3-37. Позигорсмещение – вызванное позигоркой центробежное (позитивное) абсолютное радиальное смещение $\bar{E}_{\tilde{\gamma}_i \leftarrow \tilde{\Gamma}}$ произвольного лицерона $\tilde{\gamma}_i$. Обусловленное позигорсмещением относительное смещение $\Delta \bar{E}_{\tilde{\gamma}_i \leftarrow \tilde{\Gamma}}$, условимся называть относительным позигорсмещением.

Определение 3-38. Позигорполе – множество позигорсмещений всех лицеронов $\bar{\Pi}_r^{3*}$ вызванных конкретной позигоркой.

Определение 3-39. Негативное поле смещений вэпса (негавэпсполе) – совокупность негагорполя и негалунполя смещений вэпса.

Определение 3-40. Позитивное поле смещений вэпса (позивэпсполе) – совокупность позигорполя и позилунполя смещений вэпса.

Примечание 3-3. Знаки негавэпсполя и позивэпсполя соответствуют знакам их лицевым половинкам (сторонам).

Определение 3-41. Дипольное поле смещений вэпса – совокупность негавэпсполя и позивэпсполя вэпса. Условимся далее все упомянутые выше поля смещений эфиронов вызываемые вэпсом обобщённо называть вэпсполями. Дипольное поле, как и все вышеопределённые поля вэпса, является центральным полем смещения эфиронов, т. к. радиальные смещения эфиронов в нём возбуждаются и ограничиваются по величине (блокируют друг друга) в центральном условном источнике.

Определение 3-42. Вэпсовые порядкообразующие сферы – порядкообразующие сферы негалунки, позигорки, негагорки и позилунки. Для удобства изложения материала присвоим вэпсовым порядкообразующим сферам следующие классификационные названия:

Вэпсовые порядкообразующие сферы первого порядка $\bar{O}_{e^1}^{3*}, \bar{O}_{p^1}^{3*}, \tilde{O}_{e^1}^{3*}$ и $\tilde{O}_{p^1}^{3*}$ условимся далее называть негалунсферой, позигорсферой, негагорсферой и позилунсферой соответственно, а в качестве их общего названия будем использовать слово вэпссфера. В качестве общего названия негалунсферы и позилунсферы будем использовать слово вэпслунсфера, а для общего названия негагорсферы и позигорсферы будем использовать слово вэпсгорсфера. К каждому из этих названий будем добавлять словосочетание «ближних порядков», если порядок этих сфер больше единицы и меньше некоторого числа k , значение которого зависит от ситуации. Если порядок этих сфер больше этого числа k , то следует добавлять словосочетание «дальних порядков». Если называемая сфера имеет конкретный порядок больший единицы, то после названия сферы следует название её порядка или величина её радиуса.

Определение 3-43. Дополнением анализируемого вэпсблока к вэпсу условимся называть второй вэпсблок данного вэпса, а его поле условимся называть дополнительным вэпсполем (позаимствовано из теории множеств).

3.3 АНАЛИЗ ДИНАМИКИ ВЭПСА

Развитие вэпса во времени можно условно разделить на следующие три периода:

Определение 3-44. Период рождения вэпса $\Delta t_1 = t_1 - t_0$ – промежуток времени с момента t_0 начала процесса нормальных смещений $N\bar{e}$ и $N\tilde{p}$ до момента t_1 завершения процесса этих смещений. Здесь мы условно считаем, что процессы смещений $N\bar{e}$ и $N\tilde{p}$ всегда протекают синхронно, т. е. начинаются и заканчиваются одновременно.

Определение 3-45. Период развития вэпса $\Delta t_2 = t_2 - t_1$ – промежуток времени, в течение которого негаблок и позиблок ускоренно сближаются. Здесь также условимся, что при отсутствии внешних воздействий этот процесс протекает синхронно.

Определение 3-46. Период аннигиляции вэпса $\Delta t_3 = t_3 - t_2$ – промежуток времени, в течение которого происходит аннигиляция вэпса.

Анализировать процесс рождения вэпса здесь мы не будем, так как в этом пока нет необходимости, но надо отметить, что нормальные смещения $N\bar{e} \leftrightarrow \tilde{p}$ возникают не без причины, им всегда предшествуют некоторые события в Одис-Фее или в Сам-Батэре.

Примечание 3-4. Очевидно, что вэпс и известная из физики виртуальная электронно-позитронная пара, это один и тот же элементарный объект Сам-Батэры. Экспериментально наблюдаемые виртуальные электронно–позитронные пары, в подавляющем большинстве случаев, являются осколками взаимодействующих элементарных частиц. Поскольку Самбатэрпространство самостоятельно стать нетривиальным не могло в принципе, то следует предположить, что вся внутренняя энергия Сам-Батэры когда-то закачена из Одис-Феи. Во время этой вероятно достаточно интенсивной закачки возникали вэпсы, часть из которых аннигилировала, образуя при этом всевозможные нестабильные объекты Сам-Батэры, а остальные послужили материалом для образования её стабильных объектов. О том, как вэпсы преобразуются в стабильные или нестабильные объекты Сам-Батэры, излагается далее. Вполне вероятно, что при определённых условиях в Сам-Батэре могут массово рождаться «новые» вэпсы и без воздействия на Самбатэрпространство со стороны Одис-Феи, но при этом, в соответствии с внутренним законом сохранения энергии, обязательно должен происходить процесс аннигиляции «старых» вэпсов. Далее будет показано, что находясь в массиве динамических эфирных отношений, вэпс может не подвергаться аннигиляции сколь угодно долго, а также будет показано и то, что вэпсблоки не являются электроном и позитроном и не содержат их в себе.

Приступим далее к анализу процесса развития вэпса.

Негавэпсполе и позивэпсполе (см. [опр. 3-39, 3-40](#), стр.36) отличаются между собой только тем, что они развёрнуты друг относительно друга на 180 градусов вокруг главной продольной оси вэпса. Следовательно, у нас есть возможность анализировать процесс развития негаблока (его сближение с позиблоком) совместно с процессом развития позиблока (его сближением с негаблоком). Для реализации этой возможности условимся далее рядом с названием анализируемого элемента вэпса писать в скобках второй элемент этого вэпса, по отношению к которому данное высказывание также верно или использовать общие названия элементов вэпса, если при этом не искажается смысл высказывания.

Примечание 3-5. Поскольку участниками процесса развития вэпсблока являются сам вэпсблок и воздействующее на него дополнительное или внешнее вэпсполе, то условимся далее называть вэпсблок и его вэпсполе ведомым вэпсблоком и ведомым вэпсполем соответственно, а воздействующее вэпсполе и его источник ведущим вэпсполем и ведущим вэпс-источником соответственно. Условимся также отмечать ведущий вэпсблок и его элементы (вэпсполе, мощность и др.) верхним индексом \otimes , а ведомый вэпсблок и его элементы верхним индексом \oplus .

Поскольку вэпсблоки взаимозаменяемы, то в процессе развития вэпса в качестве ведущих (ведомых) могут выступать не только их собственные вэпсполя но и сторонние (внешние) вэпсполя, которые в данном анализе мы затрагивать не будем.

При воздействии ведущего вэсполя на ведомый вэпсблок, внутреннее состояние последнего изменяется, и это изменение определим следующим образом:

Определение 3-47. Эксцентриситет ведомого вэпсблока – вектор, направление которого совпадает с направлением абсолютного смещения вершины (см. [опр. 3-27, 3-28, 3-29 и 3-30](#), стр.35) ведомого вэпсблока а модуль равен сумме модулей абсолютных смещений его вершины и впадины, вызванных ведущим вэсполем. Условимся далее называть долю эксцентриситета вэпсблока вызванную его дополнительным вэсполем внутренней составляющей эксцентриситета, а долю эксцентриситета, вызванную внешними полями внешней составляющей эксцентриситета.

Примечание 3-6. Так как вершина любого негаблока расположена в теневом подпространстве, а вершина любого позиблока расположена в лицевом подпространстве, то эксцентриситеты негаблоков являются теневыми векторами, а эксцентриситеты позиблоков являются лицевыми векторами. То есть управляющим пространством для позиблока являются лицевое подпространство, а для негаблока теневое подпространство.

Примечание 3-7. Поскольку лицевое и теневое ведущие вэсполя всегда противоположны друг другу по знаку, то смещения вершины и впадины ведомого вэпсблока также всегда противоположны друг другу по направлению. Следовательно, при определении численного значения эксцентриситета вэпсблока необходимо вычесть из величины смещения его вершины величину смещение его впадины, при этом каждое из слагаемых берётся со своим знаком.

Тогда используя формулу ([2.16](#), стр.31), получим:

$$\Xi_{\text{нб}}^{\oplus} = E_{\tilde{e} \rightarrow \tilde{\otimes}_{\text{вп}}}^{\oplus} - E_{\tilde{e} \leftarrow \tilde{\otimes}_{\text{вп}}}^{\oplus} = \frac{M_{\tilde{p}(\tilde{e})}^{\otimes}}{4K_{\text{лз}} \pi^2 l_*^2} - \frac{M_{\tilde{p}(\tilde{e})}^{\otimes}}{4K_{\text{лз}} \pi^2 l_*^2} = \frac{M_{\tilde{p}(\tilde{e})}^{\otimes}}{2K_{\text{лз}} \pi^2 l_*^2}, \quad (3-1)$$

$$\Xi_{\text{пб}}^{\oplus} = E_{\tilde{p} \rightarrow \tilde{\otimes}_{\text{вп}}}^{\oplus} - E_{\tilde{p} \leftarrow \tilde{\otimes}_{\text{вп}}}^{\oplus} = \frac{M_{\tilde{p}(\tilde{e})}^{\otimes}}{4K_{\text{лз}} \pi^2 l_*^2} - \frac{M_{\tilde{p}(\tilde{e})}^{\otimes}}{4K_{\text{лз}} \pi^2 l_*^2} = \frac{M_{\tilde{p}(\tilde{e})}^{\otimes}}{2K_{\text{лз}} \pi^2 l_*^2}, \quad (3-2)$$

где:

- $M_{\tilde{p}(\tilde{e}_i)}^{\otimes}$ и $M_{\tilde{p}(\tilde{e}_i)}^{\otimes}$ – лицевая и теневая мощность ведущего позиблока (негаблока) соответственно ([опр. 3-27, 3-28, 3-29 и 3-30](#), стр.35);
- $\Xi_{\text{нб}}^{\oplus}$ и $\Xi_{\text{пб}}^{\oplus}$ – текущие эксцентриситеты ведомого негаблока и ведомого позиблока соответственно;
- l_* – модуль плеча вэпса в текущее мгновение (расстояние между ведущим и ведомым вэпсблоками);
- $E_{\tilde{e} \rightarrow \tilde{\otimes}_{\text{вп}}}^{\oplus}$ и $E_{\tilde{e} \leftarrow \tilde{\otimes}_{\text{вп}}}^{\oplus}$ – абсолютное смещение вершины и впадины ведомого негаблока соответственно, вызванные ведущим вэсполем
- $E_{\tilde{p} \rightarrow \tilde{\otimes}_{\text{вп}}}^{\oplus}$ и $E_{\tilde{p} \leftarrow \tilde{\otimes}_{\text{вп}}}^{\oplus}$ – абсолютное смещение вершины и впадины ведомого позиблока соответственно, вызванные ведущим вэсполем.

Не смотря на то, что вызываемые ведущими вэсполями смещения вершины и впадины ведомого вэпсблока всегда направлены в противоположные друг другу стороны, результирующее эфирное давление на ведомый негарон (позирон) не равно нулю по следующим причинам:

1. Вэпслунсфера и вэпсгорсфера (см. [опр. 3-42](#), стр.36) существенно отличаются друг от друга тем, что на вэпслунсфере диаметром $d_{\text{л}} = 2r_0$ расположено 12 эфиронов, а на вэпс-

горсфере диаметром $d_r = \sqrt{2}r_0$ расположено 6 эфиронов. Если смежные вэпслунсфера и вэпсгорсфера расположенные в разных подпространствах не смещены друг относительно друга, то эти различия не влияют на поведение негарона (позирона), но при малейшем их взаимном смещении нарушается устойчивое равновесие негарона (позирона). Здесь следует сказать, что в приведенных выше размерах диаметров вэпсфер не учтены смещения эфиронов этих вэпсфер вызванных самим рождением вэпса, т. к. это не существенное обстоятельство.

2. Очевидно, что негарон (позирон) расположен не строго на главной сфере Самбатэрпространства, а тенденциозно смещён в сторону соответствующей вэпслунки. Следовательно, воздействие вэпслунки на негарон (позирон) превалирует над воздействием на него соответствующей вэпсгорки.

3. Тенденциозные меридианные смещения эфиронов ведомых вэпслунсфер и вэпсгорсфер, вызванные зависимостью тангенциальной плотности эфиронов порядкообразующих сфер центра ведущего вэпсполя от радиуса этих сфер (см. [опр.2-32](#), стр.31). Независимо от знака приращения тангенциальной плотности эфиронов порядкообразующих сфер центра вэпсполя, абсолютная величина этого приращения согласно формуле ([2-17](#), стр.31) падает с ростом радиуса порядкообразующих сфер. Следовательно, тангенциальная плотность ведущих вэпслунполей убывает, а ведущих вэпсгорполей возрастает с ростом радиуса порядкообразующих сфер их центров. Тогда, в результате воздействия ведущего вэпсполя на структурные элементы ведомого вэпсблока сферическая плотность эфиронов у внутреннего полюса его вэпслунсферы и внешнего полюса его вэпсгорсферы **минимальна**, а сферическая плотности эфиронов у внешнего полюса его вэпслунсферы и у внутреннего полюса его вэпсгорсферы **максимальна**. Это обстоятельство приводит к соответствующим тенденциозным меридианным смещениям, когда эфироны ведомой вэпслунсферы становятся склонными смещаться вдоль её меридианов в направлении от внешнего полюса к внутреннему полюсу этой сферы. А эфироны ведомой вэпсгорсферы становятся склонными смещаться вдоль её меридианов, но только в обратном направлении (от её внутреннего полюса к её внешнему полюсу). С возрастающим (пропорционально радиусу) запаздыванием приобретают такую склонность и эфироны соответствующих ведомых порядкообразующих сфер ближних порядков, а за ними и эфироны дальних порядков.

Эти факторы приводят к тому, что сразу после возникновения эксцентриситета ведомого вэпсблока его негарон (позирон) смещается в противоположном эксцентриситету направлении. Это смещение изначально носит тенденциозный характер, но из-за неустойчивости положения оно быстро переходит в ускоренное смещение. Траекторией этого смещения является дуга, начальная точка которой совмещена с начальным положением центра негарона (позирона), а её конечная точка совмещена с наружным полюсом вэпслунсферы. Естественно, что средняя скорость смещения негарона (позирона) вдоль этой траектории прямо пропорциональна модулю эксцентриситета ведомого вэпсблока. Следовательно, и время необходимое негарону (позирону) для преодоления этой траектории также прямо пропорционально модулю эксцентриситета ведомого вэпсблока. Приближаясь к наружному полюсу вэпслунсферы, негарон (позирон) увеличивает тангенциальную плотность эфиронов в окрестности этого полюса, что приводит к ускоренному смещению эфиронов вдоль меридианов вэпслунсферы по направлению к её внутреннему полюсу. При этом средняя скорость **меридианных смещений эфиронов** пропорциональна произведению эксцентриситета вэпсблока на коэффициент линейной зоны эфиксаторов. Этот процесс приводит к тому, что объёмная концентрация эфиронов у внутренних полюсов вэпслунсфер ближних порядков и у внешних полюсов вэпсгорсфер ближних порядков возрастает, а у противоположных полюсов этих сфер объёмная концентрация эфиронов соответственно убывает. В результате этого эфирное давление на негарон (позирон) со стороны внутреннего полюса вэпслунсферы и внешнего полюса вэпсгорсферы возрастает, а со стороны внутреннего полюса вэпсгорсферы и внешнего полюса вэпслунсферы убывает. Естественно, что этот процесс количественного накопления завершается бифуркацией вэпсблока. Бифуркация вэпсблока заключается в том, что

один из эфиронов вэпслунсферы, расположенный у её внутреннего полюса, спонтанно выталкивается в нормальном направлении, в результате чего он превращается в негарон (позирон), при этом бывший негарон (позирон) оказывается у внешнего полюса вэпслунсферы в качестве лицерона (тенерона). Весь этот процесс, от возникновения эксцентриситета ведомого вэпсблока, до акта бифуркации в нём, назовём бифуркационным циклом (бифурциклом) ведомого вэпсблока. В результате акта бифуркации вэпслунка и вэпсгорка ведомого вэпсблока, а, следовательно, и сам ведомый вэпсблок в целом, смещаются на один квант расстояния r_0 по направлению к центру ведущего вэпсполя. Вслед за ведомым вэпсблоком смещается (с соответствующим запаздыванием обусловленным конечностью скорости распространения эфирной информации) и ведомое вэпсполе сначала его центральная область, а затем этот процесс будет охватывать всё более и более отдалённые его области. Сразу после бифуркации эксцентриситет ведомого вэпсблока обнуляется, и если бы в этот момент ведущее вэпсполе могло бы исчезнуть, то повторный эксцентриситет ведомого вэпсблока не смог бы вновь возникнуть. Казалось бы, в таком случае ведомый вэпсблок должен немедленно остановиться, т. е. сбросить набранную скорость, но поскольку в результате прошедшего бифурцикла ведомого вэпсблока его вэпсполе приобрело некоторую скорость, то благодаря присущей ему инертности (см. [опр. 5-20](#), стр.92), оно закликивается и продолжает движение по инерции. Двигаясь далее по инерции, ведомое вэпсполе вызывает бесконечный ряд вынужденных бифуркаций ведомого вэпсблока, условимся далее называть эти вынужденные бифурциклы инерционными циклами. Инерционный цикл обусловлен не эксцентриситетом вэпсблока, а инертностью его вэпсполя, следовательно, после первого инерционного цикла наступит второй, после второго третий и т. д. вплоть до бесконечности. Для сравнения скажу, что если авто движется по инерции, то его колёса свободно крутятся.

Примечание 3-8. Тут следует обратить особое внимание на то, что если в течение бифурцикла, причины вызывающие эксцентриситет вэпсблока исчезнут, то состояние вэпсблока возвращается к его изначальному состоянию, которое было у него до начала бифурцикла. С той лишь разницей что энергия, накопленная незавершённым бифурциклом, преобразуется в энергию незатухающего колебания эксцентриситета вэпсблока. Следовательно, процесс обратим, но только до окончания бифурцикла. Возникшее в результате прерывания бифурцикла незатухающее колебание длится до тех пор, пока в вэпсблоке спонтанно не возникнет новый эксцентриситет, совпадающий по фазе с данным колебанием, которое отдав вновь возникшему бифурциклу свою энергию, ускорит его завершение.

Выше мы условно предположили, что сразу после первого бифурцикла ведущее вэпсполе перестаёт воздействовать на ведомый вэпсблок, т. е. как бы исчезает. В реальном процессе оно, конечно, не исчезает, а наоборот усиливается, т. к. плечо вэпса с каждым бифурциклом сокращается. Следовательно, сразу после первого бифурцикла и обнуления эксцентриситета ведомого вэпсблока в нём возникает новый эксцентриситет и начинается очередной процесс количественного накопления (т. е. следующий бифурцикл), который заканчивается очередной бифуркацией ведомого вэпсблока. С каждым последующим бифурциклом ведомое вэпсполе приобретает очередную порцию скорости V_0 , которая не зависит от величины эксцентриситета ведомого вэпсблока и его скорости. Из вышесказанного следует, что бифурциклы отличаются друг от друга только временной длительностью, т. е. периодом $T_{бц}$ который прямо пропорционален инертности вэпсблока и обратно пропорционален его эксцентриситету.

$$T_{бц} = \frac{m_{вп}^{им}}{\mathcal{E}_{вб}^{\oplus}} = \frac{k_{вп}^{обш} 2K_{лз} \pi^2 l_*^2}{K_{лз} C \ddot{M}_{\otimes вп}} = \frac{2k_{вп}^{обш} \pi^2 l_*^2}{C \ddot{M}_{\otimes вп}}, \quad (3-3)$$

где:

- l_* – плечо вэпса;
- $m_{вп}^{им} = \frac{k_{вп}^{обш}}{K_{лз} C}$ – инертность вэсполой вэспблока, которую условимся называть инерт.массой вэспблока (см. [раздел 5.4](#), стр.88);
- $k_{вп}^{обш}$ – коэффициент обширности вэсполой вэспблока (см. [разд. 5.5](#), стр.95).
- V_0 – порция скорости, которую приобретает вэспблок в результате одного бифурцикла (фундаментальная константа), назовём её квантом скорости.

Очевидно, что текущее ускорение ведомого вэспблока $a_{вб}^{\oplus}$ равно количеству квантов скорости приобретаемых им за единицу времени, т.е. величине обратной периоду его бифурцикла:

$$a_{нб}^{\oplus} = \frac{V_0}{T_{тек}^{нб}} = \frac{V_0 C M_{\tilde{p}(\tilde{e})}^{\otimes}}{2k_{вп}^{обш} \pi^2 l_*^2}, \quad (a_{пб}^{\oplus} = \frac{V_0}{T_{тек}^{пб}} = \frac{V_0 C M_{\tilde{p}(\tilde{e})}^{\otimes}}{2k_{вп}^{обш} \pi^2 l_*^2}). \quad (3-4)$$

Определение 3-48. **Ускорение вэспблока** вызываемое ведущим вэсполом, прямо пропорционально мощности источника ведущего вэсполя и обратно пропорционально квадрату расстояния между центрами ведомого вэспблока и ведущего вэсполя и сонаправлено смещению вершины ведомого вэспблока.

Для уточнения понимания данного определения мысленно представим себе невероятное, пусть ведомый вэспобъект состоит из N^{\oplus} негаблоков, а ведущий вэспобъект состоит из N^{\otimes} позиблоков, а расстояние R между ними такое, что каждый из них воспринимает второй как точечный объект. Для таких нереальных вэспобъектов формула (3-4) и определение 3-48 выглядели бы так:

$$a_{но}^{\oplus} = \frac{V_0 C N^{\otimes} M_{\tilde{p}}^{\otimes}}{2k_{вп}^{обш} \pi^2 l_*^2}.$$

Ускорение ведомого негаобъекта прямо пропорционально количеству позиблоков ведущего позибъекта и обратно пропорционально расстоянию между ними, но не зависит от количества вэспблоков в ускоряющемся объекте!

Невероятность представленных здесь объектов заключается в том, что они, по сути, являются неэлементарными электрическими зарядами в отрыве от гравитонов, что невозможно в принципе (см. пятую главу).

Определение 3-49. **Квант расстояния r_0 Самбатэрпространства** – расстояние между центрами двух ближайших соседних эфиронов тривиального Самбатэрпространства.

В нетривиальном пространстве эта величина не является абсолютной константой, т. к. она в незначительной степени зависит от состояния пространства, но в тривиальном пространстве квант расстояния можно считать абсолютной константой.

Поскольку, как мы выяснили выше, единственными реальными источниками эфирной информации в Самбатэрпространстве являются эфироны, то условимся называть вэспблоки условными источниками эфирной информации и выясним далее, чем они отличаются от реальных источников. Следует отметить, что в этой работе мы будем иметь дело в основном с элементарными условными источниками (негаблоками и позиблоками) поэтому условимся слово «элементарные» употреблять только в исключительных случаях, которые будут оговариваться. Условный источник отличается от реального источника тем, что в качестве условного источника эфирной информации выступает некоторое упорядоченное в пространстве и

во времени стабильное множество динамических эфирных отношений УСДЭО, которое перемещаясь в пространстве, подобно волне не увлекает за собой эфиры. Следовательно, движение условного источника эфирной информации состоит из последовательности дискретных перемещений УСДЭО от предыдущей группы эфиронов к последующей группе эфиронов с точно такой же конфигурацией эфирных отношений. Последовательность групп эфиронов, вдоль которой перескакивает УСДЭО, образует траекторию условного источника. Так как реальные источники эфирной информации (эфироны) не увлекаются УСДЭО, то они не перемещаются относительно Самбатэрсреды, следовательно, скорость излучаемой ими эфирной информации не зависит от скорости движения условного источника. Иначе говоря, эфирная информация от условного источника распространяется со скоростью \ddot{C} относительно Самбатэрсреды или некоторой её области, относительно которой движется данный условный источник. На основании вышесказанного сделаем следующие определения:

Определение 3-50. Условный источник эфирной информации – УСДЭО Самбатэрсреды со стабильной внутренней структурой и внешними очертаниями, не увлекающее за собой эфиры при перемещении в пространстве и являющееся источником приращения интенсивности эфирной информации.

Определение 3-51. Движение условного источника – временная последовательность дискретных проявлений центрального ядра УСДЭО внутри одномерного однозначно упорядоченного счётного множества точек Самбатэрсреды образующих траекторию условного источника.

Примечание 3-9. Из определения 3-51 следует, что точки траектории вэпсблока (условного источника) являются счётным множеством. Следовательно, счётное множество импульсов приращения интенсивности эфирной информации (далее вэпсимпульсы), испущенных движущимся вэпсблоком, выстраиваются в ряд. Первым в этом ряду движется вэпсимпульс, испущенный из начальной точки (точки **№1**) траектории вэпсблока, за ним движется вэпсимпульс, испущенный из точки **№2**, третьим движется вэпсимпульс, испущенный из точки **№3** и т. д. вплоть до конечной точки траектории. Длительность каждого импульса равна периоду соответствующего бифурцикла за вычетом длительности соответствующего акта бифуркации. Очевидно, что при скоростях движения вэпсблока меньших скорости \ddot{C} , излучаемые им вэпсимпульсы, не пересекаются между собой, но при $V=\ddot{C}$ происходит их взаимное наложение, т. е. их лобовые точки (передние точки их пересечения с траекторией) совмещаются. Поскольку главными условными источниками в Сам-Батэре являются вэпсблоки, то условимся для краткости называть их вэпсистооточниками вэпсполей.

3.4 ПОЛЯ СМЕЩЕНИЙ РАВНОМЕРНО ДВИЖУЩИХСЯ ВЭПСБЛОКОВ

Проанализируем далее зависимость параметров вэпсполей движущихся с постоянной скоростью вэпсистооточников от величины и направления скорости их движения. Поскольку вэпслунполя и вэпсгорполя вэпса отличаются друг от друга только знаком или подпространством, то мы подробно проанализируем только одно из этих полей, а результаты анализа распространим на остальные с необходимыми поправками. Так на [рис.3.2](#) схематично изображена негагорка \tilde{e} движущаяся вдоль прямолинейной траектории **ох** (абсцисса системы координат **хоуу**) с постоянной скоростью $V_{\tilde{e}}$.

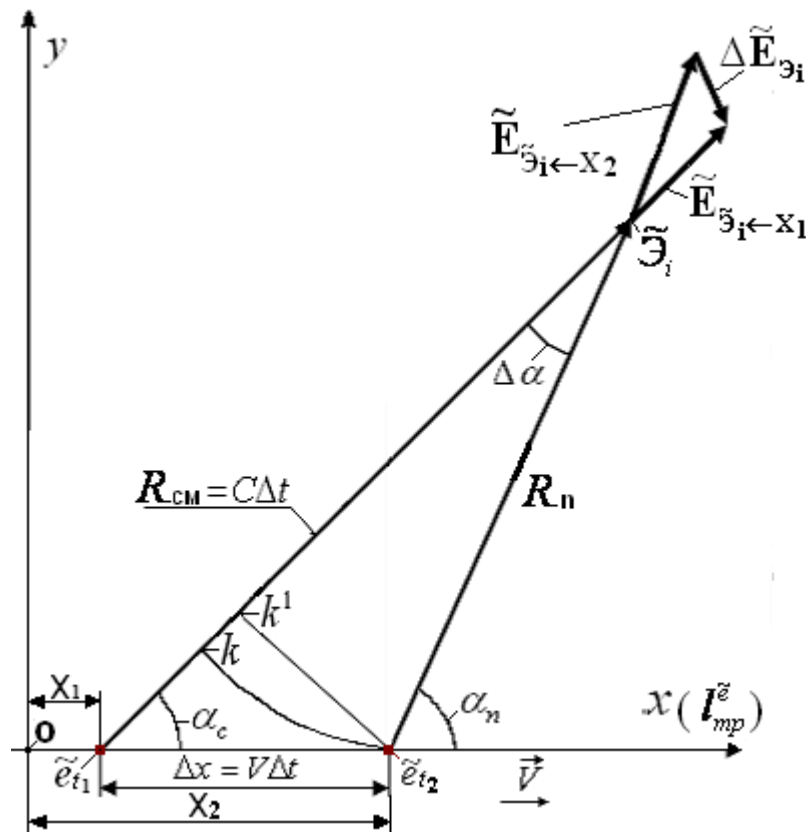


Рисунок 3.2. Траектория негагорки и её поля

где:

- $хоу$ – правая прямоугольная система координат, которую выбираем так чтобы совместить и сонаправить абсциссу с траекторией источника вэсполя (в данном случае негагорки);
- $V_{\tilde{e}}$ – скорость источника вэсполя (негагорки);
- $\tilde{\Xi}_i$ – произвольный тенерон выбранный на плоскости $хоу$ для анализа;
- \tilde{e}_{t_2} – действительное местонахождение негагорки \tilde{e} (эфиронокрестность точки траектории X_2), в текущее мгновение t_2 ;
- \tilde{e}_{t_1} – мнимое местонахождение негагорки \tilde{e} в текущее мгновение t_2 (эфиронокрестность траектории точки X_1), т. е. местонахождение, где она находилась в момент времени t_1 и откуда в текущее мгновение t_2 к тенерону $\tilde{\Xi}_i$ поступает очередной вэпсимульс;
- **радиус-вектор смещения** $R_{cm} = \ddot{C}\Delta t$ – вектор, начало которого совмещено с точкой X_1 , а конец с центром тенерона $\tilde{\Xi}_i$;
- **радиус-вектор положения** R_n – вектор, начало которого совмещено с точкой X_2 , а конец с центром тенерона $\tilde{\Xi}_i$;
- **угол смещения** α_c – угол между траекторией (вектором $\vec{V}_{\tilde{e}}$) и радиус-вектором смещения;
- **угол положения** α_n – угол между траекторией (вектором $\vec{V}_{\tilde{e}}$) и радиус-вектором положения;

- **приращение угла положения** $\Delta\alpha$ – угол между радиус-вектором смещения и радиус-вектором положения;
- **действительное смещение** $\tilde{E}_{\tilde{\Theta}_i \leftarrow X_1}$ – смещение тенерона $\tilde{\Theta}_i$ вызванное в текущее мгновение t_2 вэпсимульсом, излученным негагоркой \tilde{e} в момент времени t_1 из эфиронокрестности точки X_1 ;
- **мнимое смещение** $\tilde{E}_{\tilde{\Theta}_i \leftarrow X_2}$ – будущее смещение тенерона $\tilde{\Theta}_i$, которое вызовет вэпсимульс, излучаемый негагоркой \tilde{e} в текущее мгновение t_2 из эфиронокрестности точки X_2 ;
- $\tilde{e}_{t_2} k^1$ – перпендикуляр из точки \tilde{e}_{t_2} к радиус-вектору смещения R_{cm} ;
- $\Delta\tilde{E}_{\tilde{\Theta}_i} = \tilde{E}_{\tilde{\Theta}_i \leftarrow X_1} - \tilde{E}_{\tilde{\Theta}_i \leftarrow X_2}$ – **приращение смещения** (векторная разность) тенерона $\tilde{\Theta}_i$ в момент времени t_2 вызванное запаздыванием эфирной информации в связи с движением негагорки \tilde{e} (лежит на плоскости xoy);
- Примечание 3-10. Центр дуги $\tilde{e}_{t_2} k^1 = \Delta\alpha R_n$ совмещён с центром тенерона $\tilde{\Theta}_i$.

Проекции смещений тенерона $\tilde{\Theta}_i$ на оси координат выражаются следующими равенствами:

$$\begin{aligned}\tilde{E}_{\tilde{\Theta}_i \leftarrow X_1}^x &= \left| \tilde{E}_{\tilde{\Theta}_i \leftarrow X_1} \right| \cos \alpha_c, & \tilde{E}_{\tilde{\Theta}_i \leftarrow X_1}^y &= \left| \tilde{E}_{\tilde{\Theta}_i \leftarrow X_1} \right| \sin \alpha_c, \\ \tilde{E}_{\tilde{\Theta}_i \leftarrow X_2}^x &= \left| \tilde{E}_{\tilde{\Theta}_i \leftarrow X_2} \right| \cos \alpha_n, & \tilde{E}_{\tilde{\Theta}_i \leftarrow X_2}^y &= \left| \tilde{E}_{\tilde{\Theta}_i \leftarrow X_2} \right| \sin \alpha_n.\end{aligned}$$

Используя эти равенства, находим приращения проекций смещений тенерона $\tilde{\Theta}_i$ на оси координат:

$$\left. \begin{aligned}\Delta\tilde{E}_{\tilde{\Theta}_i}^x &= \left| \tilde{E}_{\tilde{\Theta}_i \leftarrow X_1} \right| \cos \alpha_c - \left| \tilde{E}_{\tilde{\Theta}_i \leftarrow X_2} \right| \cos \alpha_n, \\ \Delta\tilde{E}_{\tilde{\Theta}_i}^y &= \left| \tilde{E}_{\tilde{\Theta}_i \leftarrow X_1} \right| \sin \alpha_c - \left| \tilde{E}_{\tilde{\Theta}_i \leftarrow X_2} \right| \sin \alpha_n.\end{aligned} \right\} \quad (3-5)$$

Из системы уравнений $|R_{cm}| = \ddot{C}\Delta t$ и $\Delta x = V\Delta t$, (см. [рис.3.2](#)) получаем:

$$\Delta x = \frac{V}{\ddot{C}} |R_{cm}|.$$

Применив теорему косинусов к треугольнику $x_1 i x_2$, получаем:

$$R_{cm}^2 = \frac{R_n^2}{1 - 2 \frac{V}{\ddot{C}} \cos \alpha_c + \frac{V^2}{\ddot{C}^2}}. \quad (3-6)$$

Анализируя соотношения между элементами треугольника $x_1 i x_2$ в свете приведенных выше равенств, получаем следующее тригонометрическое уравнение:

$$\frac{x}{y} \sin \alpha_c - \cos \alpha_c = -\frac{V}{\ddot{C}}.$$

Решая данное тригонометрическое уравнение, получаем:

$$\alpha_c = \alpha_n - \arcsin\left(\frac{V}{\ddot{C}} \sin \alpha_n\right). \quad (3-7)$$

Решая совместно уравнения (2-16, стр.31) и (3-7), получим:

$$\begin{aligned} \tilde{E}_{\tilde{\alpha}_i \leftarrow x_1} &= \frac{M_{\tilde{e}}}{4K_{\text{лз}} \pi^2 R_{\text{см}}^2} = \frac{M_{\tilde{e}}}{4K_{\text{лз}} \pi^2 R_{\text{п}}^2} \left(1 - 2 \frac{V}{\ddot{C}} \cos \alpha_c + \frac{V^2}{\ddot{C}^2}\right) = \tilde{E}_{\tilde{\alpha}_i \leftarrow x_2} \left(1 - 2 \frac{V}{\ddot{C}} \cos \alpha_c + \frac{V^2}{\ddot{C}^2}\right), \\ \tilde{E}_{\tilde{\alpha}_i \leftarrow x_1} &= \tilde{E}_{\tilde{\alpha}_i \leftarrow x_2} \left(1 - 2 \frac{V}{\ddot{C}} \cos \alpha_c + \frac{V^2}{\ddot{C}^2}\right). \end{aligned} \quad (3-8)$$

Величину $1 - 2 \frac{V}{\ddot{C}} \cos \alpha_c + \frac{V^2}{\ddot{C}^2} = k_{\text{зап}}$ назовём коэффициентом запаздывания вэпслунполя (вэпсгорполя) вызванного движением вэпслунки (вэпсгорки).

Используя формулы (3-7) и (3-8), получаем следующую систему формул для позигорки, позилунки, негалунки и негагорки соответственно:

$$\begin{aligned} \bar{E}_{\tilde{\alpha}_i \leftrightarrow x_1} &= \frac{M_{\bar{p}}}{4K_{\text{лз}} \pi^2 R_{\text{п}}^2} \left\{ 1 - 2 \frac{V}{\ddot{C}} \cos[\alpha_n - \arcsin(\frac{V}{\ddot{C}} \sin \alpha_n)] + \frac{V^2}{\ddot{C}^2} \right\}, \\ \tilde{E}_{\tilde{\alpha}_i \leftrightarrow x_1} &= \frac{M_{\tilde{p}}}{4K_{\text{лз}} \pi^2 R_{\text{п}}^2} \left\{ 1 - 2 \frac{V}{\ddot{C}} \cos[\alpha_n - \arcsin(\frac{V}{\ddot{C}} \sin \alpha_n)] + \frac{V^2}{\ddot{C}^2} \right\}, \\ \bar{E}_{\tilde{\alpha}_i \leftrightarrow x_1} &= \frac{M_{\bar{e}}}{4K_{\text{лз}} \pi^2 R_{\text{п}}^2} \left\{ 1 - 2 \frac{V}{\ddot{C}} \cos[\alpha_n - \arcsin(\frac{V}{\ddot{C}} \sin \alpha_n)] + \frac{V^2}{\ddot{C}^2} \right\}, \\ \tilde{E}_{\tilde{\alpha}_i \leftrightarrow x_1} &= \frac{M_{\tilde{e}}}{4K_{\text{лз}} \pi^2 R_{\text{п}}^2} \left\{ 1 - 2 \frac{V}{\ddot{C}} \cos[\alpha_n - \arcsin(\frac{V}{\ddot{C}} \sin \alpha_n)] + \frac{V^2}{\ddot{C}^2} \right\}, \end{aligned} \quad (3-9)$$

Ниже выделены некоторые крайние случаи.

Если $V = \ddot{C}$ и $-\frac{\pi}{2} \leq \alpha_n \leq \frac{\pi}{2}$, то получаем:

$$\ddot{E}_{\tilde{\alpha}_i \leftrightarrow x_1} = 0. \quad (3-10)$$

Если $V = \ddot{C}$ и $\frac{\pi}{2} \leq \alpha_n \leq -\frac{\pi}{2}$ и, то получаем:

$$\ddot{E}_{\ddot{a}i \leftrightarrow X_1} = \frac{M_{\ddot{e}(\ddot{p})}}{2K_{лз} \pi^2 R_{п}^2} (1 - \cos \alpha_c). \quad (3-11)$$

Если $V = \ddot{C}$ и $\alpha_{п} = \pi$, то получаем:

$$\ddot{E}_{\ddot{a}i \leftrightarrow X_1} = \frac{M_{\ddot{e}(\ddot{p})}}{K_{лз} \pi^2 R_{п}^2}. \quad (3-12)$$

Если $V \ll \ddot{C}$, т. е. $\frac{V}{\ddot{C}} \rightarrow 0$, то получаем:

$$\ddot{E}_{\ddot{a}i \leftrightarrow X_1} = \frac{M_{\ddot{e}(\ddot{p})}}{4K_{лз} \pi^2 R_{п}^2}. \quad (3-13)$$

Из вышесказанного следует:

Определение 3-52. **(теорема)**. Движущееся равномерно и прямолинейно вэсполе ослаблено в направлении движения вэспблока, и усилено в противоположном этому движению направлении.

Доказательство: смотри вывод формулы (3-9) на стр.45.

ГЛАВА 4 СТАБИЛЬНЫЙ ЭЛЕМЕНТАРНЫЙ ПРОЦЕСС САМ-БАТЭРЫ (СЭПС)

4.1 СПОНТАННАЯ ВСТРЕЧА

В настоящее время в обозримой нами области Самбатэрпространства смещения эфиронов, в подавляющем большинстве случаев линейны, т. е. не выходят за пределы линейных зон своих эфиксаторов. В соответствии с внутренним законом сохранения энергии, все объекты Сам-Батэры могли когда-то возникнуть только в результате внешних воздействий, вызывавших как линейные, так и нелинейные смещения эфиронов. Логично предположить, что значительная часть энергии, поступавшей тогда в Сам-Батэру из Одис-Феи, проявлялась в виде движущихся друг относительно друга со скоростью \dot{C} (или близкой к ней) вэпсовых блоков. Из такого хаоса, условимся называть его вэпсовым сунгом, возможно и образовались все объекты Сам-Батэры, попытаемся ниже проанализировать, как это произошло.

Пусть по двум параллельным осям I_1 и I_2 (вэпстраекториям спонтанной встречи) движутся навстречу друг к другу со скоростью \dot{C} два одноимённых вэпсблока $вб_1$ и $вб_2$, которые условимся далее называть предельными вэпсблоками (см. [рис. 4.1](#)). Мгновение, когда предельные вэпсблоки взаимно «обнаруживают» друг друга условимся называть спонтанной встречей. При этом спонтанную встречу будем называть позитивной спонтанной встречей, если в ней участвуют позиблоки и негативной спонтанной встречей, если в ней участвуют негаблоки. Как говорилось выше (см. [примеч.3-9](#), стр.42), лобовые точки вэпсимпульсов испущенных предельным вэпсблоком совмещены между собой, но с расстоянием от траектории вэпса эти вэпсимпульсы быстро расходятся в виде сферического веера ([рис. 4.1](#)). Условимся далее называть однородными вэпсимпульсами, вэпсимпульсы испущенные одним предельным вэпсблоком, а их общую точку F предельным полюсом этого вэпсблока, который одновременно является и полюсом каждого однородного вэпсимпульса предельного вэпсблока. Плоскость, на которой лежат вэпстраектории спонтанной встречи, условимся называть плоскостью спонтанной встречи. Условимся также называть перпендикулярные к вэпстраекториям плоскости, пересекающие полюса F_1 и F_2 главными плоскостями встречи $ГПВ_1$ и $ГПВ_2$ соответственно ([рис. 4.1](#)), а линии их пересечения с плоскостью спонтанной встречи главными линиями встречи $ГЛВ_1$ и $ГЛВ_2$ соответственно.

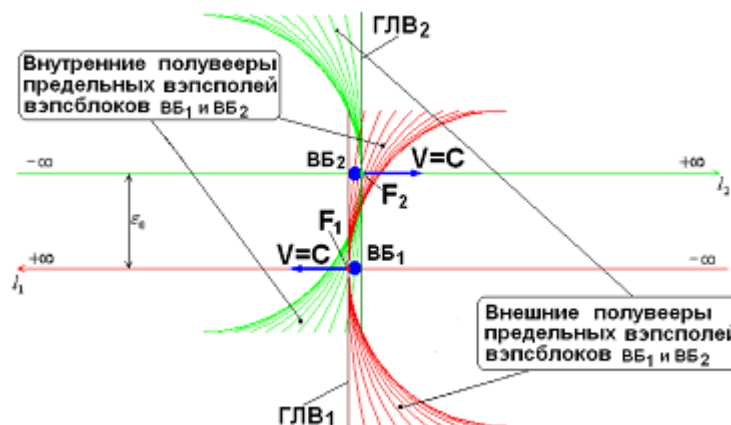


Рисунок 4.1. Спонтанная встреча

Очевидно, что до пересечения $ГПВ_2$ и $ГПВ_1$ вэпсблоками $вб_1$ и $вб_2$ соответственно, последние «видеть» друг друга не будут, и только после пересечения ими этих плоскостей, они будут взаимодействовать между собой, но очевидно также, что это взаимодействие

должно сильно отличаться от взаимодействия между «покоящимися» вэпсблоками. Проанализируем далее, в чем заключается это отличие. Как сказано выше все вэпсимпульсы испущенные предельным вэпсблоком **вб₁ (вб₂)** ([рис. 4.1](#)) расходятся с расстоянием от вэпстраектории, в виде сферического веера. В связи с этим мысленно разделим вэпсполе вэпсблока **вб₁ (вб₂)** на веерную область (веер вэпсполя), в которую входят множество всех «передних» (лобовых) полусфер вэпсимпульсов и подвеерную область (подвеер вэпсполя), в которую входят множество всех «задних» полусфер дополняющих полусферы веерной области. Условимся считать, что сами предельные вэпсблоки всегда находятся в подвеере. В свою очередь веер (подвеер) также мысленно разделим пополам плоскостью содержащей в себе вэпстраекторию **I₁ (I₂)** и перпендикулярной к плоскости спонтанной встречи. Ту из полученных таким образом половинок веера (подвеера), которая пересекает встречную вэпстраекторию, условимся называть внутренним полuveером (полуподвеером), а вторую половинку назовём внешним полuveером (полуподвеером).

В связи с взаимными пересечениями собственных вэпсимпульсов излучаемой конкретным предельным вэпсблоком эфирной информации, она непрерывно накапливается у его предельного полюса. Одновременно с накоплением она рассеивается из эфиронокрестностей полюсов в Одисфейпространство, но только вдоль меридианов вэпсимпульсов (вдоль вееров). В момент возникновения предельного вэпсблока скорость её накопления значительно превышает скорость её рассеивания, но по мере её накопления растёт и скорость её рассеивания, и через некоторое время после возникновения предельного вэпсблока наступает равновесие между процессом накопления и процессом рассеивания эфирной информации. Равновесие между процессами накопления и рассеивания эфирной информации эфиронокрестностями предельных полюсов условимся называть предельным равновесием. Далее мы убедимся, что эти эфиронокрестности проявляются как источники приращения интенсивности эфирной информации.

Анализируемое нами здесь предельно-динамическое состояние вэпсполя отличается от его стационарного состояния предельным сжатием веерной области и растяжением подвеерной области, т. е. в веере бесконечно удалённые точки Самбатэпрпространства отображаются практически рядом с его текущими точками. Следовательно, возникающая таким образом предельная асимметрия вэпсполей вызывает очень важные для Сам-Батэры динамические эффекты, которые попытаемся далее выявить и проанализировать. Для этого нам надо вернуться к рассмотренной ранее теме о тангенциальных смещениях эфиронов вызываемых центральными полями (см. [опр. 2-32](#), стр.31).

Напомним, что тангенциальные смещения эфиронов вызываемые центральными источниками, в отличие от радиальных смещений, не вызывают относительных смещений между лицеронам и тенеронам, т. е. не вызывают тангенциальных эксцентриситетов в вэпсблоках. Но в данной ситуации они являются косвенной причиной приводящей к возникновению таких эксцентриситетов. Проанализируем подробнее эту ситуацию с целью прояснения механизма этого явления.

Как следует из формулы (2-17)(стр.31) тангенциальная плотность эфиронов вэпсимпульсов центрального источника существенно отличается от линейной плотности тривиального пространства. В позитивных вэпсимпульсах тангенциальная плотность лицеронов (тенеронов) ниже (выше) тривиальной. В негативных вэпсимпульсах тангенциальная плотность лицеронов (тенеронов) выше (ниже) тривиальной.

Но когда вэпсблок покоится или движется с несущественной скоростью, то его вэпсполе обладает центральной симметрией относительно его центра, т. е. радиальная плотность вэпсимпульсов одинакова по всему спектру направлений центра вэпсполя. Поэтому в покоящихся вэпсполях относительных тангенциальных смещений между лицеронам и тенеронам не возникает. Вэпсимпульсы предельных вэпсблоков (см. [рис. 4.1](#) и [4.2](#)) не являются концентрическими сферами, поэтому их радиальная плотность зависит от радиального направления относительно вэпсблока. Если проанализировать, как меняется эта плотность по веерной области вэпсполя (здесь нас интересует только веер вэпсполя), то получается, что радиальная плотность вэпсим-

пульсов максимальна в точке F_1 (F_2) и убывает с расстоянием от нее. А скорость этого убывания зависит от угла между анализируемым направлением от центра полюса F_1 (F_2) и его вэпс-траекторией.

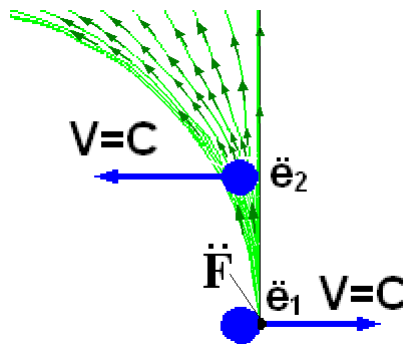


Рисунок 4.2

Очевидно, что, в общем, зависимость радиальной плотности вэпсипульсов от координат (независимо от выбранной системы координат) очень сложная, по этой и другим нижеизложенным причинам анализ этого процесса является больше качественным, чем количественным.

Естественно, что суммарная тангенциальная плотность эфиронов в эфиронокрестности произвольной точки веера вэпсполя пропорциональна радиальной плотности вэпсипульсов в этой эфиронокрестности. Следовательно, суммарная тангенциальная плотность эфиронов максимальна или минимальна (в зависимости от знака спонтанной встречи и подпространства) в эфиронокрестностях предельных полюсов и убывает или возрастает с расстоянием между соответствующим полюсом и анализируемой точкой веера. Такой напор суммарной тангенциальной плотности эфиронов веера вызывает соответствующие тангенциальные смещения эфиронов, зависящие от знака спонтанной встречи и анализируемого подпространства. Анализ показывает, что при этом, смещения тенеронов и лицеронов направлены в противоположные друг другу стороны. Из вышесказанного следует что, эфироны вееров вэпсблоков спонтанных встреч смещаются не только в нормальных к вэпсипульсам направлениях, но и в тангенциальных направлениях. Эти тангенциальные смещения условимся называть наведенными псевдоцентрными смещениями эфиронов. Поскольку центр наведенных псевдоцентральных смещений эфиронов строго не определён, но близок к полюсу F , то эту точку и условимся считать центром этих смещений. При негативной спонтанной встрече тангенциальная плотность лицеронов (тенеронов) максимальна (минимальна) в эфиронокрестности полюса F и убывает (возрастает) с расстоянием от этого полюса. В этом случае наведенные смещения лицеронов веера направлены от полюса, а наведенные смещения тенеронов в противоположную сторону. При позитивной спонтанной встрече тангенциальная плотность лицеронов (тенеронов) минимальна (максимальна) в эфиронокрестности полюса F и возрастает (убывает) с расстоянием от этого полюса. Соответственно в этом случае наведенные смещения лицеронов веера направлены к точке F , а наведенные смещения тенеронов от неё. На рис. 4.2 тёмно-зелёными стрелками показаны наведенные псевдоцентрные смещения лицеронов веера предельного негаблока \ddot{e}_1 .

На рис. 4.3 показаны ускорения негаблоков \ddot{e}_1 и \ddot{e}_2 в момент негативной спонтанной встречи. Как видим негаблоки подвержены радиальному и тангенциальному (псевдорadiaльному) ускорению. Радиальные ускорения $\vec{a}_{e_1}^{\text{рад}}$ и $\vec{a}_{e_2}^{\text{рад}}$ направлены против движения негаблоков, т. е. тормозят их, а псевдорadiaльные ускорения $\vec{a}_{e_1}^{\tau}$ и $\vec{a}_{e_2}^{\tau}$ направлены к встречным траекториям, т. е. сближают негаблоки друг к другу. Следовательно, результирующие ускорения \vec{a}_{e_1} и \vec{a}_{e_2} меняют траектории негаблоков \ddot{e}_1 и \ddot{e}_2 закручивая их вокруг некоторого общего центра. Далее мы увидим, что после такого закручивания неминуемо возникает эфирный вихрь, после

возникновения которого ситуация кардинально меняется, т. е. возникает новая конфигурация полей смещений эфионов. Следовательно, спонтанная встреча это один из самых коротких во времени (возможно, самый короткий) процессов в Сам-Батэре, поэтому автор не проводил количественного анализа этого мгновенного процесса. Ведь тут достаточно сказано для понимания того что в этот миг прямолинейные траектории предельных вэпсблоков сменяются на криволинейные траектории с общим или не общим центром кривизны. И независимо от величины этого закручивания сразу же после его возникновения вступают в силу другие механизмы взаимодействия между вэпсблоками, о которых речь пойдёт дальше.

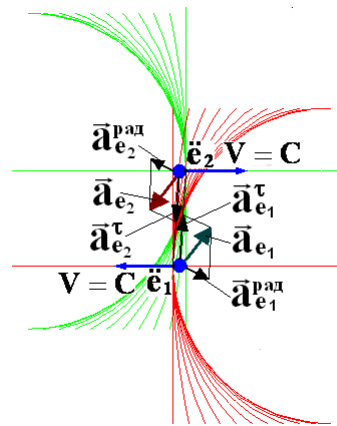


Рисунок 4.3

Как выяснится далее этот мгновенный процесс, названный выше спонтанной встречей, является ещё и самым важным процессом для Сам-Батэры, т. к. без него не смогли бы возникнуть объекты обладающие массой покоя, а, следовательно, и мы с Вами.

Из вышесказанного следует, что до момента спонтанной встречи оба предельные полюса являлись псевдоисточниками псевдоцентральных смещений эфионов. Условимся далее называть эти полюса линейно-наведенными псевдоисточниками приращения эфирной информации.

Прежде чем приступить к анализу эфирного вихря нам надо рассмотреть ещё один эффект возникающий в процессе спонтанной встречи. Как мы выяснили выше, веер предельного вэпсблока проявляет себя как псевдоцентральное поле смещений эфионов с центром в предельном полюсе, знак которого противоположен знаку возбудившего его первичного вэпсполя. Естественнo, что псевдорadiaльные смещения эфионов вытягивают эфионы из окрестностей предельных полюсов или наоборот нагнетают их в эти окрестности, что приводит к соответствующему падению или росту их объёмной концентрации в этих окрестностях. Таким образом, происходит отрицательная или положительная (в зависимости от подпространства и знака спонтанной встречи) «накачка» окрестностей предельных полюсов эфионами. В следующее мгновение, когда предельные полюса освободят занимаемую ими в текущее мгновение область пространства и на их место придут соответствующие вэпсблоки, то исчезнут причины вызывающие вышеупомянутую «накачку». Следовательно «накачка» прекращается, а приобретённые до этого избыточные эфионы вынуждены смещаться в обратном направлении, возвращаясь, таким образом, на своё «законное» место. То есть, оставаясь и далее псевдоцентральным условным источником приращения интенсивности эфирной информации, эта область меняет свой знак на противоположный знак, уже совпадающий со знаком спонтанной встречи. Этот постнаведенный псевдоисточник всегда совмещён с косвенно возбудившим его предельным вэпсблоком и усиливает вэпсполе последнего. Условимся далее называть этот источник линейным постнаведенным псевдоисточником.

4.2 АНАЛИЗ СЭПСА

Как видно из заглавия, мы приступаем к анализу эфирного вихря, возникшего в момент спонтанной встречи, который, по всей видимости, является основным стабильным элементарным процессом Сам-Батэры. По аналогии с вэпсом условимся называть его сэпсом, словом, составленным из первых букв полного названия этого процесса.

На рисунке 4.4 изображена схема сечения сэпса плоскостью содержащей в себя общую траекторию вэпсблоков $вб_1$ и $вб_2$, где окружностями синего цвета обозначены вэпсимпульсы, излучённые вэпсблоком $вб_1$ до текущего мгновения. Здесь не нанесены сечения вэпсимпульсов, излучённых вэпсблоком $вб_2$, в результате чего рисунок менее полный, но легче для восприятия. Сечение сэпса содержащее в себе круговую траекторию его вэпсблоков условимся далее называть центральной сечением сэпса, а траекторию его вэпсблоков сэпстраекторией.

Поскольку у центрального сечения сэпса есть две стороны, то ту из них, из которой видно, что сэпсблоки вращаются против часовой стрелки, назовём правой стороной центрального сечения сэпса, а противоположную ей сторону назовём левой стороной центрального сечения сэпса.

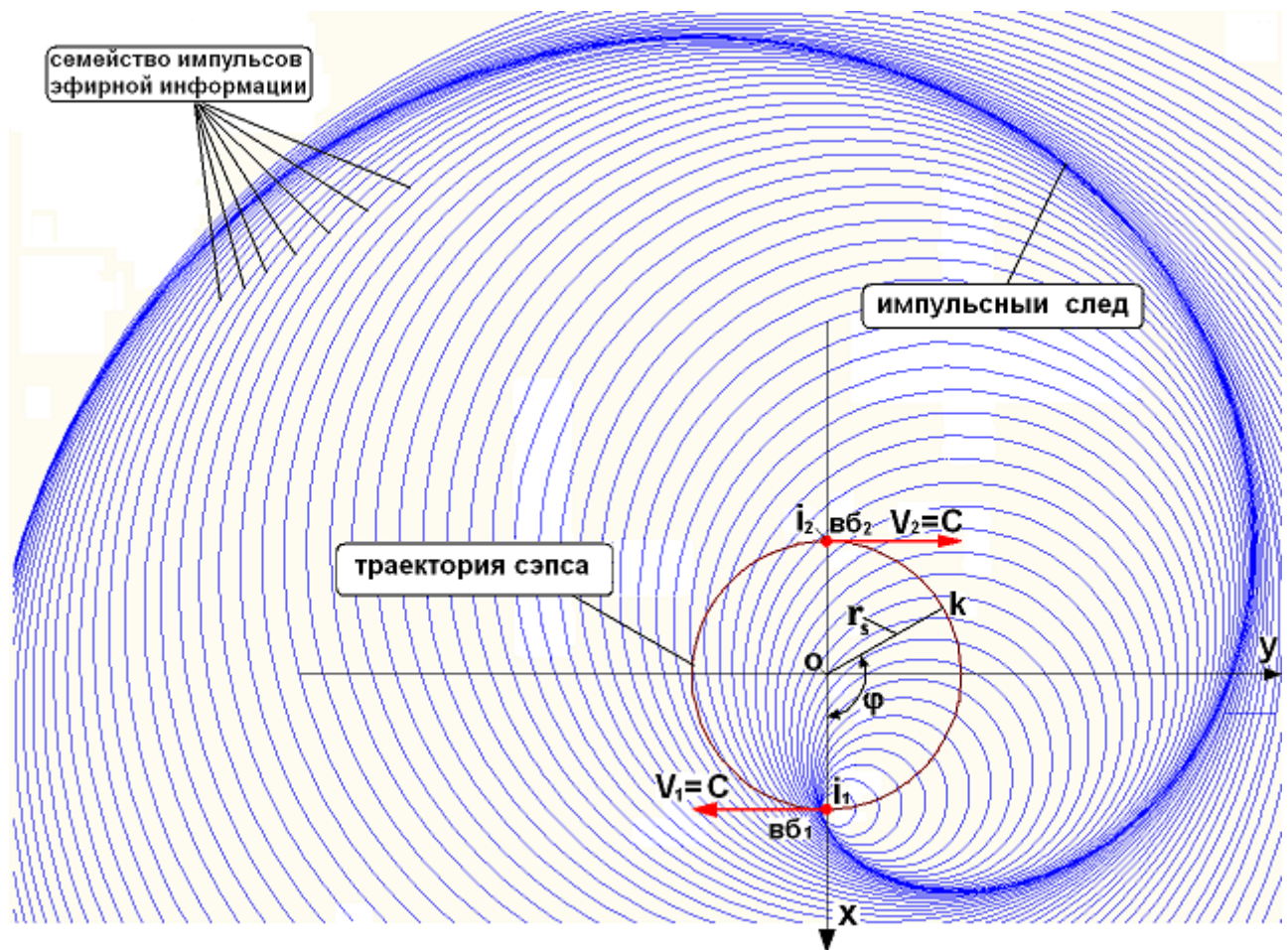


Рисунок 4.4. Фрагмент левой стороны центрального сечения сэпса

где:

- $вб_1$ и $вб_2$ – сэпсблоки;
- φ – Центральный угол сэпстраектории или длина сэпстраектории в радианах заключённой между её произвольной точкой k и подвижным центром i_1 сэпсблока $вб_1$ (точкой пересечения абсциссы ДСКС с сэпстраекторией);
- O – центр сэпса;

- r_s – радиус сэпстраектории;
- i_1 и i_2 – подвижные центры сэпсблоков $вб_1$ и $вб_2$ соответственно (подвижные точки пересечения абсциссы ДСКС (см. ниже) с сэпстраекторией);
- k – произвольная точка сэпстраектории.

Поскольку процесс распространения эфирной информации не зависит от траектории и скорости условного источника (см. [опр.3-50](#), стр.42), то семейство вышеупомянутых вэпсимульсов описываются следующим уравнением:

$$(x - r_s \cos \varphi)^2 + (y - r_s \sin \varphi)^2 + z^2 + k^2 = (\varphi r_s)^2. \quad (4-1)$$

Из рисунка [4.4](#) следует, что у этого семейства имеется особая линия, которую условимся называть импульсным следом сэпсблока, и которая описывается следующей системой уравнений:

$$x = r_s (\cos \varphi + \varphi \sin \varphi), \quad y = r_s (\sin \varphi - \varphi \cos \varphi), \quad z = 0, \quad k = 0. \quad (4-2)$$

С целью оптимизации дальнейшего анализа сэпса введём следующую терминологию элементов сэпса:

- сэпсовые вэпсблоки (сэпсблоки) – предельные вэпсблоки образующие сэпс (основные элементы сэпса);
- сэпсдополнение сэпсблока – множество всех сэпсблоков сэпса (кроме данного). Если сэпсдополнение состоит из нескольких сэпсблоков, то последние условимся называть элементами сэпсдополнения. Здесь следует напомнить, что кроме сэпсдополнения у каждого сэпсблока обязательно имеется вэпсдополнение в виде вэпсблока противоположного знака. Если вэпсдополнение сэпсблока не является элементом данного сэпса, то между ним и данным сэпсблоком нет жёсткой привязки.
- радиус сэпса (сэпсрадиус) r_s – радиус сэпстраектории;
- сэпсовый импульс (сэпсимпульс) – вэпсимпульс испущенный одним из сэпсблоков.
- однородные сэпсимпульсы – сэпсимпульсы, испущенные одним и тем же сэпсблоком;
- собственные сэпсимпульсы сэпсблока – сэпсимпульсы испущенные данным сэпсблоком;
- несобственные сэпсимпульсы сэпсблока – сэпсимпульсы, испущенные одним из элементов сэпсдополнения данного сэпсблока;
- собственный импульсный след сэпсблока – импульсный след образованный семейством собственных сэпсимпульсов данного сэпсблока;
- несобственный импульсный след сэпсблока – собственный импульсный след одного из элементов сэпсдополнения данного сэпсблока;
- порождающий сэпсблок импульсного следа – сэпсблок, по отношению к которому данный импульсный след является собственным;
- непорождающий сэпсблок импульсного следа – сэпсблок, по отношению к которому данный импульсный след является несобственным;
- образующий сэпсимпульс импульсного следа – собственный сэпсимпульс порождающего сэпсблока данного импульсного следа;
- необразующий сэпсимпульс импульсного следа – несобственный сэпсимпульс порождающего сэпсблока данного импульсного следа;
- содержащий импульсный след сэпсимпульса – импульсный след, по отношению к которому данный сэпсимпульс является образующим;

- несодержащий импульсный след сэпсимульса – импульсный след, по отношению к которому данный сэпсимульс является необразующим;
- порождающий сэпсблок сэпсимульса – сэпсблок по отношению, к которому данный сэпсимульс является собственным;
- непорождающий сэпсблок сэпсимульса – сэпсблок по отношению, к которому данный сэпсимульс является несобственным;
- внутренний полюс сэпсимульса – точка соприкосновения сэпсимульса со своим последующим однородным сэпсимульсом;
- внешний полюс сэпсимульса – точка соприкосновения сэпсимульса со своим предыдущим однородным сэпсимульсом;
- биполюс сэпсимульса – отрезок линии сэпсимульса минимальной длины соединяющий внутренний и внешний полюсы сэпсимульса включительно;
- меридианные сечения (меридианы) сэпсимульса – сечения сэпсимульса плоскостями, содержащими в себе его центр и пересекающими его внешний полюс. В частном случае, когда это сечение совмещено с центральным сечением сэпса, условимся называть его главным меридианным сечением (главным меридианом) сэпсимульса. А в случае, когда оно перпендикулярно центральному сечению сэпса назовём его нормальным меридианным сечением (нормальным меридианом) сэпсимульса;
- экваториальное сечение (экватор) сэпсимульса – сечение сэпсимульса плоскостью содержащей в себе центр сэпсимульса и перпендикулярной одновременно его главному и нормальному меридианному сечению;
- динамическая система координат сэпса (ДСКС) – правая декартова система координат, начало которой совмещено с центром сэпса, абсцисса и ордината лежат на центральном сечении сэпса и вращаются вокруг начала синхронно с сэпсом, при этом абсцисса постоянно содержит в себе центры обоих сэпсблоков. Естественно, что аппликата перпендикулярна центральному сечению сэпса, а квартата Самбатэрпространству;
- подвижный наблюдатель или элемент сэпса – условный наблюдатель или элемент сэпса (сэпсблок, импульсный след, подвижные точки и др.) неподвижный относительно динамической системы координат сэпса;
- неподвижный наблюдатель – условный наблюдатель неподвижный относительно Самбатэрпространства.

Из вышесказанного следует, что собственный импульсный след сэпсблока это счётное множество внешних полюсов его собственных сэпсимульсов, которые условимся далее их называть образующими точками импульсного следа. Очевидно, что внешние полюса собственных сэпсимульсов сэпсблока одновременно являются внутренними полюсами соответствующих предыдущих собственных сэпсимульсов данного сэпсблока. Следовательно, множество всех внешних полюсов уже включает в себе и множество всех внутренних полюсов собственных сэпсимульсов импульсного следа.

Между любыми двумя смежными образующими точками импульсного следа расположено бесконечное множество промежуточных точек следа, которые являются второстепенными наполнителями следа. Поскольку семейство однородных сэпсимульсов образующих импульсный след, как и сам импульсный след, являются динамическими объектами, то образующие точки импульсного следа непрерывно перемещаются по нему от центра сэпса к его периферии. Но, несмотря на это, мы можем условно зафиксировать любую образующую точку импульсного следа так, чтобы расстояние от неё до центра сэпса было неизменным во времени. Естественно, что такую точку последовательно пересекают (с частотой \dot{C} раз в единицу времени) все образующие сэпсимульсы данного импульсного следа, при достижении ими определённого радиуса. Условимся далее называть такие точки стационарными точками импульсного следа, т. к. они неподвижны относительно ДСКС и самого импульсного следа.

А теперь настала очередь подытожить результаты спонтанной встречи:

До спонтанной встречи вэпсблоки двигались навстречу друг к другу по прямолинейным предельным вэпстраекториям, в результате чего они не «видели» друг друга и, следовательно, не взаимодействовали между собой. После спонтанной встречи предельные вэпсблоки движутся по общей круговой сэпстраектории, «видят» друг друга и непрерывно взаимодействуют между собой.

До спонтанной встречи вэпсполя предельных вэпсблоков симметричны относительно своих вэпстраекторий. После же спонтанной встречи этой симметрии уже нет, т. к. предельные полюса спонтанной встречи преобразуются в сэпсовые импульсные следы, запредельные вэпсполя становятся больше похожими на рыбные чешуи, чем на веера, а импульсные полюса раздваиваются на внутренние и внешние полюса сэпсимпульсов. То есть бывшие внешние полувееры вэпсблоков распределяются вдоль передних (лобовых) сторон соответствующих импульсных следов, «чешуйки» которых направлены к началу импульсного следа. Условимся далее называть эту область сэпсполя **передним веером импульсного следа** (см. [рис. 4.5](#)). Бывшие внутренние полувееры распределяются вдоль задних сторон импульсных следов, «чешуйки» которых направлены к их хвостовым областям. Эти области сэпсполей условимся называть **задними веерами импульсных следов**. Напомню, что всё сказанное здесь относится к центральному сечению сэпса. Что касается других сечений сэпса, то картина плавно меняется с поворотом секущей плоскости, но при этом вэпсполя сэпсблоков остаются несимметричными, как относительно сэпстраектории, так и относительно импульсного следа. С целью упрощения анализа условимся здесь и далее подробно анализировать только центральное сечение сэпса, что касается остальных сечений, то о них разговор будет идти по мере необходимости.

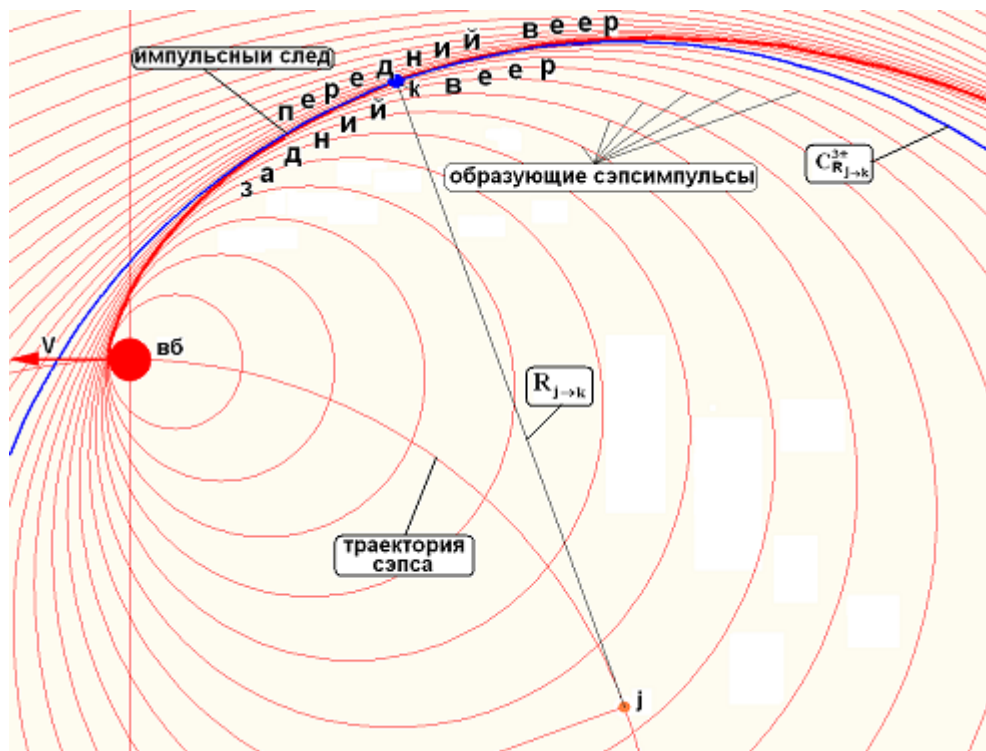


Рисунок 4.5. Правая сторона центрального сечения сэпса

где:

- **вб** – сэпсблок;
- **j** – произвольная подвижная (см. терминологию элементов сэпса) точка сэпстраектории;
- **k** – соответствующая точке **j** стационарная точка импульсного следа.

- $\bar{E}_{\Theta_k \rightarrow j} = \bar{k} k = c d$ – радиальные смещения эфионов основной подвижной порядкообразующей сферы $\ddot{\Theta}_{Rj \rightarrow k}^{3*}$, вызываемые сэпсимульсами, испущенными из подвижной точки j сэпстраектории;
- $\cup kc$ – отрезок импульсного следа, вдоль которого смещаются импульсные полюса лицевых переходных порядкообразующих сфер подвижной точки j ;
- $\ddot{\Theta}_{Rj \rightarrow k}^{3*}$ – основная порядкообразующая сфера подвижной точки j сэпстраектории;
- $\bar{\Theta}_{Rj \rightarrow \bar{c}}^{3*}$ – лицевая виртуальная порядкообразующая сфера подвижной точки j сэпстраектории;
- k – соответствующая точке j стационарная точка импульсного следа;
- \bar{k} – проекция стационарной точки k на сферу $\bar{\Theta}_{Rj \rightarrow \bar{c}}^{3*}$;
- $\Delta\varphi_{kc} = f(\bar{E}_{\Theta_k \rightarrow j}, \varphi_{sk})$ – сэпсугол дуги $\cup kc$ импульсного следа.

Поскольку концентрация эфионов на импульсном следе отличается от их концентрации в окружающем пространстве (см. далее), то во время радиальных смещений эфионов сферы $\ddot{\Theta}_{Rj \rightarrow k}^{3*}$ они вынуждены смещаться и в тангенциальном направлении по сфере $\bar{\Theta}_{Rj \rightarrow k \triangleright \bar{c}}^{3*}$ ($\tilde{\Theta}_{Rj \rightarrow k \triangleright \bar{c}}^{3*}$). Проанализируем подробнее механизм, вызывающий эти тангенциальные смещения.

Так как образующие импульсный след однородные сэпсимульсы попарно касаются друг друга, то их радиальная плотность на импульсном следе выше их плотности в окружающем пространстве. Следовательно, и суммарная тангенциальная плотность эфионов импульсного следа существенно отличается от таковой в окружающем пространстве. Знак приращения суммарной тангенциальной плотности эфионов импульсного следа зависит от знака сэпса и анализируемого подпространства. Причину подобной зависимости мы уже анализировали при анализе процесса спонтанной встречи. В связи с вышесказанным, при пересечении сферы $\ddot{\Theta}_{Rj \rightarrow k}^{3*}$ очередным позитивным сэпсимульсом, её лицероны расположенные в переднем веере импульсного следа вынуждены тангенциально смещаться в сторону импульсного следа, а расположенные там же тенероны этой сферы смещаются в противоположном направлении. Одновременно с этим лицероны этой сферы расположенные в заднем веере импульсного следа тангенциально смещаются в сторону от импульсного следа, а расположенные там же тенероны тангенциально смещаются в противоположном направлении. Следовательно, эфионы сферы $\ddot{\Theta}_{Rj \rightarrow k}^{3*}$ расположенные в заднем веере и эфионы этой сферы расположенные в переднем веере получают (во время их радиального смещения, вызванного очередным сэпсимульсом) одинаковые по величине и направлению тангенциальные смещения. Такие же по величине, но противоположные по направлению тангенциальные смещения получают эфионы негативных сэпсов. Поскольку главное сечение сферы $\bar{\Theta}_{Rj \rightarrow k \triangleright \bar{c}}^{3*}$ ($\tilde{\Theta}_{Rj \rightarrow k \triangleright \bar{c}}^{3*}$), вдоль которого происходят эти смещения эфионов, является замкнутой линией (окружностью) исключающей самоблокировку эфионов, то возникающие таким образом тангенциальные смещения (с частотой \dot{C} смещений в секунду) передаются по цепочке всем эфионам этой окружности. Условимся далее называть эти смещения ротормыми смещениями, и для удобства условимся считать, что эфионы смещаются вдоль главного сечения сферы $\ddot{\Theta}_{Rj \rightarrow k}^{3*}$. Проекцию роторных смещений эфионов на сэпстраекторию условимся считать позитивной, если она сонаправлена с направлением движения сэпсблоков и негативной в противном случае, соответственно роторные смещения бывают позитивными или негативными. Следовательно, лицевые роторные смещения позисэпса негативны, а негасэпса позитивны, за незначительными исключениями. Роторные смещения тенеронов всегда равны по абсолютной величине роторным смещениям лицеронов, но противоположны по знаку.

С точки зрения подвижного наблюдателя импульсный след неподвижен и в каждой его стационарной точке непрерывно (с частотой $\mathbf{f}_{\text{ис}} = \dot{\mathbf{C}}_{\text{сек}}^{-1}$) происходят постоянные по величине импульсивные роторные смещения эфионов. Здесь частоту $\mathbf{f}_{\text{ис}}$ равную количеству сэпсимпульсов, пересекающих произвольную стационарную точку импульсного следа в единицу времени, условимся далее называть ударной частотой импульсного следа (фундаментальная константа). Величина роторных смещений (см. ниже) имеет разные значения в разных стационарных точках импульсного следа. Следовательно, величину определяющую разницу между роторными смещениями эфионов в двух смежных стационарных точках импульсного следа будем называть относительными роторными смещениями. Роторные смещения эфионов относительно подвижного наблюдателя являются абсолютными роторными смещениями.

Условимся далее называть сэпсфазой точки \mathbf{j} , точки \mathbf{k} и сфер $\ddot{\mathbf{O}}_{\mathbf{Rj} \rightarrow \mathbf{k}}^{3*}$, $\ddot{\mathbf{O}}_{\mathbf{Rj} \rightarrow \vec{c}}^{3*}$, $\ddot{\mathbf{O}}_{\mathbf{Rj} \rightarrow \vec{c}}^{3*}$, $\ddot{\mathbf{O}}_{\mathbf{Rj} \rightarrow \mathbf{k} \triangleright \vec{c}}^{3*}$, $\ddot{\mathbf{O}}_{\mathbf{Rj} \rightarrow \mathbf{k} \triangleright \vec{c}}^{3*}$ центральный угол сэпса между абсциссой ДСКС и радиус-вектором из начала ДСКС в подвижную точку \mathbf{j} , и обозначать её символом φ_{sk} . Этот угол является также сэпсфазой φ_{sk} образующего сэпсимпульса импульсного следа, пересекающего в текущее мгновение стационарную точку \mathbf{k} .

О существовании и причине возникновения роторных смещений мы уже знаем, теперь определим, от чего и как зависит их величина.

Определение 4-1. Мощность импульсного следа в стационарной точке \mathbf{k} – величина пропорциональная линейной плотности образующих точек импульсного следа в этой точке, которая, в свою очередь, обратно пропорциональна сэпсфазе точки \mathbf{k} .

Теперь сделаем количественное описание этого определения. Для определения плотности образующих точек в окрестности стационарной точки \mathbf{k} выберем участок $\Delta \mathbf{l}$ импульсного следа длиной в один квант расстояния \mathbf{r}_0 , центр которого расположен в точке \mathbf{k} и определим количество образующих сэпсимпульсов импульсного следа пересекающих выбранный участок.

Поскольку единичному участку импульсного следа $\Delta \mathbf{l} = \mathbf{r}_0 = 1$ соответствует некоторая дуга сэпстраектории $\Delta \mathbf{s} = \mathbf{r}_s 2\Delta\varphi_{\text{s}\Delta \mathbf{l}}$ (все импульсы, излученные из дуги $\Delta \mathbf{s}$, пересекают участок $\Delta \mathbf{l}$ и наоборот все импульсы пересекающие участок $\Delta \mathbf{l}$, испущены из дуги $\Delta \mathbf{s}$), из каждого кванта длины которой излучается только один сэпсимпульс, то используя параметрическое уравнение импульсного следа, получаем:

$$\Delta \mathbf{l} = \int_{\varphi_{\text{sk}} - \Delta\varphi_{\Delta \mathbf{l}}}^{\varphi_{\text{sk}} + \Delta\varphi_{\Delta \mathbf{l}}} \sqrt{(x')^2 + (y')^2} d\varphi = \mathbf{r}_s \varphi_{\text{sk}} 2\Delta\varphi_{\Delta \mathbf{l}} = \mathbf{r}_0 = 1.$$

Откуда получаем

$$\Delta \mathbf{s} = \frac{\Delta \mathbf{l}}{\varphi_{\text{sk}}} = \frac{1}{\varphi_{\text{sk}}},$$

или:

$$N_{\Delta \mathbf{l}} = \frac{1}{\varphi_{\text{sk}}}.$$

Тогда для мощности импульсного следа $\mathbf{M}_{\text{ис}}^{\mathbf{k}}$, получаем:

$$M_{ис}^k = K_M N_{\Delta l} = \frac{K_M}{\varphi_{sk}}, \quad (4-3)$$

где:

- $N_{\Delta l}$ – количество образующих точек импульсного следа лежащих на его участке Δl (плотность образующих точек в окрестности стационарной точки k).
- $x = r_s (\cos \varphi_{sk} + \varphi_{sk} \sin \varphi_{sk})$ – абсцисса точки k в динамической системе координат сэпса.
- $y = r_s (\sin \varphi_{sk} - \varphi_{sk} \cos \varphi_{sk})$ – ордината точки k в динамической системе координат сэпса.
- φ_{sk} – сэпсфаза стационарной точки k .
- $2\Delta\varphi_{\Delta l}$ – сэпсугол единичного участка импульсного следа Δl , или дуги Δs траектории сэпса.
- K_M – коэффициент мощности импульсного следа, учитывающий специфичность конфигурации сэпсимпульсов в окружающем импульсный след пространстве, и возможно некоторые другие, пока неизвестные нам, обстоятельства.

Определение 4-2. Относительные роторные смещения ($\Delta E_{\ddot{\mathbf{z}}_k}^{rot1(2)}$) эфиронов в стационарной точке $\ddot{\mathbf{k}}$ импульсного следа пропорциональны мощности импульсного следа в этой точке и тангенциальным смещениям импульсных полюсов переходных порядкообразующих сфер $\bar{\mathcal{O}}_{Rj \rightarrow k \triangleright \bar{c}}^{3*}$ ($\tilde{\mathcal{O}}_{Rj \rightarrow k \triangleright \bar{c}}^{3*}$), в свою очередь функционально зависящим от величины импульсных радиальных смещений эфиронов и сэпсфазы точки $\ddot{\mathbf{k}}$.

Из рисунка 4.6(стр.55), где в качестве примера выбран один из импульсных следов нега-сэпса, видно, что после каждого радиального смещения лицеронов основной порядкообразующей сферы $\ddot{\mathcal{O}}_{Rj \rightarrow k}^{3*}$ на величину $E_{\ddot{\mathbf{z}}_k \rightarrow j} = \mathbf{cd}$, они попадают на лицевую виртуальную порядкообразующую сферу $\bar{\mathcal{O}}_{Rj \rightarrow \bar{c}}^{3*}$, которая пересекается с импульсным следом в точке c . Следовательно, лицевое тангенциальное смещение импульсного полюса переходной порядкообразующей сферы $\bar{\mathcal{O}}_{Rj \rightarrow k \triangleright \bar{c}}^{3*}$ равно длине дуги $\cup kc$ импульсного следа.

$$\cup kc = \int_{\varphi_{sk} - \Delta\varphi_{kc}}^{\varphi_{sk}} \sqrt{(x')^2 + (y')^2} d\varphi = r_s \varphi_{sk} \Delta\varphi_{kc} - \frac{(\Delta\varphi_{kc})^2}{2}.$$

Анализируя соотношений между элементами треугольников $j\bar{o}b$ и jbc (рис. 4.6, стр.55), получаем:

$$\bar{E}_{\ddot{\mathbf{z}}_k \rightarrow j} = \mathbf{cd} = r_s \varphi_{sk} - r_s \sqrt{\sin^2 \frac{\Delta\varphi_{kc}}{2} + 2(\varphi_{sk} - \Delta\varphi_{kc}) \sin \Delta\varphi_{kc} + (\varphi_{sk} - \Delta\varphi_{kc})^2}.$$

К сожалению ни при помощи этого выражения, ни каким либо другим способом, автору не удалось найти явное выражение для функции $\Delta\varphi_{kc} = f(\bar{E}_{\ddot{\mathbf{z}}_k \rightarrow j}, \varphi_{sk})$. Следовательно провести полный количественный анализ сэпса не представляется возможным. Но качественный анализ, по мнению автора возможен, для этого отбрасываем второй член правой части вышеприведен-

ной формулы для дуги $\cup kc$, т. к. у него высший порядок малости, а в первом члене вместо величины $\Delta\varphi_{kc}$ подставляем величину $K_\varphi \bar{E}_{\Theta_k \rightarrow j}$.

Естественно, что такие действия не совсем законны с точки зрения математической точности, автор конечно не против точного количественного описания сэпса, но, к сожалению не всё получается идеально гладким. С другой стороны автору вполне достаточно хотя бы показать, что при определённых условиях между одноимёнными вэпсблоками может возникать взаимное притяжение, т. е. что сэпс – это принципиально возможный процесс. А для такой качественной оценки сэпса можно воспользоваться следующим приближённым выражением для дуги $\cup kc$ импульсного следа:

$$\cup kc \approx K_\varphi r_s \varphi_{sk} \bar{E}_{\Theta_k \rightarrow j},$$

где K_φ – коэффициент, максимально приближающий вычисляемое по данной приближённой формуле значение длины дуги $\cup kc$ импульсного следа к её истинному значению.

Тогда на основании определений [4-1](#), [4-2](#)(стр.58) и формулы [\(2-16\)](#)(стр.31), для величины относительных роторных смещений $\Delta E_{\Theta_k}^{\text{rot}_{1(2)}}$ эфионов главного сечения сферы $\ddot{\Theta}_{Rj \rightarrow k}^{3*}$, получаем следующее выражение:

$$\Delta E_{\Theta_k}^{\text{rot}_{1(2)}} = K_{\text{rot}} M_{\text{nc}}^k K_\varphi r_s \varphi_{sk} \bar{E}_{\Theta_k \rightarrow j} = \frac{K_{\text{rot}} K_\varphi K_M r_s M_{\ddot{p}(\ddot{e})}}{4K_{\text{лз}} \pi^2 (r_s \varphi_{sk})^2} = \frac{K_{\text{nc}} r_s M_{\ddot{p}(\ddot{e})}}{4K_{\text{лз}} \pi^2 (r_s \varphi_{sk})^2}, \quad (4-4)$$

где:

- $K_{\text{nc}} = K_{\text{rot}} K_\varphi K_M$
- K_{rot} – коэффициент, учитывающий то обстоятельство, что роторное смещение эфионов происходит не вдоль импульсного следа, а вдоль переходной порядкообразующей сферы $\ddot{\Theta}_{Rj \rightarrow k}^{3*}$, т. е. параллельно сфере $\ddot{\Theta}_{Rj \rightarrow k}^{3*}$.

Следовательно, для абсолютной роторной составляющей сэпсового смещения (сэпссмещения) эфионов, получаем следующее выражение:

$$E_{\Theta_k \leftarrow s}^{\text{rot}_{1(2)}} = \frac{K_{\text{nc}} M_{\ddot{p}(\ddot{e})}}{4K_{\text{лз}} \pi^2} \int_{R=r_s \varphi_{sk}}^{R=\infty} \frac{dR}{R^2} = \frac{K_{\text{nc}} M_{\ddot{p}(\ddot{e})}}{4K_{\text{лз}} \pi^2 r_s \varphi_{sk}}.$$

Или окончательно:

$$E_{\Theta_k \leftarrow s}^{\text{rot}_{1(2)}} = \frac{K_{\text{nc}} M_{\ddot{p}(\ddot{e})}}{4K_{\text{лз}} \pi^2 r_s \varphi_{sk}}, \quad (4-5)$$

где:

- $\Delta E_{\Theta_k}^{\text{rot}_{1(2)}}$ – величина относительных роторных смещений эфионов главного сечения сферы $\ddot{\Theta}_{Rj \rightarrow k}^{3*}$, вызываемых сэпсблоком $\mathbf{вб}_1$ ($\mathbf{вб}_2$);
- $E_{\Theta_k \leftarrow s}^{\text{rot}_{1(2)}}$ – величина абсолютных роторных смещений эфионов главного сечения сферы $\ddot{\Theta}_{Rj \rightarrow k}^{3*}$, вызываемых сэпсблоком $\mathbf{вб}_1$ ($\mathbf{вб}_2$);

- $\mathbf{R} = \mathbf{r}_s \varphi_{sk}$ – радиус сэпсимпульса, пересекающего точку \mathbf{k} в текущее мгновение.
- $d\mathbf{R} = \mathbf{r}_s d\varphi_{sk}$ – б. м. приращение радиуса сэпсимпульса.

Из формулы (4-5) следует, что роторные смещения зависят как от эпсфазы точки **k**, так и от эпсрадиуса. Пока у нас нет доказательства того, что эпс является стабильным процессом, будем считать его эпсрадиус переменной величиной. Проведём далее полный анализ мгновенного состояния эпса показанного на рисунке 4.7.

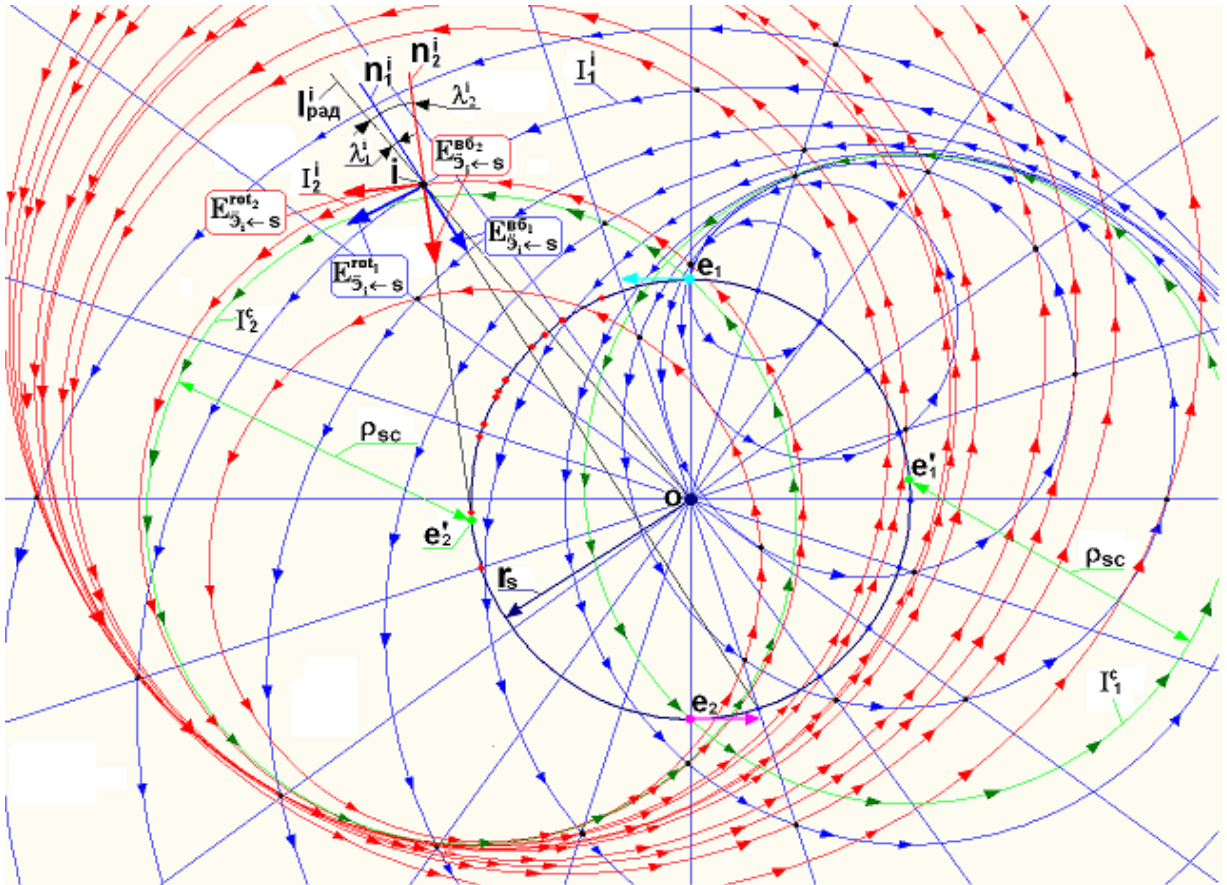


Рисунок 4.7. Правая сторона центрального сечения сэпса

где:

- e_1 и e_2 – первый и второй (нумерация условная) сэпсблок негасэпса.
- o – центр негасэпса;
- i – произвольная подвижная (неподвижная относительно ДСКС) точка прилегающего к негасэпсу пространства;
- I_1^i и I_2^i – собственные сэпсимпульсы негасэпсблоков e_1 и e_2 , пересекающие точку i в текущее мгновение соответственно.
- I_1^c и I_2^c – собственные сэпсимпульсы негасэпсблоков e_1 и e_2 , пересекающие центры негасэпсблоков e_2 и e_1 в текущее мгновение соответственно. Поскольку в таком состоянии на кратчайший миг поочерёдно пребывают все сэпсимпульсы сэпса, условимся далее называть это состояние сэпсимпульса **кардинальным состоянием сэпс-импульса**;
- $I_{\text{рад}}^i$ – ось, содержащая в себе центр сэпса o и точку i и направленная от центра сэпса к точке i , условимся далее называть её **радиальной сэпсосью точки i** ;

- \mathbf{n}_1^i и \mathbf{n}_2^i – нормали, восстановленные из точки \mathbf{i} к сэпсимпульсам \mathbf{I}_1^i и \mathbf{I}_2^i соответственно, направленные от центров сэпсимпульсов к точке \mathbf{i} ;
- ρ_{sc} – кардинальная протяжённость сэпса равная радиусу его кардинальных импульсов.
- λ_1^i и λ_2^i – углы между положительным направлением радиальной сэпсосои точки \mathbf{i} и положительными направлениями нормалей \mathbf{n}_1^i и \mathbf{n}_2^i соответственно. Условимся далее считать угол λ_1^i (λ_2^i) положительными, если для совмещения нормали \mathbf{n}_1^i (\mathbf{n}_2^i) с положительным направлением радиальной сэпсосои точки \mathbf{i} необходимо вращать эту нормаль по часовой стрелке, и отрицательными в противном случае (эти углы всегда острые);
- $\mathbf{E}_{\ddot{\mathbf{i}} \leftarrow \mathbf{s}}^{\text{rot}_1} = \mathbf{E}_{\ddot{\mathbf{i}} \leftarrow \mathbf{s}}^{\text{rot}_1 \tau} + \mathbf{E}_{\ddot{\mathbf{i}} \leftarrow \mathbf{s}}^{\text{rot}_1 n}$ – вектор роторной составляющей сэпссмещения эфилона $\ddot{\mathbf{i}}$ вызванного сэпсблоком $\ddot{\mathbf{e}}_1$;
- $\mathbf{E}_{\ddot{\mathbf{i}} \leftarrow \mathbf{s}}^{\text{rot}_1 \tau}$ – тангенциальная составляющая вектора $\mathbf{E}_{\ddot{\mathbf{i}} \leftarrow \mathbf{s}}^{\text{rot}_1}$ относительно центра сэпса;
- $\mathbf{E}_{\ddot{\mathbf{i}} \leftarrow \mathbf{s}}^{\text{rot}_1 n}$ – радиальная составляющая вектора $\mathbf{E}_{\ddot{\mathbf{i}} \leftarrow \mathbf{s}}^{\text{rot}_1}$ относительно центра сэпса;
- $\mathbf{E}_{\ddot{\mathbf{i}} \leftarrow \mathbf{s}}^{\text{rot}_2} = \mathbf{E}_{\ddot{\mathbf{i}} \leftarrow \mathbf{s}}^{\text{rot}_2 \tau} + \mathbf{E}_{\ddot{\mathbf{i}} \leftarrow \mathbf{s}}^{\text{rot}_2 n}$ – вектор роторной составляющей сэпссмещения эфилона $\ddot{\mathbf{i}}$ вызванного негавэпсблоком $\ddot{\mathbf{e}}_2$;
- $\mathbf{E}_{\ddot{\mathbf{i}} \leftarrow \mathbf{s}}^{\text{rot}_2 \tau}$ – тангенциальная составляющая вектора $\mathbf{E}_{\ddot{\mathbf{i}} \leftarrow \mathbf{s}}^{\text{rot}_2}$ относительно центра сэпса;
- $\mathbf{E}_{\ddot{\mathbf{i}} \leftarrow \mathbf{s}}^{\text{rot}_2 n}$ – радиальная составляющая вектора $\mathbf{E}_{\ddot{\mathbf{i}} \leftarrow \mathbf{s}}^{\text{rot}_2}$ относительно центра сэпса;
- $\mathbf{E}_{\ddot{\mathbf{i}} \leftarrow \mathbf{s}}^{\text{vb}_1} = \mathbf{E}_{\ddot{\mathbf{i}} \leftarrow \mathbf{s}}^{\text{vb}_1 \tau} + \mathbf{E}_{\ddot{\mathbf{i}} \leftarrow \mathbf{s}}^{\text{vb}_1 n}$ – вектор вэпсовой составляющей сэпссмещения эфилона $\ddot{\mathbf{i}}$ вызванного негавэпсблоком $\ddot{\mathbf{e}}_1$;
- $\mathbf{E}_{\ddot{\mathbf{i}} \leftarrow \mathbf{s}}^{\text{vb}_1 \tau}$ – тангенциальная составляющая вектора $\mathbf{E}_{\ddot{\mathbf{i}} \leftarrow \mathbf{s}}^{\text{vb}_1}$ относительно центра сэпса;
- $\mathbf{E}_{\ddot{\mathbf{i}} \leftarrow \mathbf{s}}^{\text{vb}_1 n}$ – радиальная составляющая вектора $\mathbf{E}_{\ddot{\mathbf{i}} \leftarrow \mathbf{s}}^{\text{vb}_1}$ относительно центра сэпса;
- $\mathbf{E}_{\ddot{\mathbf{i}} \leftarrow \mathbf{s}}^{\text{vb}_2} = \mathbf{E}_{\ddot{\mathbf{i}} \leftarrow \mathbf{s}}^{\text{vb}_2 \tau} + \mathbf{E}_{\ddot{\mathbf{i}} \leftarrow \mathbf{s}}^{\text{vb}_2 n}$ – вектор вэпсовой составляющей сэпссмещения эфилона $\ddot{\mathbf{i}}$ вызванного негавэпсблоком $\ddot{\mathbf{e}}_2$;
- $\mathbf{E}_{\ddot{\mathbf{i}} \leftarrow \mathbf{s}}^{\text{vb}_2 \tau}$ – тангенциальная составляющая вектора $\mathbf{E}_{\ddot{\mathbf{i}} \leftarrow \mathbf{s}}^{\text{vb}_2}$ относительно центра сэпса;
- $\mathbf{E}_{\ddot{\mathbf{i}} \leftarrow \mathbf{s}}^{\text{vb}_2 n}$ – радиальная составляющая вектора $\mathbf{E}_{\ddot{\mathbf{i}} \leftarrow \mathbf{s}}^{\text{vb}_2}$ относительно центра сэпса.

Как говорилось выше, в состав сэпса может входить как одна, так и несколько пар сэпсблоков, при этом каждый сэпсблок вносит свой независимый вклад в роторную составляющую сэпссмещения эфионов окрестности сэпса. Следовательно, роторная составляющая также как и вэпсовая составляющая сэпссмещения эфионов является векторной суммой роторных вкладов от каждого сэпсблока. Роторные смещения эфионов также как и вэпсовые центральные смещения образуют роторные поля, которые воздействуют на вэпсблоки и в частности на сэпсблоки. Естественно, что роторные и вэпсовые составляющие сэпссмещений эфионов состоят в свою очередь из радиальных и тангенциальных составляющих. На рисунке 4.7 представлен фрагмент сэпса с точки зрения подвижного наблюдателя. Естественно, что в качестве реального подвижного наблюдателя может выступать только подвижные элементы сэпса (такие как сэпсблоки), или наше воображение, автор воспользовался последним вариантом.

Анализируя вышесказанное, получаем следующую формулу для вектора полного сэпссмещения $\mathbf{E}_{\ddot{\mathbf{i}} \leftarrow \mathbf{s}}$ текущего эфилона $\ddot{\mathbf{i}}$ произвольной подвижной точки \mathbf{i} (см. [рис. 4.7](#)):

$$E_{\bar{\mathcal{E}}_i \leftarrow s}^{\tau} = E_{\bar{\mathcal{E}}_i \leftarrow s}^{\text{rot}_1} + E_{\bar{\mathcal{E}}_i \leftarrow s}^{\text{rot}_2} + E_{\bar{\mathcal{E}}_i \leftarrow s}^{\text{вб}_1} + E_{\bar{\mathcal{E}}_i \leftarrow s}^{\text{вб}_2}. \quad (4-6)$$

Примечание 4-1. из определения 3-52(стр.46) следует, что вэпсполя предельных сэпсблоков, отсутствуют в направлении их движения и в четыре раза усилены в противоположном направлении. Следовательно, возникшие в связи с движением сэпсблоков тангенциальные приращения вэпсовой составляющей смещений эфиронов, охваченных вэпсполями сэпса, направлены параллельно сэпстраектории, а их знак зависит от знака сэпса и анализируемого подпространства. В отличие от центральных полей смещений, которым присуща самоблокировка эфиронов в центре поля, анализируемые здесь тангенциальные приращения смещений эфиронов, вызывают беспрепятственное движение эфиронов по концентрическим окружностям вокруг центра сэпса с некоторой постоянной скоростью, зависящей от радиуса их траектории. Условимся далее называть это вращение эфиронов сэпсовым вращением (сэпсвращением) эфира которое охватывает не только центральное сечение сэпса, но и прилегающее к нему пространство. Следовательно, сэпсвращение эфира это вращение не вокруг центра сэпса, а вокруг его сооси (см. пятую главу). Сэпсвращение эфира в значительной степени усиливается тангенциальными составляющими роторных смещений эфиронов, т. к. они сонаправлены с упомянутыми здесь приращениями вэпсовых смещений, за исключением незначительного количества точек внутри самого сэпса. Попавший в область сэпсвращения эфира сторонний вэпсблок не реагирует на это вращение, если он неподвижен относительно центра сэпса, и наоборот получает тангенциальное ускорение, если он движется в радиальном направлении. Такое поведение стороннего вэпсблока в первом случае объясняется быстрой его адаптацией к неизменному сэпсвращению эфира, а во втором случае в связи с движением вэпсблока сэпсвращение эфира непрерывно меняется, адаптируясь к нему, вэпсблок вынужденно ускоряется в тангенциальном направлении. Сэпсвращение эфира не воздействует на собственные сэпсблоки, т. к. они изначально адаптированы к сэпсвращению. Подробнее о полях эфирных потоков излагается в седьмой главе, что касается сэпсвращения эфира, то оно играет главную роль в гравитации, о которой речь пойдёт в пятой главе. Направлением сэпсвращения (и прочих вращений) эфира условимся считать направление вращения лицеронов относительно тенеронов, независимо от того в каком направлении вращаются лицероны и тенероны относительно Самбатэрсреды.

Используя формулу (4-6) и рисунок 4.7 (стр.60), получаем:

$$\left. \begin{aligned} E_{\bar{\mathcal{E}}_i \leftarrow s}^{\tau} &= E_{\bar{\mathcal{E}}_i \leftarrow s}^{\text{rot}_1} \cos \lambda_1^i + E_{\bar{\mathcal{E}}_i \leftarrow s}^{\text{rot}_2} \cos \lambda_2^i + E_{\bar{\mathcal{E}}_i \leftarrow s}^{\text{вб}_1} \sin \lambda_1^i + E_{\bar{\mathcal{E}}_i \leftarrow s}^{\text{вб}_2} \sin \lambda_2^i, \\ E_{\bar{\mathcal{E}}_i \leftarrow s}^n &= E_{\bar{\mathcal{E}}_i \leftarrow s}^{\text{rot}_1} \sin \lambda_1^i + E_{\bar{\mathcal{E}}_i \leftarrow s}^{\text{rot}_2} \sin \lambda_2^i + E_{\bar{\mathcal{E}}_i \leftarrow s}^{\text{вб}_1} \cos \lambda_1^i + E_{\bar{\mathcal{E}}_i \leftarrow s}^{\text{вб}_2} \cos \lambda_2^i, \\ E_{\tilde{\mathcal{E}}_i \leftarrow s}^{\tau} &= E_{\tilde{\mathcal{E}}_i \leftarrow s}^{\text{rot}_1} \cos \lambda_1^i + E_{\tilde{\mathcal{E}}_i \leftarrow s}^{\text{rot}_2} \cos \lambda_2^i + E_{\tilde{\mathcal{E}}_i \leftarrow s}^{\text{вб}_1} \sin \lambda_1^i + E_{\tilde{\mathcal{E}}_i \leftarrow s}^{\text{вб}_2} \sin \lambda_2^i, \\ E_{\tilde{\mathcal{E}}_i \leftarrow s}^n &= E_{\tilde{\mathcal{E}}_i \leftarrow s}^{\text{rot}_1} \sin \lambda_1^i + E_{\tilde{\mathcal{E}}_i \leftarrow s}^{\text{rot}_2} \sin \lambda_2^i + E_{\tilde{\mathcal{E}}_i \leftarrow s}^{\text{вб}_1} \cos \lambda_1^i + E_{\tilde{\mathcal{E}}_i \leftarrow s}^{\text{вб}_2} \cos \lambda_2^i, \end{aligned} \right\} \quad (4-7)$$

где:

$E_{\bar{\mathcal{E}}_i \leftarrow s}^{\tau}$ – тангенциальная составляющая полного смещения произвольного лицерона $\bar{\mathcal{E}}_i$ относительно центра сэпса;

$E_{\bar{\mathcal{E}}_i \leftarrow s}^n$ – нормальная составляющая полного смещения произвольного лицерона $\bar{\mathcal{E}}_i$ относительно центра сэпса;

$E_{\tilde{\mathcal{E}}_i \leftarrow s}^{\tau}$ – тангенциальная составляющая полного смещения произвольного тенерона $\tilde{\mathcal{E}}_i$ относительно центра сэпса;

$E_{\tilde{\mathcal{E}}_i \leftarrow s}^n$ – нормальная составляющая полного смещения произвольного тенерона $\tilde{\mathcal{E}}_i$ относительно центра сэпса.

На основании вышесказанного и формул (2-16)(стр.31) и (4-5)(стр.59), получаем:

$$\begin{aligned}
 E_{\mathfrak{I}_i \leftarrow s}^{вб_1 n} &= \frac{\cos \lambda_1^i M \ddot{p}(\ddot{e})}{4K_{лз} \pi^2 (\varphi_{sI_1^i} r_s)^2}, & E_{\mathfrak{I}_i \leftarrow s}^{вб_2 n} &= \frac{\cos \lambda_2^i M \ddot{p}(\ddot{e})}{4K_{лз} \pi^2 (\varphi_{sI_2^i} r_s)^2}, & E_{\mathfrak{I}_i \leftarrow s}^{rot_1 n} &= \frac{\sin \lambda_1^i K_{nc} M \ddot{p}(\ddot{e})}{4K_{лз} \pi^2 r_s \varphi_{sI_1^i}}, \\
 E_{\mathfrak{I}_i \leftarrow s}^{rot_2 n} &= \frac{\sin \lambda_2^i K_{nc} M \ddot{p}(\ddot{e})}{4K_{лз} \pi^2 r_s \varphi_{sI_2^i}}, & E_{\mathfrak{I}_i \leftarrow s}^{вб_1 \tau} &= \frac{\sin \lambda_1^i M \ddot{p}(\ddot{e})}{4K_{лз} \pi^2 (\varphi_{sI_1^i} r_s)^2}, & E_{\mathfrak{I}_i \leftarrow s}^{вб_2 \tau} &= \frac{\sin \lambda_2^i M \ddot{p}(\ddot{e})}{4K_{лз} \pi^2 (\varphi_{sI_2^i} r_s)^2}, \\
 E_{\mathfrak{I}_i \leftarrow s}^{rot_1 \tau} &= -\frac{\cos \lambda_1^i K_{nc} M \ddot{p}(\ddot{e})}{4K_{лз} \pi^2 r_s \varphi_{sI_1^i}}, & E_{\mathfrak{I}_i \leftarrow s}^{rot_2 \tau} &= -\frac{\cos \lambda_2^i K_{nc} M \ddot{p}(\ddot{e})}{4K_{лз} \pi^2 r_s \varphi_{sI_2^i}}, & \text{откуда получаем:} \\
 E_{\mathfrak{I}_i \leftarrow s}^n &= \frac{M \ddot{p}(\ddot{e})}{4K_{лз} \pi^2 (r_s)^2} \left(\frac{\cos \lambda_1^i}{(\varphi_{sI_1^i})^2} + \frac{\cos \lambda_2^i}{(\varphi_{sI_2^i})^2} \right) + \frac{K_{nc} M \ddot{p}(\ddot{e})}{4K_{лз} \pi^2} \left(\frac{\sin \lambda_1^i}{r_s \varphi_{sI_1^i}} + \frac{\sin \lambda_2^i}{r_s \varphi_{sI_2^i}} \right), \\
 E_{\mathfrak{I}_i \leftarrow s}^n &= \frac{M \ddot{p}(\ddot{e})}{4K_{лз} \pi^2 (r_s)^2} \left(\frac{\sin \lambda_1^i}{(\varphi_{sI_1^i})^2} + \frac{\sin \lambda_2^i}{(\varphi_{sI_2^i})^2} \right) + \frac{K_{nc} M \ddot{p}(\ddot{e})}{4K_{лз} \pi^2} \left(\frac{\cos \lambda_1^i}{r_s \varphi_{sI_1^i}} + \frac{\cos \lambda_2^i}{r_s \varphi_{sI_2^i}} \right), \quad \left. \vphantom{\frac{M \ddot{p}(\ddot{e})}{4K_{лз} \pi^2 (r_s)^2}} \right\} \quad (4-8)
 \end{aligned}$$

где: $\varphi_{sI_1^i}$ и $\varphi_{sI_2^i}$ – сэпсфазы собственных сэпсимпульсов I_1^i и I_2^i сэпсблоков $вб_1$ и $вб_2$, пересекających в текущее мгновение точку i Самбатэпрпространства соответственно.

По аналогии с роторными смещениями (см. выше) проекцию вэпсовых смещений эфиронов на сэпстраекторию условимся считать позитивной, если она сонаправлена с направлением движения сэпсблоков и негативной в противном случае. Как говорилось выше тангенциальная компонента поля сэпссмещений эфиронов, проявляется как часть сэпсвращения эфира, к которому сэпсблоки изначально адаптированы. По сути сэпсвращение эфира это магнитное поле сэпса, о механизме воздействия такого поля на вэпсблоки мы узнаем в седьмой главе, при анализе воздействий проводника с током на пробные электрические заряды. Следовательно, тангенциальную компоненту поля сэпссмещений пока отложим в сторону и будем о ней вспоминать только при необходимости.

Рассмотрим далее частный случай, когда точка i совмещена с центром одного из сэпсблоков. Из рисунка 4.8 следует, что сэпсфазы $\varphi_{sI_1^c}$ и $\varphi_{sI_2^c}$ кардинальных сэпсимпульсов I_1^c и I_2^c (см. рис. 4.7, стр.60) и углы λ_{sc_1} и λ_{sc_2} не зависят от сэпсрадиуса r_s и имеют следующие количественные значения:

$$\left. \begin{aligned} \lambda_{sc} = \lambda_{sc_1} = \lambda_{sc_2} &= 0,7391, \cos \lambda_{sc} = 0,7391, \sin \lambda_{sc} = 0,6736, \\ \varphi_{sI^c} = \varphi_{sI_1^c} = \varphi_{sI_2^c} &= 1,4782. \end{aligned} \right\} \quad (4-9)$$

Как видим, угол λ_{sc} примечателен тем, что равен своему косинусу, условимся называть его далее кардинальным сэпсовым углом, а угол φ_{sI^c} – кардинальной сэпсфазой.

Из законов вращательного движения материальной точки следует, что для сохранения стабильности сэпса его сэпсблоки должны подвергаться постоянному центростремительному

$$\text{ускорению } \mathbf{a}_{вб_1}^{nc} = \mathbf{a}_{вб_2}^{nc} = -\frac{C^2}{r_s}.$$

Поскольку центростремительное ускорение сэпсблоков не зависит от знака сэпса, мы выведем аналитическое выражение, определяющее это ускорение для негасэпса.

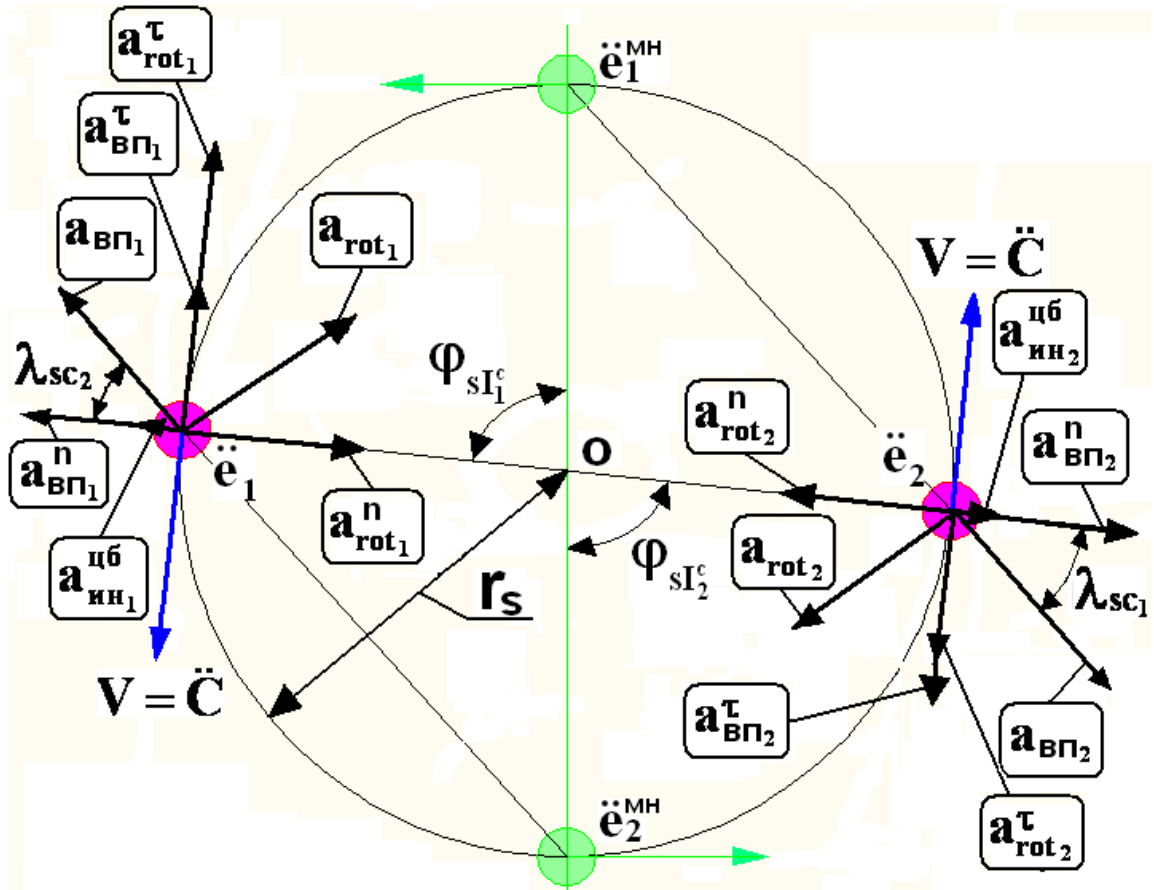


Рисунок 4.8

где:

- \ddot{e}_1 и \ddot{e}_2 – негасэпсблоки;
- \ddot{e}_1^{MH} и \ddot{e}_2^{MH} – точки траектории сэпса, из которых были испущены сэпсимпульсы пребывающие в кардинальном состоянии в текущий момент.

Используя формулы (4-8)(стр.63) и (3-4)(стр.41), получаем:

$$a_{вб_{1(2)}}^n = a_{rot_{1(2)}}^n - a_{вп_{1(2)}}^n = \frac{v_0 f_{ис} (\mathcal{E}_{вб_{1(2)}}^{рот.н} - \mathcal{E}_{вб_{1(2)}}^{вп.н})}{m_{вп}^{ин}},$$

или

$$a_{вб_{1(2)}}^n = \frac{v_0 \ddot{M}_{вб} C^2}{2K_{вп}^{обш}} \left(\frac{\cos \lambda_{sc}}{\pi^2 (\varphi_{sIc})^2 r_s^2} - \frac{K_{ис} |\sin \lambda_{sc}|}{\pi^2 r_s \varphi_{sIc}} \right) = -\frac{C^2}{r_s},$$

где:

- $a_{вб_{1(2)}}^n$ – полное нормальное ускорение сэпсблока №1 (№2).
- $a_{rot_{1(2)}}^n$ – нормальное роторное ускорение сэпсблока №1 (№2).
- $a_{вп_{1(2)}}^n$ – нормальное ускорение сэпсблока №1 (№2), вызванное вэпсполем сэпса.

- $f_{ис} = \ddot{C}_{сек}^{-1}$ – ударная частота импульсного следа (количество сэпсимпульсов, пересекающих произвольную стационарную точку импульсного следа в единицу времени, см. выше);
- $\varphi_{сIc}$ – кардинальная фаза сэпса (угол между мнимой и реальной динамическими системами координат сэпса ([рис. 4.8](#))).

Проведя необходимые преобразования последнего выражения и подставляя вместо величин λ , α и π их численные значения из равенств 4-9, получаем:

$$r_s = \frac{\cos \lambda_{sc}}{K_{ис} \varphi_{сIc} \sin \lambda_{sc} - \frac{2\pi^2 \varphi_{сIc}^2 K_{вп}^{обш}}{v_0 \ddot{M}_{вб}}} = \frac{0.7391}{0.9957 K_{ис} - \frac{44 K_{вп}^{обш}}{v_0 \ddot{M}_{вб}}} \cdot \quad (4-10)$$

Количественные характеристики и соотношения между фигурирующими в формуле (4-10) величинами $M_{\ddot{p}(\ddot{e})}$, v_0 , $K_{вп}^{обш}$ и $K_{ис}$ невозможно получить чисто теоретическим путём, т. к. они находятся в существенной зависимости от физических законов Одис-Феи. Например, мощность вэпсблоков $M_{\ddot{p}(\ddot{e})}$ с одной стороны является мерой приращения количества эфирной информации, а с другой стороны она эквивалентна единичному электрическому заряду. Следовательно, количественные характеристики и соотношения между величинами $M_{\ddot{p}(\ddot{e})}$, v_0 , $K_{вп}^{обш}$ и $K_{ис}$ можно получить только опытным путём. Но поскольку экспериментировать в Одис-Фее мы не можем в принципе, то придётся экспериментировать в Сам-Батэре, но целенаправленно для экстраполяции полученных результатов на объекты Одис-Феи. Здесь ещё следует напомнить, что общепринятый математический анализ касательно сэпса можно использовать только для качественного анализа, т. к. на уровне сэпса существенно проявляются структурные свойства Самбатэрпространства, которые на уровне макромира вообще не ощущаются. Как видно воспользоваться формулой (4-10) для точного вычисления радиуса сэпса мы пока не в состоянии, но из этой формулы следует, что существует вполне ощутимая вероятность того, что сэпсрадиус r_s является положительным числом, значительно превышающим единицу. Следовательно, вполне вероятно, что сэпс является основным стабильным процессом Сам-Батэры. Излагаемые далее соображения и факты значительно усиливают вероятность того что именно сэпс является основным стабильным процессом Сам-Батэры. Если это так, то размеры сэпса вполне сопоставимы с размерами лептонов, т. к. (см. далее) основой последних является сэпс. Следовательно, радиус сэпса r_s находится в пределах от нескольких десятков (или сотен) до нескольких тысяч (или десятков тысяч) квантов расстояния. Здесь нам остаётся довольствоваться тем, что для дальнейшего анализа сэпса и других элементарных процессов Сам-Батэры точные количественные соотношения между элементами сэпса хоть и желательны для нас, но и без них можно обойтись. А из вышесказанного следует, что с точки зрения подвижного наблюдателя, сэпс в принципе возможен и возможно именно он является основным стабильным процессом Сам-Батэры, теперь настала очередь проанализировать точку зрения неподвижного (относительно Самбатэрпространства) наблюдателя.

Из вышесказанного следует, что с точки зрения неподвижного наблюдателя роторные смещения неподвижных эфиронов окрестности сэпса происходят только в момент их пересечения импульсным следом, т. е. в момент их совмещения с соответствующими стационарными точками импульсного следа. Следовательно, роторные смещения эфиронов окрестности сэпса проявляются как сравнительно мощные одномоментные (импульсивные) смещения с относительно большими временными разрывами между ними.

Сразу после роторного смещения (локальной деформации пространства), начинается обратный восстановительный процесс (процесс устранения локальной деформации пространства) смещения эфионов, длящийся до следующего роторного смещения. Назовём обратный восстановительный процесс смещения эфионов, ограниченный во времени двумя смежными роторными смещениями, восстановительным циклом роторных смещений эфионов. Здесь под роторными смещениями подразумеваются их радиальные составляющие, и только они.

Теперь выделим, важные для проводимого нами анализа и связанные с траекториями стационарных точек импульсного следа, торообразные области сэпса, т. е. кольца, общий центр которых совмещён с центром сэпса, а их оси лежат на его центральном сечении. Траектория каждой стационарной точки импульсного следа находится во взаимно-однозначном соответствии с двумя взаимно соприкасающимися (имеют одну общую линию, а именно траекторию данной стационарной точки импульсного следа) торообразными областями сэпса. Кольцо конкретной стационарной точки, расположенное ближе к центру сэпса условимся называть внутренним роторным кольцом этой точки, а второе её кольцо (расположенное дальше от центра сэпса) условимся называть её внешним роторным кольцом. Радиусы сечений роторных колец, плоскостью содержащей в себе центр сэпса и перпендикулярной его центральному сечению, минимальны, т. е. равны всего нескольким квантам расстояния.

Следовательно, произвольная стационарная точка импульсного следа, двигаясь по общей линии своих роторных колец, импульсивно перекачивает эфионы из одного из этих колец во второе, которые условимся называть роторным источником стационарной точки и роторным приёмником стационарной точки соответственно. В лицевом подпространстве позитивного (негативного) сэпса роторными источниками являются внутренние (наружные) роторные кольца, а роторными приёмниками являются наружные (внутренние) роторные кольца. В теневом подпространстве позитивного (негативного) сэпса роторными источниками являются наружные (внутренние) роторные кольца, а роторными приёмниками являются внутренние (наружные) роторные кольца. Из вышесказанного следует, что нагнетателями роторных смещений эфионов являются стационарные точки импульсных следов, т. е. эфионы переходят из роторных источников в роторные приёмники через стационарные точки и только через них, поэтому с точки зрения неподвижного наблюдателя стационарные точки условимся называть роторными трубками.

Поскольку процесс закачки эфионов из роторного источника в роторный приёмник через роторные трубки протекает непрерывно и практически вечно, то существует и обратный процесс (вышеупомянутый обратный восстановительный процесс) смещения эфионов из роторного приёмника в роторный источник. Обратный восстановительный процесс в отличие от прямого процесса проходит не через роторные трубки, а через всю поверхность, как роторного приёмника, так и роторного источника. Мощность обратных смещений эфионов максимальна вдоль общей линии роторного источника и роторного приёмника, и минимальна вдоль диаметрально противоположных линий их пересечения с центральным сечением сэпса. Естественно, что мощность обратных смещений эфионов в остальных точках поверхностей роторного источника и роторного приёмника плавно меняется от максимума к минимуму с удалением от траектории соответствующей стационарной точки. Следовательно, мощность обратного восстановительного процесса, в отличие от прямых роторных смещений эфионов, рассеяна по спектру направлений осей роторного источника и роторного приёмника соответственно. В дальнейшем анализе этого процесса основное внимание уделим восстановительным смещениям эфионов вдоль центрального сечения сэпса, от роторного приёмника к роторному источнику, в направлении перпендикулярном траектории соответствующей стационарной точки. Тогда для этих смещений с учётом вышеупомянутого рассеивания мощности обратных смещений эфионов получаем следующее выражение:

$$E_{sk}^{BC} = K_{vp} M_{sk},$$

где:

- M_{sk} – мощность источника восстановительных смещений эфионов (см. [опр. 4-3](#));
- E_{sk}^{bc} – величина восстановительных смещений эфионов (одинакова во всех точках траектории стационарной точки k);
- $K_{вр}$ – коэффициент рассеивания мощности восстановительных смещений эфионов.

Исходя из вышесказанного, сделаем следующее определение:

Определение 4-3. Источник восстановительных смещений эфионов сэпса – совмещённый роторный приёмник стационарных точек, принадлежащих разным импульсным следам, но движущихся по одной совместной стационарной траектории.

Определение 4-4. Мощность источников восстановительных смещений эфионов сэпса пропорциональна сэпсчастоте сэпса, удвоенной сэпсстепени сэпса, количеству роторных смещений эфионов конкретной роторной трубки за время прохождения ею участка стационарной траектории единичной дины и мощности роторных смещений.

Где:

- Стационарная траектория сэпса – совместная траектория соответствующих друг другу стационарных точек, принадлежащих разным импульсным следам сэпса, количество которых равно количеству сэпсблоков сэпса.
- Совмещённый роторный приёмник (роторный источник) – роторный приёмник (роторный источник) обслуживающий всю группу роторных трубок данной стационарной траектории сэпса.

Сказанное в определениях [4-3](#) и [4-4](#) выразим следующей формулой:

$$M_{sk} = -E_{\ddot{\alpha}_{k \leftarrow s}}^{\text{rot}_{1(2)}} \omega_s 2Z_s N_{sk} \sin \lambda_k = -\frac{Z_s C K_{ис} M_{\ddot{p}(\ddot{e})}}{2K_{лз} \pi^3 (r_{sk})^2 \varphi_{sk}}. \quad (4-11)$$

Подставляя правую часть формулы (4-11) в предыдущую формулу, получаем:

$$E_{sk}^{bc} = K_{дис}^{bc} M_{sk} = -K_{дис}^{bc} \frac{Z_s C K_{ис} M_{\ddot{p}(\ddot{e})}}{2K_{лз} \pi^3 (r_{sk})^2 \varphi_{sk}}, \quad (4-12)$$

где:

- сэпсчастота $\omega_s = \frac{C}{2\pi r_s}$ – частота вращения сэпса (фундаментальная константа);
- сэпсстепень Z_s – количество пар сэпсблоков в анализируемом сэпсе;
- r_{sk} – радиус анализируемой стационарной траектории сэпса;
- $N_{sk} = \frac{f_{ис}}{V_{sk}} = \frac{r_s}{\sqrt{r_s^2 + r_s^2 \varphi_{sk}^2}} = \frac{1}{\sqrt{1 + \varphi_{sk}^2}}$ – количество роторных смещений эфионов в конкретной роторной трубке стационарной траектории сэпса, происходящих за время прохождения роторной трубкой участка траектории единичной дины;
- $V_{sk} = \omega_s 2\pi r_s = \frac{C r_{sk}}{r_s} = \frac{C}{r_s} \sqrt{r_s^2 + r_s^2 \varphi_{sk}^2}$ – линейная скорость роторной трубки вдоль стационарной траектории сэпса.
- φ_{sk} сэпсфаза стационарной точки k импульсного следа;
- $E_{\ddot{\alpha}_{k \leftarrow s}}^{\text{rot}_{1(2)}} \sin \lambda_k$ – радиальная составляющая роторных смещений эфионов сэпса ([4-5](#));

$$\bullet \quad \sin \lambda_k = \frac{r_s}{\sqrt{r_s^2 + r_s^2 \varphi_{sk}^2}};$$

Используя формулу 2-16(стр.31) получаем, для радиальных вэпссмещений $E_{\ddot{\varphi}_{k \leftarrow s}}^{вб(n)}$ эфионов окрестности траектории точки **k** вызываемых вэпсполем сэпса, следующее выражение:

$$E_{\ddot{\varphi}_{k \leftarrow s}}^{вб(n)} = \frac{z_s M \ddot{\varphi}}{2K_{лз} \pi^2 (r_{sk})^2}. \quad (4-13)$$

Сравнительный анализ формул (4-12) и (4-13) показывает, что восстановительные смещения эфионов с ростом радиуса стационарной точки **k** убывают значительно быстрее радиальных вэпссмещений эфионов. Теперь сравним эти величины при неограниченном приближении радиуса стационарной точки **k** к радиусу сэпса, т. е. когда $r_{sk} \approx r_s$ и $\varphi_{sk} = \frac{r_0}{r_s} = \frac{1}{r_s}$, то формулы (4-12) и (4-13) принимают следующий вид:

$$E_{sk}^{вс} = -K_{диск}^{вс} \frac{z_s C K_{ис} M \ddot{\varphi}}{2K_{лз} \pi^3 (r_{sk})^2 \varphi_{sk}} \text{ и } E_{\ddot{\varphi}_{k \leftarrow s}}^{вб(n)} = \frac{z_s M \ddot{\varphi}}{2K_{лз} \pi^2 (r_{sk})^2}, \text{ соответственно.}$$

Откуда следует, что для точек, непосредственно прилегающих к сэпстраектории, справедливо неравенство $|E_{sk}^{вс}| \gg |E_{\ddot{\varphi}_{k \leftarrow s}}^{вб(n)}|$, но с ростом сэпсфазы φ_{sk} стационарной точки левая часть этого неравенства убывает значительно быстрее его правой части. Следовательно, на некотором расстоянии от сэпстраектории существует двумерная поверхность, где эти две противоположные по знаку величины равны друг другу по абсолютной величине, т. е. где радиальные смещения эфионов отсутствуют. Анализ показывает, что это поверхность замкнута и имеет форму торообразного кольца (см. [рис. 4.9](#), стр.70). Центральной осью этого кольца является сэпстраектория, а его поперечное сечение (перпендикулярное этой оси) имеет форму близкую к эллипсу, малая ось которого перпендикулярна центральному сечению сэпса, а длина его большой полуоси превышает длину радиуса сэпстраектории, но не больше чем в два раза. Условимся далее называть эту нейтральную поверхность сэпсовым экраном (сэпсэкраном), а ограниченное сэпсэкраном пространство, где восстановительные смещения эфионов больше их вэпсовых смещений экранподем сэпса, всё остальное (внешнее) пространство соответственно вэпсполем сэпса. Если одноимённый сэпсу сторонний вэпсблок попадёт в экранполе сэпса, то вместо отталкивания от центра сэпса он будет к нему (точнее к сэпстраектории) притягиваться.

4.3 МОНОСЭПСЫ

Из вышесказанного следует, что сэпсэкрaн это тороидальная поверхность заменившая изначальные условные источники (сэпсблоки) вэпсполей, т. е. теперь она является центральным условным источником как внешнего вэпсполя сэпса (поля двойной мощности), так и экранполя (поля её внутреннего пространства). Как говорилось выше, сэпсэкрaн не является идеальным тором, кроме того расстояние между каждой его точкой и сэпстраекторией зависит от положения сэпсблоков, т. е. все точки сэпсэкрaна колеблются вдоль радиального направления относительно сэпстраектории с частотой равной частоте вращения сэпса помноженной на удвоенную сэпсстепень.

Проанализируем далее целесообразность сэпса в аспекте стремления пространства минимизировать свою кривизну в локальном порядке (см. [опр.1-21](#), стр.9). Поскольку кри-

визна пространства эквивалентна некоторому количеству внутренней энергии Сам-Батэры, которая подчиняется внутреннему закону сохранения, то избавиться от неё пространство не может, но равномерно распределять её минимизируя тем самым локальные искривления, оно может. Очевидно, что полностью избавиться от спонтанно возникших локальных искривлений можно путём их равномерного распределения во всём пространстве, но при этом почти всегда имеются причины препятствующие этому. Так, например, нормально сместившиеся негароны и позироны вэпсблоков не могут сместиться в обратном направлении и занять своё законное место, т. к. они заблокированы вэпсполями, возникшими сразу после их нормальных смещений. Возникшие в результате нормальных смещений вэпсполя блокируют не только негароны и позироны, но и сами себя, т. е. не позволяют сместившимся эфирам равномерно распределиться в пространстве. Идеалом в таких случаях является центрально симметричное распределение локального искривления относительно его источника. Когда одиночные вэпсблоки движутся со скоростью $V_{вб} \ll \ddot{C}$, то обусловленные ими вэпсполя практически идеально симметричны, но как только они обнаруживают друг друга, симметрия их вэпсполей начинает искажаться. В этом случае у пространства есть два варианта исправить положение, или сближать их друг к другу, или разводить их как можно дальше друг от друга. Очевидно, что при сближении одноимённых вэпсблоков локальная кривизна (натяжения между лицевым и теневым подпространствами) пространства усиливается, а при их удалении ослабевает, следовательно, пространство выбирает второй вариант. По той же причине пространство выбирает первый вариант, когда эти вэпсблоки разноимённого знака. В нашем случае, когда негаблочки \ddot{e}_1 и \ddot{e}_2 движутся со скоростью $V_{e,e_2} = \ddot{C}$, то их собственные негавэпсполя сами по себе настолько асимметричны, что их сближение или удаление уже не может в значительной степени исправить эту асимметрию, т. е. в достаточной мере сгладить кривизну пространства. Но пространство, как всегда, мгновенно перебирает все возможные варианты и находит единственно верное решение, оно закручивает попавшие в эту ситуацию вэпсблоки в вихрь, который объединяет два крайне асимметричные элементарные одноименные вэпсполя в одно центрально симметричное вэпсполе двойной мощности. При этом сэпсблоки перестают быть прямыми условными источниками ассиметричных вэпсполей, а уступают это качество вновь возникшему условному источнику единого вэпсполя, которым является сэпсэкран.

Возникшее, таким образом, единое вэпсполе сэпса разделено сэпсэкраном на следующие две части:

- Внешняя сторона вэпсполя сэпса ограниченная с внутренней стороны своим условным источником (сэпсэкраном), который, по сути, является центральным источником этого поля.
- Внутренняя сторона вэпсполя сэпса (экранполе) ограниченная с наружной стороны своим условным источником (сэпсэкраном). Если началом экранполя считать его источник, а концом сэпстраекторию то его знак совпадает со знаком сэпса и знаком внешнего вэпсполя. Если же его началом считать сэпстраекторию, а концом сэпсэкран то его знак меняется на противоположный знак.

Следовательно, сэпсэкран является условным источником приращения интенсивности эфирной информации, которая испускается всей его внешней и внутренней поверхностями. Эфирная информация, испускаемая его внешней поверхностью, неравномерно распределена по суперспектру перпендикулярных сэпстраектории направлений и распространяется по направлению от сэпсэкрана к бесконечности. Эфирная информация, испускаемая его внутренней поверхностью, также неравномерно распределена по всему суперспектру направлений перпендикулярных сэпстраектории, но распространяется по направлению от источника к сэпстраектории. Следовательно, условным источником экранполя и внешнего вэпсполя является сэпсэкран, но направлены эти поля в противоположные друг другу стороны от последнего.

Очевидно, что вышеизложенное не даёт исчерпывающего представления о сэпсе, но на его основе мы можем понять механизмы возникновения всех элементарных и неэлементарных процессов в Сам-Батэре. Поскольку как говорилось выше негаблоки и позиблоки всегда возникают и исчезают только парами, то общее количество негасэпсов всегда равнялось общему количеству позисэпсов. Условимся далее называть сэпсэкрэн негасэпса **негасэпсэкрэном**, а позисэпса **позисэпсэкрэном** соответственно, схемы этих объектов изображены на рисунке 4.9. Исходя из вышесказанного, сделаем следующее определение:

Определение 4-5. Сэпсэкрэн – замкнутый (близкий по форме к тору) условный двухмерный источник вэпсполя сэпса, геометрический центр которого совпадает с центром сэпса.

Рассмотрим теперь, как на основе сэпса возможно организованы известные нам стабильные процессы.

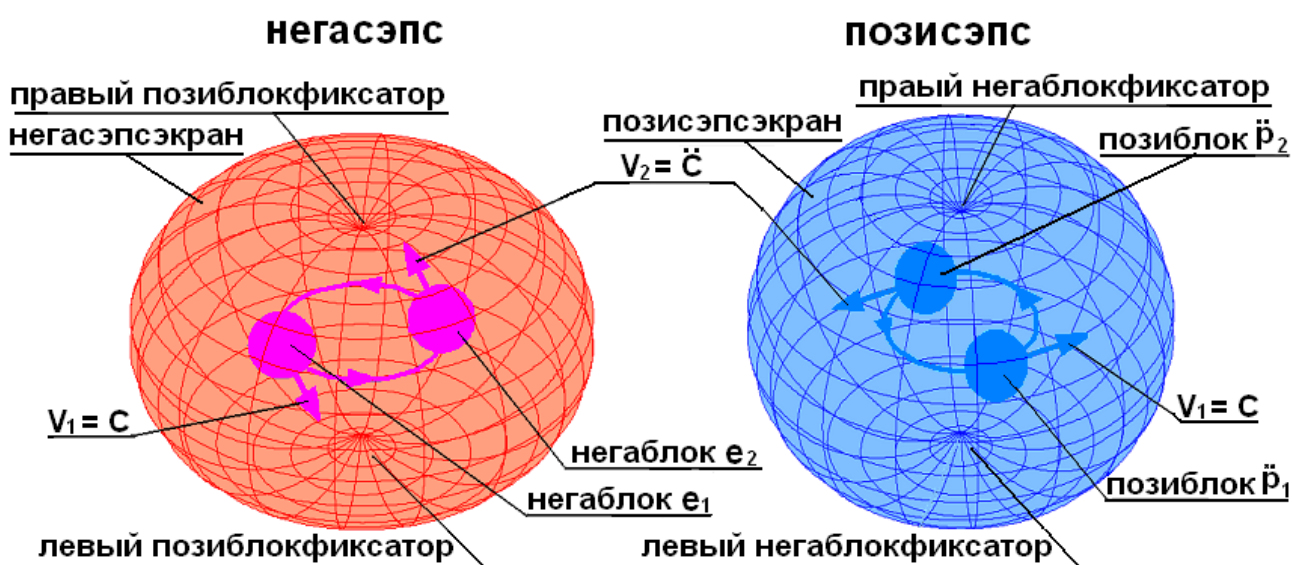


Рисунок 4.9. Сэпсы

Сразу после своего возникновения сэпс пустой (рис. 4.9), т. е. оба его блокфиксатора пусты, но в таком виде он может существовать крайне недолго. Это объясняется тем, что пустой сэпс обладает вэпсполем двойной мощности, которое моментально притягивает к сэпсу хотя бы одно из двух вэпсовых дополнений его сэпсблоков (непрерывно обитающих в его окрестности). При этом мощность поля сэпса ослабевает вдвое, следовательно, второе дополнение может, как и первое, быть притянутым к сэпсу или «застрять» где-то в его окрестности. Притягиваясь к сэпсу, его дополнения рано или поздно сталкиваются с вращающимся сэпсэкрэном и «скользя» вдоль его поверхности попадают в экраные «воронки» торообразного сэпсэкрэна, которые условимся далее называть **блокфиксаторами** сэпса. Блокфиксатор, со стороны которого вращение сэпса происходит по часовой стрелке, условимся называть **левым блокфиксатором**, а блокфиксатор, со стороны которого вращение сэпса происходит против часовой стрелки, условимся называть **правым блокфиксатором**.

Следовательно, пустой сэпс (рис. 4.9) это крайне нестабильный процесс, время жизни которого настолько мало, что его обнаружение практически невозможно для современной науки, к тому же он, по всей видимости, возникает в лабораторных условиях крайне редко, если он вообще возникает. В современных естественных условиях в доступном для науки пространстве его возникновения также маловероятны. Сэпс с одним пустым блокфиксатором условимся называть **полупустым сэпсом**, а сэпс с двумя занятыми блокфиксаторами условимся называть **полным сэпсом**. Полупустые и полные сэпсы – лептоны, как известно, суще-

ствуют, о процессе возникновения которых сказано выше, что касается производных процессов сэпса – мультисэпсов, то о них поговорим в главе 6.

Сэпсы способны при определённых условиях взаимодействовать друг с другом, следовательно, они способны образовывать разнообразные группы взаимоотношений. Условимся называть сэпсы существующие сами по себе (не имеющие стабильной связи с другими сэпсами) моносэпсами, а группы сэпсов связанные между собой определёнными отношениями, условимся называть мультисэпсами.

Кроме того сэпсы в составе мультисэпсов могут состоять, как из одной пары сэпсблоков, так и из нескольких пар одноимённых сэпсблоков. Как выяснится далее, количество сэпсблоков в связанных сэпсах не может безгранично возрастать, т. к. этим процессам присуще насыщение.

Ниже приведены схематические рисунки моносэпсовых процессов (лептонов), которые как говорилось выше возникают при присоединении вэпсблоков к пустым сэпсам. И так, на базе сэпсов возникают следующие общеизвестные моносэпсовые процессы:

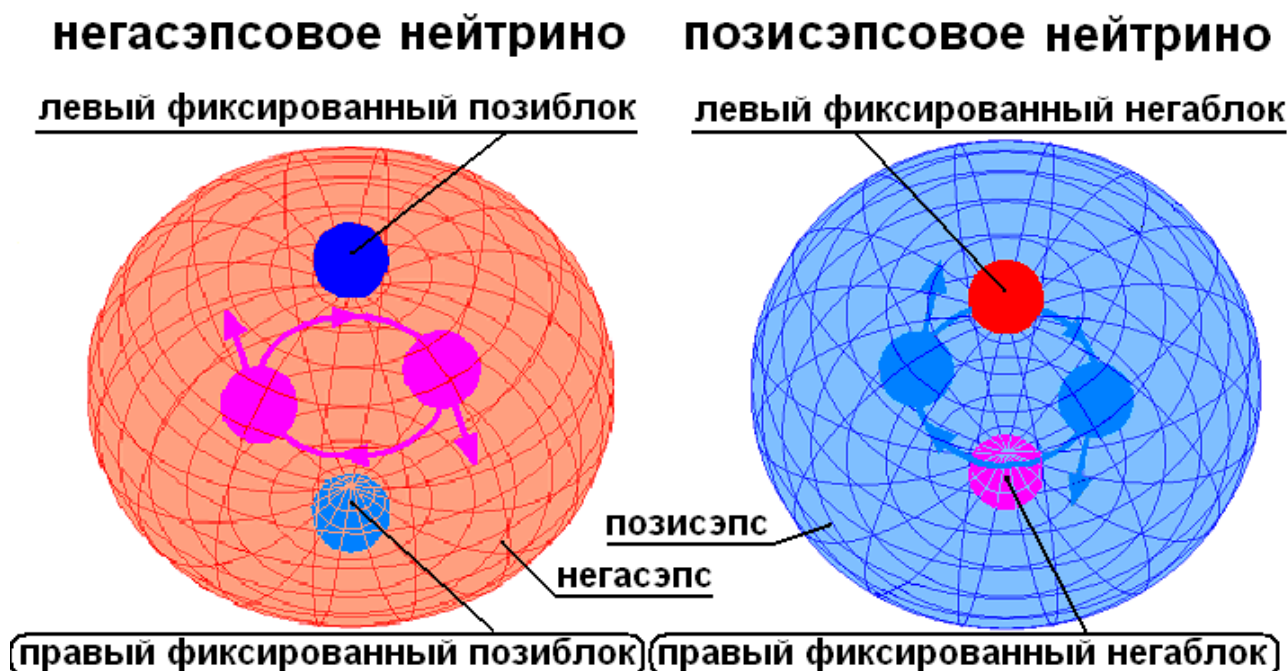


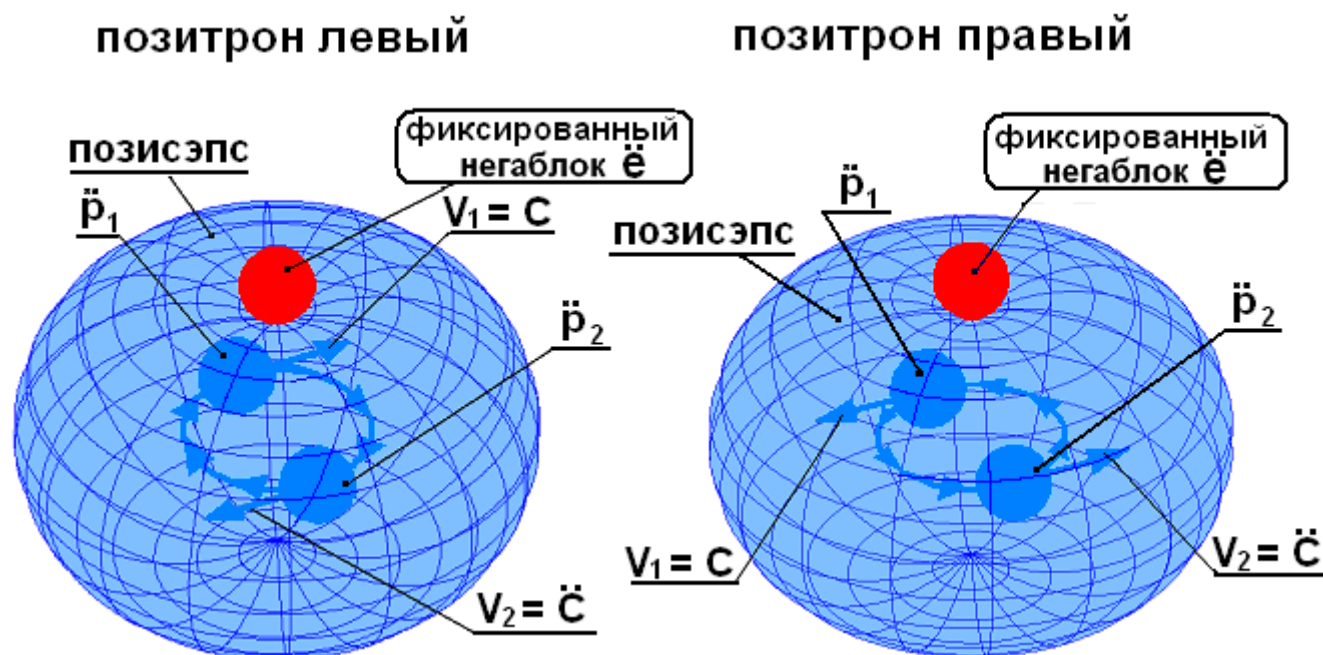
Рисунок 4.10. Нейтральные моносэпсы

Определение 4-6. Негасэпсовое нейтрино – полный негасэпс, т. е. негасэпс у которого оба блокфиксатора заняты позиблоками (рис.4.10).

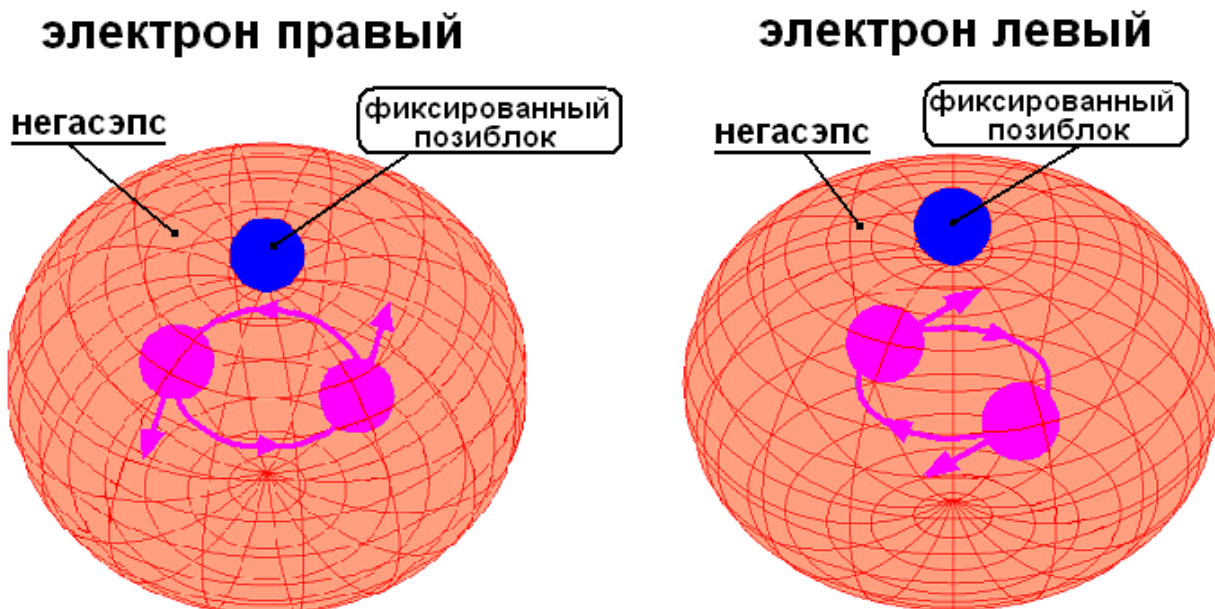
Определение 4-7. Позисэпсовое нейтрино – полный позисэпс, т. е. позисэпс у которого оба блокфиксатора заняты неаблоками (рис.4.10).

Определение 4-8. Позитрон левый – полупустой позисэпс, у которого правый блокфиксатор пустой, а левый занят неаблоком (рис.4.11).

Определение 4-9. **Позитрон правый** – полупустой позисэпс, у которого левый блокфиксатор пустой, а правый занят негаблоком (рис.4.11).

Рисунок 4.11. Позитивные моноэпсы

Определение 4-10. **Электрон левый** – полупустой негасэпс, у которого правый блокфиксатор пустой, а левый занят позиблоком (рис.4.12).

Рисунок 4.12. Негативные моноэпсы

Определение 4-11. **Электрон правый** – полупустой негасэпс, у которого левый блокфиксатор пустой, а правый занят (рис.4.12).

Из сказанного здесь следует, что все стабильные моноэпсовые процессы это всевозможные комбинации сэпса и вэпсдополнений его сэпсблоков.

ГЛАВА 5 ГРАВИТАЦИОННЫЕ ВЗАИМОДЕЙСТВИЯ В САМ-БАТЭРЕ

5.1 ГЕОМЕТРИЯ ОДИСФЕЙПРОСТРАНСТВА

Общая декартова прямоугольная система координат Одисфейпространства имеет следующую структуру:

Четыре попарно перпендикулярных друг другу осей x_1, x_2, x_3, x_4 ;

Шесть координатных плоскостей $x_{12}^2(x_1 0 x_2), x_{13}^2(x_1 0 x_3), x_{14}^2(x_1 0 x_4), x_{23}^2(x_2 0 x_3), x_{24}^2(x_2 0 x_4)$ и $x_{34}^2(x_3 0 x_4)$;

Четыре координатных гиперплоскостей $x_{123}^3(0 x_1 x_2 x_3), x_{124}^3(0 x_1 x_2 x_4), x_{134}^3(0 x_1 x_3 x_4), x_{234}^3(0 x_2 x_3 x_4)$.

Здесь верхний индекс означает размерность оси.

Из приведенной структуры системы координат следует, что в Одисфейпространстве есть следующие два типа пересечений плоскостей:

Монопересекающиеся плоскости – пара или пучок двумерных плоскостей, имеющих одну, и только одну, общую точку. Условимся называть две взаимно перпендикулярные плоскости **мононормальными плоскостями**, если они являются монопересекающимися.

Полипересекающиеся плоскости – две или несколько двумерных плоскостей, имеющих одну, и только одну, общую линию. В отличие от Самбатэрпространства, где через линию пересечения двух взаимно перпендикулярных плоскостей нельзя провести третью перпендикулярную к ним плоскость, в Одисфейпространстве это возможно. То есть в Одисфейпространстве три взаимно перпендикулярные плоскости (но не более трёх) могут иметь одну общую линию пересечения.

Перпендикуляр к Самбатэрпространству – это геометрическое место точек Одисфейпространства, одновременно принадлежащих трём его попарно не совмещённым друг с другом **3D** подпространствам, каждое из которых перпендикулярно Самбатэрпространству. Перпендикуляр к Самбатэрпространству имеет одну и только одну общую точку с самим Самбатэрпространством.

Перпендикулярная к Самбатэрпространству двумерная плоскость – это геометрическое место точек Одисфейпространства, принадлежащее одновременно двум его не совмещённым друг с другом **3D** подпространствам, каждое из которых перпендикулярно Самбатэрпространству. Геометрическое место точек, одновременно принадлежащее перпендикулярной к Самбатэрпространству двумерной плоскости и самому Самбатэрпространству, является прямой линией Самбатэрпространства, т. к. перпендикулярная к Самбатэрпространству двумерная плоскость пересекает центр пространствообразующих сфер.

Определение 5-1. **4D тело** – стабильное множество ДЭО Одис-Фей охватывающее некоторую ограниченную область Одисфейпространства, способное ускоренно и не ускоренно перемещаться в нём, сохраняя при этом свои размеры, внутреннюю структуру и внешние очертания, а также способное взаимодействовать с другими ДЭО Одис-Фей,

Соответственно **3D тело** – нетривиальная область Самбатэрпространства со стабильной внутренней структурой и внешними очертаниями, способная взаимодействовать с другими объектами Сам-Батэры и перемещаться относительно них с произвольной скоростью и ускорением.

Определение 5-2. **4D псевдотело** – элементарный объект Сам-Батэры, имеющий четырёхмерные внешние очертания. Один из двух рассмотренных нами выше элементарных объектов Сам-Батэры, т. е. сэпс является **4D псевдотелом**, тогда как вэпс не является таковым.

Существуют и **3D псевдотела**, примерами, которых могут служить вихри, иногда возникающие на поверхности воды. С одной стороны эти вихри имеют очертания **3D** тела, но с

другой стороны они могут перемещаться только в двух измерениях и взаимодействуют между собой по физическим законам двумерной вселенной. Хотя, мы и воспринимаем эти псевдотела как вращающееся тело воды, но при более глубоком анализе мы обнаруживаем, что вода и вихрь это объекты разных миров. Так как вихри в отличие от воды способны взаимодействовать только с волно-вихревыми объектами по законам двумерной вселенной, объектами которой они являются.

Определение 5-3. В Одисфейпространстве имеют место следующие три типа вращения **4D** тел:

- Вращение **4D** тела (объекта Одис-Феи) вокруг двумерной оси вращения (плоскости), которую условимся называть гиперосью вращения 4D тела. Поскольку объекты Одис-Феи и их фрагменты принципиально не могут выходить за пределы Одисфейпространства, то данный тип вращения имеет только одну степень свободы.
- Вращение **4D** тела вокруг одномерной оси вращения (прямой линии), которую условимся называть осью вращения 4D тела. Такой тип вращения имеет три степени свободы.
- Вращение **4D** тела вокруг нульмерной оси (точки). Такие вращения имеют шесть степеней свободы.

3D тела (объекты Сам-Батэры) также подчиняются этому закону, но поскольку на них наложено принципиальное дополнительное ограничение (они не могут выходить за пределы Самбатэрпространства), то им соответственно присущи следующие степени свободы вращения:

- Вращение **3D** тела вокруг гипероси вращения. Такие вращения имеют одну степень свободы, но только в тех случаях, когда гиперось вращения перпендикулярна Самбатэрпространству, в остальных случаях этот тип вращения имеет нуль степеней свободы, т. е. такие вращения принципиально невозможны.
- Вращение **3D** тела вокруг одномерной оси. Такие вращения воспринимаются нами как обычные вращения **3D** тел вокруг своей оси и имеют только одну степень свободы, т. к. объекты Сам-Батэры и их фрагменты принципиально не могут выходить за пределы Самбатэрпространства. По сути это есть вращение вокруг гипероси перпендикулярной Самбатэрпространству.
- Вращение **3D** тела вокруг нульмерной оси (точки). Такие вращения имеют три степени свободы.

Следовательно, при вращении **3D** тела (объекта Сам-Батэры) ему и его произвольной точке **m** присущи следующие элементы вращения:

- Гиперось вращения – перпендикулярная Самбатэрпространству двумерная плоскость Одисфейпространства, расстояние, между произвольной точкой которой и данной точкой **m**, остаётся неизменным при вращении данного **3D** тела вокруг этой гипероси.
- Соось вращения – одномерная ось – линия пересечения перпендикулярной к Самбатэрпространству гипероси вращения данного **3D** тела и Самбатэрпространства (воспринимаемая нами как обычная ось вращения **3D** тела). Вращаясь вокруг сооси вращения, **3D** тело вращается и вокруг упомянутой здесь гипероси вращения.
- Плоскость вращения произвольной точки m вращающегося 3D тела – плоскость перпендикулярная сооси вращения этого тела и содержащая в себя точку **m**.
- Центр вращения произвольной точки m вращающегося 3D тела – точка пересечения сооси (гипероси) вращения этого тела с плоскостью вращения его точки **m**.
- Центр вращения 3D тела – неподвижная точка **o** вращающегося тела, относительно которой оно в данном аспекте имеет шесть степеней свободы в Одисфейпространстве и три степени свободы в Самбатэрпространстве.

Из вышесказанного следует, что гиперось вращения произвольного **3D** тела мононормальна к плоскостям вращения его точек и перпендикулярна Самбатэрпространству. Следо-

вательно, соось вращения **3D** тела, это геометрическое место точек пересечения его гипероси с плоскостями вращения его точек. Линии пересечения гиперосью вращения **3D** тела подпространств \bar{P}^{3*} и \tilde{P}^{3*} параллельны друг другу, которые условимся называть лицевой и теневой соосью вращения **3D** тела соответственно.

Все прямые лежащие на гипероси вращения являются осями вращения данного **3D** тела, но для задания гипероси вращения нам достаточно кроме сооси вращения указать ещё одну пересекающуюся с ней ось вращения **3D** тела. Если у вращающегося **3D** тела определён центр вращения, то такой осью может служить перпендикуляр к Самбатэрпространству восстановленный из этого центра, условимся называть эту ось нормаосью.

5.2 ГЕОМЕТРИЧЕСКИЕ И ДИНАМИЧЕСКИЕ ХАРАКТЕРИСТИКИ СЭПСОВ

Из вышесказанного следует, что рассмотренные нами в предыдущей главе сэпсы являются **4D** псевдотелами, которые проявляют себя как **3D** тела (взаимодействуют только с объектами Сам-Батэры), но при этом имеют четырёхмерные очертания **4D** тела. Исходя из вышесказанного, определим сэпс, следующим образом:

Определение 5-4. Сэпс – характерные для Сам-Батэры ДЭО проявляющиеся как стабильный элементарный вихрь (**4D** псевдотело) пересекающий головные и ряд хвостовых подпространств Самбатэрпространства и вызванный предельным вращением одной или нескольких пар одноименных вэпсблоков вокруг их общего центра.

Трёхмерные сечения сэпса головными подпространствами условимся называть головными сэпссечениями сэпса и обозначать символом S_{Γ} или $S_{N_{21}}$ и $S_{N_{22}}$ а его **3D** сечения хвостовыми подпространствами условимся называть хвостовыми сэпссечениями сэпса и обозначать символом S_{XB} или $S_{N_{23}} \dots S_{N_{2k}} \dots S_{N_{2j}}$.

Как говорилось выше, одной из важных гравитационных характеристик сэпса является вызываемое им сэпсвращение эфира, при котором эфиры вращаются вокруг его сооси. При этом, равноудалённые от сооси и лежащие на одной плоскости перпендикулярной сооси, лицероны и тенероны вращаются с одинаковой по абсолютной величине и противоположной по направлению скоростью. Следовательно, изначально мы предположили, что в сэпсвращении эфира задействованы только лицероны и тенероны, но такое предположение противоречит основным законам Самбатэрпространства (см. [опр.2-29](#), стр.26). То есть если в это вращение не вовлечены эфиры хвостовых сэпссечений сэпса, то последние непременно испытывают эфирное давление в тангенциальном направлении. Следовательно, эфиры хвостовых сэпссечений вовлекаются в вихревое вращение сэпса, проанализируем далее, механизм этого вовлечения. Так как эфиры являются не условными (как вэпсовые блоки), а реальными источниками эфирной информации, то скорость излучаемой ими эфирной информации относительно Самбатэрсреды зависит от их движения относительно последней. Следовательно, круговое движение тенеронов вызывает положительное приращение интенсивности эфирной информации в прямом направлении (в направлении движения тенеронов) и отрицательное приращение интенсивности эфирной информации в обратном направлении. При этом тангенциальные составляющие прямого и обратного приращения интенсивности эфирной информации суммируются, а перпендикулярные к подпространству составляющие этих приращений компенсируют друг друга, т. е. их сумма равна нулю. В результате эфиры первого хвостового сэпссечения (сэпссечения №3) увлекаются во вращательное движение, сонаправленного с вращением тенеронов. Рассуждая и далее таким образом, мы приходим к выводу, что сэпс (как **4D** псевдотело) кроме головной группы пересекает ещё группу из огромного числа (см. далее) **3D** подпространств. Тенероны и эфиры всех хвостовых сэпссечений вращаются в одном направлении, а лицероны в противоположном направлении. Поскольку приращения интенсивности эфирной информации рассеивается в Одисфейпространстве, то абсолютная величина скорости сэпсвращения эфиронов падает с ростом порядкового номера сэпссечения, при этом если лицероны вращаются по часовой стрелке, то эфиры всех остальных сэпссечений вращаются в противоположную сторону и наоборот. Что

касается изначального сэпсвращения эфира, т. е. относительного вращения между лицеронами и тенеронами, то оно непрерывно подпирается тангенциальными составляющими сэпсполей. Нумерация сэпссечений проводится в следующем порядке:

$S_{\text{№}1}$ и $S_{\text{№}2}$ – головные сэпссечения.

$S_{\text{№}3} \dots S_{\text{№}k} \dots S_{\text{№}j}$ – хвостовые сэпссечения.

Здесь $\text{№}k$ номер текущего сэпссечения, а $\text{№}j$ номер самого нижнего из значимых для сэпса сэпссечений. Поскольку все сэпсы являются идентичными друг другу процессами, то полная мощность сэпса зависят только от сэпсстепени сэпса. Сэпссечения имеют форму трёхмерного эллипсоида вращения сжатого вдоль сооси соответствующего сэпссечения. Сэпстраектория имеет прямое отображение в головных сэпссечениях, и косвенно отображается в хвостовых сэпссечениях.

Определение 5-5. Плоскость вращения сэпссечения – двумерная плоскость сэпссечения, содержащая в себе прямое или косвенное отображение сэпстраектории.

Определение 5-6. Центр сэпссечения – точка пересечения гипероси сэпса с плоскостью вращения данного сэпссечения.

Определение 5-7. Нормаось вращения сэпссечения – перпендикуляр к сэпссечению восстановленный из его центра. Нормаоси вращения всех сэпссечений лежат на гипероси сэпса и параллельны друг другу, т. к. гиперось вращения сэпса и гипероси вращения всех его сэпссечений совмещены, а сэпссечения параллельны друг другу. Из данного определения следует, что нормаось вращения сэпссечения совпадает с квартатой его динамической системы координат.

Определение 5-8. Соось вращения сэпссечения – линия пересечения гипероси вращения сэпса с данным сэпссечением.

Как и прочие ДЭО Самбатэрпространства сэпсы имеют три степени свободы вращения вокруг точки, но поскольку одна из этих степеней свободы уже занята естественным предельным вращением сэпса вокруг своей сооси, то реальными поворотами сэпса являются только его повороты вокруг осей, лежащих на его плоскость вращения.

Определение 5-9. Квант поворота сэпса (α_0) – угловая величина, равная минимально возможному углу поворота полупустого или полного сэпса (лептона) в пространстве (возможно фундаментальная постоянная Сам-Батэры).

Как мы уже знаем, у каждого лептона занят хотя бы один блокфиксатор. Дискретность поворота объясняется тем, что при повороте лептона вокруг произвольной оси лежащей на его плоскости вращения необходимо, чтобы зафиксированные в блокфиксаторах вэпсблоки сместились бы как минимум на один квант расстояния в направлении поворота. Следовательно, квант поворота сэпса равен $\alpha_0 = \frac{r_0}{r_\phi}$ радиан. Если фундаментальной угловой

единице (фуге) α_0 соответствует $\frac{r_0}{r_\phi}$ радиан, то 2π радианам соответствуют $\frac{2\pi r_\phi}{r_0}$ фуге (2π

радианов содержат $2\pi r_\phi$ фуге.). Здесь r_ϕ это расстояние между центром сэпса и центром его блокфиксатора измеренное в квантах расстояния.

Как мы уже знаем движущей силой вэпсблоков являются возникающие в них эксцентриситеты, которые возникают независимо от того свободен данный вэпсблок или находится в сэпсовой связке с другими вэпсблоками. Каждый лептон содержит три или четыре жёстко привязанных к нему вэпсблока, эксцентриситеты которых при поступательном движении сэпса равны друг другу по величине и направлению, а при движении сэпса по криволинейной траектории соответствующим образом отличаются друг от друга. Из сказанного здесь следует, что для рационализации дальнейшего анализа этих процессов нам надо ввести следующие два понятия:

Определение 5-10. Поступательный эксцентриситет сэпса $\mathcal{E}_{СП}$ – комбинация эксцентриситетов сэпсблоков, вызывающая поступательное ускорение сэпса в текущий момент времени.

Определение 5-11. Вращательный эксцентриситет сэпса $\mathcal{E}_{СВ}$ – комбинация эксцентриситетов сэпсблоков, вызывающая поворот сэпса вокруг некоторой оси.

Введём для сэпссечений послойные сэпсовые системы координат, начала которых совпадают с центрами соответствующих сэпссечений, абсциссы и ординаты лежат на плоскостях их вращения, аппликаты совмещены с соосями этих сэпссечений, а квартаты совмещены с нормосями соответствующих сэпссечений.

Примечание 5-1. В случае, когда сэпс не подвержен внешним воздействиям, квартаты всех его сэпссечений совмещены друг с другом.

5.3 ГРАВИТОН

Из вышесказанного следует, что сэпсы кроме сэпсполей вызывают ещё некоторые глубинные искривления Самбатэрпространства. Подобные искривления двумерного пространства (двумерные вихри) мы можем наблюдать при определённых условиях на поверхности воды. Но вернёмся к анализу искривлений Самбатэрпространства вызываемых сэпсами. Сэпсвращение эфира придаёт сэпсу замечательное свойство – смещать эфироны в направлении от периферии сэпса к его центру, т. е. втягивать эфироны из окружающего пространства в свою внутреннюю область, повышая при этом объёмную плотность эфиронов в этой области. Способность спрессовывать эфироны внутри себя является важным свойством сэпсов, т. к. оно является причиной гравитационных и слабых взаимодействий, которые проявляют сэпс в совершенно ином качестве. Поэтому проанализируем это свойство сэпсов подробнее.

Как говорилось выше, эфироны покрытые сэпсвращением эфира конкретного сэпса вращаются вокруг его сооси, и независимо от направления сэпсвращения они подвергаются центростремительному ускорению. Следовательно, мощность излучаемой ими эфирной информации по направлению к центру сэпса превышает мощность излучаемой ими эфирной информации в противоположном направлении. Это следует из того, что как говорилось выше, эфироны являются реальными источниками эфирной информации, т. е. мощность излучаемой ими эфирной информации зависит от их скорости и ускорения. Следовательно, сэпсвращение эфира вызывает позитивное приращение интенсивности эфирной информации по радиальному направлению к центру сэпса, т. е. вращающиеся вокруг сооси сэпса эфироны испытывают центростремительное эфирное давление (см. [опр. 2-16](#), стр.21). Стремясь компенсировать возникшее таким образом эфирное давление, эфироны смещаются в радиальном направлении к сооси сэпса, увеличивая тем самым свою объёмную концентрацию в центральной области сэпса. Положительное приращение объёмной концентрации эфиронов вынуждает их смещаться в нормальном к сэпссечениям направлении, т. е. выпучивать центральные области этих сэпссечений, в результате чего, центральные области сэпссечений превращаются в отрицательные источники приращения интенсивности эфирной информации. В отличие от вэпсовых нормальных смещений эфиронов, где задействован только один лицерон (негарон) и один тенерон (позирон), в процесс нормальных смещений эфиронов центральных областей сэпссечений задействованы сразу все эфироны этих областей. Условимся называть эти смещения гравинормальными смещениями. Гравинормальные смещения минимальны по абсолютной величине в j^M сэпссечениях и равномерно возрастают с уменьшением порядкового номера сэпссечения, достигая максимума в лицевом сэпссечении. Гравинормальные смещения во всех сэпссечениях направлены «снизу вверх», т. е. от $j^{Г^0}$ сэпссечения к лицевому сэпссечению. Такое направление гравинормальных смещений объясняется тем, что лицевое сэпссечение ничем не ограничено «сверху» («выше лицевого сэпссечения 3D подпространств нет») и, следовательно, его эфироны вынуждены смещаться

«вверх». Эти смещения лицеронов делают преваляющим направление «вверх» и для смещений эфионов всех «нижерасположенных» сэпсесечений гравитона.

Такое выпучивание сэпсесечений выводит их эфионы за пределы соответствующего **3D** подпространства, превращая тем самым данное сэпсесечение в условный источник негативного приращения интенсивности эфирной информации данного **3D** подпространства. Следовательно, каждое сэпсесечение вызывает в своём **3D** подпространстве центростремительное (негативное) центральное поле смещений эфионов, в результате чего в Самбатэрпространстве формируется центральное негативное поле смещений эфионов, которое, в отличие от вэсполей, охватывает и хвостовые подпространства и везде негативно. Таков механизм возникновения гравитационного поля, которое далее условимся называть гравиполем и обозначать символом **гп**.

Исходя из вышесказанного, сделаем следующие определения:

Определение 5-12. Гравиполе сэпсесечения сэпса – центральное негативное поле смещений эфионов соответствующего подпространства вызванное сэпсвращением эфира в окрестности данного сэпсесечения.

Определение 5-13. Гравиполе сэпса (гравитона) – совокупность гравиполей всех сэпсесечений сэпса.

Определение 5-14. **Гравитон** – совокупность свойств сэпса проявляющих его в качестве источника гравиполя сэпса.

Гравитон, в состав которого входит только одна пара сэпсблоков, условимся называть простым гравитоном, а гравитон, в состав которого входит несколько пар сэпсблоков, назовём составным гравитоном. Количество пар сэпсблоков входящих в состав гравитона назовём степенью составного гравитона, которая равна сэпсстепени его базового сэпса. Все свободные (не связанные с атомными ядрами) гравитоны являются только простыми гравитонами, но в состав атомных ядер могут входить как простые гравитоны, так и составные гравитоны. Степень гравитона не может быть сколь угодно большой, т. к. сэпсам присуще свойство насыщения сэпсблоками. Каждый составной гравитон условно состоит из простых гравитонов, количество которых равно степени данного составного гравитона. Условимся далее обозначать гравитон символом **Гр**.

Определение 5-15. Лицевая (теневая) гравитонсферы $\overline{\Theta}_r^{3*}$ ($\tilde{\Theta}_r^{3*}$) – лицевой (теневой) эллипсоид вращения, по поверхности которого, объёмная плотность эфиронов равна тривиальной плотности Самбатэрпространства. Следовательно, гравитонсферы являются границей отделяющей внутреннюю сжатую область соответствующего сэпсесечения гравитона от внешнего растянутого пространства. Условимся далее называть внутреннюю (сжатую) область лицевого, теневого или хвостового сэпсесечения гравитона гравиядром соответствующего сэпсесечения и обозначать символами **ГЯ_{№1}**, **ГЯ_{№2}** и т. д. соответственно. Поскольку сэпсблоки являются объектами только лицевого и теневого подпространства, то введём понятие – головное ядро сэпса или сокращённо сэпсядро. Сэпсядро – это центральная область головных сэпсесечений сэпса ограниченная сэпсэкраном, в которую входят головные гравиядра и тривиальная (неискажённая внешними воздействиями) сэпстраектория. Сэпсблоки не входят в состав гравиядер и сэпсядер.

Из вышесказанного следует, что каждое сэпсесечение гравитона является самостоятельным источником приращения интенсивности эфирной информации, т. е. сэпсу присуща лицевая, теневая и хвостовые мощности гравиполя, которые условимся обозначать символами $\overline{M}_{гп}$, $\tilde{M}_{гп}$, $M_{гп}^{№3} \dots M_{гп}^{№k} \dots M_{гп}^{№J}$ соответственно. Так как гравитационные смещения (грависмещения) эфионов имеют центростремительное направление, то все перечисленные мощности гравиполя гравитона отрицательны по происхождению. Естественно, что абсолютные величины этих мощностей не равны друг другу, а равномерно падают с ростом порядкового номера сэпсесечений, т. к. при этом равномерно падает абсолютная величина скорости их вращения. Исходя из вышесказанного, имеем следующее выражение:

$$\overline{M}_{\Gamma\Gamma} < \tilde{M}_{\Gamma\Gamma} < M_{\Gamma\Gamma}^{\text{№3}} < \dots < M_{\Gamma\Gamma}^{\text{№k}} < \dots < M_{\Gamma\Gamma}^{\text{№J}} < 0. \quad (5-1)$$

Мощность $k^{\Gamma 0}$ 3D сэпссечения равна мощности предыдущего $(k-1)^{\Gamma 0}$ сэпссечения плюс среднее (условно одинаковое для всех сэпссечений) межслойное приращение мощности простого гравитона $\Delta M_{\Gamma\Gamma} > 0$.

$$M_{\Gamma\Gamma}^{\text{№j}} = M_{\Gamma\Gamma}^{\text{№(j-1)}} + \Delta M_{\Gamma\Gamma} = \overline{M}_{\Gamma\Gamma} + (j-1)\Delta M_{\Gamma\Gamma} \approx -\Delta M_{\Gamma\Gamma}. \quad (5-2)$$

Примечание 5-2. Равномерное падение скорости вращения центральных областей сэпссечений с ростом их порядкового номера обусловлено рассеиванием эфирной информации в Одисфейпространстве при переходе от предыдущего сэпссечения к последующему (смежному с ним) сэпссечению. Поскольку это рассеивание при расстоянии между смежными сэпссечениями в один квант расстояния исчезающе мало, то число j очень велико. Для сравнения опять вспомним о двумерных вихрях на поверхности мирового океана. Как известно высота этих вихрей ничтожна по сравнению с глубиной океана, но если измерить эту высоту квантами расстояния двумерного пространства, равными минимальному расстоянию между соседними молекулами воды, то величина этой высоты огромное число. Переключаясь на гравитон, скажу, что, несмотря на огромность числа j , «высота» гравитона ничтожна по сравнению с «толщиной» Самбатэрсреды.

Используя формулу (2-16), получаем следующее выражение для абсолютного грависмещения произвольного эфирина $\mathcal{E}_i^{\text{№k}}$ подпространства №k , вызванных гравиполем сэпссечения №k :

$$E_{\mathcal{E}_i^{\text{№k}} \rightarrow \Gamma\Gamma} = \frac{M_{\Gamma\Gamma}^{\text{№k}}}{4K_{\text{лз}} \pi^2 (R_{\Gamma\Gamma \rightarrow \mathcal{E}_i^{\text{№k}}})^2}, \quad (5-3)$$

где:

- $M_{\Gamma\Gamma}^{\text{№k}}$ – мощность гравиполя $k^{\Gamma 0}$ сэпссечения гравитона;
- $E_{\mathcal{E}_i^{\text{№k}} \rightarrow \Gamma\Gamma}$ – абсолютное грависмещение эфирина $\mathcal{E}_i^{\text{№k}}$;
- $R_{\Gamma\Gamma \rightarrow \mathcal{E}_i^{\text{№k}}}$ – расстояние между центрами гравитона и смещающегося эфирина.

Исходя из вышеизложенного, сформулируем следующее определение:

Определение 5-16. Гравитационный элементарный процесс Сам-Батэры ГЭПС (далее просто гэпс) – процесс развития гравитационных отношений между двумя (условно изолированными от других объектов Сам-Батэры) простыми гравитонами $\Gamma_{\mathbf{r}_1}$ и $\Gamma_{\mathbf{r}_2}$ (рис. 5.1). Мгновенным плечом R_{1-2}^{Γ} или просто плечом гэпса назовём расстояние между центрами \ddot{O}_1 и \ddot{O}_2 гравитонов $\Gamma_{\mathbf{r}_1}$ и $\Gamma_{\mathbf{r}_2}$ в текущий момент времени.

Поскольку базой гравитона служит сэпс, то при анализе гравитонов входящих в состав гэпса и в других гравииобъектов условимся пользоваться динамической системой координат сэпса ДСКС (см. раздел 4.2, стр.53).

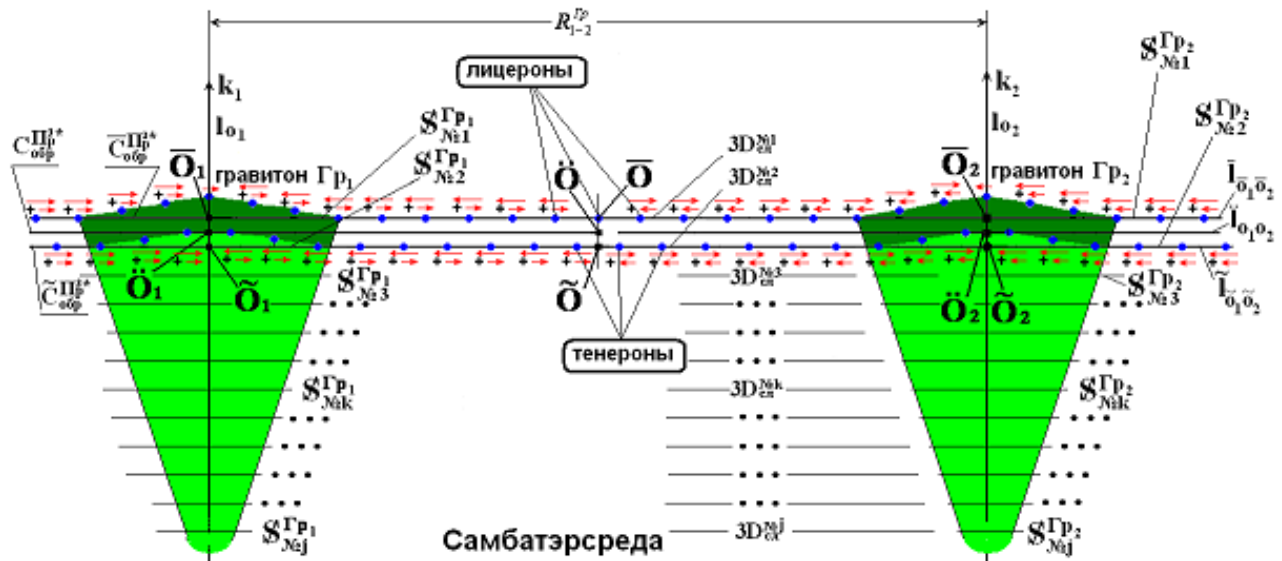


Рисунок 5.1. ГЭПС

где:

- большие по величине смещения эфиронов (вызванные, менее удалённым от них гравитоном) обозначены длинными красными стрелками;
- меньшие по величине смещения эфиронов (вызванные более удалённым от них гравитоном) обозначены короткими красными стрелками;
- знак плюс между длинными и короткими стрелками означает, что реальные грависмещения эфиронов равны векторной сумме двух изображённых стрелками грависмещений;
- \ddot{O}_1 и \ddot{O}_2 – центры гравитонов Γ_{p_1} и Γ_{p_2} соответственно;
- \ddot{O} – центр гэнса, точка, равноудалённая от центров \ddot{O}_1 и \ddot{O}_2 ;
- $\ddot{I}_{o_1 o_2}$ – главная продольная ось гэнса;
- I_{o_1} и I_{o_2} – нормаоси гравитонов Γ_{p_1} и Γ_{p_2} соответственно;
- k_1 и k_2 – квартаты гравитонов Γ_{p_1} и Γ_{p_2} соответственно (совмещены с соответствующими нормаосями);
- $(\overline{O}, \overline{O}_1, \overline{O}_2)$ и $(\tilde{O}, \tilde{O}_1, \tilde{O}_2)$ – лицевые и теневые проекции центра \ddot{O} гэнса и центров гравитонов \ddot{O}_1 и \ddot{O}_2 , соответственно;
- $\bar{I}_{\bar{O}_1 \bar{O}_2}$ – лицевая продольная ось гэнса;
- $\tilde{I}_{\tilde{O}_1 \tilde{O}_2}$ – теневая продольная ось гэнса;
- $R_{1-2}^{\Gamma p}$ – текущее плечо гэнса (расстояние между ведущим и ведомым гравитонами);

5.4 МЕХАНИЗМ ГРАВИТАЦИОННЫХ ВЗАИМОДЕЙСТВИЙ

Условимся при анализе процесса воздействия гравитона $\Gamma_{\mathbf{p}_2}$ на гравитон $\Gamma_{\mathbf{p}_1}$ называть гравитон $\Gamma_{\mathbf{p}_2}$ ведущим гравитоном и обозначать его верхним индексом « \otimes » ($\Gamma_{\mathbf{p}_2}^{\otimes}$), а гравитон $\Gamma_{\mathbf{p}_1}$ соответственно ведомым гравитоном и обозначать его верхним индексом « \oplus » ($\Gamma_{\mathbf{p}_1}^{\oplus}$), если же роли этих гравитонов меняются местами, то меняются местами их названия

и обозначения. Такими же верхними индексами условимся обозначать и отдельные элементы соответствующих гравитонов, а также присущие им свойства. На очень близких (порядка нескольких десятков сэспрадиусов) расстояниях от центра ведущего гравитона его гравиполе неравномерно распределено по спектру направлений его центра, но с ростом расстояния эта неравномерность быстро исчезает. Следовательно, в пределах данного анализа условимся считать, что расстояние между ведущим и ведомым гравитонами достаточно большое, чтобы считать ведущее гравиполе равномерно распределённым по спектру направлений его центра.

Когда ведомое сэпсечение вместе со своим гравиполем попадает в зону действия ведущего гравиполя соответствующего ведущего сэпсечения, то все его элементы синхронно и независимо друг от друга смещаются. Поскольку это центральное смещение происходит синхронно со смещениями всех эфиронов данного подпространства, то никаких внутренних напряжений между элементами ведомого сэпсечения оно не может вызвать. Следовательно, все элементы ведомых сэпсечений смещаются в ведущем гравиполе не деформируясь и не проявляя при этом инертности (см. раздел 5.5, стр.91. Условимся далее называть такие безинертные грависмещения сэпсечений ведомого гравитона их гравилюфтами. Смещения сэпсечений ведомых гравитонов, при которых происходят относительные смещения между элементами этих сэпсечений, вызывающие ускорение (приращение кинетической энергии) этих элементов или всего сэпсечения, условимся называть инерционными грависмещениями сэпсечений.

Из формулы (2–11)^a следует, что скорость смещения произвольного эфилона вызванного приращением интенсивности эфирной информации прямо пропорциональна величине этого приращения. Следовательно, средняя скорость гравилюфта произвольного ведомого сэпсечения прямо пропорциональна гравимощности соответствующего ведущего сэпсечения и обратно пропорциональна квадрату плеча гэпса.

Поскольку гравилюфты ведомых сэпсечений пропорциональны соответствующим ведущим гравимощностям, которые скачкообразно убывают с ростом их порядкового номера, то приращение $\Delta E_{\mathcal{S}_{N_1}^{\oplus} \leftrightarrow \mathcal{S}_{N_j}^{\oplus}}$ между гравилюфтами сэпсечений $\mathcal{S}_{N_1}^{\oplus}$ и $\mathcal{S}_{N_j}^{\oplus}$ определяется следующим выражением:

$$\Delta E_{\mathcal{S}_{N_1}^{\oplus} \leftrightarrow \mathcal{S}_{N_j}^{\oplus}} = \frac{(j-1)\Delta M_{\Gamma\P}^{\otimes}}{4K_{\Gamma 3}\pi^2(R_{1-2}^{\Gamma P})^2} = (j-1)\Delta E_{\Gamma\P}^{\oplus}, \quad (5-4)$$

где: где;

- $\Delta E_{\Gamma\P}^{\oplus}$ – межслойное приращение гравилюфта, прямо пропорциональное межслойному приращению гравимощности ведущего гравитона и обратно пропорционально квадрату расстояния между ведущим и ведомым гравитонами. Как говорилось выше, межслойное приращение гравимощности ведущего гравитона не зависит от порядковых номеров смежных сэпсечений, а, следовательно, и межслойное приращение гравилюфта также не зависит от порядковых номеров смежных сэпсечений ведомого гравитона. Условимся далее называть межслойное приращение гравилюфта межслойным гравилюфтскачком или просто гравилюфтскачком;
- $\Delta M_{\Gamma\P}^{\otimes}$ – среднее межслойное приращение мощности ведущих гравиполей;
- j – количество сэпсечений гравитона.

Следовательно, гравимощность произвольного сэпсечения ведущего гравитона можно выразить так:

$$M_i^{\otimes} = -\Delta M_{\Gamma\P}^{\otimes}[(j+1)-i],$$

где i порядковый номер данного сэпсечения.

Далее определяем следующий важный для анализа гэпса элемент гравитона:

Определение 5-17. Угол грависцепления k^{r_0} сэпсечения ведомого гравитона ($\alpha_{гсц}^{Nk}$) – угол между вектором гравилюфта (результатирующего гравилюфта, если ведущих гравитонов много) центра k^{r_0} ведомого сэпсечения и его гиперосью (соосью). Теоретически (при определённых условиях) между углами грависцепления разных сэпсечений ведомого гравитона возникают угловые приращения, но эти приращения настолько ничтожны, что ими можно пренебречь. Следовательно, условимся далее в данном анализе считать, что углы грависцепления всех сэпсечений ведомого гравитона равны между собой:

$$\alpha_{гсц}^{N1} = \alpha_{гсц}^{N2} = \dots = \alpha_{гсц}^{Nk} = \dots = \alpha_{гсц}^{Nj} = \alpha_{гсц}^{\oplus}.$$

Где $\alpha_{гсц}^{\oplus}$ обобщённый угол грависцепления ведомого гравитона Γ_r^{\oplus} .

Прежде как приступить к непосредственному анализу гэпса проанализируем механизм взаимодействия между сэпсядром (см. [опр. 5-15](#), стр.78) и сэпсблоками сэпса, возникающего при смещении (в результате внешних воздействий) сэпсядра относительно сэпсблоков. Смещения сэпсядра в ту или иную сторону относительно сэпсблоков, приводит к деформации сэпстраектории, условимся называть деформированную сэпстраекторию гравитраекторией сэпсблоков а не деформированную тривиальной сэпстраекторией. Очевидно, что одна половинка гравитраектории «наползает» на сэпсядро, а вторая её половинка, наоборот, «сползает» с сэпсядра. Следовательно, каждый сэпсблок в течение одного полного оборота вокруг сооси сэпса один раз «наползает» и один раз «сползает» с сэпсядра, возникающие при этом смещения сэпсблоков относительно тривиальной сэпстраектории условимся называть наползающими смещениями и сползающими смещениями сэпсблоков соответственно. Такие смещения сэпсблоков вызывают в них наползающие и сползающие эксцентриситеты соответственно, которые всегда направлены к тривиальной сэпстраектории, т. е. они стремятся вернуть сэпсблоки на их тривиальную сэпстраекторию. Следовательно, наползающий и сползающий эксцентриситеты равны нулю в точках пересечения гравитраектории с тривиальной сэпстраекторией, а в точках равноудалённых от точек пересечений траекторий, максимальны. Значимым для данного процесса является только результирующий эксцентриситет сэпсблока, который равен интегральной векторной сумме эксцентриситетов сэпсблока вдоль гравитраектории. Здесь следует сказать, что если сэпсядро смещается поступательно то результирующие эксцентриситеты всех сэпсблоков сэпса равны друг другу, т. е. они в своей совокупности образуют поступательный (см. [опр. 5-10](#), стр.77) эксцентриситет сэпса. Если же результирующие эксцентриситеты всех сэпсблоков сэпса не равны друг другу, то они в своей совокупности образуют вращательный (см. [опр. 5-11](#), стр.77) эксцентриситет сэпса. При малых наползающих и сползающих смещениях сэпсблоков, вызываемые ими наползающие и сползающие эксцентриситеты возрастают с их ростом крайне медленно, и, следовательно, крайне малы по абсолютной величине. Но с ростом наползающих и сползающих смещений сэпсблоков наступает момент, когда абсолютная величина их результирующих эксцентриситетов начинает ускоренно возрастать. Следовательно при достаточно больших наползающих и сползающих смещениях сэпсблоков их результирующие эксцентриситеты становятся значительными.

А теперь приступаем к непосредственному анализу гэпса.

Разделим анализ гэпса на следующие три части:

1. случай, когда угол грависцепления $\alpha_{гсц}^{\Gamma_{p1}} = 0$,
2. случай, когда угол грависцепления $\alpha_{гсц}^{\Gamma_{p1}} = \frac{\pi}{2}$,
3. случай, когда угол грависцепления $0 < \alpha_{гсц}^{\Gamma_{p1}} < \frac{\pi}{2}$.

Случай 1. Поскольку гравилюфты сэпссечений носят поступательный характер (как говорилось выше, анализируемые гравитоны расположены на достаточном расстоянии друг от друга, чтобы так считать), то их гипероси остаются параллельными друг другу на всём протяжении гравилюфта и после него. Но при нулевом угле грависцепления они при этом остаются еще и совмещёнными, т. е. все ведомые сэпссечения в течении и после гравилюфтов вращаются вокруг общей для них всех гипероси. Следовательно, между элементами ведомого сэпса не возникает внутренних напряжений, которые могли бы привести к ускорению отдельных его элементов или всего сэпса в целом. Таким образом мы приходим к выводу, что при нулевом угле грависцепления ведущее гравиполе не вызывает ускорения ведомого гравитона или отдельных его элементов. Условимся далее называть описанные здесь отношения между ведущим и ведомым гравитонами нейтральными гравиотношениями.

Случай 2. При прямом угле грависцепления, на начальном этапе, когда не завершён ни один гравилюфт ведомого гравитона, между его элементами никаких напряжений не возникает (как и в первом случае). Но как говорилось выше, величины гравилюфтов скачкообразно убывают с ростом порядкового номера сэпссечения. Следовательно, сразу после возникновения ведущего гравиполя, ведомый гравитон и все его сэпссечения и поля безинертно смещаются как одно целое. Поскольку длина гравилюфта ведомого сэпссечения № j минимальна, то он завершается первым, а за ним последовательно (в обратном порядковом номерам порядке) завершаются гравилюфты и остальных сэпссечений. В момент завершения гравилюфта ведомого сэпссечения № j, между его гравиядром и общей ведомой гиперосью возникает некоторое натяжение, обусловленное её раздвоением, т. е. отделением от неё гипероси этого сэпссечения. Это вполне естественно, ведь разные элементы одного вращающегося 4D псевдотела не могут вращаться вокруг разных гиперосей без существенных внутренних напряжений (натяжений). Следовательно, безинертное гравиядро сэпссечения № j могло бы устранить это натяжение, продолжив своё смещение совместно с общей гиперосью, но, в отличие от него, его гравиполе обладает инерцией (см. раздел 5.5 на стр.92) и не может мгновенно последовать за ним. Таким образом, между гравиядром сэпссечения № j и его гравиполем также возникает натяжение, обусловленное инерцией гравиполя и равное по абсолютной величине натяжению между общей гиперосью и гравиядром № j. Следовательно, эти натяжения с одной стороны ускоряют гравиполе ведомого сэпссечения № j, а с другой стороны несколько притормаживает общую гиперось, т. е. ускоряют её в обратном направлении и вместе с ней гравиполя всех ведомых сэпссечений кроме сэпссечения № j. Очевидно, что величина вышеупомянутого натяжения прямо пропорциональна произведению скорости гравилюфта общей ведомой гипероси на инертмассу (см. стр.89) сэпссечения № j.

Следовательно, до завершения гравилюфта сэпссечения № j на него непосредственно воздействовало гравиполе ведущего сэпссечения № j, других воздействий со стороны ведущего гравитона (как прямых, так и косвенных) на него не оказывалось. Но после завершения его гравилюфта непосредственное безинертное воздействие гравиполя ведущего сэпссечения № j исчезает, и в тот же момент возникает косвенное суммарное воздействие на ведомое сэпссечение № j со стороны всех ведущих сэпссечений (кроме ведущего сэпссечения № j) через общую ведомую гиперось. Возникшее таким образом натяжение между сэпссечением № j и общей гиперосью ведомого гравитона вызывает прямое смещение ведомого сэпссечения № j. В результате чего ведомое сэпссечение № j движется с прямым ускорением пропорциональным скорости гравилюфта общей ведомой гипероси и обратно пропорциональным инертности ведомого сэпссечения № j. Естественно, что со временем сэпссечение № j набирает прямую скорость, превышающую прямую скорость общей гипероси, в результате чего оно догоняет, а затем и обгоняет общую ведомую гиперось, подвергая её тем самым обратному воздействию со своей стороны.

К этому моменту завершается гравилюфт ведомого сэпссечения № (j-1), в результате чего (как и в случае с сэпссечением № j) возникает натяжение между ним и общей гиперосью, которое подвергает сэпссечение № (j-1) прямым инерционным грависмещениям. Сама

общая гиперось теперь подвергается обратному натяжению со стороны ведомого сэпссечения № (j-1), пришедшему на смену существовавшему до этого аналогичному натяжению (со стороны сэпссечения № j), успевшему к этому времени поменять своё обратное направление на прямое направление. Поскольку к этому времени скорость сэпссечения № j уже превышает скорость общей ведомой гипероси, то оно также вынуждает сэпссечение № (j-1) ускоряться в прямом направлении, а само ускоряется в обратном направлении (т. е. тормозиться), передавая при этом общей гипероси и сэпссечению № (j-1) часть приобретенной ранее кинетической энергии. В следующий момент, когда завершается гравиллюфт ведомого сэпссечения № (j-2), то накопленная до этого в нижерасположенных сэпссечениях кинетическая энергия, начинает переходить к этому сэпссечению, но при этом процесс накопления новой энергии не прекращается. Т. е. ведомое сэпссечение № (j-2) также как и предыдущие сэпссечения ускоряется в прямом направлении в первую очередь за счёт натяжения между ним и общей гиперосью. Точно такие же процессы происходят и со всеми остальными сэпссечениями, только с некоторым запаздыванием, в результате чего последовательно приобретаемая сэпссечениями кинетическая энергия накапливается в очередном (завершившем свой гравиллюфт) сэпссечении, и подобно снежному кому движется «вверх» к лицевому подпространству. Сама общая гиперось и вместе с ней все ведомые сэпссечения (кроме одного), непрерывно, на протяжении всего гравиицикла (см. ниже), подвергается обратному натяжению со стороны очередного (но только одного) сэпссечения. Следовательно, анализируемый процесс проявляет себя как волна, усиливающаяся в процессе её продвижения от нижних сэпссечений к верхним, которую условимся далее называть волной инерционных грависмещений или сокращённо инерционной гравиволной. Добравшись до сэпсядра, максимально усиленная на своей конечной стадии развития гравиволна, вызывает в сэпсе поступательный эксцентриситет (см. [опр. 5-10](#), стр.77), который запускает прямой поступательный бифурцикл в сэпсблоках сэпса, одновременно с завершением которого, завершается и весь гравитационный цикл (гравиицикл). Как говорилось выше в процессе формирования инерционной гравиволны на общую гиперось постоянно воздействовало одно (текущее) из сэпссечений ведомого гравитона, вызывая при этом обратный результирующий эксцентриситет в сэпсблоках сэпсядра. Но поскольку общая гиперось передавала это воздействие не только на сэпсядро, а распределяла его на все (j – 1) ведомых сэпссечений, то обратные смещения сэпсблоков по сравнению с их прямыми смещениями исчезающе малы. Следовательно, период обратного бифурцикла значительно превышает период гравитационного цикла, т. е. в момент завершения инерционной гравиволны обратный бифурцикл остаётся незавершённым и вынужден перейти в колебательное состояние. Это приводит к тому, что рано или поздно он синхронизируется с прямым бифурциклом (см. [примеч. 3-8](#), стр.40) и вливает свою энергию в последний. С завершением прямого бифурцикла (одновременно с гравиициклом) завершается распределение между элементами сэпса кинетической энергии накопленной инерционной гравиволной, ведомый гравитон приобретает один квант скорости и переходит в исходное состояние, с которого начинается новый гравиицикл и зарождается новая инерционная гравиволна.

Теперь попробуем выразить вышесказанное аналитически, т. е. количественно сравним результирующие эксцентриситеты сэпсблоков вызванные прямым и обратным действиями со стороны инерционно грависмещающихся сэпссечений на общую гиперось. Из вышесказанного следует, что в любой произвольно выбранный момент времени инерционно грависмещается только одно (очередное) сэпссечение, начиная с самого «нижнего» и заканчивая (перемещаясь по порядку «вверх») лицевым сэпссечением. Следовательно, в течение гравиицикла обратное натяжение на общую гиперось в произвольный момент времени также практически непрерывно оказывает только одно (очередное) гравиполе, в той же последовательности («снизу вверх»). Поскольку воздействия на общую гиперось со стороны гравиполей сэпссечений пропорциональны их инертности, которая обратно пропорциональна порядковому номеру соответствующего сэпссечения, то условимся вместо текущего действия конкретного сэпссечения пользоваться усреднённым воздействием срединного сэпссечения. Условимся считать срединным сэпссечением сэпссечение с порядковым номером равным

половине числа j , и условимся обозначать его символом S''' . Воздействие гравиполя, текущего инерционно смещающегося сэпсечения ведомого гравитона, на его общую гиперось распределяется между гравиполями всех ведомых сэпсечений, кроме гравиполя текущего инерционно смещающегося сэпсечения. Условимся далее вместо реального воздействия на общую гиперось очередного инерционно смещающегося сэпсечения применять усреднённое воздействие срединого сэпсечения. Напоминаю, что воздействия на элементы ведомого гравитона со стороны других его элементов могут быть как прямыми, т. е. сонаправленными с гравилюфтом, так и обратными, т. е. направленными противоположно гравилюфту.

Для обратных воздействий получаем следующие выражения:

$$F_{го \rightarrow ся}^{од} = \frac{F_{го \leftarrow S'''}^{од}}{j-1}.$$

Тогда:

$$E_{ся \rightarrow сб}^{од} = K_{од} \frac{F_{го \leftarrow S'''}^{од}}{j-1},$$

где:

- $F_{го \rightarrow ся}^{од}$ – усреднённое обратное воздействие гипероси на сэпсядро, вызванное обратным воздействием текущего инерционно ускоряющегося в прямом направлении сэпсечения на гиперось;
- $F_{го \leftarrow S'''}^{од}$ – усреднённое обратное воздействие на гиперось со стороны гравиполя текущего инерционно ускоряющегося в прямом направлении сэпсечения;
- $E_{ся \rightarrow сб}^{од}$ – обратное смещение сэпсблоков относительно сэпстраектории;
- $K_{од}$ – коэффициент неучтённых обстоятельств.

Для прямых воздействий соответственно получаем:

$$F_{го \rightarrow ся}^д = F_{го \leftarrow S'''}^д (j-1).$$

Тогда:

$$E_{ся \rightarrow сб}^д = K_д F_{го \leftarrow S'''}^д (j-1),$$

где:

- $F_{го \leftarrow S'''}^д = -F_{го \rightarrow ся}^{од}$ – усреднённое прямое воздействие на общую ведомую гиперось со стороны сэпсечений, прямая скорость которых уже превысила скорость её гравилюфта и, следовательно, поменявших своё прямое ускорение на обратное;
- $F_{го \rightarrow ся}^д$ – прямое воздействие гипероси на сэпсядро, вызванное максимальной усиленной инерционной гравиволной;
- $K_д = K_{од}$ – коэффициент неучтённых обстоятельств;
- $E_{ся \leftarrow сб}^д$ – прямое смещение сэпсблоков относительно сэпстраектории.

Откуда получаем следующее соотношение между прямыми и обратными смещениями сэпсблоков относительно сэпстраектории:

$$\frac{E_{\text{ся} \rightarrow \text{сб}}^{\text{д}}}{E_{\text{ся} \rightarrow \text{сб}}^{\text{од}}} = \frac{K_{\text{д}} F_{\text{го} \leftarrow \text{с}''}^{\text{д}} (j-1)}{K_{\text{од}} \frac{F_{\text{го} \leftarrow \text{с}''}^{\text{од}}}{j-1}} = -(j-1)^2. \quad (5-5)$$

Из формулы (5-5) следует, что обратные результирующие смещения сэпсблоков ничтожно малы по сравнению с их прямыми смещениями, т. к. число $(j-1)^2$ огромно (см. [примеч. 5-2](#), стр.79). Как говорилось выше при малых наползающих и сползающих смещениях сэпсблоков их результирующий эксцентриситет крайне мал, но растянут во времени, т. е. значительно превышает период гравицикла в целом. Следовательно, бифуркация обратного бифурцикла не успевает произойти до завершения гравицикла. Сразу же после завершения гравицикла незавершенный обратный бифурцикл, который успевает накопить только половину энергии необходимой для бифуркации, преобразуется в колебательный эксцентриситет (см. [примеч. 3-8](#), стр.40). Энергия незавершённого обратного бифурцикла меняет свою фазу и вливается в энергию инерционной гравиволны, усиливая её вдвое, и этой энергии уже достаточно для завершения прямого бифурцикла, т. е. вся потенциальная энергия ведущего гравиполя преобразуется в прямую кинетическую энергию ведомого сэпса. Следовательно, с каждым гравициклом сэпсблоки приобретают очередной квант скорости V_0 (см. [\(3-3\)](#)(стр.40) и [\(3-4\)](#)(стр.41)), который как говорилось в третьей главе является фундаментальной константой. Текущее ускорение ведомого гравитона зависит только от периода гравицикла, точнее оно обратно пропорционально периоду гравицикла. Период гравицикла пропорционален сумме периодов прямых инерционных грависмещений гравиполей всех сэпссечений гравитона плюс период прямого результирующего бифурцикла сэпсблоков (сэпсыдра). Период прямого инерционного гравииускорения текущего ведомого сэпссечения это промежуток времени необходимый для совмещения его гипероси с общей гиперосью ведомого гравитона. Следовательно, период гравииускорения текущего ведомого сэпссечения прямо пропорционален произведению его инертности на квадрат плеча гэпса и обратно пропорционален модулю гравимощности среднего сэпссечения ведущей группы ведомого сэпссечения №i. Иначе говоря, периоды гравииускорений ведомых сэпссечений, прямо пропорциональны их инертности и обратно пропорциональны средней скорости гравилюфта общей ведомой гипероси. Здесь **ведущая группа** ведомого сэпссечения №I это группа ведущих сэпссечений включающая в себя ведущие сэпссечения №1, ... №i. Тогда период гравииускорения текущего ведомого сэпссечения можно выразить следующей формулой:

$$T_i = \frac{m_i^{\Gamma''} (R_{1-2}^{\Gamma p})^2}{|M_i^{\otimes}|} = \frac{2|\Delta m_i^{\Gamma''}|[(j+1)-i](R_{1-2}^{\Gamma p})^2}{\Delta M_{\Gamma p}^{\otimes} [(j+1)-i] + j},$$

где:

- $m_i^{\Gamma''} = |\Delta m_i^{\Gamma''}|[(j+1)-i]$ – инертность гравиполя $i^{\Gamma''}$ сэпссечения ведомого простого гравитона;
- $\Delta m_{\Gamma p}$ – межслойное приращение инертности простого гравитона;
- $|M_i^{\otimes}| = \frac{\Delta M_{\Gamma p}^{\otimes}}{i} \sum_{k=1}^{k=i} [(j+1)-k] = \Delta M_{\Gamma p}^{\otimes} \frac{[(j+1)-i] + j}{2}$ – гравимощность среднего сэпссечения ведущей группы ведомого сэпссечения №i.

- i – порядковый номер инерционно ускоряющегося в текущий момент ведомого сэлссечения;
- $\Delta M_{\Gamma\Pi}^{\otimes}$ – межслойное приращение гравимощности простого гравитона.

Здесь предполагается, что мощность ведущего гравитона не превышает некоторого значения, после которого зависимость натяжения между гиперосью инерционно ускоряющегося ведомого сэлссечения и общей ведомой гиперосью становится нелинейной функцией от ведущей гравимощности (до этого значения она линейная). На основании вышесказанного и формул (3-1)(стр.38), (3-2)(стр.38) и (3-3)(стр.40), получаем следующую формулу для периода гравицикла.

$$\begin{aligned} T_{\Gamma\Pi} &= \frac{4K_{\text{вп}} K_{\text{лз}} \pi^2 R^2}{M_{\Gamma\Pi}^{\otimes}} \sum_{i=1}^{i=j} (m_i^{\Gamma\Pi} + m_i^{\text{вп}}) = \\ &= \frac{4K_{\text{вп}} K_{\text{лз}} \pi^2 R^2}{M_{\Gamma\Pi}^{\otimes}} (m_0^{\Gamma\Pi} + m_0^{\text{вп}}) = \frac{4K_{\text{вп}} K_{\text{лз}} \pi^2 R^2 m_0^{\text{ин}}}{M_{\Gamma\Pi}^{\otimes}}, \end{aligned} \quad (5-6)$$

где:

- $T_{\Gamma\Pi}$ – период гравицикла;
- $m_i^{\text{вп}}$ – инертность вэлсполя i^{Γ^0} сэлссечения ведомого простого гравитона (только для головных подпространств);
- $m_0^{\text{ин}} = m_0^{\Gamma\Pi} + m_0^{\text{вп}}$ – суммарная инертность сэлса, включающая в себе как инертность гравиполей сэлса, так и инертность его сэлсполей;
- $m_0^{\Gamma\Pi} = \sum_{i=1}^{i=j} m_i^{\Gamma\Pi}$ – суммарная инертность гравиполей сэлса;
- $m_0^{\text{вп}} = \sum_{i=1}^{i=j} m_i^{\text{вп}}$ – суммарная инертность вэлсполей (головных вэлсполей) сэлса;
- $M_{\Gamma\Pi}^{\otimes} = K_{\text{в}} M_i^{\otimes}$ – усреднённая гравимощность средних сэлссечений ведущих групп всех ведомых сэлссечений;
- $K_{\text{в}}$ – коэффициент, учитывающий то обстоятельство, что разным ведомым сэлссечениям соответствуют разные группы ведущих сэлссечений;
- $K_{\text{вп}}$ – коэффициент, учитывающий возможность частичных пересечений во времени между инерционными грависмещениями смежных сэлссечений ведомого гравитона;

Используя формулы (5-6) и (3-4)(стр.41), получаем следующее выражение:

$$a_{\Gamma\Pi}^{\oplus} = \frac{v_0}{T_{\Gamma\Pi}} = \frac{M_{\Gamma\Pi}^{\otimes} v_0}{m_0^{\text{ин}} K_{\text{вп}}} = \frac{v_0 M_{\Gamma\Pi}^{\otimes} Z_{\Gamma\Pi}^{\otimes}}{4K_{\text{лз}} m_0^{\text{ин}} K_{\text{вп}} \pi^2 R^2}, \quad (5-7)$$

где:

- $a_{\Gamma\Pi}^{\oplus}$ – ускорение ведомого гравитона в текущее мгновение;

- R – расстояние между ведущим и ведомым гравитонами в текущее мгновение;
- $Z_{гр}^{\otimes}$ – гравистепень ведущего гравитона (для простого гравитона равна единице).

Как выяснится далее, все гравиобъекты состоят из простых гравитонов, которые идентичны друг другу по гравитационным свойствам. Следовательно, все величины правой части формулы (5-7) (кроме расстояния между ведущим и ведомым гравитонами и степени гравитона) являются постоянными величинами, а некоторые из них фундаментальными постоянными. В частности величину $M_{гн}^{\otimes}$ условимся называть элементарной гравимассой и обозначать символом $m_0^{гр}$, которая присутствует в каждом простом гравитоне. Величину $m_0^{ин}$ условимся называть элементарной инертмассой, которая также присутствует в каждом простом гравитоне.

Тогда объединив некоторые постоянные величины правой части выражения (5-7), получаем для гэпса следующее выражение:

$$a_{гр}^{\oplus} = \frac{K_{гр} m_0^{\otimes гр}}{m_0^{\oplus ин} R^2}, \quad (5-8)$$

где:

$$K_{гр} = \frac{v_0}{4K_{лз}K_{вп}\pi^2} - \text{коэффициент гравитации.}$$

$m_0^{\otimes гр}$ – ведущая элементарная гравимасса.

$m_0^{\oplus ин}$ – ведомая элементарная гравимасса.

Случай 3. Приступим теперь к анализу процесса грависмещения ведомого гравитона, когда угол грависцепления больше нуля и меньше прямого угла, т. е. когда гравилюфты сцепсечений ведомого гравитона вызванные ведущим гравиполем разлагаются на две составляющие. Одна из них параллельна общей гипероси и её действие сводится к рассмотренному выше первому случаю, а вторая перпендикулярна общей гипероси и, следовательно, её действие сводится к рассмотренному выше второму случаю. Поскольку первый случай приводит к нейтральным гравиотношениям между гравитонами то первую составляющую мы отбрасываем, а ниже проанализируем только вторую, т. е. в третьем случае формула (5-8) примет следующий вид:

$$a_{гр}^{\oplus} = \frac{K_{гр} m_0^{\otimes гр} \sin \alpha_{гсц}^{\oplus}}{m_0^{\oplus ин} R^2}, \quad \text{где} \quad 0 < \alpha_{гсц}^{гр1} < \frac{\pi}{2}. \quad (5-9)$$

Исходя из вышесказанного, сделаем следующее определение:

Определение 5-18. Ускорение ведомого гравитона гэпса прямо пропорционально произведению синуса его угла сцепления на элементарную гравимассу ведущего гравитона и на коэффициент гравитации, и обратно пропорционально произведению его элементарной инертмассы на квадрат расстояния между ним и ведущим гравитоном.

И так мы проанализировали три возможных случая гравитационного взаимодействия между гравитонами гэпса. Возможно, что свободные гравитоны (лептоны) при взаимном гравитационном обнаружении, стремясь совместить свои сооси, разворачиваются в пространстве, минимизируя, тем самым, гравитационные взаимодействия, а если лептонов толь-

ко двое, то они, таким образом, полностью избавляются от гравитационных взаимодействий друг с другом. В таком положении они вращаются вокруг общей сооси, но такое состояние может оставаться стабильным только при полном отсутствии внешних воздействий. Из вышесказанного следует, что если в пространстве существует изолированная система, состоящая только из элементарных гравииобъектов, то гравитационные взаимодействия между ними зависят не только от их взаимного расположения в пространстве, но и от их взаимной ориентации в пространстве. Следовательно, закон всемирного тяготения для элементарных гравииобъектов (гравитонов) вероятнее всего, необходимо корректировать (для предельно близких расстояний он однозначно не подходит).

Приступим теперь к анализу неэлементарных гравитационных процессов. Проанализируем следующие три варианта отношений между неэлементарными гравитационными процессами:

1. Пусть ведущее гравиполе возбуждается не отдельным простым гравитоном, а группой из огромного числа $Z_{го}^{\otimes}$ простых гравитонов, образующих ведущий гравииобъект (макрообъект), расстояние от которого до ведомого гравитона достаточно большое, чтобы можно было считать этот макрообъект «точечным». Ведомый объект при этом состоит только из одного простого гравитона.

Тогда текущее ускорение ведомого гравитона, вызываемое ведущим гравииобъектом ($ГО^{\otimes}$) равно:

$$a_{гр}^{\oplus} = \frac{K_{гр} Z_{го}^{\otimes} m_0^{\otimes гр} \sin \alpha_{гсц}^{\oplus}}{m_0^{\oplus} R^2}, \quad (5-10)$$

где:

- $Z_{го}^{\otimes}$ – гравистепень ведущего гравииобъекта, равная количеству простых гравитонов входящих в его состав, не зависимо от их взаимосвязей;
- R – расстояние между центром ведущего гравииобъекта и центром ведомого гравитона.

2. Пусть теперь ведущим гравииобъектом является отдельный простой гравитон, а ведомым гравииобъектом служит точечное макротело, т. е. гравииобъект из огромного числа $Z_{го}^{\oplus}$ жёстко привязанных друг к другу простых гравитонов. Если бы все простые гравитоны точечного ведомого макрообъекта имели бы одинаковый угол сцепления, то они получали бы одинаковое гравииускорение, и в этой связи, между ними никаких напряжений (натяжений) не возникало бы. Но поскольку их сооси жёстко зафиксированы друг относительно друга и хаотично направлены в Самбатэпространстве, то величины их углов сцепления также хаотичны. Следовательно, разные простые гравитоны ведомого гравииобъекта имеют разные углы сцепления, т. е. получают разное гравииускорение, что приводит к внутренним гравинапряжениям между ними, которые сравнительно не существенны и ни к чему существенному не приводят. Поскольку ведомый гравииобъект ускоряется как одно целое, то необходимо определить некий средний угол сцепления для всех ведомых простых гравитонов, тогда гравииускорение ведомого гравииобъекта (см. формулу (5-8))(стр.88) определяется по следующей формуле:

$$a_{го}^{\oplus} = K_{гр} \frac{m_0^{\otimes гр}}{m_0^{\oplus} R^2} \text{SIN}, \quad (5-11)$$

где $SIN = \frac{1}{2\pi r_\phi} \sum_{k=1}^{2\pi r_\phi} |\sin k\alpha_0|$ – средняя абсолютная величина синусов углов сцепления всех

простых гравитонов входящих в состав ведомого гравииобъекта. Условимся называть эту величину грависинусом составного гравииобъекта. Когда количество простых гравитонов образующих данный гравииобъект значительно превышает число равное $2\pi r_\phi$ фуге (см. [опр. 5-9](#), стр.76) содержащихся в окружности, то величина его грависинуса, уже не зависит от этого количества. Это вызвано тем обстоятельством, что углы сцепления всех простых гравитонов макрообъектов равномерно распределены по спектру $0 \leq \alpha_{гсц}^\oplus \leq 2\pi r_\phi$ возможных углов сцепления. Поскольку величина $2\pi r_\phi$ ничтожно мала по сравнению с количеством простых гравитонов формирующих макрообъекты, то грависинус является фундаментальной постоянной величиной для всех макротел (одинакова для всех гравииобъектов).

3. Рассмотрим, наконец, самый распространённый случай, когда и ведущий и ведомый гравииобъекты являются макрообъектами, т. е. состоят из простых гравитонов, число которых значительно превышает величину $2\pi r_\phi$. Тогда формула (5-8)(стр.88) примет следующий вид:

$$a_{го}^\oplus = K_{Гр} \frac{Z_{го}^\otimes m_0^\otimes гр}{m_0^\oplus ин R^2} SIN. \quad (5-12)$$

Поскольку сила по определению это физическая величина прямо пропорциональная произведению ускорения гравииобъекта на его инертмассу, то её можно выразить следующей формулой:

$$F_{го}^\oplus = K_{Гр} SIN \frac{Z_{го}^\otimes m_0^\otimes гр Z_{го}^\oplus m_0^\oplus ин}{m_0^\oplus ин R^2}. \quad (5-13)$$

Поскольку $m_{гр}^\otimes = z_{го}^\otimes m_0^\otimes гр$ гравитационная масса (гравимасса) ведущего макрообъекта, а $m_{ин}^\oplus = z_{го}^\oplus m_0^\oplus ин$ инертная масса ведомого макрообъекта, то получаем следующее выражение:

$$F_{го}^\oplus = K_{Гр} SIN \frac{m_{гр}^\otimes m_{ин}^\oplus}{m_0^\oplus ин R^2}.$$

И так мы получили знакомую формулу, исходя из которой, можно уточнить определение закона всемирного тяготения следующим образом:

Определение 5-19. Гравидействие (грависила) на ведомый макрообъект со стороны ведущего макрообъекта прямо пропорционально произведению гравимассы ведущего гравииобъекта на инертмассу ведомого гравииобъекта, и обратно пропорционально квадрату расстояния между ведущим и ведомым макрообъектами.

Теперь попробуем выяснить принципиальную разницу между гравимассой и инертмассой макрообъектов. Как говорилось выше элементарная гравимасса является количественной характеристикой гравимощности гравиполей гравитона, т. е. мощности радиального приращения интенсивности эфирной информации вызванного сэпсвращением эфира и на-

правленного к центру сэпса. Что касается элементарной инертмассы, то она характеризует степень запаздывания изменений состояния гравиполей, связанного с конечностью скорости распространения эфирной информации. Следовательно, элементарные гравимасса и инертмасса две принципиально разные характеристики гравитонов, тоже самое можно сказать и о гравимассах и инертмассах макрообъектов. Но между этими характеристиками гравитона имеется, по крайней мере, одна немаловажная связь, а именно инертмасса гравииобъекта прямо пропорциональна суммарной гравимощности всех его гравиполей, т. е. его гравимассе.

$$m_{гр}^{го} = k_m m_{ин}^{го},$$

где k_m – коэффициент пропорциональности, который присутствует и в формуле Ньютона, но завуалирован тем, что включен в гравитационную постоянную, в которую, как показано выше, входит не только этот коэффициент.

5.5 ИНЕРЦИЯ ЦЕНТРАЛЬНЫХ ПОЛЕЙ

Инертность центральных полей смещений эфиронов обусловлена их пространственной обширностью и конечностью скорости распространения эфирной информации. Сам механизм инерции выглядит так: при спонтанном возникновении эксцентриситета источника центрального поля тангенциально смещаются эфироны первого порядка его центра (см. [опр. 1-9, 1-10 и 1-11](#), стр.8), вызывая при этом натяжения между эфиронами первого порядка и эфиронами второго порядка. В результате чего эфироны второго порядка смещаются в том же меридианном направлении, вовлекая при этом в этот процесс меридианных смещений эфироны третьего порядка и т. д. до бесконечности. Этот процесс адаптации направлен не только в сторону бесконечности, но и в обратном направлении, поскольку текущие меридианные смещения эфиронов $n^{го}$ порядка возбуждают меридианные смещения не только эфиронов $(n+1)^{го}$ порядка, но и повторные меридианные смещения эфиронов $(n-1)^{го}$ порядка. Следовательно, процесс адаптации центрального поля проявляется как многократный волновой процесс выравнивания отношений между эфиронами смежных порядкообразующих сфер центра данного поля, одновременно протекающий как в прямом (от центра к периферии) так и в обратном (от периферии к центру) направлении. В связи с многократной обоудной направленностью и растянутостью во времени процесс закикливается, т. е. повторяется в прямом и обратном направлении бесконечное число раз.

Исходя из вышесказанного, сделаем следующие определение:

Определение 5-20. Инертность центральных полей – присущее всем центральным полям свойство распространять на всю свою обширную область вынужденные (вызванные внешними воздействиями) движения их центральных источников и закикливать эти движения.

Следовательно, инертностью (инертмассой) обладают все центральные поля, в том числе вэсполя и гравиполя. Поскольку сэпс является основным составным элементом всех обладающих массой покоя объектов Сам-Батэры, то исследуем зависимость величины его инертмассы от того в состав какого элементарного объекта он находится. Попробуем сделать хотя бы приблизительное (ориентировочное) сравнение инертмассы простого гравитона с инертмассой вэпсблока.

Как мы уже знаем из предыдущего материала в состав каждого вэпсблока входят два центральных поля смещений эфиронов, одно из них располагается в лицевом подпространстве второе в теновом подпространстве. Следовательно, инертмасса вэпсблока является суммой инертмасс этих двух полей. Полная инертмасса простого гравитона является суммой инертмасс вэсполей и гравиполей всех его сэпссечений. Но как говорилось выше, пустые моносэпсы крайне не стабильны и пока не обнаружены. Следовательно, пустые сэпсы существуют только в связанном виде в нуклонах, а полупустые и полные в лептонах. В таких леп-

тонах как позитрон или электрон нейтрализована половина инертмассы вэсполой сэспблоков пустого сэпса и значительная часть инертмассы его гравиполой. В нуклонах нейтрализованы вэсполоя обоих сэспблоков каждого пустого сэпса нуклона и значительные части инертмасс гравиполой его сэпссечений (как минимум на порядок большую чем в электронах), а в нейтринно нейтрализованы вэсполоя обоих сэспблоков полного сэпса и подавляющая часть инертмассы его гравиполой. Проанализируем каждый из перечисленных типов связанных состояний сэпса. Очевидно, что электрон и позитрон имеют одинаковую по величине энергию связи, т. е. их инертмассы меньше суммы инертмасс пустого моносэпса и соответствующего вэспблока на одинаковую величину. Поскольку электрон и позитрон устроены аналогичным образом, то проанализируем только электрон.

Как говорилось выше, свободный негасэпс превращается в электрон после того, как некоторый внешний позиблок занимает один из двух, свободных до этого момента, его позиблоксфиксаторов (см. [рис. 4.12](#), стр.72), в результате чего отношения между всеми элементами сэпса переходят в новое равновесное состояние с новыми параметрами. Анализировать этот процесс перехода сэпса в новое равновесное состояние здесь мы не будем, т. к. для этого предлагаемую статью надо увеличить как минимум на одну главу, рассмотрим только самые важные в аспекте данного анализа различия между пустым сэпсом и электроном. Сравним сначала дальние периферийные области вэсполой пустого сэпса и электрона, где кроме негавэсполой и гравиполой других элементов нет в обоих объектах, здесь мощность негавэсполой пустого сэпса вдвое превышает мощность негавэсполой электрона. В центральной области сэпса произошли следующие важные для нашего анализа изменения:

- Электрон в отличие от пустого сэпса далеко не симметричен относительно центрального сечения сэпса.
- Вдвое снизилась мощность негавэсполой сэпса, следовательно, вдвое снизилась и вэсповая доля инертмассы сэпса.
- Радиус траектории сэпса r_s значительно укоротился, следовательно, укоротился и радиус области сэпсвращения эфира, мощность которого соответственно значительно уменьшилась, что повлекло за собой значительное падение гравитационной доли инертмассы сэпса.

Из вышесказанного следует, что возникшая связь между пустым двухблочным негасэпсом и внешним позиблоком привела к значительному отрицательному приращению их суммарной инертмассы, которое рассеялось в Самбатэрпространстве. Как известно соответствующее этому приращению инертмассы приращение энергии принято называть энергией связи (в данном случае энергией связи электрона). Следовательно, у лептонов тоже есть энергия связи, для количественного определения которой необходимо опытным путём определить массу свободного сэпса. Но поскольку крайне короткая жизнь сэпса не позволяет даже зарегистрировать его, то экспериментальное определение его массы цель не близкая.

Прежде чем продолжить эту тему сделаем следующее допущение:

Примечание 5-3. Как известно гравитационные взаимодействия между элементарными процессами несоизмеримо слабее электромагнитных взаимодействий между ними. Это в некоторой степени связано с тем, что на элементарном уровне гравитационные взаимодействия существенно зависят от ориентации этих процессов в пространстве. Но главной относительной слабости гравитационных взаимодействий заключается в том, что периоды гравиициклов несоизмеримо больше периодов бифурциклов, т. к. процессы инерционных ускорений ведомых сэпссечений происходят не одновременно, а по очереди. Следовательно, относительная слабость гравитационных взаимодействий не означает что суммарная мощность гравиполой сэпссечений ведущего гравитона также значительно слабее суммарной мощности его вэсполой, если различия и есть то пределах одного-двух порядков. Напомню, что гравиполоя возникают в результате нормальных смещений большой группы лицеронов (тенеронов), а вэсполоя в отличие от гравиполой возникают в результате нормальных смещений одиночных лицеронов (тенеронов), хотя эти мощности зависят не только от количест-

ва, но и от величины нормальных смещений. Поскольку дать точное количественное сравнение этих мощностей невозможно, то условимся считать лицевую (теневую) мощность гравиполя простого гравитона приблизительно равной лицевой (теневой) мощности его вэсполя.

А теперь продолжим прерванную тему. Попробуем хотя бы теоретически оценить соотношение между полной инертмассой электрона и инертмассой его вэсполей. Поскольку инертмасса любого гравиполя или вэсполя прямо пропорциональна его мощности, то определим суммарную гравимощность всех сэпсечений простого гравитона следующим образом:

$$\sum_{i=1}^{i=j} M_{\Gamma\Pi}^{N_{\Gamma\Pi}^i} = -\Delta M_{\Gamma\Pi} \sum_{i=1}^{i=j} i = -\frac{j^2 + j}{2} \Delta M_{\Gamma\Pi}.$$

Поскольку $\overline{M}_{\Gamma\Pi} = -j\Delta M_{\Gamma\Pi}$, то

$$\sum_{i=1}^{i=j} M_{\Gamma\Pi}^{N_{\Gamma\Pi}^i} = -\frac{j^2 + j}{2} \Delta M_{\Gamma\Pi} = \frac{(j^2 + j)\overline{M}_{\Gamma\Pi}}{2j} = \frac{(j+1)\overline{M}_{\Gamma\Pi}}{2},$$

где:

- $M_{\Gamma\Pi}^{N_{\Gamma\Pi}^i} = -[(j+1) - i]\Delta M_{\Gamma\Pi}$ – мощность гравиполя i^{Γ^0} сэпсечения простого гравитона;
- $\overline{M}_{\Gamma\Pi}$ – мощность гравиполя лицевого сэпсечения простого гравитона;
- $\Delta M_{\Gamma\Pi}$ – межслойное приращение мощности гравиполей сэпсечений простого гравитона.

Тогда суммарная инертмасса гравиполей всех сэпсечений простого гравитона (см. стр.90), выражается следующей формулой:

$$m_0^{\Gamma\Pi} = z_s \sum_{i=1}^{i=j} m_{\Gamma\Pi}^i = z_s K_{\text{св}} K_{\text{цп}} \sum_{i=1}^{i=j} M_{\Gamma\Pi}^i = \frac{K_{\text{св}} k_{\text{цп}}^{\text{обш}} (j+1) \overline{M}_{\Gamma\Pi}}{2K_{\text{лз}} C}, \quad (5-14)$$

где:

- $m_0^{\Gamma\Pi}$ – суммарная инертмасса гравиполей всех сэпсечений простого гравитона;
- $m_{\Gamma\Pi}^i$ – инертмасса гравиполя i^{Γ^0} сэпсечения простого гравитона;
- j – число сэпсечений простого гравитона (константа);
- i – порядковый номер текущего сэпсечения;
- $z_s = 1$ – сэпсстепень простого гравитона (для лептонов равна единице);
- $\overline{M}_{\Gamma\Pi}$ – мощность лицевого гравиполя простого гравитона (константа);
- $K_{\text{св}} > 1$ – коэффициент сэпсвращения эфира (константа). Поскольку гравиполя обусловлены не только радиальными грависмещениями, но и тангенциальными смещениями, которые проявляются как сэпсвращение эфира и значительно усиливают инертность гравиполей, то мы вынуждены ввести коэффициент сэпсвращения эфира. Иначе говоря, коэффициент сэпсвращения эфира учитывает инертность самого вихря, как такового;

- $K_{\text{цп}}^{\text{ин}} = \frac{k_{\text{цп}}^{\text{обш}}}{K_{\text{лз}} C}$ – коэффициент инертности центральных полей смещения эфи-ронов;
- $k_{\text{гп}}^{\text{обш}}$ – коэффициент обширности центральных полей смещения эфионов.

Для инертмассы вэсполей электрона, получаем следующее выражение:

$$m_0^{\text{вп}} = z_s K_{\text{цп}}^{\text{ин}} (\overline{M}_{\text{нб}} + \tilde{M}_{\text{нб}}) = \frac{2k_{\text{цп}}^{\text{обш}} \overline{M}_{\text{нб}}}{K_{\text{лз}} C}. \quad (5-15)$$

Определение 5-21 Инертмасса вэсполей электрона равна сумме инертмасс лице-вого и теневого вэсполей негаблока, которую условимся обозначать символом $m_0^{\text{вп}}$.

Тогда с учётом того что $\overline{M}_{\text{вб}} \approx \overline{M}_{\text{гп}}$ для суммарной инертмассы электрона $m_0^{\text{ин}}$, по-лучаем следующее выражение.

$$m_0^{\text{ин}} = m_0^{\text{гп}} + m_0^{\text{вп}} = \frac{k_{\text{цб}}^{\text{обш}} [K_{\text{св}} (j+1) + 4] \overline{M}_{\text{гп}}}{2K_{\text{лз}} C}, \quad (5-16)$$

где $\overline{M}_{\text{вб}}$ – мощность лицевого вэсполя лептона.

Определим теперь соотношение между полной инертмассой электрона и инертмассой его вэсполей.

$$\frac{m_0^{\text{ин}}}{m_0^{\text{вп}}} = \frac{K_{\text{св}} (j+1) + 4}{4}. \quad (5-17)$$

Поскольку число $(j+1)$ огромно (см. [примеч. 5-2](#), стр.79) и $K_{\text{св}} > 1$, то согласно фор-муле (5-17) доля инертмассы вэсполей электрона, от его общей инертмассы, ничтожно ма-ла.

Теперь посмотрим, что говорят по этому поводу экспериментальные данные, для это-го выписываем из справочника по физике [3] следующие донные:

- $m_e = 0,9109534 * 10^{-30} \text{ кг} = 0,511 \text{ МэВ}$ – масса электрона;
- $m_n = 1,6749543 * 10^{-27} \text{ кг} = 939,55 \text{ МэВ}$ – масса нейтрона;
- $m_p = 1,6726485 * 10^{-27} \text{ кг} = 938,256 \text{ МэВ}$ – масса протона.

Поскольку в состав нейтрона входит на три простых гравитона больше чем в состав протона (см. шестую главу), то разделив разницу между массой нейтрона и массой протона на три, получим инертмассу гравиполя (вэсполя сэпсблоков связанных в нуклонах нейтра-лизованы) простого гравитона.

$$m_e^{\text{гп}} = \frac{m_n - m_p}{3} = 0,7686 * 10^{-30}, \quad m_e^{\text{вп}} = m_e - m_e^{\text{гп}} = 0,1423534 * 10^{-30},$$

$$\frac{m_e}{m_e^{\text{вп}}} = \frac{0,9109534 * 10^{-30}}{0,1423534 * 10^{-30}} = 6,4.$$

То, что инертмасса вэсполя электрона в 6,4 раза меньше его полной инертмассы явно не согласуется с формулой (5-17), по которой это число должно быть на несколько порядков больше. Дело очевидно в том, что в отличие от электрона, где простой гравитон связан только с одним позиблоком, в нуклоне пространство жестко связало между собой и замкнуло в кольцо огромное количество (около 2180) пустых сэпсов, значительно уменьшив, таким образом, свою суммарную кривизну от этих объектов. Как известно средняя энергия связи (химическая энергия) атомов в молекуле на порядки меньше средней энергии связи между нуклонами в атомах, которая равна 8 МэВ/нуклон, т. е. энергия связи третьего уровня на порядки меньше энергии связи второго уровня. Следовательно, можно предположить, что энергия связи первого уровня, т. е. энергия связи нуклона из пустых сэпсов, хотя бы на порядок больше средней удельной энергии связи второго уровня, т. е. энергии связи атомных ядер из нуклонов (заметим, что в том и другом случае вэсполя полностью нейтрализованы).

После распада нейтрона его покидают три пустых сэпса (см. шестую главу), их суммарная инертмасса в составе нуклона (без учёта энергии связи нуклона) равна разности инертмасс нейтрона и протона. Деля эту разность на три, получаем инертмассу пустого сэпса входящего в состав нуклона, откуда следует, что количество пустых сэпсов содержащихся в нейтроне и протоне равно 2180 и 2177 соответственно. Следовательно, если предположить, что формула (5-17) близка к истине, то, с учётом вышеприведенных экспериментальных данных, энергия связи нейтрона $\omega_{\text{св}}^{\text{нт}}$ из пустых сэпсов находится в пределах $172 \text{ МэВ} < \omega_{\text{св}}^{\text{нт}} < 174,6 \text{ МэВ}$, очевидно, что эта предположительная величина вполне согласуется с вышесказанным. Следовательно, величина доли инертмассы вэсполей электрона от его общей инертмассы, значительно меньше полученной выше величины этой доли, т. е. число 6,4 возрастает на несколько порядков.

Проанализируем теперь зависимость коэффициента обширности вэсполей от их размера и конфигурации. В качестве образцов выберем вэпс и известный из учебников по физике электрический диполь. Поскольку смещения эфиронов вызываемые конкретным источником приращения интенсивности эфирной информации не зависят от состояния Самбатэрпространства (при условии если эфироны не выходят за пределы линейных зон своих эфиксаторов), то для полей от одиночных (не дипольных) источников коэффициент обширности является константой. Этого нельзя сказать о коэффициенте обширности результирующих (дипольных) вэсполей вэпсов и электрических диполей которые рассматриваются как один неделимый объект с фиксированными отношениями между его составными частями, т. к. обширность этих полей зависит от плеча соответствующего диполя. С уменьшением длины плеча вэпса (электрического диполя) граница области, где величина его результирующего вэсполя имеет ощутимое значение, продвигается всё ближе и ближе к его центру, следовательно, его инертность неумолимо падает, и, наоборот, с ростом плеча его инертность растёт. По этой причине у всех электрически нейтральных макротел значение коэффициента обширности равно нулю, т. е. макротела не обладают вэпсинертностью, и это касается не только макротел, но и нейтральных атомов и молекул.

Анализ показывает, что инертность результирующего вэсполя системы из двух одноимённых вэпсблоков (зарядов) практически не зависит от расстояния между ними, т. к. поля одноимённых зарядов не компенсируют друг друга. Инертность результирующего гравиполя группы из двух или более гравииобъектов также не зависит от расстояний между ними, по той же причине, т. е. коэффициент обширности гравиполей является константой.

Проанализируем теперь инертность вращающейся вокруг общего центра группы гравииобъектов или вэпсобъектов. В качестве наглядного примера такого гравиинерционного вращения используем нашу планету Земля и её гравиполе, совместно вращающихся вокруг общей оси. Если условно предположить что Земля является однородным по всему объёму идеальным шаром, то тогда его гравиполе должно быть идеально изотропным, т. е. у него не должна возникать необходимость адаптироваться при любых приращениях скорости вращения этого идеального шара. Но из опыта мы знаем, что как бы мы не старались приблизить вращающееся тело к идеальному шару его инерция вращения, не то, что не исчезает, она во-

обще не изменится. Возникшее противоречие очевидно связано с тем, что мы условно решили воспринимать гравиполе Земли как одно неделимое гравиполе с центром, совпадающим с центром Земли. Следовательно, хотим мы этого или нет, но нам придётся вспомнить, что Земля в любом случае состоит из огромного числа гравитонов, центры которых не совмещены не только с центром Земли, но и друг с другом. Поскольку гравиполя гравитонов, также как и одноимённые вэсполя, не компенсируют друг друга, непосредственно не взаимодействуют между собой и не зависят от состояния Самбатэрпространства, т. е. не замечают друг друга, то единого гравиполя Земли как такового не существует. Реально существует великое множество взаимонезависимых элементарных гравиполей, которые с одной стороны движутся по инерции, а с другой стороны взаимодействия между их источниками приводят к их центростремительному ускорению, в результате чего они вращаются вокруг общего центра. Следовательно, если от приращения скорости вращения суммарное гравиполе никак не меняется, то состояния его составных частей (элементарных гравиполей) изменяются, и каждому из этих составных полей необходимо индивидуально адаптироваться к ним. Результат этих рассуждений вполне подходит и для вэпсинертности вращения группы элементарных одноимённых вэсполей вращающихся вокруг общей оси. В качестве примера можно рассмотреть вращающийся электрически заряженный шарик вокруг оси содержащей в себе центр этого шарика. Если предположить, что заряды равномерно распределены по объёму шарика, то рассуждения о независимом вращении вэсполей этих зарядов и т. д. в точности повторяют вышесказанное о гравиинертности вращающейся Земли. То есть, вращающиеся вокруг общего центра вэсполя, также обладают вращательной вэпсинертностью, как и вращающиеся вокруг общего центра гравиполя обладают вращательной гравиинертностью. Тут следует сказать, что заряды в принципе не могут равномерно распределиться по объёму шарика, но это сути не меняет.

Поскольку сэпс это группа одноимённых вэпсблоков, вращающихся вокруг общей оси (сооси), то проанализируем его вэпсинертность вращения, для этого определим реальное количество вращающихся в нём независимых друг от друга вэсполей. Как говорилось выше (см. [опр. 4-5](#), стр.70) благодаря особым свойствам сэпса его вэсполе не является составным вэсполем нескольких источников, т. к. его единственным условным источником является сэпсэкран. Следовательно, центр вэсполя сэпса не совмещен ни с одним из центров сэпсблоков, и вообще не является точкой, а размазан по всей поверхности сэпсэкрана, т. е. у вэсполя сэпса вращательная инертность практически отсутствует. Откуда следует, что сэпс обладает минимально возможной инерцией вращения, т. е. практически не обладает инерцией вращения.

Если вернуться к формуле (4-10)(стр.65), то сказанное здесь значительно увеличивает вероятность того, что определяемый этой формулой радиус сэпса значительно больше единицы.

5.6 СЛАБЫЙ ГРАВИЭЛЕКТРИЧЕСКИЙ ЭФФЕКТ

Определение 5-22. Слабый гравиелектрический эффект – воздействие ведущего гравиполя на ведомые вэпсблоки, проявляющееся тенденциозным выталкиванием ведомых негаблоков на периферию и втягивания ведомых позиблоков к центру ведущего гравиполя.

Слабый гравиелектрический эффект обусловлен тем, что гравиполя вызывают в вэпсблоках крайне слабые эксцентриситеты совпадающие по знаку с эксцентриситетами, которые возникли бы если данные гравиполя заменить негативными вэсполями.

$$\mathcal{E}_{\text{нб}}^{\text{гп}} = -(E_{\tilde{e} \rightarrow \text{гп}} - E_{\bar{e} \rightarrow \text{гп}}) = -\left(\frac{\tilde{M}_{\text{гп}}}{4K_{\text{лз}} \pi^2 R^2} - \frac{\bar{M}_{\text{гп}}}{4K_{\text{лз}} \pi^2 R^2}\right) = -\frac{\Delta M_{\text{гп}}}{4K_{\text{лз}} \pi^2 R^2}, \quad (5-18)$$

$$\mathcal{E}_{\text{пб}}^{\text{гп}} = -(E_{\bar{p} \rightarrow \text{гп}} - E_{\tilde{p} \rightarrow \text{гп}}) = -\left(\frac{\bar{M}_{\text{гп}}}{4K_{\text{лз}} \pi^2 R^2} - \frac{\tilde{M}_{\text{гп}}}{4K_{\text{лз}} \pi^2 R^2}\right) = \frac{\Delta M_{\text{гп}}}{4K_{\text{лз}} \pi^2 R^2}, \quad (5-19)$$

где:

- $\mathcal{E}_{\text{нб}}^{\text{гп}}$ и $\mathcal{E}_{\text{пб}}^{\text{гп}}$ – эксцентриситеты, вызываемые гравиполем в негаблоках и позиблоках, соответственно (гравиелектрические эксцентриситеты вэпсблоков вычисляются по той же формуле, что и их вэпсовые эксцентриситеты, только знак правой части меняется на противоположный);
- R – расстояние между центром ведущего гравиполя и центром соответствующего вэпсблока в текущее мгновение;
- $E_{\tilde{e} \rightarrow \text{гп}}$ и $E_{\tilde{e} \rightarrow \text{гп}}$ – абсолютные смещения вершины и впадины негаблока, вызванные ведущим гравиполем соответственно;
- $E_{\tilde{p} \rightarrow \text{гп}}$ и $E_{\tilde{p} \rightarrow \text{гп}}$ – абсолютные смещения вершины и впадины позиблока, вызванные ведущим гравиполем соответственно.

Следовательно, гравиполя проявляют себя не только как гравиполя, но и в качестве крайне слабых негативных вэпсполей.

Примечание 5-4. Слабый гравиелектрический эффект увеличивает средний радиус сэпсэкрана позисэпса и соответственно уменьшает средний радиус сэпсэкрана негасэпса. Это обусловлено тем обстоятельством, что всегда негативное гравиелектрическое приращение вэпсполя сэпса усиливает вэпсполе негасэпса и ослабевает вэпсполе позисэпса. Следовательно, в окрестности произвольного нейтрального макротела Сам-Батэры кроме гравитационного поля обязательно присутствует крайне слабое (тенденциозное) негативное вэпсполе, которое в отличие от вэпсполя электрически заряженного макротела не может концентрироваться в окрестности одной точки этого тела. Действительно если перемещать электрически заряженный шарик вдоль поверхности Земли, то заряды противоположного знака на этой поверхности концентрируются в окрестности ближайшей от шарика точки, что невозможно для гравиелектрических зарядов (гравитонов). Но, тем не менее, тенденциозное негативное вэпсполе макротел способно вызывать некоторые природные явления. Автор считает, что это поле играет важную роль в формировании грозowych и других электрических явлениях возникающих в атмосфере Земли. Слабый гравиелектрический эффект виновен ещё и в том, что радиус позитивного сэпса несколько меньше радиуса негативного сэпса. Яркими примерами проявления гравиелектрических взаимодействий являются **слабые взаимодействия** и **магнитные поля** вращающихся небесных тел, об этом будет сказано ниже.

Чтобы не быть голословным опишу свою версию возникновения грозowych разрядов в атмосфере, которая заключается в следующем:

Температурные и возможно некоторые другие воздействия вызывают перераспределение электрических зарядов между мельчайшими капельками воды, в результате чего они приобретают избыточный заряд того или иного знака. Если бы в природе не существовало специального механизма сепарирующего эти капельки таким образом, что капельки одного знака попадают в одно облако, а капельки другого знака попадают во второе облако, то и те и другие равномерно распределились бы в общей для них области пространства. При одинаковой их объёмной концентрации рано или поздно наступит равновесие между процессом возникновения избыточно заряженных капелек и обратным ему процессом разрядки этих избыточных зарядов. Естественно, что это равновесие не должно сопровождаться ни молниями, ни громом. Следовательно, вышеупомянутый механизм существует и очевидно, что никакие потоки воздуха не могут быть этим механизмом, т. к. для того чтобы столь упорядоченно разделить заряды нужна некая электродвижущая сила. Такой электродвижущей силой вполне может быть проявление гравиелектрической составляющей гравитационного поля Земли. И только после такой начальной сепарации разноимённых зарядов свою лепту в этот процесс могут вносить спонтанные потоки воздушных масс со всеми вытекающими из этого последствиями. Что касается шарообразной молнии, то она, возможно, возникает в результате спонтанной встречи двух достаточно мощных линейных молний, которые закручиваются в вихрь (подобный сэпсу). В отличие от сэпса, шаровая молния рассеивает свою внутреннюю энергию посредством электромагнитного излучения в окружающее пространство и, следова-

тельно, она не долговечна. Иначе говоря, кривизна (внутренняя энергия) сформированная в виде шаровой молнии выгоднее Самбатэрпространству, чем, если бы она была сформирована в виде двух линейных молний.

Рассмотрим ещё одно явление природы, которое не связано с гравиелектрическими взаимодействиями, но которое можно объяснить, используя предлагаемую гипотезу. Я думаю, что если не все неопознанные летающие объекты (НЛО), то хотя бы некоторые из них возникают по причине, которую попробую проиллюстрировать на следующем примере:

Предположим что в некотором двухмерном мире (мире волно-вихревых объектов на поверхности мирового океана некоторой планеты) существуют живые двумерные объекты способные «видеть» что творится кругом в двухмерном пространстве. Пусть в текущее мгновение падающее вертикально вниз 3D тело коснулось поверхности воды, т. е. начало пересекать 2D пространство. Очевидно, что овальное сечение «А» вышеупомянутые двумерные живые объекты воспримут как двумерный «эллипсоид», перемещающийся вправо, и это перемещение продлится до тех пор, пока сечение «Б» (рис. 5.2) тела не достигнет уровня воды (2D пространство). После этого наблюдаемый ими «эллипсоид», не проявляя признаков инерции, начнёт двигаться влево, и это движение продлится до тех пор, пока сечение «В» не коснётся 2D пространства. Тогда «эллипсоид» «неожиданно» превратится в неподвижный огромный «шарообразный» объект. Когда сечение «Г» достигнет 2D пространство, шарообразный объект преобразуется в четыре шарообразных объекта меньшего радиуса, которые при совмещении сечения «Д» с 2D пространством, «неожиданно» исчезнут. Я думаю, что этот пример, не смотря на то, что двумерная жизнь крайне маловероятна, достаточно нагляден. Поскольку в Сам-Батэре живые объекты существуют, то вероятность того что они могут наблюдать процессы пересечения Самбатэрпространства 4D телами (объектами Одис-Феи) достаточно велика. Следовательно, мы вполне могли бы отнести часть наблюдавшихся в прошлом неопознанных летающих объектов к процессам подобным вышеописанному процессу пересечения 3D телом 2D пространства.

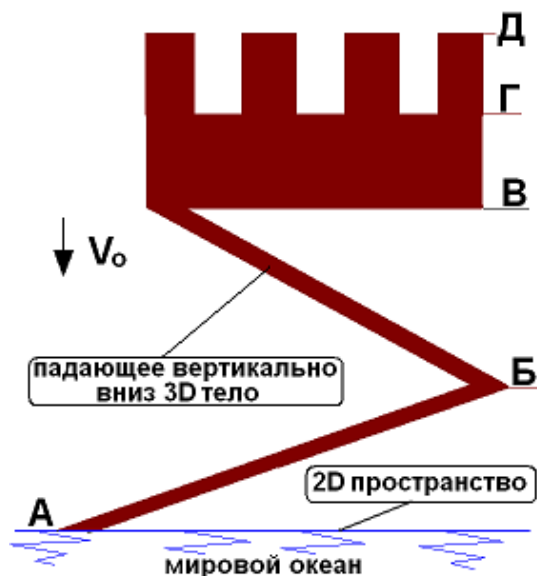


Рисунок 5.2

ГЛАВА 6 СИЛЬНЫЕ И СЛАБЫЕ ВЗАИМОДЕЙСТВИЯ

6.1 МУЛЬТИСЭПСОВЫЕ ПРОЦЕССЫ

Определение 6-1. Мультисэпсовый процесс (мультисэпс) – группа взаимообусловленных сэпсов образующих стабильный единый процесс.

Проанализируем далее механизм возникновения мультисэпсов и их «конструкцию», для этого проанализируем все возможные взаимоотношения между двумя пустыми сэпсами. Очевидно, что стабильные взаимоотношения между сэпсами следует искать среди тех взаимоотношений между ними, при которых их сооси совмещены. Естественно, что одноимённые пустые сэпсы отталкивают друг друга и, следовательно, вступить в стабильные взаимоотношения они не могут, полупустые и полные сэпсы независимо от их знака также не могут вступать в стабильные отношения, т. к. при этом они разрушаются. Следовательно, подобные отношения выпадают из нашего анализа, остаются только разноимённые пустые сэпсы с совмещёнными соосями. Поскольку в состав мультисэпсов могут входить только пустые сэпсы, то естественно предположить, что основная масса мультисэпсов возникла во времена «вэпсового супа». У разноимённых пустых сэпсов с совмещёнными соосями возможны следующие варианты динамических взаимоотношений:

- Они сориентированы в пространстве так, что их сэпсблоки вращаются в противоположных друг другу направлениях, т. е. их сэпсвращения эфира сонаправлены, тогда они беспрепятственно сближаются до достижения некоторых стабильных взаимоотношений. Назовём такое сближение прямым сближением сэпсов.
- Они сориентированы в пространстве так, что их сэпсблоки вращаются в одном направлении (косое сближение сэпса), т. е. их сэпсвращения эфира противоположно направлены, что препятствует их сближению и склоняет (разворачивает) их к прямому сближению. Подробнее о динамических смещениях (магнитных полях) сказано в следующей главе. Если же они при сближении не успевают развернуться (например, обладают излишней кинетической энергией), то они аннигилируют между собой.

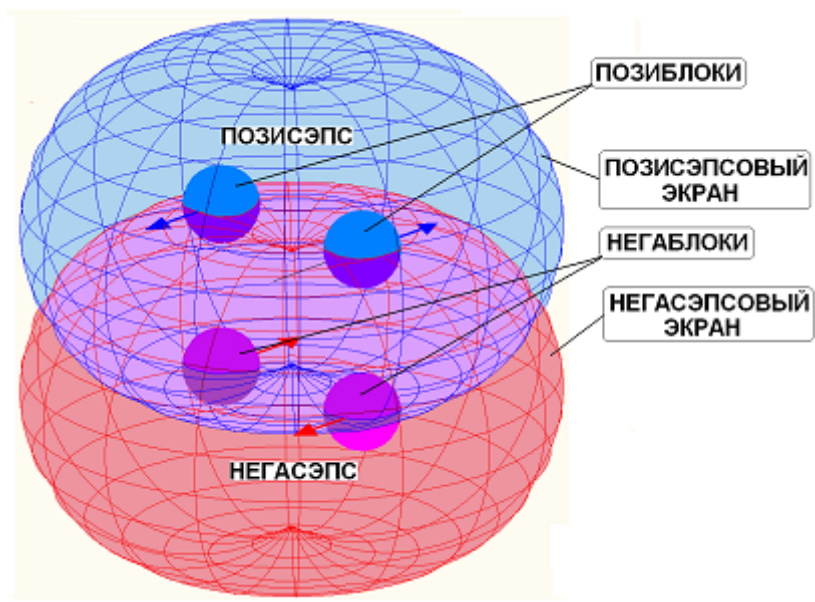


Рисунок 6.1. Бисэпсовое нейтрино (правое)

Поскольку процесс аннигиляции мы здесь анализировать не будем, то для анализа остается только прямое сближение пустых разноимённых сэпсов (рис. 6.1).

При прямом сближении сэпсов их сэпсблоки рано или поздно попадают на, противоположный им по знаку, сэпсэкран встречного сэпса. Поскольку сэпсэкран сэпсов является

центральный источник сэпсполя (см. [опр. 4-5](#), стр.70), то совместившись с ним сэпсблоки встречного сэпса, с одной стороны «уже приехали», а другой стороны объектов, с которыми они могли бы проаннигилировать, на этом «гребне» нет. В результате такого сближения разноимённых сэпсов Самбатэрпространство минимизирует свою кривизну до некоторого промежуточного минимума, при этом разноимённые сэпсблоки остаются изолированными друг от друга. Следовательно, прямое сближение разноимённых сэпсов приводит их взаимоотношения в устойчивое равновесное состояние, которое условимся называть мультисэпсовым фиксатором (мультисэпсфиксатором). Условимся далее называть возникший таким образом объект ([рис. 6.1](#)) бисэпсовым нейтрино. Бисэпсовое нейтрино будем называть правым, если глядя со стороны позисэпса, мы видим его вращающимся против вращения часовой стрелки или левым, если глядя со стороны позисэпса, мы видим его вращающимся по направлению вращения часовой стрелки.

Примечание 6-1. Если в вышеупомянутом сближении участвуют разноимённые сэпсы с одним или двумя занятыми блокфиксаторами (электрон и позитрон или негасэпсовое и позисэпсовое нейтрино), то они с большой вероятностью аннигилируют между собой.

Естественно, что процесс возникновения попарно стабильных взаимных отношений между пустыми сэпсами, на бисэпсовом нейтрино не заканчивается, к нему рано или поздно пристыковывается третий пустой сэпс и т. д., образуя при этом длинные сэпсовые цепи. По мере увеличения длины этих цепей они изгибаются дугой, кривизна которой возрастает с ростом длины цепи. При достижении определённой длины (2180 сэпсов) цепь замыкается, образуя при этом стабильный нейтральный мультисэпс ([рис.6.2](#)), название которому нам не придётся придумывать, т. к. это наш старый знакомый нейтрон. Реальное количество сэпсов в нейтроне $N_s \approx 2180$ (см. [раздел 5.5](#), стр.95), а не 36 как показано на [рис. 6.2](#). Следовательно, бисэпсовое нейтрино является промежуточным этапом возникновения нейтрона, но вполне вероятно, что при определённых условиях оно, и более крупные промежуточные образования могут существовать и как самостоятельные объекты Сам-Батэры.

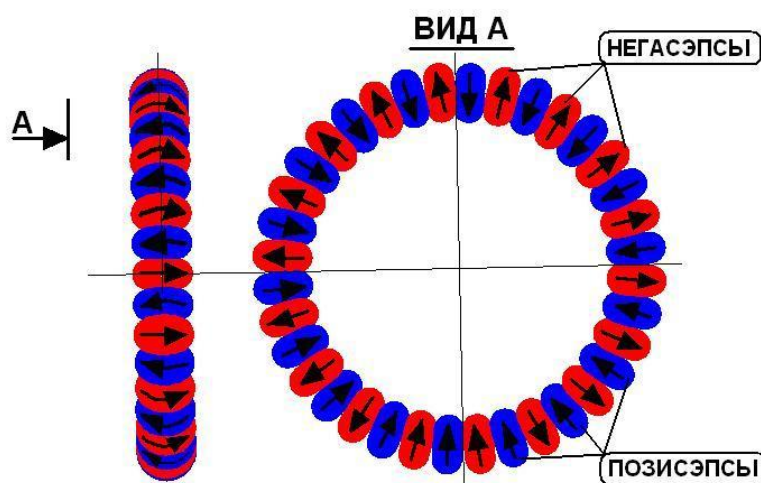


Рисунок 6.2. Нейтрон

Далее определим некоторые геометрические характеристики нейтрона.

Определение 6-2. Сэпсовая ось нейтрона – окружность, на которой лежат центры всех моносэпсов нейтрона. Центр сэпсовой оси нейтрона является центром нейтрона.

Определение 6-3. Главная плоскость нейтрона – плоскость, на которой расположена сэпсовая ось нейтрона.

Определение 6-4. Главная ось нейтрона – ось перпендикулярная главной плоскости нейтрона и проходящая через его центр.

Поскольку все сэпсы нейтрона можно рассматривать, как одинаково направленные круговые электрические токи, то с этой точки зрения нейтрон является тороидом. Тороидальное кольцо, на поверхности которого лежат траектории сэпсов, и, ось которого совмещена с сэпсовой осью нейтрона, условимся называть нуклонным сердечником или сокращенно нуклонсердечником. Поскольку позитивные и негативные сэпсы расположены попеременно друг к другу вдоль нуклонсердечника и их количества равны друг другу, то их разноимённые вэсполя и разноимённые экранполя компенсируют друг друга, т. е. по отношению к достаточно удалённым от нейтрона точкам пространства он нейтрален. Совокупность сэпсэкранов нейтрона также образуют тороидальное кольцо, условимся называть его нуклонным экраном или сокращенно нуклонэкраном. Поскольку сэпсы проявляют себя и как гравитоны, то нуклонэкран является источником, как гравитационного поля, так и гравиелектрополя. Следовательно, нуклонэкран тенденциозно раздваивается, т. е. радиус негативного нуклонэкрана (негативных экранполей) несколько больше радиуса позитивного нуклонэкрана. Условимся называть этот эффект слабым раздвоением нуклонэкрана. Напоминаю, что у позитивных сэпсов экранполя негативны и, наоборот, у негативных сэпсов экранполя позитивны.

Естественно, что раздвоение нуклонэкрана обусловленное гравиелектрическим эффектом вызывает некоторые напряжения между негасэпсами с одной стороны и позисэпсами с другой стороны. И благодаря тому, что радиусы негасэпсов и позисэпсов по той же причине несколько отличаются между собой, то вышеупомянутые напряжения рано или поздно произвольно концентрируются на небольшую конкретную группу сэпсов.

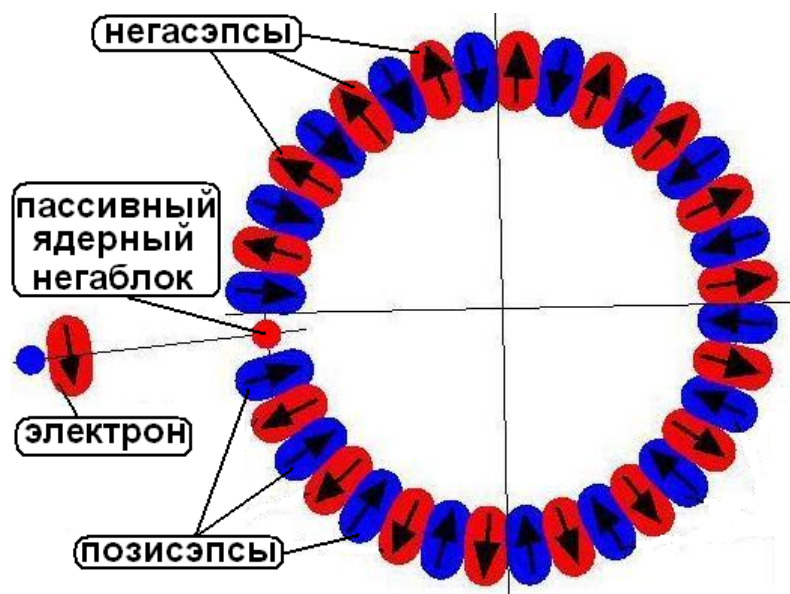


Рисунок 6.3. Схема атома водорода

Анализ этого явления показывает, что возникающая таким образом ситуация неминуемо приводит к выходу из состава нейтрона трёх смежных сэпсов, два из них (негасэпс и позисэпс) распадаются на вэсплоки. А третий (негасэпс) притягивает к себе один позиблок возникший в результате распада позисэпса и превращается в электрон. Из образовавшихся осколков один негаблок и один позиблок аннигилируют между собой, а возникший из осколков распада электрон выносится, энергией аннигиляции, далеко за пределы нейтрона. При этом остаётся ещё один осколок распавшихся сэпсов это негаблок, он в отличие от других осколков распада остаётся на месте зажатый между двумя позисэпсами (рис.6.3), которые условимся называть активными позисэпсами нуклона. А зажатый между ними негаблок условимся называть пассивным ядерным неаблоком. Равновесную точку, в которой он находится, назовём ядерным блокфиксатором.

Естественно, что сразу же после распада группы из трёх сэпсов ситуация в нейтроне резко меняется. Нуклонсердечник до этого проявлявшийся как крайне слабый источник негативного гравиелектрополя становится значительно более мощным источником негативного вэпсполя. Причиной этого является то, что в нуклонсердечнике появляется одно некомпенсированное негативное экранполе (в состав нуклона стало на единицу больше позисэпсов чем негасэпсов) и некомпенсированный пассивный ядерный негаблок. Следовательно, вместо слабого раздвоения нуклонэкрана возникает его сильное раздвоение, в результате чего радиус негативного нуклонэкрана возрастает в сотни раз, а радиус позитивного нуклонэкрана в значительно меньшей степени прижимается к нуклонсердечнику. При этом изменился не только размер радиусов соответствующих составляющих нуклонэкрана, но существенно изменилась и их конфигурация особенно это касается негативного нуклонэкрана. Изменение конфигурации негативного нуклонэкрана вызвано тем, что возникшие после распада нейтрона некомпенсированное негативное экранполе и поле пассивного ядерного негаблока распределяются не равномерно по всему нуклонэкрану. Следовательно, мощность негативного нуклонэкрана теперь распределена по его поверхности неравномерно, она максимальна в радиальных направлениях нуклона пересекающих центры активных позисэпсов нуклона и несколько меньше в радиальном направлении пересекающем центр пассивного ядерного негаблока. В остальных радиальных направлениях нуклона она убывает с поворотом радиального направления нуклона, начиная от активных позисэпсов нуклона и минимальна в противоположной пассивному ядерному негаблоку стороне нуклона. После своего распада нейтрон превращается в условный источник позитивного вэпсполя, центр которого совмещён не с его центром, а с центром пассивного ядерного негаблока. Следовательно, ближайшая к центру нуклона точка негативного нуклонэкрана расположена на линии его пересечения с плоскостью, перпендикулярной к главной плоскости нуклона и пересекающей центр пассивного ядерного негаблока и центр нуклона. Естественно, что возникший при распаде нейтрона электрон, устойчиво находится в окрестности этой точки, которую условимся называть электронным фиксатором атома (в данном случае это атом водорода). Сразу после распада нейтрона электрон «улетает» далеко за пределы нейтрона, но вскоре его движение от нейтрона сменяется движением к нейтрону, в результате которого электрон упирается в негативный нуклонэкрэн и, перемещаясь по его поверхности, попадает в электронный фиксатор атома. Следовательно, в результате вышеописанной реакции нейтрон превратился в атом водорода, в ядре которого вместо нейтрона возник другой мультисэпс – протон.

Распад нейтрона можно объяснить и с точки зрения стремления Самбатэрпространства минимизировать свои локальные искривления. Действительно в ближайшей окрестности нейтрона присутствует не нейтрализованное негативное гравиелектрополе нуклонсердечника. Самбатэрпространство пытается скомпенсировать это поле, выбрасывая один негативный заряд за пределы нейтрона, тем самым оно частично (настолько, насколько это принципиально возможно) сглаживается в локальном порядке. Преобразовывая нейтрон в атом водорода, пространство проявляет стремление минимизировать свою кривизну. В одиночном атоме водорода эта минимизация явно не полная, но с ростом числа нуклонов в мультисэпсовом процессе (ядре атома) оптимизируется и выравнивание локальной кривизны пространства. По той же причине (минимизации кривизны пространства) атомы группируются в молекулы, а молекулы преобразуются в более компактные молекулы (естественно, при соответствующих условиях).

6.2 ВЗАИМОДЕЙСТВИЯ МЕЖДУ НУКЛОНАМИ

Выясним вначале, могут ли нуклоны проявлять стабильные взаимоотношения между собой. Иначе говоря, существуют ли в окрестности нуклона нуклонные фиксаторы, в которые могут стабильно находиться другие нуклоны.

Поскольку нуклоны являются тороидами, то вышеупомянутые фиксаторы следует искать на их главной оси, т. е. устойчивые взаимоотношения между нуклонами возможны только тогда, когда их центры расположены на общей для них главной оси. Таким условиям

удовлетворяют показанные на рис. 6.4 четыре типа взаимоотношений между нуклонами, где точки O_1 и O_2 являются центрами взаимодействующих нейтронов, а линию O_1O_2 (общую главную ось нейтронов) условимся называть ядерной осью этих процессов. Цифрами здесь обозначены по три сэпса от каждого нейтрона, которые будем использовать в качестве маяков для анализа взаимодействий, между сэпсами нейтронов подразумевая при этом, что все подобные друг другу пары сэпсов взаимодействуют одинаково.

Определение 6-5. Прямые правые взаимоотношения между нуклонами – взаимоотношения, при которых, условный наблюдатель, глядя спереди или сбоку, видит, что любая пара ближайших друг к другу сэпсов принадлежащих разным нейтронам, состоит из двух одноимённых и вращающихся в одном направлении сэпсов. Для большей ясности заметим, что центры каждой такой пары сэпсов расположены на линии, параллельной ядерной оси, к таким парам относятся пары 1-4, 2-5 и 3-6 (см. рис. 6.4 а.).

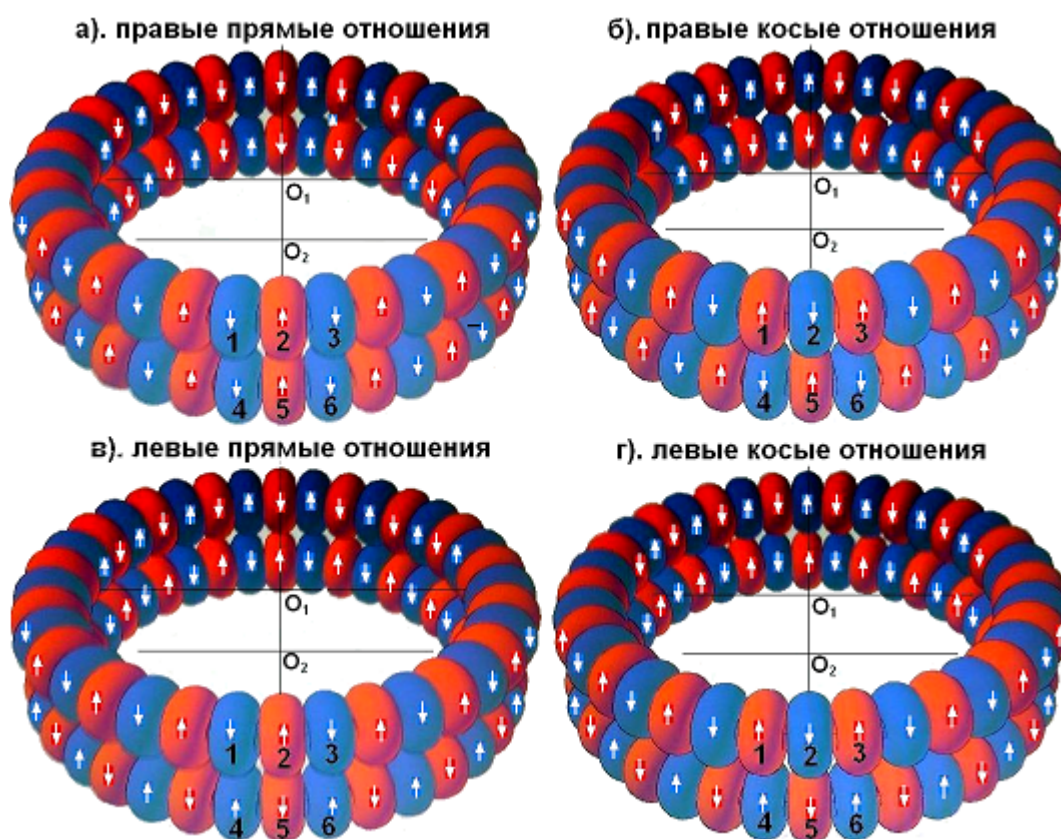


Рисунок 6.4. Возможные контактные отношения между нейтронами

Определение 6-6. Косые правые взаимоотношения между нуклонами – взаимоотношения, при которых, условный наблюдатель, глядя спереди или сбоку, видит, что любая пара ближайших друг к другу сэпсов принадлежащих разным нейтронам, состоит из двух разноимённых и вращающихся в противоположных друг другу направлениях сэпсов. К таким парам относятся пары 1-4, 2-5 и 3-6 (см. рис. 6.4 б.).

Определение 6-7. Прямые левые взаимоотношения между нуклонами – взаимоотношения, при которых, условный наблюдатель, глядя спереди или сбоку, видит, что любая пара ближайших друг к другу сэпсов принадлежащих разным нейтронам, состоит из двух одноимённых и вращающихся в противоположных друг другу направлениях сэпсов. К таким парам относятся пары 1-4, 2-5 и 3-6 (см. рис. 6.4 в.).

Определение 6-8. Косые левые взаимоотношения между нуклонами – взаимоотношения, при которых, условный наблюдатель, глядя спереди или сбоку, видит, что любая пара ближайших друг к другу сэпсов принадлежащих разным нейтронам, состоит из двух разноимённых и вращающихся в одном направлении сэпсов. К таким парам относятся пары 1-4, 2-5 и 3-6 (см. рис. 6.4 г.).

На достаточно большом расстоянии друг от друга нейтроны подвержены только гравитационному взаимодействию, которое, как известно в этих масштабах существенной роли не играет. Во времена «вэпсового супа» вполне обычными были ситуации, когда сплошь и рядом возникали все четыре типа определённых выше взаимоотношений, при которых протекали процессы сближения нейтронов, проанализируем каждый из них.

Для удобства изложения условно пронумеруем взаимодействующие одним из четырёх вышеописанных способов нейтроны, пусть тот, что сверху будет первым, а тот, что снизу вторым.

При прямом правом сближении двух нейтронов наступает момент, когда сэпсблоки первого из них пересекают экранполе второго, а сэпсблоки второго пересекают экранполе первого, в результате чего между ними возникает взаимное притяжение, которое усиливается по мере их сближения. С другой стороны этому притяжению препятствуют встречные потоки эфиронов в контактном пространстве между ними, вызванные их сэпсвращениями эфира. Следовательно, при прямых правых отношениях между нейтронами нуклонных фиксаторов не существует, но если при этом нейтроны обладают достаточной энергией, то становится возможным их взаимное слияние, т. е. из двух двухблочных мультисэпсов возникает один четырёхблочный мультисэпс. В результате таких слияний могут возникать не только четырёхблочные мультисэпсы, но и шестиблочные и более, до достижения их полного насыщения вэпсблоками. Естественно, что все сэпсы конкретного нуклона содержат одинаковое число пар сэпсблоков. Число пар сэпсблоков насыщающих сэпс не является некоей фундаментальной константой, оно зависит от общего числа нуклонов в ядре атома, т. е. оно растёт с ростом порядкового номера атомного ядра. Условимся далее стабильные взаимоотношения между нейтронами, которые проявляются в виде их взаимного слияния называть нуклонными фиксаторами первого рода или нуклонфиксаторами-1.

При косых правых отношениях между нейтронами нуклонных фиксаторов также не существует, т. к. при этом в контактном зазоре между нейтронами их сэпсвращения эфира, как и в предыдущем случае, вызывают противоположные друг другу динамические смещения (потоки) эфиронов, что усиливает локальное искривление пространства. При этом их слияния также невозможны, из-за встречного движения сэпсблоков, но если бы оно и было бы возможным, то оно закончилось бы неминуемой аннигиляцией.

При прямых левых сближениях нейтронов после взаимного проникновения их сэпсблоков в экранные поля друг друга, возникает усиливающееся по мере их сближения взаимопритяжение. Этому взаимопритяжению способствует и то, что сэпсвращения эфира нейтронов в их контактном пространстве сонаправлены. Но поскольку взаимное слияние нейтронов в этом случае не возможно, то происходит стабилизация их взаимоотношений по типу «зубчатых колёс», т. е. их контактное пространство поочерёдно пересекают сэпсблоки разных нейтронов. Условимся далее называть этот тип стабильных взаимоотношений между нейтронами нуклонными фиксаторами второго рода или нуклонфиксаторами-2.

При косых левых сближениях нейтронов после взаимного проникновения их сэпсблоков в экранные поля друг друга возникает усиливающееся со сближением взаимоотталкивание нейтронов, которое препятствует их плотному сближению. Но если нейтроны обладают достаточной кинетической энергией, то они могут преодолеть это взаимоотталкивание и слиться в один нуклон что приведёт к их неминуемой аннигиляции. Если же они не обладают достаточной для этого кинетической энергией, то они вынуждены будут чуть-чуть развернуться вокруг своих центров и перейти в состояние прямых левых взаимоотношений.

Из вышесказанного следует, что между нейтронами возможны только два варианта стабильных взаимоотношений это их слияние при прямом правом сближении (более предпочтительные для пространства) и взаимоотношения типа «зубчатых колёс» при их прямых левых сближениях (менее предпочтительные для пространства). Так почти все ядра дейтерия возникли в результате слияния двух нуклонов. Поскольку при слиянии происходит суперпозиция сэпсвращений эфира, то мощность сэпсвращения эфира дейтерия вдвое выше мощности сэпсвращения эфира нейтрона. Как известно атом гелия четыре состоит из двух атомов

дейтерия, которые находятся в нуклонфиксаторах-2. Здесь природа выбирает менее предпочтительный для себя вариант для того, чтобы симметрия её конечного продукта (атома гелия) не нарушалась. Поскольку сэпсвращения эфира, вызываемые двумя четырёхблочными нуклонами расположенными в двух нуклонфиксаторах-2 направлены против друг друга, то суммарный момент сэпсвращения эфира гелия четыре равен нулю.

На схеме атома гелия (рис. 6.5) показано, что два четырёхблочные мультисэпса гелия находятся нуклонфиксаторах-2. При этом (для большей наглядности) каждый из этих двух четырёхблочных мультисэпсов ядра гелия изображён в виде двух пар двухблочных мульти-сэпсов, между которыми прямые правые взаимоотношения, но в реальности нуклоны каждой из этих пар слиты в один четырёхблочный мультисэпс.

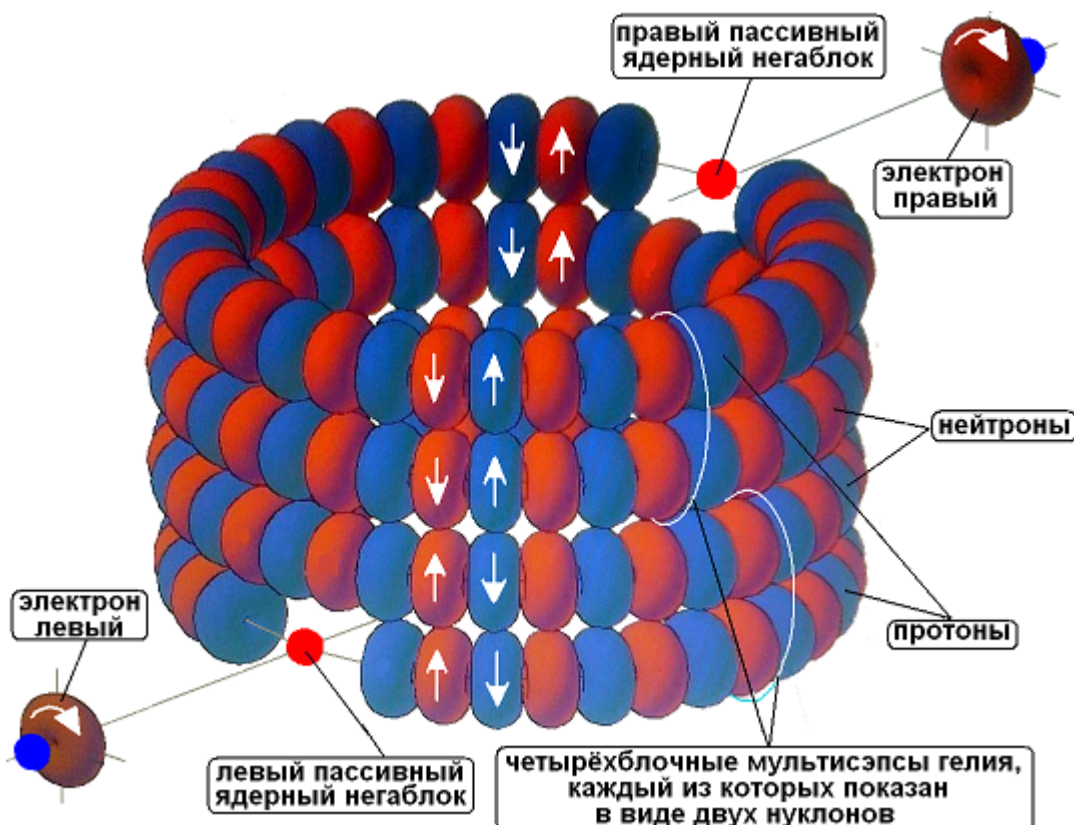


Рисунок 6.5. Схема атома гелия

Как известно, атомы молекул или кристаллических решёток тоже зафиксированы в определённых точках пространства, которые условимся называть атомными фиксаторами. Молекулы в свою очередь также располагаются в фиксаторах, которые условимся называть молекулярными фиксаторами. Очевидно, что все макротела также зафиксированы в пространстве (независимо от того движутся они или нет, тем более, что они в подавляющем большинстве случаев движутся относительно Самбатэрсреды) в фиксаторах, которые условимся называть макрофиксаторами. Например, планета Земля зафиксирована в макрофиксаторе, который перемещается в Самбатэпрпространстве в соответствии с законами Сам-Батэры, и увлекает за собой нашу планету.

Из приведенных выше схем атомов водорода и гелия следует, что электронные фиксаторы атомов неподвижны относительно атомных ядер. Поэтому если ядра атомов неподвижны относительно Самбатэрсреды, то электроны также неподвижны относительно Самбатэпрпространства. Поскольку кроме сэпсов и мультисэпсов в Сам-Батэре существуют ещё и не сэпсовые (нестабильные) ДЭО, которые непрерывно в спонтанном порядке возмущают Самбатэпрпространство, то состояние абсолютного покоя крайне редкое явление для элементарных и неэлементарных объектов Сам-Батэры. Естественно, что ядерные фиксаторы, в соответствии с вышеупомянутыми возмущениями, перемещаются по «непонятным» траекториям

в некоторой окрестности своего законного места в пространстве. Вслед за своими фиксаторами также спонтанно смещаются и сами ядра, что приводит к соответствующим смещениям электронных фиксаторов, которые в свою очередь движутся по ещё более причудливым траекториям. Следовательно, так называемые электронные орбиты не имеют ничего общего с внутренними сугубо атомными процессами, они являются всего лишь отображением внешней электромагнитной «погоды». Иначе говоря, электронные орбиты также зависят от внутренних сугубо атомных процессов, как спонтанные движения листьев на деревьях от внутренних процессов жизнедеятельности последних. Кстати говоря, об электромагнитной «погоде» и вообще о свете (в широком смысле этого слова), о его способности проявлять себя как волна и как частица, мы поговорим в следующей статье.

Можно было бы продолжить анализ всех химических элементов, а затем и молекул и т.д. вплоть до галактик, но всё это не соответствует теме донной работы. Поэтому переходим к следующей теме, но прежде чем перейти к следующей теме скажу несколько слов о так называемом Большом взрыве:

6.3 КОРОТКО О БОЛЬШОМ ВЗРЫВЕ

Поскольку форма Сам-Батэры это 3D сфера, то независимо от того сменится ли её расширение на сжатие или нет, в любом случае «**большой взрыв**» обязательно состоится.

Разделим (условно) Сам-Батэру на «**северное 3D полушарие**» и «**южное 3D полушарие**». Усвоимся считать что последний большой взрыв произошел в северном полушарии (точнее на «**северном полюсе**» Сам-Батэры). Оставшееся полушарие гиперсферы Сам-Батэры, естественно, назовём «**южным 3D полушарием**», а его центр соответственно «**южным полюсом**» Сам-Батэры. Плоскость, разделяющая эти 3D полушария условимся называть «**экватором**» Сам-Батэры.

Очевидно, что в настоящее время большинство (по массе) объектов расширяющейся Сам-Батэры перевалила через экватор, т. е. находится в южном полушарии Сам-Батэры. Но в тоже время пока ещё значительная масса (в том числе и «наша» Галактика) объектов Сам-Батэры находятся в северном полушарии. Это утверждение подтверждается тем обстоятельством, что мы видим ускоренно расширяющуюся Вселенную. Действительно по закону всемирного тяготения все объекты Сам-Батэры ускоренно движутся к её центру масс, т. е. к её южному полюсу. Следовательно, 3D объём занимаемый некоторыми смежными объектами южного полушария ускоренно сжимается, а 3D объём занимаемый некоторыми смежными с «нашей» Галактикой объектами северного полушария ускоренно расширяется. По мере приближения к экватору Сам-Батэры ускоренное расширение «нашего» участка Вселенной сменится на замедленное расширение, а после пересечения экватора данный участок начнет сжиматься. По этой причине мы, находясь в северном полушарии Сам-Батэры, наблюдаем ускоренно расширяющуюся Вселенную, и выдумываем тёмные материи и прочие парадоксальные вещи. В те времена, когда основная масса Сам-Батэры находилась в северном полушарии, то её расширение было замедленным.

Если бы расширение Сам-Батэры прекратилось до того как подавляющая масса её объектов пересекла экватор, то следующий «большой взрыв» произошёл бы в районе северного полюса. В любом случае Сам-Батэра периодически обновляется, но такое обновление, очевидно, обременительно для любой цивилизации, но не фатально для неё. Но для того, чтобы понять, почему такое обновление не обязательно фатально для любой цивилизации, проанализируем далее «большой взрыв»:

Естественно, что гравитационное сжатие Сам-Батэры продолжится до тех пор, пока не разрушатся подавляющее большинство сэпсов, из которых построены все объекты Сам-Батэры. Вместе с сэпсами исчезнут и гравитоны, а без гравитонов не будет и гравитационного поля, без которого в свою очередь не будет и гравитационного сжатия. Следовательно, гравитационное сжатие рано или поздно прекратится, оставив после себя вышеупомянутый «вэпсовый суп», из которого вновь формируются сэпсы, а за ними и все остальные объекты Сам-Батэры.

Если подробнее, то сразу после начала разрушения сэпсов начнётся аннигиляция освобождающихся при этом вэпсблоков, а выделяющаяся в результате этого процесса электромагнитная энергия будет постепенно накапливаться. По мере накопления этой энергии начнут рождаться новые вэпсы, начиная с минимально возможной скорости их рождения (количества рождённых вэпсов за единицу времени) которая со временем будет расти и рано или поздно она сравняется со скоростью аннигиляции «старых» вэпсов, а затем и превзойдет её. Со временем в этом процессе накопится достаточное количество электромагнитной энергии необходимой для бурного начала и разгона расширения этого вэпсового супа, т. е. для начала нового жизненного цикла Сам-Батэры. Естественно, что выжить в этом бурном процессе затруднительно, но не падайте духом, у нас есть вариант выжить даже в этой явно не простой ситуации, вернее не у нас, а у наших далёких потомков или у потомков иных цивилизаций. Вначале я думал никому не говорить, как это можно осуществить, но потом передумал. И так, рассказываю, но прошу никому, ни слова, т. к. это большой секрет. Когда почти все объекты Сам-Батэры перевалят через экватор в южное полушарие, мы, на своём корабле (солнечной системе) останемся в северном полушарии. Откуда и будем наблюдать, за сообъектами по Вселенной как они доберутся до её южного полюса, и как они, поварившись там, в собственном соку, вернутся обновлёнными к нам навстречу. Мы их встретим, поздравим с обновлением, поменяем свой корабль на новый корабль, а затем как получится. Если же мы не успеем принять необходимые меры до пересечения нами экватора Сам-Батэры, то ситуация сильно усложнится, т. к. значительно усилившаяся гравитация южного полушария может не дать нам шансов вырваться назад в северное 3D полушарие.

Как говорится шутки шутками, а предлагаемая автором гипотеза однозначно показывает, что сжатие Сам-Батэры неминуемо и продолжится только до тех пор, пока основная масса гравитонов (сэпсов) не разрушатся. Вопрос только в том, у какого из двух полюсов Сам-Батэры произойдёт это сжатие, автор склоняется к тому, что полюса все-таки чередуются. Следовательно, сжатия Сам-Батэры до невообразимо малых размеров, как принято считать в современной науке, не будет, т. к. разрушения сэпсов начнутся гораздо раньше.

Если окажется, что большой взрыв является единственной серьёзной опасностью для нашей цивилизации, то автор надеется, что наши потомки успешно её обойдут. Но поскольку, как говорилось в первой главе, проявления Кардинальной Реальности нигде и никогда не повторяются, то вполне вероятно, что рано или поздно Сам-Батэра будет разрушена внешними по отношению к ней процессами, а это не сможет обойти, ни одна цивилизация Сам-Батэры. Более того внешние по отношению к Сам-Батэре процессы мы принципиально не можем прогнозировать даже на самую кратчайшую перспективу, т. е. в этом аспекте мы принципиально не можем знать что произойдёт даже через секунду. Но автор надеется, что Кардинальная Реальность о нас всё знает и бережёт нас (пока мы будем оставаться достойным её проявлением, конечно). А о том, что такое хорошо и что такое плохо, Кардинальная Реальность постоянно нам подсказывает через глубинное внутреннее горлышко, которое мы называем интуицией или (в узком, но очень важном смысле) совестью, главное для каждого из нас вовремя прочищать это горлышко и не дать ему атрофироваться.

ГЛАВА 7 МАГНИТНОЕ ПОЛЕ ПРЯМОЛИНЕЙНОГО ПРОВОДНИКА С ТОКОМ

7.1 ОБЩИЕ ОПРЕДЕЛЕНИЯ

Для читателей внимательно прочитавших предыдущие главы словосочетание прямолинейный проводник бесконечной длины, возможно, звучит не убедительно. Действительно согласно излагаемой здесь гипотезы самой длинной, самой прямой и самой бесконечной линией Сам-Батэры является её экватор (или меридиан), который по определению является окружностью. Следовательно, упомянутый здесь проводник имеет форму окружности, радиус которой теоретически не превышает радиус экватора Сам-Батэры, а на практике несоизмеримо меньше его. Поэтому анализируемый нами здесь проводник с током является круговой замкнутой электрической цепью, радиус которой достаточно большой для того, чтобы при незначительной потере в точности считать её прямолинейным проводником бесконечной длины.

Здесь нам необходимо точно определить следующие два понятия, которые нам придётся часто использовать в этой главе:

Определение 7-1. **Элементарный электрический заряд** – вэпсблок или иной равный ему по мощности условный центральный источник приращения интенсивности эфирной информации.

Определение 7-2. **Пробный заряд** – микрообъект, в объёме которого содержится приемлемое для данного эксперимента количество избыточных элементарных зарядов одного знака.

Теперь перейдём к анализу смещений эфиронов в окрестности бесконечно длинного прямолинейного проводника с постоянным электрическим током (далее просто проводника с током), вызванных этим током. Поскольку проводник с током в целом электрически нейтрален, то смещения эфиронов в его окрестности не должны возникать, но, как известно из физики, они почему-то возникают. Следовательно, нам необходимо разобраться, почему проводник с током проявляет непонятные нам отношения с окружающими его эфиронами. Здесь необходимо сказать, что элементарные разноименные заряды проводника с током движутся в противоположном друг другу направлении с равными по абсолютной величине средними скоростями. Это утверждение явно противоречит общепринятому мнению о том, что в металлических проводниках движутся электроны, а положительные заряды по известным причинам неподвижны. Но пробные электрические заряды, оказавшиеся в окрестности проводника с током, как известно так не считают. Они так не считают, потому что в реальности происходит следующее:

Как было сказано выше, каждый объект Сам-Батэры (в том числе и электроны металлического проводника), независимо от своего состояния, зафиксирован в Самбатэрпространстве стационарным или динамическим фиксатором. Естественно, что практически все полные (занятые электронами) фиксаторы металлического проводника стационарны и являются элементами конкретных атомов. Но в большинстве металлов, в удалённых от атомных ядер областях пространства, общее количество электронных фиксаторов значительно больше количества самих электронов. Следовательно, в межатомном пространстве проводника «блуждают» не связанные с конкретными атомами (точнее возникают и «блуждают» в результате суперпозиции полей всех или группы атомов проводника) пустые динамические электронные фиксаторы, которые могут захватывать электроны стационарных фиксаторов внешних орбит конкретных атомов. Так в металле проводника появляются пустые стационарные электронные фиксаторы и блуждающие (динамические) электроны, первые из которых являются носителями элементарных позитивных зарядов, а вторые являются носителями элементарных негативных зарядов. Условимся далее пустые стационарные электронные фиксаторы называть активными позиблоками проводника, а полные блуждающие электронные фиксаторы активными негаблоками проводника. Естественно, что между активными позиблоками

проводника и активными негаблоками проводника происходит хаотичный обмен электронами, интенсивность которого зависит от температуры и др. внешних условий.

Если такой проводник замкнуть через ЭДС, то хаотический обмен электронами между активными позиблоками и активными негаблоками превращается в направленные потоки активных позиблоков и активных негаблоков навстречу друг другу. То есть произвольный динамический электронный фиксатор, перехватив электрон у стационарного фиксатора, мчится с ним в сторону позитивной клеммы, до тех пор, пока некий пустой стационарный фиксатор не перехватит у него электрон, и такие взаимные перехваты происходят вдоль всего проводника. Следовательно, в замкнутом через ЭДС проводнике полные динамические электронные фиксаторы скачкообразно движутся (со средней скоростью V_e) в сторону позитивной клеммы, а пустые стационарные электронные фиксаторы также скачкообразно движутся в сторону негативной клеммы (со средней скоростью $V_p = -V_e$). Т. е. активные негаб-локи и активные позиблоки движутся с одинаковой средней скоростью, но в противоположных друг к другу направлениях.

Во всяком случае, именно так выглядят их поля с точки зрения пробного заряда, расположенного в окрестности проводника. Если при дальнейшем анализе мы будем учитывать это обстоятельство, то поведение пробных зарядов в окрестности проводника с током нам станет понятным.

7.2 МАГНИТНАЯ СИСТЕМА КООРДИНАТ (МСК)

Для упрощения анализа магнитного поля проводника с током применим описанную ниже специальную систему координат (рис. 7.1), которую назовём магнитной системой координат (МСК).

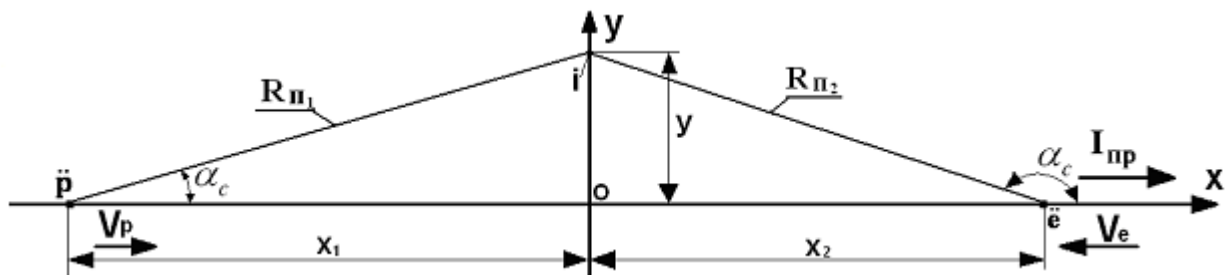


Рисунок 7.1. Проводник бесконечной длины с током

где:

- **Осью абсцисс** (осью ox), которую далее будем называть продольной осью, служит ось проводника с током. Направление продольной оси всегда совпадает с направлением тока в проводнике, т.е. если направление тока в проводнике меняется, то автоматически меняется и направление продольной оси. Направление тока, всегда совпадающее с направлением продольной оси, будем называть прямым продольным направлением. Направление противоположное прямому продольному направлению будем называть обратным продольным направлением.
- **Осью ординат** (осью oy), которую далее будем называть радиальной осью, служит перпендикуляр, опущенный из тривиального (до его смещения вызванного проводником с током) центра i анализируемого в текущий момент эфирона \ddot{E}_i , к продольной оси. Естественно, что началом координат служит точка пересечения этого перпендикуляра (точка o) с продольной осью. Поскольку фокус нашего анализа данного процесса вынужден иногда переключаться между тривиальными центрами разных эфиронов Самбатэпространства, то радиальная ось также смещается вслед за фокусом

нашего анализа. Направления, совпадающие с направлением радиальной оси, будем называть прямыми радиальными направлениями. Направления противоположные прямым радиальным направлениям будем называть обратными радиальными направлениями.

- **Ось аппликата**, которую далее будем называть тангенциальной осью, образует с продольной и радиальной осью правую прямоугольную систему координат. Направления, совпадающие с направлением тангенциальной оси, будем называть прямыми тангенциальными направлениями. Направления противоположные прямым тангенциальным направлениям будем называть обратными тангенциальными направлениями.
- $\dot{\mathbf{i}}(\mathbf{o}, \mathbf{y})$ – анализируемая в текущее мгновение точка Самбатэрпространства.
- $\ddot{\mathbf{p}}(\mathbf{x}_1, \mathbf{0})$ – активный позитивный элементарный заряд, пересекающий произвольную точку проводника $(\mathbf{x}_1, \mathbf{0})$ в текущий момент времени, который условимся далее называть позиблоком проводника.
- $\ddot{\mathbf{e}}(\mathbf{x}_2, \mathbf{0})$ – активный негативный элементарный заряд, пересекающий произвольную точку проводника $(\mathbf{x}_2, \mathbf{0})$ в текущий момент времени, который условимся далее называть негаблоком проводника.
- V_p – средняя скорость упорядоченно движущихся позиблоков проводника.
- V_e – средняя скорость упорядоченно движущихся негаблоков проводника.
- $I_{пр}$ – электрический ток в проводнике.

7.3 СМЕЩЕНИЯ ЭФИРОНОВ В ОКРЕСТНОСТИ ПРОВОДНИКА С ТОКОМ

Используя формулы (3-5)(стр.44) и (3-9)(стр.45), и с учётом того, что при скоростях $|\mathbf{V}_{\dot{\mathbf{p}}}| = |\mathbf{V}_{\ddot{\mathbf{e}}}| \ll c$ справедливы равенства $\cos \alpha_c \approx \cos \alpha_n$ и $\sin \alpha_c \approx \sin \alpha_n$, то для продольных и радиальных составляющих смещений эфиронов получаем следующие формулы:

$$\left. \begin{aligned} \Delta \bar{E}_{\dot{\mathbf{i}} \leftarrow \Delta \mathbf{I}_{\dot{\mathbf{p}}}}^x &= \frac{\bar{M}_{\dot{\mathbf{p}}}^{\text{эп}}}{4K_{\text{лз}} \pi^2 R_{\Pi}^2} \left(-2 \frac{V_p}{C} \cos^2 \alpha_c + \frac{V_p^2}{C^2} \cos \alpha_c \right) dx, \\ \Delta \tilde{E}_{\dot{\mathbf{i}} \leftarrow \Delta \mathbf{I}_{\tilde{\mathbf{p}}}}^x &= \frac{\tilde{M}_{\tilde{\mathbf{p}}}^{\text{эп}}}{4K_{\text{лз}} \pi^2 R_{\Pi}^2} \left(-2 \frac{V_p}{C} \cos^2 \alpha_c + \frac{V_p^2}{C^2} \cos \alpha_c \right) dx, \\ \Delta \bar{E}_{\ddot{\mathbf{i}} \leftarrow \Delta \mathbf{I}_{\ddot{\mathbf{e}}}}^x &= \frac{\bar{M}_{\ddot{\mathbf{e}}}^{\text{эп}}}{4K_{\text{лз}} \pi^2 R_{\Pi}^2} \left(-2 \frac{V_e}{C} \cos^2 \alpha_c + \frac{V_e^2}{C^2} \cos \alpha_c \right) dx, \\ \Delta \tilde{E}_{\ddot{\mathbf{i}} \leftarrow \Delta \mathbf{I}_{\tilde{\mathbf{e}}}}^x &= \frac{\tilde{M}_{\tilde{\mathbf{e}}}^{\text{эп}}}{4K_{\text{лз}} \pi^2 R_{\Pi}^2} \left(-2 \frac{V_e}{C} \cos^2 \alpha_c + \frac{V_e^2}{C^2} \cos \alpha_c \right) dx, \end{aligned} \right\} \quad (7-1)$$

$$\left. \begin{aligned}
\Delta \bar{E}_{\tilde{\Theta}_i \leftarrow \Delta I_{\tilde{p}}}^Y &= \frac{\bar{M}_{\tilde{p}}^{\text{эп}}}{4K_{\text{лз}} \pi^2 R_{\Pi}^2} \left(-2 \frac{V_p}{C} \cos \alpha_c \sin \alpha_c + \frac{V_p^2}{C^2} \sin \alpha_c \right) dx, \\
\Delta \tilde{E}_{\tilde{\Theta}_i \leftarrow \Delta I_{\tilde{p}}}^Y &= \frac{\tilde{M}_{\tilde{p}}^{\text{эп}}}{4K_{\text{лз}} \pi^2 R_{\Pi}^2} \left(-2 \frac{V_p}{C} \cos \alpha_c \sin \alpha_c + \frac{V_p^2}{C^2} \sin \alpha_c \right) dx, \\
\Delta \bar{E}_{\tilde{\Theta}_i \leftarrow \Delta I_{\tilde{e}}}^Y &= \frac{\bar{M}_{\tilde{e}}^{\text{эп}}}{4K_{\text{лз}} \pi^2 R_{\Pi}^2} \left(-2 \frac{V_e}{C} \cos \alpha_c \sin \alpha_c + \frac{V_e^2}{C^2} \sin \alpha_c \right) dx, \\
\Delta \tilde{E}_{\tilde{\Theta}_i \leftarrow \Delta I_{\tilde{e}}}^Y &= \frac{\tilde{M}_{\tilde{e}}^{\text{эп}}}{4K_{\text{лз}} \pi^2 R_{\Pi}^2} \left(-2 \frac{V_e}{C} \cos \alpha_c \sin \alpha_c + \frac{V_e^2}{C^2} \sin \alpha_c \right) dx,
\end{aligned} \right\} \quad (7-2)$$

где:

- $\Delta \bar{E}_{\tilde{\Theta}_i \leftarrow \Delta I_{\tilde{p}}}^x$ ($\Delta \tilde{E}_{\tilde{\Theta}_i \leftarrow \Delta I_{\tilde{p}}}^x$) – продольная составляющая смещения произвольного лице-
рона $\tilde{\Theta}_i$ (тенерона $\tilde{\Theta}_i$), вызванного позитивным лицевым (теневым) элементом то-
ка $\Delta I_{\tilde{p}}$ ($\Delta I_{\tilde{p}}$) проводника,
- $\Delta \bar{E}_{\tilde{\Theta}_i \leftarrow \Delta I_{\tilde{e}}}^x$ ($\Delta \tilde{E}_{\tilde{\Theta}_i \leftarrow \Delta I_{\tilde{e}}}^x$) – продольная составляющая смещения произвольного лице-
рона $\tilde{\Theta}_i$ (тенерона $\tilde{\Theta}_i$), вызванного негативным лицевым (теневым) элементом тока
 $\Delta I_{\tilde{e}}$ ($\Delta I_{\tilde{e}}$) проводника,
- $\Delta \bar{E}_{\tilde{\Theta}_i \leftarrow \Delta I_{\tilde{p}}}^Y$ ($\Delta \tilde{E}_{\tilde{\Theta}_i \leftarrow \Delta I_{\tilde{p}}}^Y$) – радиальная составляющая смещения произвольного лице-
рона $\tilde{\Theta}_i$ (тенерона $\tilde{\Theta}_i$), вызванного позитивным лицевым (теневым) элементом то-
ка $\Delta I_{\tilde{p}}$ ($\Delta I_{\tilde{p}}$) проводника,
- $\Delta \bar{E}_{\tilde{\Theta}_i \leftarrow \Delta I_{\tilde{e}}}^Y$ ($\Delta \tilde{E}_{\tilde{\Theta}_i \leftarrow \Delta I_{\tilde{e}}}^Y$) – радиальная составляющая смещения произвольного лице-
рона $\tilde{\Theta}_i$ (тенерона $\tilde{\Theta}_i$), вызванного негативным лицевым (теневым) элементом тока
 $\Delta I_{\tilde{e}}$ ($\Delta I_{\tilde{e}}$) проводника,
- $\bar{M}_{\tilde{p}}^{\text{эп}} = z_p r_0 s \bar{M}_{\tilde{p}}$ ($\tilde{M}_{\tilde{p}}^{\text{эп}} = z_p r_0 s \tilde{M}_{\tilde{p}}$) – суммарная лицевая (теневая) мощность всех
активных позиблоков элемента проводника. Условимся далее называть её элемен-
том позитивной лицевой (теневой) мощности проводника,
- $\bar{M}_{\tilde{e}}^{\text{эп}} = z_e r_0 s \bar{M}_{\tilde{e}}$ ($\tilde{M}_{\tilde{e}}^{\text{эп}} = z_e r_0 s \tilde{M}_{\tilde{e}}$) – суммарная лицевая (теневая) мощность всех ак-
тивных негаблоков элемента проводника. Условимся далее называть её элементом
негативной лицевой (теневой) мощности проводника,
- z_p (z_e) – количество активных позиблоков (негаблоков) в единице объёма провод-
ника.
- s – площадь поперечного сечения проводника с током,
- $V_{e(p)}$ – скорость движения активных негаблоков (позиблоков) проводника с током,
- $\bar{M}_{\tilde{p}}$ ($\tilde{M}_{\tilde{p}}$) – элементарная лицевая (теневая) мощность позиблока,
- $\bar{M}_{\tilde{e}}$ ($\tilde{M}_{\tilde{e}}$) – элементарная лицевая (теневая) мощность негаблока,

- $R_{\Pi}^2 = x^2 + y^2$ – квадрат модуля радиус-вектора положения (см. [рис.3.2](#), стр.43), т. е. расстояния между текущим элементом проводника с током и анализируемым лицероном $\bar{\Theta}_i$ (тенероном $\tilde{\Theta}_i$), расположенным на расстоянии ($y = \text{const}$) от проводника,
- α_c и α_{Π} – угол смещения и угол положения (см. [рис.3.2](#), стр.43),
- $dx = r_0$ – длина элемента проводника.

Поскольку в этой главе нам придётся часто оперировать понятием электрический ток проводника, то определим это понятие в свете данной гипотезы.

Определение 7-3. Полный электрический ток проводника – физическая величина равная произведению количества активных вэпсблоков пересекающих поперечное сечение проводника за единицу времени на сумму абсолютных величин элементарной лицевой и элементарной теневого мощности вэпсблока.

Электрический ток проводника всегда положителен относительно магнитной системы координат, а его величина определяется следующим выражением:

$$I = V_{вб} M_{вб}^{эп},$$

где:

$V_{вб} = |V_{e(p)}|$ – скорость движения активных негаблоков (позиблоков) проводника с током,

$M_{вб}^{эп} = |\bar{M}_{\bar{p}}^{эп}| + |\tilde{M}_{\tilde{p}}^{эп}| + |\bar{M}_{\bar{e}}^{эп}| + |\tilde{M}_{\tilde{e}}^{эп}|$ – суммарная мощность активных вэпсблоков элемента проводника. Условимся далее называть её элементом полной мощности проводника с током.

Теперь определим выражения для продольных и поперечных смещений эфионов в окрестности проводника с током, обусловленных движением его активных позиблоков и активных негаблоков. Тогда используя формулу (7.1) и учитывая равенство $\cos \alpha_c = \frac{-x}{\sqrt{x^2 + y^2}}$,

получаем следующую формулу для продольных смещений лицеронов (тенеронов):

$$\begin{aligned} E_{\bar{\Theta}_i \leftarrow \bar{\Gamma}_{\bar{e}(\bar{p})}}^x &= \int_{-\infty}^{+\infty} \Delta E_{\bar{\Theta}_i \leftarrow \bar{\Gamma}_{\bar{e}(\bar{p})}}^x dx = \frac{V_{\bar{e}(\bar{p})}}{C} \frac{M_{\bar{e}(\bar{p})}^{эп}}{4K_{лз}\pi^2} \times \\ &\times \left[-2 \int_{-\infty}^{+\infty} \frac{x^2}{(x^2 + y^2)^2} dx - \frac{V_{\bar{e}(\bar{p})}}{C} \int_{-\infty}^{+\infty} \frac{x}{(x^2 + y^2)^{\frac{3}{2}}} dx \right] = -\frac{V_{\bar{e}(\bar{p})}}{C} \frac{M_{\bar{e}(\bar{p})}^{эп}}{4K_{лз}y\pi}, \end{aligned}$$

или:

$$\left. \begin{aligned} \bar{E}_{\bar{\Theta}_i \leftarrow \bar{\Gamma}_{\bar{p}}}^x &= -\frac{V_p}{C} \frac{\bar{M}_{\bar{p}}^{эп}}{4K_{лз}y\pi}, & \tilde{E}_{\tilde{\Theta}_i \leftarrow \tilde{\Gamma}_{\tilde{p}}}^x &= -\frac{V_p}{C} \frac{\tilde{M}_{\tilde{p}}^{эп}}{4K_{лз}y\pi}, \\ \bar{E}_{\bar{\Theta}_i \leftarrow \bar{\Gamma}_{\bar{e}}}^x &= -\frac{V_e}{C} \frac{\bar{M}_{\bar{e}}^{эп}}{4K_{лз}y\pi}, & \tilde{E}_{\tilde{\Theta}_i \leftarrow \tilde{\Gamma}_{\tilde{e}}}^x &= -\frac{V_e}{C} \frac{\tilde{M}_{\tilde{e}}^{эп}}{4K_{лз}y\pi}. \end{aligned} \right\} \quad (7-3)$$

Складывая позитивные и негативные продольные составляющие смещений лицерона $\bar{\mathfrak{E}}_i$ (тенерона $\tilde{\mathfrak{E}}_i$), и учитывая равенства $V_{\mathfrak{e}} = -V_{\mathfrak{p}}$ и $\ddot{M}_{\mathfrak{e}}^{\text{эп}} = -\ddot{M}_{\mathfrak{p}}^{\text{эп}}$, получаем следующее выражение:

$$\ddot{E}_{\bar{\mathfrak{E}}_i \leftarrow \bar{\mathfrak{I}}}^x = \ddot{E}_{\bar{\mathfrak{E}}_i \leftarrow \bar{\mathfrak{I}}_{\mathfrak{p}}}^x + \ddot{E}_{\bar{\mathfrak{E}}_i \leftarrow \bar{\mathfrak{I}}_{\mathfrak{e}}}^x = -\frac{V_{\mathfrak{p}}}{C} \frac{\ddot{M}_{\mathfrak{p}}^{\text{эп}}}{4K_{\text{лз}} y \pi} - \frac{V_{\mathfrak{e}}}{C} \frac{\ddot{M}_{\mathfrak{e}}^{\text{эп}}}{4K_{\text{лз}} y \pi} = -\frac{V_{\mathfrak{p}} \ddot{M}_{\mathfrak{p}}^{\text{эп}}}{2C\pi K_{\text{лз}} y},$$

или:

$$\bar{E}_{\bar{\mathfrak{E}}_i \leftarrow \bar{\mathfrak{I}}}^x = -\frac{V_{\mathfrak{p}} \bar{M}_{\mathfrak{p}}^{\text{эп}}}{2C\pi K_{\text{лз}} y}, \quad \tilde{E}_{\tilde{\mathfrak{E}}_i \leftarrow \tilde{\mathfrak{I}}}^x = -\frac{V_{\mathfrak{p}} \tilde{M}_{\mathfrak{p}}^{\text{эп}}}{2C\pi K_{\text{лз}} y}, \quad (7-4)$$

где:

- $\ddot{E}_{\bar{\mathfrak{E}}_i \leftarrow \bar{\mathfrak{I}}}^x$ – продольная составляющая смещения произвольного лицерона $\bar{\mathfrak{E}}_i$ (тенерона $\tilde{\mathfrak{E}}_i$), вызванного полным лицевым $\bar{\mathfrak{I}}$ (полным тeneвым $\tilde{\mathfrak{I}}$) электрическим током проводника,
- $\ddot{E}_{\bar{\mathfrak{E}}_i \leftarrow \bar{\mathfrak{I}}_{\mathfrak{e}}}^x$ – продольная составляющая смещения произвольного лицерона $\bar{\mathfrak{E}}_i$ (тенерона $\tilde{\mathfrak{E}}_i$), вызванного негативным лицевым $\mathfrak{I}_{\mathfrak{e}}$ (негативным тeneвым $\mathfrak{I}_{\mathfrak{e}}$) электрическим током проводника,
- $\ddot{E}_{\bar{\mathfrak{E}}_i \leftarrow \bar{\mathfrak{I}}_{\mathfrak{p}}}^x$ – продольная составляющая смещения произвольного лицерона $\bar{\mathfrak{E}}_i$ (тенерона $\tilde{\mathfrak{E}}_i$), вызванного позитивным лицевым $\mathfrak{I}_{\mathfrak{p}}$ (позитивным тeneвым $\mathfrak{I}_{\mathfrak{p}}$) электрическим током проводника,

Используя формулу (7.2) и учитывая равенства $\cos \alpha_{\mathfrak{e}} = \frac{-x}{\sqrt{x^2 + y^2}}$ и $\sin \alpha_{\mathfrak{e}} = \frac{y}{\sqrt{x^2 + y^2}}$,

получаем следующую формулу для радиальных смещений лицеронов (тенеронов):

$$\begin{aligned} \ddot{E}_{\bar{\mathfrak{E}}_i \leftarrow \bar{\mathfrak{I}}_{\mathfrak{e}}(\mathfrak{p})}^y &= \int_{-\infty}^{+\infty} \Delta E_{\bar{\mathfrak{E}}_i \leftarrow \bar{\mathfrak{I}}_{\mathfrak{e}}(\mathfrak{p})}^y dx = \frac{V_{\mathfrak{e}}(\mathfrak{p})}{C} \frac{M_{\mathfrak{e}}^{\text{эп}}(\mathfrak{p})}{4K_{\text{лз}} \pi^2} \times \\ &\times \int_{-\infty}^{+\infty} \left[-2 \frac{(-x)y}{(x^2 + y^2)^2} + \frac{V_{\mathfrak{e}}(\mathfrak{p})y}{C(x^2 + y^2)^{\frac{3}{2}}} \right] dx = \frac{(V_{\mathfrak{e}}(\mathfrak{p}))^2 M_{\mathfrak{e}}^{\text{эп}}(\mathfrak{p})}{2K_{\text{лз}} \pi^2 C^2 y}, \end{aligned}$$

или:

$$\left.
\begin{aligned}
\overline{E}_{\tilde{\mathcal{I}}_i \leftarrow \bar{\mathcal{I}}_p}^Y &= -\frac{V_p^2}{C^2} \frac{\overline{M}_p^{\text{эп}}}{2K_{\text{лз}} y \pi^2}, \\
\tilde{E}_{\tilde{\mathcal{I}}_i \leftarrow \tilde{\mathcal{I}}_p}^Y &= -\frac{V_p^2}{C^2} \frac{\tilde{M}_p^{\text{эп}}}{2K_{\text{лз}} y \pi^2}, \\
\overline{E}_{\tilde{\mathcal{I}}_i \leftarrow \bar{\mathcal{I}}_e}^Y &= -\frac{V_e^2}{C^2} \frac{\overline{M}_e^{\text{эп}}}{2K_{\text{лз}} y \pi^2}, \\
\tilde{E}_{\tilde{\mathcal{I}}_i \leftarrow \tilde{\mathcal{I}}_e}^Y &= -\frac{V_e^2}{C^2} \frac{\tilde{M}_e^{\text{эп}}}{2K_{\text{лз}} y \pi^2}.
\end{aligned}
\right\} \quad (7-5)$$

Складывая позитивные и негативные радиальные составляющие смещений лицерона $\bar{\mathcal{I}}_i$ (тенерона $\tilde{\mathcal{I}}_i$), и учитывая равенства $(V_p)^2 = (V_e)^2$ и $\ddot{M}_e^{\text{эп}} = -\ddot{M}_p^{\text{эп}}$, получаем следующее выражение:

$$\ddot{E}_{\tilde{\mathcal{I}}_i \leftarrow \bar{\mathcal{I}}}^Y = \ddot{E}_{\tilde{\mathcal{I}}_i \leftarrow \bar{\mathcal{I}}_p}^Y + \ddot{E}_{\tilde{\mathcal{I}}_i \leftarrow \bar{\mathcal{I}}_e}^Y = 0, \quad (7-6)$$

где:

- $\ddot{E}_{\tilde{\mathcal{I}}_i \leftarrow \bar{\mathcal{I}}}^Y$ – радиальная составляющая смещения произвольного лицерона $\bar{\mathcal{I}}_i$ (тенерона $\tilde{\mathcal{I}}_i$), вызванного полным лицевым $\bar{\mathcal{I}}$ (полным тeneвым $\tilde{\mathcal{I}}$) электрическим током проводника,
- $\ddot{E}_{\tilde{\mathcal{I}}_i \leftarrow \bar{\mathcal{I}}_e}^Y$ – радиальная составляющая смещения произвольного лицерона $\bar{\mathcal{I}}_i$ (тенерона $\tilde{\mathcal{I}}_i$), вызванного негативным лицевым $\bar{\mathcal{I}}_e$ (негативным тeneвым $\tilde{\mathcal{I}}_e$) электрическим током проводника,
- $\ddot{E}_{\tilde{\mathcal{I}}_i \leftarrow \bar{\mathcal{I}}_p}^Y$ – радиальная составляющая смещения произвольного лицерона $\bar{\mathcal{I}}_i$ (тенерона $\tilde{\mathcal{I}}_i$), вызванного позитивным лицевым $\bar{\mathcal{I}}_p$ (позитивным тeneвым $\tilde{\mathcal{I}}_p$) электрическим током проводника.

Из формул (7-3) и (7-5) следует, что равноудалённые от оси проводника эфиры смещаются относительно магнитной системы координат одинаково как в продольном, так и в радиальном направлении. Следовательно, проводник с током вызывает в окружающем его пространстве продольные и радиальные цилиндрические поля смещений эфиронов, т.е. равносмещённые эфиры образуют цилиндрические слои бесконечно малой (но не менее одного диаметра эфирыона) толщины. Центральной осью этих цилиндрических слоев служит ось проводника с током. Из формул (7-3) и (7-5), следует также, что между радиальными и продольными составляющими смещений имеются существенные количественные отличия. Но кроме количественных отличий между ними имеются ещё и существенные качественные отличия, о которых пойдёт речь в следующем абзаце.

Радиальные смещения эфиронов (как прямые, так и обратные) являются центрально-цилиндрическими, т. е. все они направлены к одной центральной оси или от нее, что приводит к самоблокированию эфиронов у этой оси. В связи с этим эфиры смещаются как отно-

сительно Самбатэрсреды (абсолютные смещения), так и относительно друг друга (относительные смещения), что характерно для всех центральных смещений.

Теперь проанализируем продольные смещения эфионов. Используя формулу (2-15) (стр.31), приводим выражение (7-4) к следующему виду:

$$E_{\ddot{\mathfrak{A}}_i \leftarrow \mathfrak{I}}^x = \frac{\Delta \ddot{I}_x^{\text{пер}}}{K_{\text{лз}}}, \quad (7-7)$$

где:

- $E_{\ddot{\mathfrak{A}}_i \leftarrow \mathfrak{I}}^x$ – продольные смещения лицеронов (тенеронов) (см. формулу (7-4)),
- $\Delta \ddot{I}_x^{\text{пер}} = -\frac{V_{\ddot{\mathfrak{p}}} M_{\ddot{\mathfrak{p}}}^{\text{эп}}}{C 2\pi u}$ – приращение интенсивности продольного переноса эфирной информации через эфиронокрестность лицерона $\bar{\mathfrak{A}}_i$ (тенерона $\tilde{\mathfrak{A}}_i$) вызванное полным лицевым $\bar{\mathfrak{I}}$ (полным теневым $\tilde{\mathfrak{I}}$) током в проводнике.

Как говорилось выше при спонтанном возникновении эфирного давления на эфионы, они немедленно компенсируют его своим движением относительно Самбатэрсреды с нужной скоростью и в нужном направлении. Если возникшие таким образом смещения эфионов приводят к изменению взаимоотношений между ними, то со временем изменяющиеся взаимоотношения между эфионами достигнут такого уровня, при котором они скомпенсируют изначально возникшее эфирное давление на них и их смещения прекратятся. Если же смещения эфионов вызываемые проводником с током не меняют взаимоотношения между эфионами, то такие смещения проявляются как непрерывные движения эфионов, которые не могут прекратиться, т. к. они сами по себе компенсируют возникшие эфирные давления на эфионы.

Поскольку приращение интенсивности продольного переноса эфирной информации $\Delta \ddot{I}_x^{\text{пер}}$ одинаково во всех точках каждого конкретного цилиндрического слоя, то все эфионы этого слоя одинаково смещаются. И поскольку осью всех цилиндрических слоёв служит ось замкнутой электрической цепи, то все образующие этих слоев, вдоль которых смещаются эфионы, также замкнуты и параллельны этой оси. Следовательно, средние продольноцилиндрические смещения не меняют взаимоотношения между эфионами цилиндрического слоя, т. е. между ними относительных смещений не возникает и их самоблокировка исключена. Во избежание нарушения равновесия эфирных давлений на эфионы, их продольноцилиндрические смещения вынуждены непрерывно продолжаться, т. е. эфионы вынуждены непрерывно циркулировать вдоль образующих данного цилиндрического слоя. Здесь следует сказать, что, не смотря на то, что активные вэпсблоки проводника движутся с постоянной средней скоростью $V_{\text{вб}}$, их движение (см. начало этой главы) носит импульсивный характер. Соответственно, продольноцилиндрические смещения эфионов также носит импульсивный характер, т. е. начавшись сразу же после возникновения электрического тока в проводнике, продолжают импульсивно смещаться с постоянной средней скоростью до тех пор, пока этот ток не исчезнет. Следовательно, постоянный электрический ток в проводнике вызывает постоянный поток лицеронов в обратном продольном направлении и поток тенеронов в прямом продольном направлении. В связи с вышесказанным привожу следующее определение.

Определение 7-4. Эфирный поток (Эфирпоток) вдоль образующих замкнутого цилиндрического слоя Самбатэпространства – движение лицеронов (тенеронов) данного цилиндрического слоя по его образующим с некоторой постоянной средней скоростью относительно Самбатэрсреды. При этом скорости лицеронов и тенеронов относительно Самбатэрсреды вызванные током в проводнике равны друг другу по абсолютной величине и противоположны по направлению. Условимся далее называть продольную скорость лицеро-

нов y^{Γ^0} эфирпотока относительно Самбатэрсреды лицевой скоростью y^{Γ^0} эфирпотока и обозначать символом $\bar{V}_{\Pi y}^x$, а аналогичную ей скорость тенеронов называть теневого скоростью y^{Γ^0} эфирпотока и обозначать символом $\tilde{V}_{\Pi y}^x$. Следовательно, эфирпоток структурно состоит из лицевого и теневого эфирпотоков (бывают эфирпотоки, в состав которых могут входить и хвостовые эфирпотоки).

В частности эфирпотоки прямолинейного проводника с током, которые условимся называть электрическими эфирпотоками, образуют цилиндрические поверхности с общей центральной осью, совмещённой с осью проводника. Множество всех лицевых (теневого) эфирпотоков проводника с током образуют поле, которое назовём лицевым (теневого) эфирпотоковым полем или электровращением эфира проводника с током. Эфирпотоковые поля могут возникать не только в окрестности проводника с током, но и в связи с другими процессами. Например, рассмотренное нами в главах 4 и 5 сэпсвращение эфира является эфирпотоковым полем, и это как раз, то эфирпотоковое поле, в состав которого входят и хвостовые эфирпотоки.

Важнейшим свойством эфирпотоковых полей проводника с током является то, что скорости их смежных эфирпотоков не равны друг другу. Именно эти межслойные приращения скоростей и компенсируют приращения интенсивности эфирной информации, вызываемые проводником с током (см. опр. 2-29(стр.26 и формулу (2-9)(стр.26)). Следовательно, продольные составляющие смещений (см. (7-4)(стр.113)), лицеронов (тенеронов) проявляются как относительные динамические смещения между двумя прилегающими друг к другу эфирпотоками проводника с током. С одной стороны приращение лицевой и теневого продольной скорости y^{Γ^0} эфирпотока относительно $(y+1)^{\Gamma^0}$ эфирпотока (т. е. межслойное приращение скоростей эфирпотоков в обратной радиальной последовательности), которое условимся далее называть динамическим эфирпотоковым смещением обратной последовательности y^{Γ^0} эфирпотока и обозначать символом $\Delta \bar{V}_{\Pi y}^x$ и $\Delta \tilde{V}_{\Pi y}^x$ соответственно. С другой стороны межслойное приращение лицевой (теневого) продольной скорости y^{Γ^0} эфирпотока относительно $(y-1)^{\Gamma^0}$ эфирпотока (т. е. межслойное приращение скоростей эфирпотоков в прямой радиальной последовательности), которое условимся далее называть динамическим эфирпотоковым смещением прямой последовательности y^{Γ^0} эфирпотока и обозначать символом $\Delta \bar{V}_{\Pi y}^x$ ($\Delta \tilde{V}_{\Pi y}^x$).

Динамическое эфирпотоковое смещение прямой (обратной) последовательности y^{Γ^0} эфирпотока проводника с током равно продольной составляющей смещений эфиронов y^{Γ^0} эфирпотока (см. (7-4), стр.113) взятое с противоположным (своим) знаком.

В связи с вышесказанным привожу следующее определение.

Определение 7-5. а). Динамическое эфирпотоковое смещение прямой последовательности y^{Γ^0} эфирпотока – приращение лицевой (теневого) скорости лицевого (теневого) y^{Γ^0} эфирпотока относительно лицевого (теневого) $(y-1)^{\Gamma^0}$ эфирпотока проводника с током.

б). Динамическое эфирпотоковое смещение обратной последовательности y^{Γ^0} эфирпотока – приращение лицевой (теневого) скорости лицевого (теневого) y^{Γ^0} эфирпотока относительно лицевого (теневого) $(y+1)^{\Gamma^0}$ эфирпотока проводника с током.

На основании вышесказанного для достаточно больших номеров эфирпотоков ($N \gg y$), получаем следующую формулу:

$$\begin{aligned}
\overline{E}_{\Pi_y^\downarrow}^x &= \Delta \overline{V}_{\Pi_y^\downarrow}^x = \overline{V}_{\Pi_y}^x - \overline{V}_{\Pi_{y+1}}^x = \overline{E}_{\Xi_i \leftarrow \bar{I}}^x = -\frac{V_p \overline{M}_p^{\text{эп}}}{2C\pi K_{\text{лз.у}}}, \\
\tilde{E}_{\Pi_y^\downarrow}^x &= \Delta \tilde{V}_{\Pi_y^\downarrow}^x = \tilde{V}_{\Pi_y}^x - \tilde{V}_{\Pi_{y+1}}^x = \tilde{E}_{\Xi_i \leftarrow \tilde{I}}^x = -\frac{V_p \tilde{M}_p^{\text{эп}}}{2C\pi K_{\text{лз.у}}}, \\
\overline{E}_{\Pi_y^\uparrow}^x &= \Delta \overline{V}_{\Pi_y^\uparrow}^x = \overline{V}_{\Pi_y}^x - \overline{V}_{\Pi_{y-1}}^x = -\overline{E}_{\Xi_i \leftarrow \bar{I}}^x = \frac{V_p}{2C} \frac{\overline{M}_p^{\text{эп}}}{\pi K_{\text{лз.у}}}, \\
\tilde{E}_{\Pi_y^\uparrow}^x &= \Delta \tilde{V}_{\Pi_y^\uparrow}^x = \tilde{V}_{\Pi_y}^x - \tilde{V}_{\Pi_{y-1}}^x = -\tilde{E}_{\Xi_i \leftarrow \tilde{I}}^x = \frac{V_p}{2C} \frac{\tilde{M}_p^{\text{эп}}}{\pi K_{\text{лз.у}}},
\end{aligned} \quad (7-8)$$

где:

- y – радиус y^{Γ_0} цилиндрического эфирпотока в квантах расстояния,
- $y+1$ – радиус $(y+1)^{\Gamma_0}$ цилиндрического эфирпотока в квантах расстояния,
- $y-1$ – радиус $(y-1)^{\Gamma_0}$ цилиндрического эфирпотока в квантах расстояния,
- $\ddot{E}_{\Pi_y^\downarrow}^x$ – лицевое (теневое) динамическое эфирпотоковое смещение обратной последовательности y^{Γ_0} эфирпотока проводника с током,
- $\ddot{E}_{\Pi_y^\uparrow}^x$ – лицевое (теневое) динамическое эфирпотоковое смещение прямой последовательности y^{Γ_0} эфирпотока проводника с током,
- $\Delta \overline{V}_{\Pi_y^\uparrow}^x$ ($\Delta \tilde{V}_{\Pi_y^\uparrow}^x$) –приращение прямой последовательности лицевой (теневой) продольной скорости y^{Γ_0} эфирпотока проводника с током,
- $\Delta \overline{V}_{\Pi_y^\downarrow}^x$ ($\Delta \tilde{V}_{\Pi_y^\downarrow}^x$) – приращение обратной последовательности лицевой (теневой) продольной скорости y^{Γ_0} эфирпотока проводника с током,
- $\ddot{V}_{\Pi_y}^x$ – лицевая (теневая) скорость относительно Самбатэрсреды произвольного y^{Γ_0} лицевого (теневого) эфирпотока проводника с током,
- $\ddot{V}_{\Pi_{y+1}}^x$ – лицевая (теневая) скорость относительно Самбатэрсреды произвольного $(y+1)^{\Gamma_0}$ лицевого (теневого) эфирпотока проводника с током,
- $\ddot{V}_{\Pi_{y-1}}^x$ – лицевая (теневая) скорость относительно Самбатэрсреды произвольного $(y-1)^{\Gamma_0}$ лицевого (теневого) эфирпотока проводника с током,
- $\ddot{E}_{\Xi_i \leftarrow \bar{I}}^x$ – лицевая (теневая) продольная составляющая смещения произвольного эфирина $\ddot{\Xi}_i$ лицевого (теневого) y^{Γ_0} эфирпотока, вызванного полным лицевым \bar{I} (полным теневым \tilde{I}) электрическим током проводника (см. формулу 7-4),
- Здесь все эфирпотоки, начиная от проводника с током (**№1**) и заканчивая бесконечно удалённым эфирпотоком (**№∞**), условно пронумерованы.

Из (7-4) и (7-8) следует, что знак продольной составляющей смещения произвольного эфирина $\ddot{\Xi}_i$ y^{Γ_0} эфирпотока, вызванного полным лицевым \bar{I} (теневым \tilde{I}) током проводника (см. (7-4)(стр.113)), совпадает со знаком лицевого (теневого) динамического эфирпотоко-

вого смещения обратной последовательности $y^{г0}$ эфирпотока. Это объясняется тем обстоятельством, что (7-4) определяет абсолютное смещение произвольного эфирона $y^{г0}$ эфирпотока относительно массива (см. ниже), скорость которого равна скорости последующего $(y+1)^{г0}$ эфирпотока, а (7-8) определяет приращение прямой последовательности лицевой (теневой) скорости $y^{г0}$ эфирпотока. Следовательно, для анализа продольных смещений эфиронов воспользуемся динамическими эфирпотоковыми смещениями прямой последовательности,

Из вышесказанного следует что лицевую (теневую) скорость $(y+1)^{г0}$ эфирпотока проводника с током можно выразить следующими формулами:

$$\begin{aligned} \ddot{V}_{\Pi_{y+1}}^X &= \ddot{V}_{\Pi_{\infty}}^X + \ddot{E}_{\Pi_{\infty-1}}^X + \dots + \ddot{E}_{\Pi_{y+2}}^X + \ddot{E}_{\Pi_{y+1}}^X = \ddot{V}_{\text{MAC}_{y+1}}^X, \\ &\text{или :} \\ \ddot{V}_{\Pi_{y+1}}^X &= \ddot{V}_{\Pi_{\infty}}^X - \ddot{E}_{\Pi_{\infty}}^X - \dots - \ddot{E}_{\Pi_{y+3}}^X - \ddot{E}_{\Pi_{y+2}}^X = \ddot{V}_{\text{MAC}_{y+1}}^X, \end{aligned} \quad \left. \vphantom{\ddot{V}_{\Pi_{y+1}}^X} \right\} \quad (7-9)$$

т. е лицевую (теневую) скорость $\ddot{V}_{\Pi_{y+1}}^X = \ddot{V}_{\text{MAC}_{y+1}}^X$ можно рассматривать как общее слагаемое для скоростей всех лицевых (теневых) эфирпотоков, начиная с эфирпотока №1 и заканчивая эфирпотоком № $(y+1)$, т. е. это общая лицевая (теневая) скорость для $(y+1)^{г0}$ скоростного эфирпотокового массива. Следовательно, скорость любого произвольно выбранного эфирпотока № k проводника с током является общим слагаемым для скоростей всех эфирпотоков, номера которых меньше или равны номеру данного эфирпотока и которые образуют скоростной эфирпотоковый массив № k . Тогда:

$$\ddot{V}_{\Pi_y}^X = \ddot{V}_{\text{MAC}_{y+1}}^X + \ddot{E}_{\Pi_y}^X = \ddot{V}_{\text{MAC}_{y+1}}^X - \ddot{E}_{\Pi_y}^X = \ddot{V}_{\text{MAC}_{y+1}}^X - \frac{V_p \ddot{M}_{\text{р}}^{\text{эп}}}{2C\pi K_{\text{лз}} y}.$$

Как видим лицевая (теневая) скорость $\ddot{V}_{\Pi_y}^X$ произвольного лицевого (теневого) эфирпотока № y состоит из двух слагаемых. Первое слагаемое $\ddot{V}_{\Pi_{y+1}}^X = \ddot{V}_{\text{MAC}_{y+1}}^X$ является общей составляющей скоростей всех элементов лицевого (теневого) скоростного эфирпотокового массива $\ddot{M}_{\text{ср}}^{y+1}$. Второе слагаемое $\ddot{E}_{\Pi_y}^X$ – лицевое (теневое) динамическое эфирпотоковое смещение обратной последовательности $y^{г0}$ эфирпотока проводника с током (относительно лицевого (теневого) массива $\ddot{M}_{\text{ср}}^{y+1}$). Или иначе второе слагаемое равно лицевому (теневому) динамическому эфирпотоковому смещению прямой последовательности $y^{г0}$ эфирпотока (см. (7-8)) взятому с противоположным знаком (это справедливо для достаточно больших y , когда $y-1 \approx y \approx y+1$).

7.4 ПРОБНЫЕ ЗАРЯДЫ В ОКРЕСТНОСТИ ПРОВОДНИКА С ТОКОМ

Проанализируем следующие пять крайних вариантов отношений между пробным электрическим зарядом и проводником с током:

Первый вариант – пробный заряд неподвижен относительно проводника с током. В этом случае согласно формулам (7-6)(стр.114) прямые и обратные радиальные смещения эфиронов вызванные током в проводнике компенсируют друг друга. Следовательно, в вэспб-

локах пробного заряда радиальных эксцентриситетов не возникает. Постоянные продольные эфирпотоки также не вызывает эксцентриситетов в вэпсблоках пробного заряда, так как их собственные вэсполя быстро адаптируются к любому неизменному во времени движению эфирионов. При этом продольные потоки эфирионов свободно пересекают пробный заряд не вызывая в его вэпсблоках эксцентриситетов, т. е. заряд и его поле воспринимают пространство как тривиальное. Этот процесс подобен процессу равномерного прямолинейного движения тел с той лишь разницей, что здесь лицероны и тенероны равномерно движутся в противоположных направлениях. Следовательно, при первом варианте отношений между пробным зарядом и проводником с током, пробный заряд никак не реагирует на проводник с током.

Второй вариант – пробный заряд движется в прямом или обратном радиальном направлении относительно проводника с током, при этом лицевые и тенивые скорости, пересекаемых им эфирпотоков, меняются по абсолютной величине (не меняя своего знака) со скоростью прямо пропорциональной скорости заряда. Как мы уже знаем ускоренное движение эфирионов это их реакция на приращение интенсивности эфирной информации, т. е. на эфирное давление на них. С другой стороны ускоренные продольные эфирпотоки вызывают продольные приращения интенсивности переноса эфирной информации через вэпсблоки пробного заряда, пересекающего эти эфирпотоки в текущий момент, т. е. вэпсблоки пробного заряда испытывают эфирное давление со стороны эфирпотоков. При этом, в связи с конечностью скорости распространения эфирной информации, поля вэпсблоков пробного заряда вынуждены непрерывно адаптироваться к постоянно меняющейся скорости продольных эфирпотоков пересекающих пробный заряд. Во время адаптации полей вэпсблоков пробного заряда в них возникают эксцентриситеты сонаправленные эфирному давлению на их вершины. Следовательно, движущийся в радиальном направлении пробный заряд испытывает ускорение, соответствующее по величине и направлению этому эксцентриситету (см. [опр. 3-47](#), стр.38).

Используя формулы (7-8)(стр117.), получим следующее выражение:

$$\frac{d\ddot{V}_{\Pi y \leftrightarrow 3}^X}{dt} = \frac{d\ddot{V}_{\Pi y \leftrightarrow 3}^X}{dy} \frac{dy}{dt} = \ddot{E}_{\Pi y}^X V_3^Y = \frac{V_p \ddot{M}_{\tilde{p}}^{\text{эп}} V_3^Y}{2C\pi K_{\text{лз}} y}, \quad (7-10)$$

где:

- $\frac{d\ddot{V}_{\Pi y \leftrightarrow 3}^X}{dt}$ – Продольное ускорение лицевых (тенивых) эфирпотоков относительно движущегося в радиальном направлении заряда,
- V_3^Y – радиальная скорость пробного заряда,

Тогда для смещений вершин и впадин вэпсблоков пробного заряда (см. [опр. 3-27, ..., 3-30](#), стр.35), получим следующие выражения:

$$\begin{aligned} \overline{E}_{\Pi 6 \leftarrow \tilde{I}}^X &= T_{\text{ад}} \overline{E}_{\Pi y}^X V_3^Y = T_{\text{ад}} \frac{V_p \overline{M}_{\tilde{p}}^{\text{эп}} V_3^Y}{2C\pi K_{\text{лз}} y}, & \tilde{E}_{\Pi 6 \leftarrow \tilde{I}}^X &= T_{\text{ад}} \tilde{E}_{\Pi y}^X V_3^Y = T_{\text{ад}} \frac{V_p \tilde{M}_{\tilde{p}}^{\text{эп}} V_3^Y}{2C\pi K_{\text{лз}} y}, \\ \overline{E}_{\Pi 6 \leftarrow \tilde{I}}^X &= T_{\text{ад}} \overline{E}_{\Pi y}^X V_3^Y = T_{\text{ад}} \frac{V_p}{C} \frac{\overline{M}_{\tilde{p}}^{\text{эп}} V_3^Y}{2\pi K_{\text{лз}} y}, & \tilde{E}_{\Pi 6 \leftarrow \tilde{I}}^X &= T_{\text{ад}} \tilde{E}_{\Pi y}^X V_3^Y = T_{\text{ад}} \frac{V_p}{C} \frac{\tilde{M}_{\tilde{p}}^{\text{эп}} V_3^Y}{2\pi K_{\text{лз}} y} \end{aligned}$$

Следовательно, в вэпсблоках пробного заряда в зависимости от его знака возникнут следующие продольные эксцентриситеты.

$$\Xi_{\text{нб}}^x = \tilde{E}_{\text{нб} \leftarrow \tilde{I}}^x - \bar{E}_{\text{нб} \leftarrow \bar{I}}^x = k_{\text{вп}}^{\text{обш}} \frac{V_{\text{р}} \cdot (\tilde{M}_{\text{р}}^{\text{эп}} - \bar{M}_{\text{р}}^{\text{эп}}) V_3^Y}{C^2 \cdot 2\pi K_{\text{лз}} y} = -\frac{k_{\text{вп}}^{\text{обш}} I V_3^Y}{4\pi C^2 K_{\text{лз}} y},$$

$$\Xi_{\text{пб}}^x = \bar{E}_{\text{пб} \leftarrow \bar{I}}^x - \tilde{E}_{\text{пб} \leftarrow \tilde{I}}^x = T_{\text{ад}} \frac{V_{\text{р}}}{C} \frac{\bar{M}_{\text{р}}^{\text{эп}} V_3^Y}{2\pi K_{\text{лз}} y} - T_{\text{ад}} \frac{V_{\text{р}}}{C} \frac{\tilde{M}_{\text{р}}^{\text{эп}} V_3^Y}{2\pi K_{\text{лз}} y} = \frac{k_{\text{вп}}^{\text{обш}} I V_3^Y}{4\pi C^2 K_{\text{лз}} y},$$

или:

$$\Xi_{\text{пб}}^x = \frac{k_{\text{вп}}^{\text{обш}} I V_3^Y}{4\pi C^2 K_{\text{лз}} y}, \quad \Xi_{\text{нб}}^x = -\frac{k_{\text{вп}}^{\text{обш}} I V_3^Y}{4\pi C^2 K_{\text{лз}} y},$$

где:

- $\Xi_{\text{нб}}^x$ и $\Xi_{\text{пб}}^x$ – продольные эксцентриситеты соответствующих вэпсблоков пробного заряда,
- $\ddot{E}_{\text{пб} \leftarrow \bar{I}}^x (\bar{E}_{\text{пб} \leftarrow \bar{I}}^x, \tilde{E}_{\text{пб} \leftarrow \tilde{I}}^x)$, $\ddot{E}_{\text{нб} \leftarrow \tilde{I}}^x (\bar{E}_{\text{нб} \leftarrow \bar{I}}^x, \tilde{E}_{\text{нб} \leftarrow \tilde{I}}^x)$ – продольные смещения вершин и впадин для позиблоков и негаблоков соответственно,
- I – полный электрический ток в проводнике,
- $T_{\text{ад}} = \frac{k_{\text{вп}}^{\text{обш}}}{C}$ – время необходимое для адаптации поля пробного заряда к непрерывно меняющейся продольной скорости эфионов относительно пробного заряда,
- $k_{\text{вп}}^{\text{обш}}$ – коэффициент обширности вэпсполя, величина которого пропорциональна области пространства занимаемой этим вэпсполем,
- C – скорость распространения эфирной информации,
- V_3^Y – радиальная составляющая скорости пробного заряда.

Используя (3-3)(стр.40), и (3-4)(стр.41), получаем следующие выражения:

$$\left. \begin{aligned} a_{\text{пз}^+}^x &= \frac{K_{\text{лз}} C v_0 \Xi_{\text{пб}}^x z_{\text{пб}}}{k_{\text{вп}}^{\text{обш}} m_{\text{пз}}^{\text{ин}}} = \frac{v_0 I V_3^Y z_{\text{пб}}}{4\pi C y m_{\text{пз}}^{\text{ин}}}, \\ a_{\text{пз}^-}^x &= \frac{K_{\text{лз}} C v_0 \Xi_{\text{нб}}^x z_{\text{нб}}}{k_{\text{вп}}^{\text{обш}} m_{\text{пз}}^{\text{ин}}} = -\frac{v_0 I V_3^Y z_{\text{нб}}}{4\pi C y m_{\text{пз}}^{\text{ин}}}. \end{aligned} \right\} \quad (7-11)$$

где:

- v_0 – квант скорости, приобретаемый вэпсблоком в течение одного бифурцикла, который не зависит от величины эксцентриситета вэпсблока и его скорости.
- $z_{\text{пб}}$ ($z_{\text{нб}}$) – количество избыточных позитивных (негативных) элементарных зарядов в пробном заряде.
- $a_{\text{пз}^+}^x$ ($a_{\text{пз}^-}^x$) – продольное ускорение позитивного (негативного) пробного заряда.
- $m_{\text{пз}}^{\text{ин}}$ – инертмасса пробного заряда

Используя вышесказанное сформулируем следующее определение:

Определение 7-6. Равномерно движущийся в радиальном направлении относительно проводника с током пробный заряд, ускоряется в продольном направлении с ускорением прямо пропорциональным току в проводнике, радиальной скорости заряда, количеству избыточных элементарных зарядов в нём и обратно пропорциональным расстоянию от заряда до оси проводника. При этом знак и величина ускорения пробного заряда определяется из вы-

ражений (7-11), знаки правых частей которых зависят только знака скорости пробного заряда, или, используя следующие правила:

- прямая (обратная) радиальная скорость позитивного пробного заряда вызывает прямое (обратное) продольное его ускорение,
- прямая (обратная) радиальная скорость негативного пробного заряда вызывает обратное (прямое) продольное его ускорение,

Третий вариант – пробный заряд движется в продольном направлении с постоянной скоростью \vec{V}_3^X . В этом случае скорости движущихся элементарных зарядов проводника относительно пробного заряда зависят от его продольной скорости. Проанализируем этот случай, используя выражения (7-5)(стр.114).

$$\bar{E}_{\bar{\mathfrak{I}}_i \leftarrow \bar{\mathfrak{I}}}^Y = \frac{M_{\bar{e}}^{\text{эп}} (V_3^X - V_{\bar{e}})^2}{2K_{\text{лз}} \pi^2 C^2 y} + \frac{M_{\bar{p}}^{\text{эп}} (V_3^X - V_{\bar{p}})^2}{2K_{\text{лз}} \pi^2 C^2 y} = -\frac{4M_{\bar{p}}^{\text{эп}} V_{\bar{p}} V_3^X}{2K_{\text{лз}} \pi^2 C^2 y},$$

или:

$$\bar{E}_{\bar{\mathfrak{I}}_i \leftarrow \bar{\mathfrak{I}}}^Y = -\frac{IV_3^X}{2K_{\text{лз}} \pi^2 C^2 y}, \quad \tilde{E}_{\tilde{\mathfrak{I}}_i \leftarrow \tilde{\mathfrak{I}}}^Y = \frac{IV_3^X}{2K_{\text{лз}} \pi^2 C^2 y}, \quad (7-12)$$

где:

- $\bar{E}_{\bar{\mathfrak{I}}_i \leftarrow \bar{\mathfrak{I}}}^Y$ – радиальная составляющая смещения произвольного лицерона $\bar{\mathfrak{I}}_i$, вызванного полным лицевым электрическим током в проводнике,
- $\tilde{E}_{\tilde{\mathfrak{I}}_i \leftarrow \tilde{\mathfrak{I}}}^Y$ – радиальная составляющая смещения произвольного тенерона $\tilde{\mathfrak{I}}_i$, вызванного полным теневым электрическим током в проводнике.

Тогда для смещений вершин и впадин вэпсблоков пробного заряда, получим следующие выражения:

$$\begin{aligned} \bar{E}_{\text{пб} \leftarrow \bar{\mathfrak{I}}}^Y &= -\frac{IV_3^X}{2K_{\text{лз}} \pi^2 C^2 y}, & \tilde{E}_{\text{пб} \leftarrow \tilde{\mathfrak{I}}}^Y &= \frac{IV_3^X}{2K_{\text{лз}} \pi^2 C^2 y}, \\ \bar{E}_{\text{нб} \leftarrow \bar{\mathfrak{I}}}^Y &= -\frac{IV_3^X}{2K_{\text{лз}} \pi^2 C^2 y}, & \tilde{E}_{\text{нб} \leftarrow \tilde{\mathfrak{I}}}^Y &= \frac{IV_3^X}{2K_{\text{лз}} \pi^2 C^2 y}, \end{aligned}$$

где:

- $\bar{E}_{\text{пб} \leftarrow \bar{\mathfrak{I}}}^Y$, $\tilde{E}_{\text{пб} \leftarrow \tilde{\mathfrak{I}}}^Y$, $\tilde{E}_{\text{нб} \leftarrow \tilde{\mathfrak{I}}}^Y$ и $\bar{E}_{\text{нб} \leftarrow \bar{\mathfrak{I}}}^Y$ – радиальные смещения вершин и впадин для позиблоков и негаблоков соответственно,
- \vec{V}_3^X – продольная скорость пробного заряда.

Следовательно, в вэпсблоках пробного заряда в зависимости от его знака возникнут следующие продольные эксцентриситеты:

$$\begin{aligned} \mathfrak{X}_{\text{нб}}^Y &= \tilde{E}_{\text{нб} \leftarrow \tilde{\mathfrak{I}}}^Y - \bar{E}_{\text{нб} \leftarrow \bar{\mathfrak{I}}}^Y = \frac{IV_3^X}{K_{\text{лз}} \pi^2 C^2 y}, \\ \mathfrak{X}_{\text{пб}}^Y &= \bar{E}_{\text{пб} \leftarrow \bar{\mathfrak{I}}}^Y - \tilde{E}_{\text{пб} \leftarrow \tilde{\mathfrak{I}}}^Y = -\frac{IV_3^X}{K_{\text{лз}} \pi^2 C^2 y}, \end{aligned}$$

где:

- $\Xi_{\text{нб}}^Y$ и $\Xi_{\text{пб}}^Y$ – продольные эксцентриситеты соответствующих вэпсблоков пробного заряда,
- y – расстояние от центра пробного заряда до оси проводника.

Используя формулы (3-3)(стр.40) и (3-4)(стр.41), получаем следующие выражения:

$$\left. \begin{aligned} a_{\text{пз}^+}^Y &= \frac{K_{\text{лз}} C v_0 \Xi_{\text{пб}}^Y z_{\text{пб}}}{k_{\text{вп}}^{\text{обш}} m_{\text{пз}}^{\text{ин}}} = - \frac{v_0 I V_3^X z_{\text{пб}}}{k_{\text{вп}}^{\text{обш}} \pi^2 C y m_{\text{пз}}^{\text{ин}}}, \\ a_{\text{пз}^-}^Y &= \frac{K_{\text{лз}} C v_0 \Xi_{\text{нб}}^Y z_{\text{нб}}}{k_{\text{вп}}^{\text{обш}} m_{\text{пз}}^{\text{ин}}} = \frac{v_0 I V_3^X z_{\text{нб}}}{k_{\text{вп}}^{\text{обш}} \pi^2 C y m_{\text{пз}}^{\text{ин}}}. \end{aligned} \right\} \quad (7-13)$$

где:

- $z_{\text{нб}}$ ($z_{\text{пб}}$) – количество избыточных позитивных (негативных) элементарных зарядов в пробном заряде.
- $a_{\text{пз}^+}^Y$ ($a_{\text{пз}^-}^Y$) – радиальное ускорение позитивного (негативного) пробного заряда.
- $m_{\text{пз}}^{\text{ин}}$ – инертмасса пробного заряда

Используя вышесказанное сформулируем следующее определение:

Определение 7-7. Равномерно движущийся в продольном направлении относительно проводника с током пробный заряд, ускоряется в радиальном направлении с ускорением прямо пропорциональным току в проводнике, продольной скорости заряда, количеству избыточных элементарных зарядов в нём и обратно пропорциональным расстоянию между центром пробного заряда и проводником. При этом знак и величина ускорения пробного заряда определяется из формулы (7-13) или следующим образом:

- прямая (обратная) продольная скорость позитивного пробного заряда вызывает обратное (прямое) радиальное его ускорение,
- прямая (обратная) продольная скорость негативного пробного заряда вызывает прямое (обратное) радиальное его ускорение,

Четвёртый вариант – пробный заряд движется в тангенциальном направлении (по окружности вокруг начала координат). В этом случае пробный заряд постоянно пересекается только с одним эфирпотоком, т. к. расстояние между его центром и осью проводника с током остаётся неизменным. С другой стороны тангенциальная скорость пробного заряда не вызывает приращений скоростей активных вэпсблоков проводника относительно пробного заряда, т. к. продольная составляющая его скорости равна нулю. Следовательно, четвёртый вариант идентичен первому варианту, когда ситуация в Самбатэрпространстве относительно пробного заряда не меняется со временем, и поскольку пробный заряд уже адаптирован к ней, то он никак не реагирует на своё тангенциальное движение.

И так мы проанализировали четыре крайних случая движения пробного заряда относительно проводника с током, но поскольку в подавляющем большинстве случаев пробные заряды одновременно движутся как в радиальном, так и в продольном направлении, то для такого общего случая сделаем следующее определение:

Определение 7-8. Ускорение пробного заряда равномерно движущегося в произвольном направлении в окрестности проводника с током равно векторной сумме продольного и радиального ускорений этого заряда, вызванных электрическим током в проводнике.

$$\vec{a}_{\text{пз}^+}^{\text{л}} = \vec{a}_{\text{пз}^+}^Y + \vec{a}_{\text{пз}^+}^X = \frac{v_0 I z_{\text{пб}}}{\pi C y m_{\text{пз}}^{\text{ин}}} \left(\frac{\vec{V}_3^Y}{4} - \frac{\vec{V}_3^X}{k_{\text{вп}}^{\text{обш}} \pi} \right), \quad (7-14)$$

$$\vec{a}_{пз-}^л = \vec{a}_{пз-}^y + \vec{a}_{пз-}^x = \frac{v_0 I Z_{нб}}{\pi C y m_{пз}^{ин}} \left(\frac{\vec{V}_3^x}{k_{вп}^{обш} \pi} - \frac{\vec{V}_3^y}{4} \right), \quad (7-15)$$

где $\vec{a}_{пз-}^л$ ($\vec{a}_{пз+}^л$) – ускорение Лоренца негативного (позитивного) пробного заряда.

Как известно экспериментальным путём получена только одна формула для определения ускорения Лоренца, движущегося заряда относительно проводника с током, которая подходит как для движущихся в радиальном направлении зарядов, так и для движущихся в продольном направлении зарядов. Если предположить, что $k_{вп}^{обш} = \frac{4}{\pi}$ (хотя для этого автору не удалось найти обоснований) то тогда формулы (7-14) и (7-15) принимают следующий вид:

$$\vec{a}_{пз+}^л = \frac{v_0 I Z_{пб}}{4\pi C y m_{пз}^{ин}} (\vec{V}_3^y - \vec{V}_3^x), \quad (7-16)$$

$$\vec{a}_{пз-}^л = \frac{v_0 I Z_{нб}}{4\pi C y m_{пз}^{ин}} (\vec{V}_3^x - \vec{V}_3^y), \quad (7-17)$$

где в скобках фигурируют векторные суммы соответствующих составляющих скорости движения элементарного пробного заряда.

Пятый вариант – электрический заряд неподвижен относительно проводника с равномерно меняющимся по величине током (равноускоренно движущимися активными зарядами проводника). Тогда продольные смещения эфионов $E_{\vec{\partial}_i \leftarrow \vec{I}}^x$ в окрестности проводника так же будут равноускоренными. Поскольку пробному заряду безразлично, по какой причине возрастают или убывают скорости пересекающих его эфирных потоков, то его реакция на изменение тока в проводнике аналогична его реакции связанной с его радиальной скоростью относительно проводника с постоянным током. Следовательно, при пятом варианте воспользуемся не формулой (7-8) как при втором варианте, а формулой (7-4), тогда получаем следующие формулы:

$$\left. \begin{aligned} \frac{d\vec{V}_{пy \leftrightarrow 3}^x}{dt} &= \frac{d\vec{E}_{\vec{\partial}_i \leftarrow \vec{I}}^x}{dt} = -\frac{\vec{M}_{\vec{p}}^{эп}}{2C\pi K_{лз} y} \frac{dV_{p(e)}}{dt} = -\frac{1}{8C\pi K_{лз} y} \frac{dI}{dt}, \\ \frac{d\vec{V}_{пy \leftrightarrow 3}^x}{dt} &= \frac{d\vec{E}_{\vec{\partial}_i \leftarrow \vec{I}}^x}{dt} = -\frac{\vec{M}_{\vec{p}}^{эп}}{2C\pi K_{лз} y} \frac{dV_{p(e)}}{dt} = \frac{1}{8C\pi K_{лз} y} \frac{dI}{dt}, \end{aligned} \right\} \quad (7-18)$$

где:

- $y = \text{const}$ – радиус эфирпотока постоянно пересекающего пробный заряд.
- $\frac{d\vec{V}_{пy \leftrightarrow 3}^x}{dt} = \frac{d\vec{E}_{\vec{\partial}_i \leftarrow \vec{I}}^x}{dt} \left(\frac{d\vec{V}_{пy \leftrightarrow 3}^x}{dt} = \frac{d\vec{E}_{\vec{\partial}_i \leftarrow \vec{I}}^x}{dt} \right)$ – продольное ускорение (вызванное ускорением тока $\frac{dI}{dt}$ в проводнике) лицеронов (тенеронов) относительно пробного заряда, расположенного на расстоянии y от оси проводника.
- $\frac{dV_{p(e)}}{dt}$ – ускорение активных позиблоков (негаблоков) проводника.

- $\frac{dI}{dt} = \frac{d(V_p 4M_p^{\text{ан}})}{dt}$ – скорость изменения (ускорение) полного тока в проводнике.

Тогда для смещений вершин и впадин вэпсблоков пробного заряда, получим следующие выражения:

$$\begin{aligned} \overline{E}_{\text{пб} \leftarrow \frac{dI}{dt}}^X &= -\frac{T_{\text{ад}}}{8\pi K_{\text{лз}} Cy} \frac{dI}{dt}, & \widetilde{E}_{\text{пб} \leftarrow \frac{dI}{dt}}^X &= \frac{T_{\text{ад}}}{8\pi K_{\text{лз}} Cy} \frac{dI}{dt}, \\ \overline{E}_{\text{нб} \leftarrow \frac{dI}{dt}}^X &= -\frac{T_{\text{ад}}}{8\pi K_{\text{лз}} Cy} \frac{dI}{dt}, & \widetilde{E}_{\text{нб} \leftarrow \frac{dI}{dt}}^X &= \frac{T_{\text{ад}}}{8\pi K_{\text{лз}} Cy} \frac{dI}{dt}. \end{aligned}$$

Следовательно, в вэпсблоках пробного заряда в зависимости от его знака возникают следующие продольные эксцентриситеты:

$$\Xi_{\text{нб} \leftarrow \frac{dI}{dt}}^X = \frac{k_{\text{вп}}^{\text{обш}}}{4\pi K_{\text{лз}} C^2 y} \frac{dI}{dt}, \quad \Xi_{\text{пб} \leftarrow \frac{dI}{dt}}^X = -\frac{k_{\text{вп}}^{\text{обш}}}{4\pi K_{\text{лз}} C^2 y} \frac{dI}{dt}. \quad (7-19)$$

Используя формулы (3-3)(стр.40), и (3-4)(стр.41), получаем следующие выражения:

$$a_{\text{пз}^+}^X = -\frac{v_0 Z_{\text{пб}}}{4\pi Cy m_{\text{пз}}^{\text{ин}}} \frac{dI}{dt}, \quad a_{\text{пз}^-}^X = \frac{v_0 Z_{\text{нб}}}{4\pi Cy m_{\text{пз}}^{\text{ин}}} \frac{dI}{dt}. \quad (7-20)$$

Очевидно, что исходя из описанного здесь механизма электромагнитной индукции для прямолинейного проводника с переменным током, можно легко объяснить закономерности этого явления и для магнитных полей проводников с током произвольной конфигурации, но поскольку такой анализ слишком громоздок, то отложим его для другой статьи.

ГЛАВА 8 МАГНИТНЫЕ ПОЛЯ НЕБЕСНЫХ ТЕЛ

8.1 СМЕЩЕНИЯ ЭФИРОНОВ В ОКРЕСТНОСТИ ГРАВИПРОВОДНИКА С ГРАВИТОКОМ

Рассмотрим теперь прут «бесконечной» длины линейная плотность гравитонов (гравитационная степень единицы длины) которого является постоянной величиной по всей его длине. Прут «бесконечной» длины кольцо изготовленного из достаточно плотного и жёсткого материала, радиус которого позволяет считать его прямолинейным прутом «бесконечной» длины, например, соизмерим с радиусом Земли. Далее условимся называть это кольцо гравикольцом или гравипроводником. Диаметр поперечного сечения самого гравикольца примем равным одному метру, хотя для данного анализа эта величина не требуется. Пусть это гравикольцо вращается вокруг оси, перпендикулярной его плоскости и пересекающей его геометрический центр, с некоторой постоянной угловой скоростью, тогда, все его гравитоны движутся с постоянной линейной скоростью $V_{Гр}$, которую условимся называть гравискоростью гравипроводника. По аналогии с электрическим током в проводнике введём понятие гравитока гравипроводника I_G и условимся далее называть описанную здесь систему прямолинейным гравипроводником бесконечной длины с гравитоком или просто гравипроводником с гравитоком. Так как элементарный гравиелектрический заряд всегда отрицателен, то гравитационный ток I_G в гравипроводнике всегда направлен против движения самого гравипроводника. Поскольку в проводимом анализе гравипроводника мы применяем магнитную систему координат (см. [раздел 7.2](#)), то гравискорость гравипроводника всегда отрицательна, а гравиток всегда положителен.

Для анализа гравипроводника с гравитоком введём систему координат (рис. 8.1), аналогичную магнитной системе координат ([рис. 7.1](#), стр.109), которую условимся называть гравимагнитной системой координат.

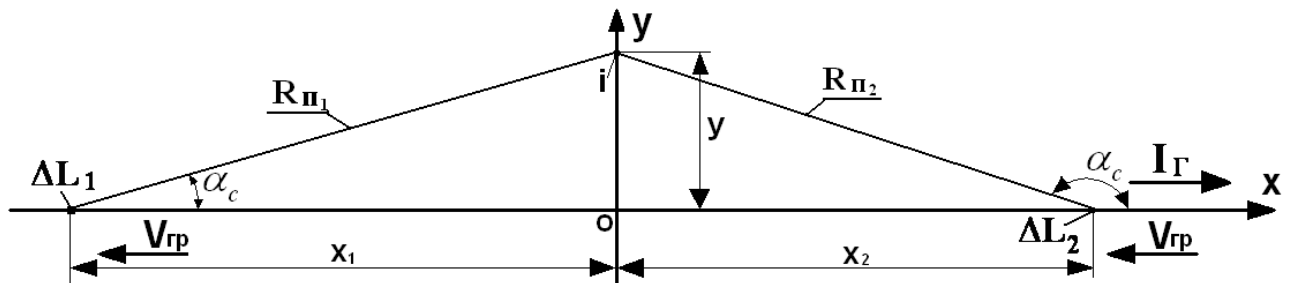


Рисунок 8.1. Гравипроводник бесконечной длины с гравитоком

где:

- $V_{Гр}$ – гравискорость движения гравипроводника (всегда отрицательна);
- I_G – гравитационный ток в гравипроводнике;
- $i(o, y)$ – анализируемая в текущее мгновение точка Самбатэпространства;
- $\Delta L_1(x_1, 0) = \Delta L_2(x_2, 0) = \Delta L = r_0$ – произвольные элементы гравипроводника в точках 1 и 2 соответственно (участки гравипроводника длиной в один квант расстояния);
- $R_{n1} (R_{n2})$ – расстояние между текущим элементом гравипроводника $\Delta L_1 (\Delta L_2)$ и точкой i (центром анализируемого эфирона \ddot{a}_i^*) расположенной на расстоянии y от гравипроводника.
- α_c и α_n – угол смещения и угол положения (см. [рис.3.2](#), стр.43),

Используя формулы (3-5)(стр.44) и (3-9)(стр.45) и с учётом того, что при скоростях $|V_{Гр}| \ll c$ справедливы равенства $\cos \alpha_c \approx \cos \alpha_n$ и $\sin \alpha_c \approx \sin \alpha_n$, то для продольных и радиальных составляющих смещений эфиронов получаем следующие формулы:

$$\left. \begin{aligned} \Delta \bar{E}_{\tilde{\Theta}_i \leftarrow \Delta \bar{I}_Г}^x &= \frac{\bar{M}_{\Delta L}}{4K_{лз} \pi^2 R_n^2} \left(-2 \frac{V_{Гр}}{C} \cos^2 \alpha_c + \frac{V_{Гр}^2}{C^2} \cos \alpha_c \right) dx, \\ \Delta \tilde{E}_{\tilde{\Theta}_i \leftarrow \Delta \tilde{I}_Г}^x &= \frac{\tilde{M}_{\Delta L}}{4K_{лз} \pi^2 R_n^2} \left(-2 \frac{V_{Гр}}{C} \cos^2 \alpha_c + \frac{V_{Гр}^2}{C^2} \cos \alpha_c \right) dx, \end{aligned} \right\} \quad (8-1)$$

$$\left. \begin{aligned} \Delta \bar{E}_{\tilde{\Theta}_i \leftarrow \Delta \bar{I}_Г}^y &= \frac{\bar{M}_{\Delta L}}{4K_{лз} \pi^2 R_n^2} \left(-2 \frac{V_{Гр}}{C} \cos \alpha_c \sin \alpha_c + \frac{(V_{Гр})^2}{C^2} \sin \alpha_c \right) dx, \\ \Delta \tilde{E}_{\tilde{\Theta}_i \leftarrow \Delta \tilde{I}_Г}^y &= \frac{\tilde{M}_{\Delta L}}{4K_{лз} \pi^2 R_n^2} \left(-2 \frac{V_{Гр}}{C} \cos \alpha_c \sin \alpha_c + \frac{(V_{Гр})^2}{C^2} \sin \alpha_c \right) dx, \end{aligned} \right\} \quad (8-2)$$

где:

- $\Delta \bar{I}_Г$ – лицевой (теневой) элементарный гравиток, т. е. гравиток эквивалентный движению произвольного элемента гравипроводника,
- $\Delta \bar{E}_{\tilde{\Theta}_i \leftarrow \Delta \bar{I}_Г}^x$ ($\Delta \tilde{E}_{\tilde{\Theta}_i \leftarrow \Delta \tilde{I}_Г}^x$) – продольная составляющая смещения произвольного лицерона $\tilde{\Theta}_i$ (тенерона $\tilde{\Theta}_i$), вызванного произвольным элементарным лицевым (теневым) гравитоком гравипроводника,
- $\Delta \bar{E}_{\tilde{\Theta}_i \leftarrow \Delta \bar{I}_Г}^y$ ($\Delta \tilde{E}_{\tilde{\Theta}_i \leftarrow \Delta \tilde{I}_Г}^y$) – радиальная составляющая смещения произвольного лицерона $\tilde{\Theta}_i$ (тенерона $\tilde{\Theta}_i$), вызванного произвольным элементарным лицевым (теневым) гравитоком гравипроводника,
- $\bar{M}_{\Delta L} = \bar{M}_{ГП} Z_{\Theta}$ ($\tilde{M}_{\Delta L} = \tilde{M}_{ГП} Z_{\Theta}$) – суммарная гравимощность лицевой (теневого) гравиполя элемента гравипроводника,
- $\bar{M}_{ГП}$ ($\tilde{M}_{ГП}$) – гравимощность лицевой (теневого) гравиполя простого гравитона,
- $Z_{\Theta} = \Delta L s z_{уд}$ – гравитационная степень элемента гравипроводника,
- $Z_{уд}$ – гравитационная степень единицы объёма гравипроводника,
- S – площадь поперечного сечения гравипроводника с гравитоком.

Тогда используя формулу (8-1) и учитывая равенство $\cos \alpha_c = \frac{-x}{\sqrt{x^2 + y^2}}$, получим следующие выражения для продольных смещений лицеронов (тенеронов):

$$\ddot{E}_{\tilde{\Theta}_i \leftarrow \tilde{I}_Г}^x = \sum_{-\infty}^{+\infty} \Delta \ddot{E}_{\tilde{\Theta}_i \leftarrow \Delta \tilde{I}_Г}^x = \frac{V_{Гр} \ddot{M}_{\Delta L}}{4K_{лз} \pi^2 C} \left[-2 \int_{-\infty}^{+\infty} \frac{x^2}{(x^2 + y^2)^2} dx - \frac{V_{Гр}}{C} \int_{-\infty}^{+\infty} \frac{x}{(x^2 + y^2)^{\frac{3}{2}}} dx \right],$$

где:

$$\int_{-\infty}^{+\infty} \frac{x^2}{(x^2 + y^2)^2} dx = \frac{\pi}{2y} \quad \text{и} \quad \int_{-\infty}^{+\infty} \frac{x}{(x^2 + y^2)^{\frac{3}{2}}} dx = 0.$$

Откуда получаем:

$$\bar{E}_{\bar{\Theta}_i \leftarrow \bar{I}_\Gamma}^x = -\frac{V_{\Gamma p} \bar{M}_{\Delta L}}{4\pi C K_{\text{лз}} y}, \quad \tilde{E}_{\tilde{\Theta}_i \leftarrow \tilde{I}_\Gamma}^x = -\frac{V_{\Gamma p} \tilde{M}_{\Delta L}}{4\pi C K_{\text{лз}} y}, \quad (8-3)$$

где $\bar{E}_{\bar{\Theta}_i \leftarrow \bar{I}_\Gamma}^x$ ($\tilde{E}_{\tilde{\Theta}_i \leftarrow \tilde{I}_\Gamma}^x$) – продольная составляющая смещения произвольного лицерона $\bar{\Theta}_i$ (тенерона $\tilde{\Theta}_i$), вызванного лицевым (теневым) гравитоком гравипроводника.

Используя формулу (8-2) и учитывая равенство $\cos \alpha_c = \frac{-x}{\sqrt{x^2 + y^2}}$ и $\sin \alpha_c = \frac{y}{\sqrt{x^2 + y^2}}$, получим следующие выражения для радиальных смещений лицеронов (тенеронов):

$$\ddot{E}_{\bar{\Theta}_i \leftarrow \bar{I}_\Gamma}^y = \sum_{-\infty}^{+\infty} \Delta \ddot{E}_{\bar{\Theta}_i \leftarrow \Delta \bar{I}_\Gamma}^y = \frac{V_{\Gamma p} \ddot{M}_{\Delta L}}{4K_{\text{лз}} \pi^2 C} \int_{-\infty}^{+\infty} \left[-2 \frac{(-x)y}{(x^2 + y^2)^2} + \frac{V_{\Gamma p} y}{C(x^2 + y^2)^{\frac{3}{2}}} \right] dx = \frac{(V_{\Gamma p})^2 \ddot{M}_{\Delta L}}{2\pi^2 K_{\text{лз}} C^2 y},$$

или:

$$\bar{E}_{\bar{\Theta}_i \leftarrow \bar{I}_\Gamma}^y = \frac{(V_{\Gamma p})^2 \bar{M}_{\Delta L}}{2\pi^2 K_{\text{лз}} C^2 y}, \quad \tilde{E}_{\tilde{\Theta}_i \leftarrow \tilde{I}_\Gamma}^y = \frac{(V_{\Gamma p})^2 \tilde{M}_{\Delta L}}{2\pi^2 K_{\text{лз}} C^2 y}, \quad (8-4)$$

где $\ddot{E}_{\bar{\Theta}_i \leftarrow \bar{I}_\Gamma}^y$ – радиальная составляющая смещения произвольного лицерона $\bar{\Theta}_i$ (тенерона $\tilde{\Theta}_i$), возникшего в результате движения гравипроводника.

Из вышеприведенного анализа следует, что гравипроводник бесконечной длины с гравитоком (как и проводник с током) вызывает в окружающем его пространстве продольные и радиальные цилиндрические поля смещений эфиронов, т. е. равносмещённые эфироны образуют цилиндрические слои бесконечно малой (но не менее диаметра эфирона) толщины.

При этом радиальные смещения эфиронов всегда направлены в обратном радиальном направлении независимо от направления гравитока в гравипроводнике, т.е. образуют центрально цилиндрическое поле смещений эфиронов и, следовательно, блокируют друг друга.

Продольные смещения лицеронов (тенеронов) всегда направлены в обратном продольном направлении, т. е. образуют обратные цилиндрические эфирпотоки, общей осью для которых служит ось гравипроводника с гравитоком. Напомню, что в окрестности проводника с током соответственно возникают обратные лицевые и прямые теневые электрические эфирпотоки. Эфирпотоки вызванные гравитоком условимся называть гравитационными эфирпотоками (гравизфирпотоками), а гравизфирпотоковые поля гравитационным вращением (гравивращением) эфира.

Повторяя все рассуждения, изложенные в предыдущей главе для проводника с током (см. опр. 7-5, стр.116) и используя формулу (8-3), получаем следующие формулы для динамических эфирпотоковых смещений прямой и обратной последовательности $y^{\Gamma 0}$ эфирпотока гравипроводника с гравитоком:

$$\begin{aligned}
\overline{E}_{\Pi_y^{\downarrow}}^{X_{\Gamma P}} &= \Delta \overline{V}_{\Pi_y^{\downarrow}}^{X_{\Gamma P}} = \overline{V}_{\Pi_y}^{X_{\Gamma P}} - \overline{V}_{\Pi_{y+1}}^{X_{\Gamma P}} = \overline{E}_{\tilde{\mathcal{E}}_i \leftarrow \tilde{I}_{\Gamma}}^{X_{\Gamma P}} = -\frac{V_{\Gamma P} \overline{M}_{\Delta L}}{4\pi C K_{\text{ЛЗ.У}}}, \\
\tilde{E}_{\Pi_y^{\downarrow}}^{X_{\Gamma P}} &= \Delta \tilde{V}_{\Pi_y^{\downarrow}}^{X_{\Gamma P}} = \tilde{V}_{\Pi_y}^{X_{\Gamma P}} - \tilde{V}_{\Pi_{y+1}}^{X_{\Gamma P}} = \tilde{E}_{\tilde{\mathcal{E}}_i \leftarrow \tilde{I}_{\Gamma}}^{X_{\Gamma P}} = -\frac{V_{\Gamma P} \tilde{M}_{\Delta L}}{4\pi C K_{\text{ЛЗ.У}}}, \\
\overline{E}_{\Pi_y^{\uparrow}}^{X_{\Gamma P}} &= \Delta \overline{V}_{\Pi_y^{\uparrow}}^{X_{\Gamma P}} = \overline{V}_{\Pi_y}^{X_{\Gamma P}} - \overline{V}_{\Pi_{y-1}}^{X_{\Gamma P}} = -\overline{E}_{\tilde{\mathcal{E}}_i \leftarrow \tilde{I}_{\Gamma}}^{X_{\Gamma P}} = \frac{V_{\Gamma P} \overline{M}_{\Delta L}}{4\pi C K_{\text{ЛЗ.У}}}, \\
\tilde{E}_{\Pi_y^{\uparrow}}^{X_{\Gamma P}} &= \Delta \tilde{V}_{\Pi_y^{\uparrow}}^{X_{\Gamma P}} = \tilde{V}_{\Pi_y}^{X_{\Gamma P}} - \tilde{V}_{\Pi_{y-1}}^{X_{\Gamma P}} = -\tilde{E}_{\tilde{\mathcal{E}}_i \leftarrow \tilde{I}_{\Gamma}}^{X_{\Gamma P}} = \frac{V_{\Gamma P} \tilde{M}_{\Delta L}}{4\pi C K_{\text{ЛЗ.У}}},
\end{aligned} \tag{8-5}$$

где:

- y – радиус y^{Γ_0} цилиндрического гравизэфирпотока в квантах расстояния,
- $y+1$ – радиус $(y+1)^{\Gamma_0}$ цилиндрического гравизэфирпотока в квантах расстояния,
- $y-1$ – радиус $(y-1)^{\Gamma_0}$ цилиндрического гравизэфирпотока в квантах расстояния,
- $\ddot{E}_{\Pi_y^{\downarrow}}^{X_{\Gamma P}}$ – лицевое (теневое) динамическое эфирпотоковое смещение обратной последовательности y^{Γ_0} эфирпотока гравипроводника с гравитоком,
- $\ddot{E}_{\Pi_y^{\uparrow}}^{X_{\Gamma P}}$ – лицевое (теневое) динамическое эфирпотоковое смещение прямой последовательности y^{Γ_0} эфирпотока гравипроводника с гравитоком,
- $\Delta \overline{V}_{\Pi_y^{\uparrow}}^{X_{\Gamma P}}$ ($\Delta \tilde{V}_{\Pi_y^{\uparrow}}^{X_{\Gamma P}}$) – приращение прямой последовательности лицевой (теневой) продольной скорости y^{Γ_0} эфирпотока гравипроводника с гравитоком,
- $\Delta \overline{V}_{\Pi_y^{\downarrow}}^{X_{\Gamma P}}$ ($\Delta \tilde{V}_{\Pi_y^{\downarrow}}^{X_{\Gamma P}}$) – приращение обратной последовательности лицевой (теневой) продольной скорости y^{Γ_0} эфирпотока гравипроводника с гравитоком,
- $\ddot{V}_{\Pi_y}^{X_{\Gamma P}}$ – лицевая (теневая) скорость относительно Самбатэрсреды произвольного y^{Γ_0} лицевого (теневого) эфирпотока гравипроводника с гравитоком,
- $\ddot{V}_{\Pi_{y+1}}^{X_{\Gamma P}}$ – лицевая (теневая) скорость относительно Самбатэрсреды произвольного $(y+1)^{\Gamma_0}$ лицевого (теневого) эфирпотока гравипроводника с гравитоком,
- $\ddot{V}_{\Pi_{y-1}}^{X_{\Gamma P}}$ – лицевая (теневая) скорость относительно Самбатэрсреды произвольного $(y-1)^{\Gamma_0}$ лицевого (теневого) эфирпотока гравипроводника с гравитоком,
- $\ddot{E}_{\tilde{\mathcal{E}}_i \leftarrow \tilde{I}_{\Gamma}}^{X_{\Gamma P}}$ – лицевая (теневая) продольная составляющая смещения произвольного эфирона $\tilde{\mathcal{E}}_i$ лицевого (теневого) y^{Γ_0} эфирпотока, вызванного полным лицевым \tilde{I}_{Γ} (полным теневым \tilde{I}_{Γ}) гравитоком гравипроводника (7-4)(стр.113)
- Здесь все эфирпотоки, начиная от проводника с током (**№1**) и заканчивая бесконечно удалённым эфирпотоком (**№∞**), условно пронумерованы.

8.2 ПОВЕДЕНИЕ ПРОБНЫХ ЗАРЯДОВ В ОКРЕСТНОСТИ ГРАВИПРОВОДНИКА С ГРАВИТОКОМ

В отличие от пробного заряда, рассмотренного в предыдущей главе, здесь пробный заряд выступает и в качестве ведомого гравииобъекта (см. гл. 5). Рассмотрим следующие крайние случаи взаимоотношений между пробным зарядом и гравипроводником.

Случай первый пробный заряд (ведомый гравииобъект) неподвижен относительно гравипроводника, и в гравипроводнике нет гравитока. В этом случае воздействие гравипроводника на пробный заряд (ведомый гравииобъект) протекает согласно формулам (5-18) (стр.96), (5-19)(стр.97) и (5-12)(стр.90).

Случай второй пробный заряд (ведомый гравииобъект) движется в прямом радиальном направлении относительно неподвижного (без гравитока) гравипроводника, тогда пробный заряд (ведомый гравииобъект) подвергается радиальному гравиелектрическому ускорению (радиальному гравииускорению). При этом негативный (позитивный) пробный заряд получает прямое (обратное) радиальное гравиелектрическое ускорение, а ведомый гравииобъект получает обратное радиальное гравииускорение. Радиальное гравиелектрическое (радиальное гравитационное) ускорение пробного заряда (ведомого гравииобъекта) возникает из-за того, что гравиполя, также как и вэсполя, ослаблены в направлении движения их источника и усилены в противоположном направлении (см. опр. 3-52, стр.46).

Случай третий заряд движется в обратном радиальном направлении относительно неподвижного (без гравитока) гравипроводника, при этом пробный заряд (ведомый гравииобъект) получает те же радиальные ускорения, что и во втором случае, но только с противоположным знаком.

Случай четвёртый заряд движется в прямом или обратном радиальном направлении относительно движущегося в продольном направлении со скоростью $V_{Гр}$ (в гравипроводнике есть гравиток) гравипроводника. При этом все описанные во втором или третьем случае радиальные ускорения пробного заряда (ведомого гравииобъекта) сохраняются, и к ним добавляется ещё продольное ускорение пробного заряда вызванное гравитокком в гравипроводнике.

Скорости, пересекаемых движущимся в радиальном направлении пробным зарядом, гравиефирпотоков, убывают или возрастают по абсолютной величине со скоростью прямо пропорциональной скорости заряда. Как говорилось выше ускоренное движение эфиронов это их реакция на приращение интенсивности эфирной информации, т. е. на эфирное давление на них. Следовательно, пробный заряд испытывает эфирное давление со стороны пересекаемых им продольных эфирпотоков, которое пропорционально и сонаправлено их ускорению. При этом поля вэпсблоков пробного заряда вынуждены непрерывно адаптироваться к постоянно меняющейся скорости эфирпотоков. Во время адаптации полей вэпсблоков пробного заряда в них возникают эксцентриситеты сонаправленные эфирному давлению на их вершины. Следовательно, движущийся в радиальном направлении пробный заряд испытывает ускорение прямо пропорциональное по величине этому эксцентриситету и сонаправлено с ним (см. опр. 3-47, стр.38). Используя формулу (8-5), получаем следующее выражение:

$$\left. \begin{aligned} \frac{d\bar{V}_{\Pi y \leftrightarrow 3}^{x_{Гр}}}{dt} &= \frac{d\bar{V}_{\Pi y \leftrightarrow 3}^{x_{Гр}}}{dy} \frac{dy}{dt} = \bar{E}_{\Pi y}^{x_{Гр}} V_3^y = \frac{V_{Гр} \bar{M}_{\Delta L} V_3^y}{4\pi C K_{\Delta y}}, \\ \frac{d\tilde{V}_{\Pi y \leftrightarrow 3}^{x_{Гр}}}{dt} &= \frac{d\tilde{V}_{\Pi y \leftrightarrow 3}^{x_{Гр}}}{dy} \frac{dy}{dt} = \tilde{E}_{\Pi y}^{x_{Гр}} V_3^y = \frac{V_{Гр} \tilde{M}_{\Delta L} V_3^y}{4\pi C K_{\Delta y}}, \end{aligned} \right\} \quad (8-6)$$

где:

- $\frac{d\bar{V}_{\Pi y \leftrightarrow 3}^{X_{rp}}}{dt} \frac{d\tilde{V}_{\Pi y \leftrightarrow 3}^{X_{rp}}}{dt}$ – Продольное ускорение лицеронов (тенеронов) эфирного потока, пересекающего пробный заряд в текущий момент времени, относительно самого пробного заряда,
- V_3^Y – радиальная скорость пробного заряда.

Тогда для смещений вершин и впадин вэпсблоков пробного заряда, получим следующие выражения:

$$\begin{aligned}\bar{E}_{\text{пб} \leftarrow I_{\Gamma}}^X &= T_{\text{ад}} \frac{V_{\Gamma p} \bar{M}_{\Delta L} V_3^Y}{4\pi C K_{\text{лз}} y}, & \tilde{E}_{\text{пб} \leftarrow I_{\Gamma}}^X &= T_{\text{ад}} \frac{V_{\Gamma p} \tilde{M}_{\Delta L} V_3^Y}{4\pi C K_{\text{лз}} y}, \\ \bar{E}_{\text{нб} \leftarrow I_{\Gamma}}^X &= T_{\text{ад}} \frac{V_{\Gamma p} \bar{M}_{\Delta L} V_3^Y}{4\pi C K_{\text{лз}} y}, & \tilde{E}_{\text{нб} \leftarrow I_{\Gamma}}^X &= T_{\text{ад}} \frac{V_{\Gamma p} \tilde{M}_{\Delta L} V_3^Y}{4\pi C K_{\text{лз}} y}.\end{aligned}$$

Следовательно, в вэпсблоках пробного заряда в зависимости от его знака возникнут следующие продольные эксцентриситеты:

$$\begin{aligned}\mathfrak{E}_{\text{нб}}^X &= \tilde{E}_{\text{нб} \leftarrow I_{\Gamma}}^X - \bar{E}_{\text{нб} \leftarrow I_{\Gamma}}^X = \frac{k_{\text{вп}}^{\text{обш}} V_{\Gamma p} \Delta M_{\Delta L}^{\Gamma p} V_3^Y}{4\pi K_{\text{лз}} C^2 y}, \\ \mathfrak{E}_{\text{пб}}^X &= \bar{E}_{\text{пб} \leftarrow I_{\Gamma}}^X - \tilde{E}_{\text{пб} \leftarrow I_{\Gamma}}^X = -\frac{k_{\text{вп}}^{\text{обш}} V_{\Gamma p} \Delta M_{\Delta L}^{\Gamma p} V_3^Y}{4\pi K_{\text{лз}} C^2 y},\end{aligned}$$

т. е.

$$\mathfrak{E}_{\text{нб}}^X = -\frac{k_{\text{вп}}^{\text{обш}} I_{\Gamma} V_3^Y}{4\pi K_{\text{лз}} C^2 y}, \quad \mathfrak{E}_{\text{пб}}^X = \frac{k_{\text{вп}}^{\text{обш}} I_{\Gamma} V_3^Y}{4\pi K_{\text{лз}} C^2 y},$$

где:

- $\bar{E}_{\text{пб} \leftarrow I_{\Gamma}}^X$, $\tilde{E}_{\text{пб} \leftarrow I_{\Gamma}}^X$, $\bar{E}_{\text{нб} \leftarrow I_{\Gamma}}^X$ и $\tilde{E}_{\text{нб} \leftarrow I_{\Gamma}}^X$ – продольные смещения вершин и впадин для позиблоков и негаблоков соответственно,
- $\mathfrak{E}_{\text{нб}}^X$ и $\mathfrak{E}_{\text{пб}}^X$ – продольные эксцентриситеты соответствующих вэпсблоков пробного заряда,
- $I_{\Gamma} = -V_{\Gamma p} \Delta M_{\Delta L}^{\Gamma p} = -V_{\Gamma p} m_{\Delta L}^{\Gamma p}$ – гравиток в гравипроводнике. Поскольку для гравипроводника мы применяем магнитную систему координат (см. [раздел 7.2](#), стр.109), то гравиток в пределах данного анализа всегда положителен, а гравискорость отрицательна,
- $m_{\Delta L}^{\Gamma p} = z_{\Delta L} \Delta M_{\Gamma p}$ – суммарное межслойное приращение гравимощности элемента гравипроводника (гравиелектрический заряд элемента гравипроводника),
- $z_{\Delta L} = \Delta L s z_{\text{уд}}$ – гравитационная степень элемента гравипроводника,
- $z_{\text{уд}}$ – гравитационная степень единицы объёма гравипроводника,
- S – площадь поперечного сечения гравипроводника с гравитоком,

- $\Delta L = r_0$ – длина элемента гравипроводника,
- $\Delta M_{гр}$ – межслойное приращение гравимощности простого гравитона (элементарный гравиелектрический заряд),
- C – скорость распространения эфирной информации,
- $T_{ад} = \frac{K_{ад}}{C}$ – время необходимое для адаптации поля пробного заряда к непрерывно меняющейся продольной скорости эфиронов относительно пробного заряда,
- $K_{ад}$ – коэффициент адаптации полей смещения эфиронов,
- V_3^Y – радиальная составляющая скорости пробного заряда.

Из вышесказанного следует:

Определение 8-1. Гравиток гравипроводника бесконечной длины – это физическая величина прямо пропорциональная количеству элементарных гравиелектрических зарядов, содержащихся в его отрезке, длина которого равна абсолютной величине его гравискорости, т. е. гравиток гравипроводника прямо пропорционален произведению абсолютной величины гравискорости гравипроводника на гравиелектрический заряд его элемента.

Следовательно, продольное ускорение пробного заряда движущегося в радиальном направлении относительно гравипроводника с гравитоком определяется следующими выражениями:

$$\left. \begin{aligned} a_{пз+}^x &= \frac{K_{лз} C v_0 \Xi_{пб}^x z_{пб}}{k_{вп}^{обш} m_{пз}^{ин}} = \frac{v_0 I_{г} V_3^Y z_{пб}}{4\pi C y m_{пз}^{ин}}, \\ a_{пз-}^x &= \frac{K_{лз} C v_0 \Xi_{нб}^x z_{нб}}{k_{вп}^{обш} m_{пз}^{ин}} = -\frac{v_0 I_{г} V_3^Y z_{нб}}{4\pi C y m_{пз}^{ин}}. \end{aligned} \right\} \quad (8-7)$$

$z_{пб} (z_{нб})$ – количество избыточных позитивных (негативных) элементарных зарядов в пробном заряде.

$a_{пз+}^x (a_{пз-}^x)$ – продольное ускорение позитивного (негативного) пробного заряда.

$m_{пз}^{ин}$ – инертмасса пробного заряда

Определение 8-2. Равномерно движущийся в радиальном направлении пробный заряд относительно гравипроводника с гравитоком ускоряется в продольном направлении с ускорением, прямо пропорциональным гравитоку в гравипроводнике, радиальной скорости заряда, количеству избыточных элементарных зарядов содержащихся в нём и обратно пропорциональным расстоянию между его центром и гравипроводником и его инертмассе. Знак и величина этого ускорения определяется по формуле (8-7) или по следующим правилам:

прямая (обратная) радиальная скорость позитивного пробного заряда вызывает прямое (обратное) продольное его ускорение,

прямая (обратная) радиальная скорость негативного пробного заряда вызывает обратное (прямое) продольное его ускорение,

Случай пятый пробный заряд условно (можно условиться, что заряд движется, а гравипроводник покоится) покоится, а гравипроводник движется в продольном направлении с постоянной скоростью $V_{гр}$ относительно пробного заряда. Тогда на основании формулы (8-4) получаем следующие выражения для радиальных эксцентриситетов взпсблоков пробного заряда, вызываемых продольной гравискоростью гравипроводника относительно пробного заряда.

$$\mathfrak{U}_{\text{нб}}^Y = \tilde{E}_{\text{нб} \leftarrow I_{\Gamma}}^Y - \bar{E}_{\text{нб} \leftarrow I_{\Gamma}}^Y = \frac{(V_{\Gamma p})^2 \tilde{M}_{\Delta L}}{2\pi^2 K_{\text{лз}} C^2 y} - \frac{(V_{\Gamma p})^2 \bar{M}_{\Delta L}}{2\pi^2 K_{\text{лз}} C^2 y} = \frac{(V_{\Gamma p})^2 \Delta M_{\Delta L}^{\text{гр}}}{2\pi^2 K_{\text{лз}} C^2 y},$$

$$\mathfrak{U}_{\text{пб}}^Y = \bar{E}_{\text{пб} \leftarrow I_{\Gamma}}^Y - \tilde{E}_{\text{пб} \leftarrow I_{\Gamma}}^Y = \frac{(V_{\Gamma p})^2 \bar{M}_{\Delta L}}{2\pi^2 K_{\text{лз}} C^2 y} - \frac{(V_{\Gamma p})^2 \tilde{M}_{\Delta L}}{2\pi^2 K_{\text{лз}} C^2 y} = -\frac{(V_{\Gamma p})^2 \Delta M_{\Delta L}^{\text{гр}}}{2\pi^2 K_{\text{лз}} C^2 y},$$

или:

$$\mathfrak{U}_{\text{нб}}^Y = \frac{(V_{\Gamma p})^2 \Delta M_{\Delta L}^{\text{гр}}}{2\pi^2 K_{\text{лз}} C^2 y}, \quad \mathfrak{U}_{\text{пб}}^Y = -\frac{(V_{\Gamma p})^2 \Delta M_{\Delta L}^{\text{гр}}}{2\pi^2 K_{\text{лз}} C^2 y},$$

Тогда для радиального ускорения, покоящегося относительно гравипроводника с гравитоком пробного заряда, получаем следующие выражения:

$$\left. \begin{aligned} a_{\text{пз}^+}^Y &= \frac{K_{\text{лз}} C v_0 \mathfrak{U}_{\text{пб}}^Y z_{\text{пб}}}{k_{\text{вп}}^{\text{обш}} m_{\text{пз}}^{\text{ин}}} = -\frac{v_0 (V_{\Gamma p})^2 m_{\Delta L}^{\text{гр}} z_{\text{пб}}}{k_{\text{вп}}^{\text{обш}} 2\pi^2 C y m_{\text{пз}}^{\text{ин}}}, \\ a_{\text{пз}^-}^Y &= \frac{K_{\text{лз}} C v_0 \mathfrak{U}_{\text{нб}}^Y z_{\text{нб}}}{k_{\text{вп}}^{\text{обш}} m_{\text{пз}}^{\text{ин}}} = \frac{v_0 (V_{\Gamma p})^2 m_{\Delta L}^{\text{гр}} z_{\text{нб}}}{k_{\text{вп}}^{\text{обш}} 2\pi^2 C y m_{\text{пз}}^{\text{ин}}}. \end{aligned} \right\} \quad (8-8)$$

Определение 8-3. Гравипроводник с гравитоком вызывает радиальное гравиелектрическое ускорение покоящегося относительно него пробного заряда прямо пропорциональное квадрату скорости гравипроводника, величине пробного заряда, гравиелектрическому заряду элемента гравипроводника и обратно пропорциональное произведению расстояния между пробным зарядом и гравипроводником на инертмассу пробного заряда.

Знак этого ускорения согласно формуле (8-8) зависит только от знака пробного заряда, т. е. позитивные заряды получают обратное радиальное приращение ускорения, а негативные заряды получают прямое радиальное приращение ускорения.

В отличие от электрических эфирпотоков, гравиефирпотоки носят глубинный характер, т. к. они охватывают не только головные, но и хвостовые подпространства. Как говорилось выше, к глубинным эфирным потокам относятся и сэпсвращения эфира, по той же причине. Следовательно, гравипроводник с гравитоком вызывает не только описанные в четвёртом и пятом случае гравиелектрические ускорения пробного заряда, но и соответствующие гравииускорения ведомого гравииобъекта, которые, как и ускорения, рассмотренные во втором и третьем случае, не являются существенными для магнитных полей. Независимо от природы эфирпотоков все они (по крайней мере, большинство из них) воспринимаются нами как магнитные поля, так сэпсвращение эфира проявляется как магнитное поле лептонов, электровращение эфира проявляется как магнитное поле проводника с током, эфирпотоки вызываемые электромагнитными волнами тоже проявляются как магнитные поля. Об электромагнитных волнах подробно сказано во второй части Космометрии. Естественно предположить, что гравивращение эфира также проявляются как магнитное поле, что подтверждается наличием магнитных полей у всех вращающихся вокруг своей оси тел, в том числе и небесных тел.

Проанализируем процесс возникновения магнитных полей у вращающихся небесных тел. Любое вращающееся вокруг собственной оси тело (гравииобъект), является сферическим грависоленоидом, плотно упакованным круговыми гравитоками. Для большей ясности вы-

берем в качестве анализируемого грависоленоида нашу планету Земля, а в качестве анализируемого кругового гравитока мысленно выберем материальную трубку с квадратным поперечным сечением в один квадратный метр проложенную вдоль её экватора. Естественно, что весь объём планеты условно состоит из огромного количества таких трубок с различным радиусом их оси, но не большим радиуса экватора. Радиус выбранной нами трубки равен радиусу экватора Земли, следовательно, эта трубка вполне подпадает под категорию бесконечно длинного прямолинейного гравипроводника с гравитоком, назовём его гравиекватором. Гравискорость гравиекватора $V_{ГЭ}$ направлена, как известно, с запада на восток. Следовательно, гравиток гравиекватора $\dot{I}_{ГЭ}$ направлен в противоположную сторону, т. е. с востока на запад (см. [рис. 8.1](#), стр.125), а скорость эфирных потоков направлена с запада на восток и убывает по мере удаления от поверхности земли (см. формулы (8-3) и (8-4), стр.127).

Следовательно, гравивращение эфира (см. [опр. 7-5](#), стр.116) вызываемое грависоленоидом Земли аналогично вышеописанному гравивращению эфира вызванному гравипроводником с гравитоком и электровращению эфира описанному в седьмой главе, но отличаются от последнего несоизмеримо меньшей мощностью. Но это отличие частично компенсируется за счёт несоизмеримо большего числа круговых гравиелектрических токов в грависоленоиде Земли, и несмотря на это изначальные гравимагнитные поля грависоленоидов небесных тел сами по себе крайне слабы. Со временем первичные гравимагнитные поля наводят в объёме небесных тел вторичные магнитные поля, которые в отличие от первичных полей гораздо мощнее и не привязаны к оси вращения небесного тела. Изначально наведенные гравимагнитные поля привязаны к оси вращения небесного тела, но поскольку намагниченные массы могут перемещаться по объёму небесного тела, и возможно в связи с некоторыми прочими обстоятельствами их магнитные полюса блуждают по поверхности планеты. Следовательно, не смотря на то, что полюса первичных магнитных полей грависоленоидов в точности должны совпадать с их географическими полюсами, магнитные полюса небесных тел часто не совпадают с географическими полюсами.

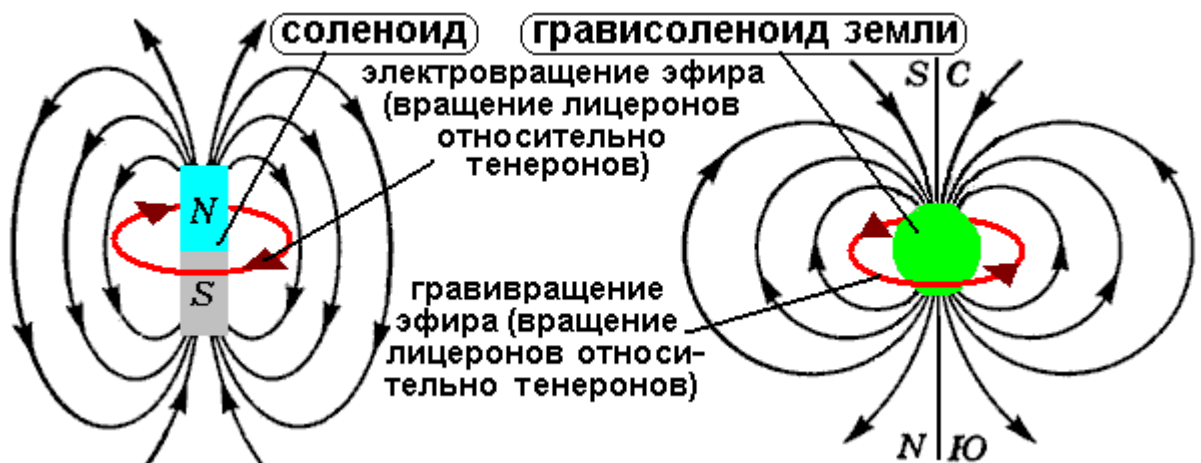


Рисунок 8.2

Из рисунка 8.2 следует, что если смотреть со стороны полюса N соленоида (грависоленоида земли) то мы видим, что электрический ток соленоида (гравиток грависоленоида земли) направлен против часовой стрелки, а электровращение (гравивращение) эфира направлено по часовой стрелке. Если же смотреть со стороны полюса S соленоида (грависоленоида земли) то мы видим, что электрический ток соленоида (гравиток грависоленоида земли) направлен по часовой стрелке, а электровращение (гравивращение) эфира направлено против часовой стрелки. Этот факт в очередной раз свидетельствует, что автор на правильном пути.

Выше мы подробно разобрались с магнитными полями проводника с током и гравипроводника с гравитоком, откуда с помощью соответствующей научной и технической литературы не трудно разобраться с электрическими соленоидами. Что касается грависоленоидов, то они мало чем отличаются от электрических соленоидов, а у автора нет желания переписывать известные данные о соленоидах, о наведенном магнетизме и т. п. Поэтому автор обрывает на этом свой анализ магнитных полей небесных тел, и надеется, что ему удалось убедительно объяснить читателям, откуда берутся магнитные поля небесных тел.

По мнению автора, данная версия происхождения магнитных полей вращающихся небесных тел подтверждает адекватность данной гипотезы и сама по себе вполне приемлема.

ЗАКЛЮЧЕНИЕ

По первой главе.

Из содержания данной главы следует, что слухи о параллельных мирах имеют некоторый смысл, но Матрица Мирозданий явно не вкладывается в словосочетание «параллельные миры» и, в отличие от догадок журналистов, здесь приведена достаточно полная и логически обоснованная картина мирозданий (целый «город» мирозданий). Подытожим содержание данной главы, следующими выводами:

- открыта Матрица Мирозданий – Кардинальная реальность и высокоупорядоченный процесс её проявления (Вторичная реальность);
- открыты и определены основные элементы Вторичной реальности (в том числе и наше мироздание) и отношения между ними;
- раскрыта фундаментальная сущность «нашего» мироздания (Стивды), его вселенных и всевозможных объектов этих вселенных;
- открыта четырёхмерная вселенная (Одис-Фея), в которой расположен фундамент «нашей» Вселенной (Сам-Батэры), и выяснено её значение и место в Матрице Мирозданий;
- показано, что вся вторичная реальность, к которой относится и Сам-Батэра это всеобщий непрерывно меняющийся и при этом никогда и нигде не повторяющийся процесс проявления Кардинальной Реальности. Следовательно, ни объекты вселенных, ни сами вселенные и даже мироздания не являются вечными и неизменными, они когда-то возникают, за тем развиваются и со временем исчезают, а тем временем рождаются новые локальные процессы. Многим трудно себе представить как, например, может бесследно исчезнуть Сам-Батэра («наша» вселенная) вместе со всеми своими галактиками, цивилизациями и другими грандиозными объектами, но такое событие вполне реально. Такое событие может произойти по предельно понятным причинам, например, если четырёхмерная пространствообразующая среда Самбатэрпространства, которая является объектом Одис-Феи, неожиданно столкнётся с другим достаточно крупным объектом Одис-Феи, или если эта среда просто изменит своё состояние (подобное по значимости агрегатному состоянию «наших» объектов), по каким-либо причинам;
- открыта возможность для фундаментального исследования элементарных частиц (локальных микропроцессов проявления Кардинальной Реальности) Сам-Батэры.

Следовательно, фундаментальные теоретические исследования автора помогли ему открыть такие важнейшие для науки объекты как Кардинальная Реальность, Стивда, Одис-Фея, Одисфейпространство, Самбатэрсреда и неизвестные науке основные элементарные процессы Сам-Батэры. Выраженная здесь автором уверенность в том, что четырёхмерный мир существует, возможно, воспринимается как дерзость, т. к. в пределах данной статьи этот мир выглядит как предположение. Но поскольку на основании этого предположения автору удалось открыть новые для науки элементарные (в прямом смысле) частицы, выявить их структуру и структуру уже известных частиц и самого Самбатэрпространства, прояснить сущность всех четырёх типов взаимодействий и многое другое, то это уже не предположение, а факт;

В конце первой обобщающей главы приводится взгляд на Матрицу Мирозданий в философском аспекте.

По второй главе.

- Открыты основополагающие элементы Самбатэрпространства – эфироны и эфирная информация и их взаимоотношения. Эфироны являются наполнителями всех без исключения процессов Сам-Батэры, а эфирная информация управляет эфиронами и, следовательно, всеми без исключения процессами Сам-Батэры.
- Раскрыты основные свойства эфионов и эфирной информации.
- Открыты головные (лицевое и теневое) подпространства и серия хвостовых подпространств Самбатэрпространства.
- Проведен фундаментальный анализ геометрических и физических компонент Самбатэрпространства.
- Открыты основные принципы управления Сам-Батэрой и Самбатэрпространством, т. е. «нарисована» ясная картина их организации.

По третьей главе.

- Открыт и всесторонне исследован фундаментальный всеобrazующий процесс Сам-Батэры (вэпс).
- Открыты основные структурные элементы вэпса и отношения между ними.
- Проведен фундаментальный анализ структуры вэпса и его элементов, геометрии и динамики вэпса.
- Открыт механизм электромагнитных взаимодействий, процесс рождения элементарного электрического заряда и его структурных элементов, а также механизм процесса аннигиляции.

По четвёртой главе.

- Открыт и всесторонне исследован основной стабильный процесс Сам-Батэры (сэпс).
- Открыты структурные элементы сэпса и отношения между ними.
- Открыто сэпсовое вращение эфира, которое является первопричиной многих явлений, в том числе и гравитационных и магнитных взаимодействий между сэпсами.
- Открыты основные структурные элементы лептонов и отношения между ними.

По пятой главе.

- Проведены фундаментальные исследования геометрии и динамики Одисфейпространства и в частности сэпса.
- Открыт и всесторонне исследован гравитон.
- Открыты основные структурные элементы гравитона и отношения между ними.
- Открыт и всесторонне исследован механизм гравитационных взаимодействий.
- Открыта сущность гравимассы и инертмассы, механизм их возникновения и принципиальные различия между ними.
- Открыт механизм инерции движения объектов Сам-Батэры.
- Открыт слабый гравиелектрический эффект, который является первопричиной многих не понятых наукой явлений, в том числе и слабых взаимодействий.

По шестой главе.

- Открыта геометрия и структура нуклонов и отношения между их структурными элементами.
- Раскрыт механизм распада нейтрона и формирования атома водорода.
- Раскрыты причины и механизмы сильных и слабых взаимодействий.
- Открыты два типа связей между нуклонами, действия которых показаны на примере атома гелия-4.
- Показана одна из возможных версий «большого взрыва», из которой следует предельно понятная причина ускоренного расширения Вселенной и многое другое.

По седьмой главе.

Раскрыта сущность и механизм воздействия проводника с током на окружающее его Самбатэрпространство, и объяснены все возможные реакции пробного заряда движущегося в окрестности проводника с током на эти воздействия. Выведены основные физические формулы,

касающиеся данной темы чисто теоретическим путём. В предыдущих главах выведено немало физических формул касающихся других тем.

По восьмой главе.

Открыто свойство движущейся гравимассы возбуждать в Самбатэрпространстве магнитные поля, обусловленные самим движением гравимассы. Раскрыта сущность стабильных магнитных полей стабильно вращающихся тел и в частности небесных тел.

Очевидно, теперь настала очередь пояснить, в чём заключается новизна данных исследований. По мнению автора Сам-Батэру можно сравнить с мощным деревом, корневая система которого расположена в Одис-Фее, которую в свою очередь также можно представить в виде дерева, только дерева более высокого порядка. Исторически случилось так, что люди начали изучать «дерево Сам-Батэры» с самой верхушки, т. е. они изначально сталкивались с верхушечными тонкими веточками, затем заметили, что эти веточки соединяются в более крупные ветки и т. д.. На современном этапе наука дошла до основания четырёх самых крупных ветвей «дерева Сам-Батэры», а её попытки нащупать «ствол этого дерева» пока не увенчались успехом. Автор выбрал логически более обоснованный, на его взгляд, научный путь и, следовательно, начал с системы питания этого «дерева», т. е. с его корневой системы. Идя этим путём, он дошёл до упомянутых выше четырёх основных ветвей «дерева Сам-Батэры», где и встретился с «караваном» современной науки. Идя таким путем, автор обнаружил то, что у «дерева Сам-Батэры» нет ствола, а его четыре основные ветви прорастают прямо из корневой системы. Очевидно, что для жизнедеятельности нашей цивилизации самой важной частью «дерева Сам-Батэры» является его крона, но как будет показано в третьей части теоретических исследований автора, без знаний корневой системы «дерева Сам-Батэры» нам не обойтись.

Следовательно, автор продвигался по научному пути диаметрально противоположному (обратному) относительно общепринятого научного пути. Поскольку автору неизвестны исследователи, которые исследовали мир «обратным» научным путём, то ему практически не на кого было ссылаться в своей работе. Поэтому в важной для научных работ части (списке использованной литературы) содержится всего три элемента.

Очевидно, что в предлагаемой первой части теоретических исследованиях автора раскрыты не все объявленные во введении темы, но автор планирует после публикации первой части «Космометрии» предложить научному сообществу её вторую часть, а после второй части планируется завершающая третья часть, ради которой и проводились данные исследования.

ПРИЛОЖЕНИЕ: СПИСОК ЭЛЕМЕНТОВ ТЕКСТА С НОВЫМИ ЗНАЧЕНИЯМИ

Каждый элемент данного списка состоит из элемента текста с новым значением и номера страницы, на которой впервые введен и определен данный элемент текста с новым значением.

- Абсолютное радиальное смещение эфилона — [31](#).
- Абсолютные роторные смещения эфиронов — [57](#).
- Активные неаблоки проводника — [108](#).
- Активные позиблоки проводника — [108](#).
- Активные позисэпсы нуклона — [101](#).
- Атомные фиксаторы — [105](#).
- Биполус сэпсимпульса — [53](#).
- Бисэпсовое нейтрино — [100](#).
- Бифуркационный цикл — [40](#).
- Бифурцикл — [40](#).
- Блокфиксаторы — [70](#).
- Ведомое вэсполе — [37](#).
- Ведомый вэспблок — [37](#).
- Ведущее вэспполе — [37](#).

- Ведущий вэпсистоичник — [37](#).
- Веер вэсполя — [48](#).
- Вершина негаблока — [35](#).
- Вершина позиблока — [35](#).
- Виртуальная порядкообразующая сфера подвижной точки — [55](#).
- Внешнее пространство вэпса — [34](#).
- Внешнее роторное кольцо — [66](#).
- Внешние воздействия на n-мерную вселенную — [9](#).
- Внешние полюса порядкообразующих сфер — [35](#).
- Внешний полувеер — [48](#).
- Внешний полуподвеер — [48](#).
- Внешний полюс сэпсимульса — [53](#).
- Внешняя составляющая эксцентриситета — [38](#).
- Внутреннее пространство вэпса — [34](#).
- Внутреннее роторное кольцо — [66](#).
- Внутренние взаимодействия в n-мерной вселенной — [9](#).
- Внутренние полюса порядкообразующих сфер — [35](#).
- Внутренний закон сохранения энергии — [9](#).
- Внутренний полувеер — [48](#).
- Внутренний полуподвеер — [48](#).
- Внутренний полюс сэпсимульса — [53](#).
- Внутренняя составляющая эксцентриситета — [38](#).
- Волна инерционных грависмещений — [84](#).
- Волно-вихревые объекты — [5](#).
- Восстановительные смещения эфирионов — [67](#).
- Восстановительный цикл роторных смещений эфирионов — [66](#).
- Впадина негаблока — [35](#).
- Впадина позиблока — [35](#).
- Вращательный эксцентриситет сэпса — [77](#).
- Всеобразующие элементарные процессы Сам-Батэры — [32](#).
- Вторичная реальность — [10](#).
- Вэпсблок — [32](#).
- Вэпсгорки — [35](#).
- Вэпсгорсфера — [36](#).
- Вэпсдополнение сэпса — [52](#).
- Вэпсимульсы — [42](#).
- Вэпсистоичники вэсполей — [42](#).
- Вэпслунки — [35](#).
- Вэпслунсфера — [36](#).
- Вэпсовая составляющая сэпссмещения эфирионов — [61](#).
- Вэпсовые порядкообразующие сферы — [36](#).
- Вэпсовый суп — [47](#).
- Вэсполе — [36](#).
- Вэсполе сэпса — [68](#).
- Вэпсфера — [36](#).
- Вэпстраектория спонтанной встречи — [47](#).
- Вэпсы — [32](#).
- Гиперось вращения — [74](#).
- гиперось вращения 4D тела — [74](#).

- Главная ось нейтрона — [101](#).
- Главная плоскость нейтрона — [100](#).
- Главная поперечная ось вэпса — [33](#).
- Главная продольная ось вэпса — [33](#).
- Главная продольная ось гэпса — [80](#).
- Главная сфера — [19](#).
- Главная экваториальная плоскость вэпса — [34](#).
- Главное меридианное сечение сэпсипульса — [53](#).
- Главные линии встречи — [47](#).
- Главные плоскости встречи — [47](#).
- Главный меридиан сэпсипульса — [53](#).
- Главный центр вэпса — [33](#).
- Глобальная n-мерная вселенная — [5](#).
- Глобальное n-мерное физическое пространство — [5](#).
- Глубинное состояние объектов — [14](#).
- Головное подмножество подпространств — [17](#).
- Головное ядро сэпса — [78](#).
- Головные сэпсесечения сэпса — [75](#).
- Гравивращение эфира — [127](#).
- Гравикольцо — [125](#).
- Гравилюфтскачок — [81](#).
- Гравилюфты — [81](#).
- Гравинормальные смещения — [77](#).
- Гравиполе — [78](#).
- Гравиполе гравитона — [78](#).
- Гравиполе сэпса — [78](#).
- Гравиполе сэпсесечения сэпса — [78](#).
- Гравипроводник — [125](#).
- Гравипроводник с гравитоком — [125](#).
- Гравискорость гравипроводника — [125](#).
- Грависмещение — [78](#).
- Грависоленоид — [132](#).
- Гравитационное вращение эфира — [127](#).
- Гравитационные отношения — [79](#).
- Гравитационные эфирпотоки — [127](#).
- Гравитационный цикл — [84](#).
- Гравитационный элементарный процесс — [79](#).
- Гравиток гравипроводника — [125](#).
- Гравиток гравипроводника бесконечной длины — [131](#).
- Гравитраектория сэпсблока — [82](#).
- Гравицикл — [84](#).
- Гравиекватор — [133](#).
- Гравиелектрические взаимодействия — [97](#).
- Гравиелектрический заряд элемента гравипроводника — [130](#).
- Гравиефирпотоки — [127](#).
- Гравиядро — [78](#).
- Движение условного источника — [42](#).
- Действительные эфиксаторы — [23](#).
- Динамическая система координат сэпса (ДСКС) — [53](#).

- Динамические эфирные отношения — [8](#)
- Динамический эфиксатор — [22](#).
- Динамическое n-мерное физическое пространство — [9](#).
- Динамическое эфирпотоковое смещение обратной последовательности — [116](#).
- Динамическое эфирпотоковое смещение прямой последовательности — [116](#).
- Дипольное поле смещений вэпса — [36](#).
- Дополнение вэпсблока к вэпсу — [36](#).
- Дополнительное вэпсполе — [36](#).
- Задний веер импульсного следа — [54](#).
- Закон динамизма нетривиальных эфирных отношений — [9](#).
- Закон единства пары нормальных смещений эфирионов — [32](#).
- Затухающие вселенные — [9](#).
- Запредельные миры — [5](#).
- Значимые вселенные — [6](#).
- Импульсный след сэпсблока — [52](#).
- Инертмасса — [41](#).
- Инертность центральных полей — [91](#).
- Инерционная гравиволна — [84](#).
- Инерционные грависмещения сэпссечений — [81](#).
- Инерционный цикл — [40](#).
- Интенсивность излучения эфирной информации — [21](#).
- Интенсивность переноса эфирной информации — [21](#).
- Интенсивность поглощения эфирной информации — [21](#).
- Интенсивность фонового потока эфирной информации — [28](#).
- Источник восстановительных смещений эфирионов сэпса — [67](#).
- Кардинальная реальность — [10](#).
- Кардинальная сэпсфаза — [63](#).
- Кардинальное состояние сэпсимпульса — [60](#).
- Кардинальный сэпсовый угол — [63](#).
- Квантом эфирных отношений — [8](#).
- Квант поворота сэпса — [76](#).
- Квант расстояния произвольномерного пространства — [8](#).
- Квант расстояния — [41](#).
- Квант скорости — [41](#).
- Квантом эфирных отношений — [7](#).
- Квартата — [34](#).
- Косвенные объекты вселенной — [5](#).
- Косое сближение сэпса — [99](#).
- Косые левые взаимоотношения между нуклонами — [104](#).
- Косые правые взаимоотношения между нуклонами — [103](#).
- Коэффициент адаптации полей смещения эфирионов — [131](#).
- Коэффициент инертности центральных полей смещения эфирионов — [93](#).
- Коэффициент рассеивания мощности — [67](#).
- Коэффициент сэпсвращения эфира — [93](#).
- Левая сторона центрального сечения сэпса — [51](#).
- Левый блокфиксатор — [70](#).
- Линейная зона эфиксатора — [23](#).
- Линейная скорость роторной трубки вдоль стационарной траектории сэпса — [67](#).
- Линейно-наведенные псевдоисточники приращения эфирной информации — [50](#).

- Линейные постнавешенные псевдоисточники — [50](#).
- Лицевая гравитонсфера — [78](#).
- Лицевая продольная ось вэпса — [33](#).
- Лицевая продольная ось гэпса — [80](#).
- Лицевая скорость эфирпотока — [116](#).
- Лицевая сфера — [19](#).
- Лицевое подпространство — [17](#).
- Лицевой вектор — [38](#).
- Лицевой виртуальный импульсный полюс — [55](#).
- Лицевые проекции негативного, позитивного и главного центров вэпса — [33](#).
- Лицевые пучки меридианных плоскостей — [34](#).
- Лицероны — [17](#).
- Макрофиксаторы — [105](#).
- Межслойный гравилюфтскачок — [81](#).
- Меридианные сечения сэпсимпульса — [53](#).
- Меридианные смещения эфирионов — [39](#).
- Меридианы порядкообразующих сфер — [34](#).
- Меридианы сэпсимпульса — [53](#).
- Мироздания «нашего» типа — [11](#).
- Мнимые эфиксаторы — [23](#).
- Молекулярные фиксаторы — [105](#).
- Мононормальные плоскости — [73](#).
- Монопересекающиеся плоскости — [73](#).
- Моносэпсы — [71](#).
- Мощность импульсного следа в стационарной точке — [57](#).
- Мощность источников восстановительных смещений эфирионов сэпса — [67](#).
- Мощность негагорки — [35](#).
- Мощность негалунки — [35](#).
- Мощность позигорки — [35](#).
- Мощность позилунки — [35](#).
- Мультисэпс — [99](#).
- Мультисэпсовый процесс — [99](#).
- Мультисэпсовый фиксатор — [100](#).
- Мультисэпсфиксатор — [100](#).
- Мультисэпсы — [71](#).
- Набухающие вселенные — [9](#).
- Навешенные псевдоцентральные смещения эфирионов — [49](#).
- Наползающие смещения — [82](#).
- Наползающие эксцентриситеты — [82](#).
- «Наше» мироздание — [11](#).
- Негаблок — [32](#).
- Негаблоки проводника — [110](#).
- Негавэпсполе — [36](#).
- Негагорка — [35](#).
- Негагорполе — [36](#).
- Негагорсмещение — [35](#).
- Негагорсфера — [36](#).
- Негалунка — [35](#).
- Негалунполе — [35](#).

- Негалунсмещение — [35](#).
- Негалунсфера — [36](#).
- Негароны — [32](#).
- Негасэпсовое нейтрино — [71](#).
- Негасэпскран — [70](#).
- Негативная ось вэпса — [33](#).
- Негативная спонтанная встреча — [47](#).
- Негативная экваториальная плоскость вэпса — [34](#).
- Негативное нормальное смещение эфилона — [32](#).
- Негативные моноэпсы — [72](#).
- Негативные центры искривления Самбатэрпространства — [35](#).
- Негативный центр вэпса — [33](#).
- Незначимые вселенные — [6](#).
- Нейтральные гравитотношения — [83](#).
- Нейтральные моноэпсы — [71](#).
- Нелинейная зона эфиксатора — [24](#).
- Необразующий эспсимульс импульсного следа — [52](#).
- Неподвижный наблюдатель — [53](#).
- Неполная суперэфиронокрестность — [20](#).
- Неполная эфиронокрестность — [20](#).
- Непорождающий эспсблок импульсного следа — [52](#).
- Непорождающий эспсблок эспсимульса — [53](#).
- Несобственные эспсимульсы эспсблока — [52](#).
- Несобственный импульсный след эспсблока — [52](#).
- Несодержащий импульсный след эспсимульса — [53](#).
- Нестабильные вселенные — [9](#).
- Нормальное меридианное сечение эспсимульса — [53](#).
- Нормальный меридиан эспсимульса — [53](#).
- Нормаось — [75](#).
- Нормаось вращения эспссечения — [76](#).
- Нуклонные фиксаторы — [102](#).
- Нуклонные фиксаторы второго рода — [104](#).
- Нуклонные фиксаторы первого рода — [104](#).
- Нуклонный сердечник — [101](#).
- Нуклонный экран — [101](#).
- Нуклонсердечник — [101](#).
- Нуклонфиксаторы-1 — [104](#).
- Нуклонфиксаторы-2 — [104](#).
- Нуклонэкран — [101](#).
- Нульмерная ось — [74](#).
- Образующие точки импульсного следа — [53](#).
- Образующий эспсимульс импульсного следа — [52](#).
- Обратное продольное направление МСК — [109](#).
- Обратные радиальные направления МСК — [110](#).
- Обратные тангенциальные направления МСК — [110](#).
- Обратный восстановительный процесс — [66](#).
- Объём эфилона — [20](#).
- Одисфейпространство — [14](#).
- Одис-Фея — [14](#).

- Однородные вэсимпульсы — [47](#).
- Однородные сэсимпульсы — [52](#).
- Основная подвижная порядкообразующая сфера подвижной точки — [55](#).
- Основной стабильный процесс Сам-Батэры — [65](#).
- Ось вращения 4D тела — [74](#).
- Ось квартат — [34](#).
- Относительное неагорсместение — [36](#).
- Относительное негалунсместение — [35](#).
- Относительное позигорсместение. — [36](#).
- Относительное позилунсместение — [36](#).
- Относительное радиальное смещение эфилона — [30](#).
- Относительные роторные смещения эфиронов — [58](#).
- Пассивный ядерный неаблок — [102](#).
- Передний веер импульсного следа — [54](#).
- Переходная зона эфиксатора — [25](#).
- Переходная порядкообразующая сфера подвижной точки — [55](#).
- Переходной импульсный полюс — [55](#).
- Период аннигиляции вэпса — [37](#).
- Период развития вэпса — [37](#).
- Период рождения вэпса — [37](#).
- Перпендикуляр к Самбатэрпространству — [73](#).
- Перпендикулярная к Самбатэрпространству двумерная плоскость — [73](#).
- Плечо вэпса — [33](#).
- Плоскость вращения произвольной точки вращающегося 3D тела — [74](#).
- Плоскость вращения сэпсечения — [76](#).
- Плоскость спонтанной встречи — [47](#).
- Подвеер вэсполя — [48](#).
- Подвижный наблюдатель или элемент сэпса — [53](#).
- Позиблок — [32](#).
- Позиблоки проводника — [110](#).
- Позивэсполе — [36](#).
- Позигорка — [35](#).
- Позигорполе — [36](#).
- Позигорсместение — [36](#).
- Позилунка — [35](#).
- Позилунполе — [36](#).
- Позилунсместение — [36](#).
- Позилунсфера — [36](#).
- Позироны — [32](#).
- Позисэпсовое нейтрино — [71](#).
- Позисэпскран — [70](#).
- Позитивная ось вэпса — [33](#).
- Позитивная спонтанная встреча — [47](#).
- Позитивная экваториальная плоскость вэпса — [34](#).
- Позитивное нормальное смещение эфилона — [32](#).
- Позитивные центры искривления Самбатэрпространства — [35](#).
- Позитивные моносэпсы — [72](#).
- Позитивный центр вэпса — [33](#).
- Поле смещений эфиронов — [25](#).

- Поле эфирных давлений — [25](#).
- Полипересекающиеся плоскости — [73](#).
- Полная суперэфиронокрестность — [20](#).
- Полная энергия n-мерной вселенной — [9](#).
- Полная эфиронокрестность — [20](#).
- Полный сэпс — [70](#).
- Полный электрический ток проводника — [112](#).
- Полупустой сэпс — [70](#).
- Поля эфирных потоков — [62](#).
- Поперечная ось вэпса — [33](#).
- Порождающий сэпсблок импульсного следа — [52](#).
- Порождающий сэпсблок сэпсимпульса — [53](#).
- Порядковые эфирные отношения — [7](#).
- Порядкообразующая сфера m-го порядка — [8](#).
- Порядкообразующая сфера второго порядка — [8](#).
- Порядкообразующая сфера первого порядка — [8](#).
- Последующая вселенная k-го порядка — [6](#).
- Последующая вселенная второго порядка — [6](#).
- Последующая вселенная первого порядка — [6](#).
- Поступательный эксцентриситет сэпса — [77](#).
- правая сторона центрального сечения сэпса — [51](#).
- Правый блокфиксатор — [70](#).
- Предельное равновесие — [48](#).
- Предельные вэпсблоки — [47](#).
- Предельный полюс — [47](#).
- Предыдущая вселенная k-го порядка — [6](#).
- Предыдущая вселенная второго порядка — [6](#).
- Предыдущая вселенная первого порядка — [6](#).
- Продольная ось МСК — [109](#).
- Промежуточные точки импульсного следа — [53](#).
- Простой гравитон — [78](#).
- Пространствообразующая среда — [5](#).
- Пространствообразующие сферы — [19](#).
- Прямая линия Самбатэрпространства — [32](#).
- Прямое продольное направление МСК — [109](#).
- Прямое радиальное направление МСК — [110](#).
- Прямое сближение сэпсов — [109](#).
- Прямолинейный гравипроводник бесконечной длины с гравитоком — [125](#).
- Прямые левые взаимоотношения между нуклонами — [103](#).
- Прямые объекты вселенной — [5](#).
- Прямые правые взаимоотношения между нуклонами — [103](#).
- Прямые тангенциальные направления МСК — [110](#).
- 4D псевдотело — [73](#).
- Пустая суперэфиронокрестность — [20](#).
- Пустая эфиронокрестность — [20](#).
- Радиальная ось МСК — [109](#).
- Радиальная сэпсось произвольной точки сэпса — [61](#).
- Рама нашего сознания — [15](#).
- Реальные источники эфирной информации — [25](#).

- Роторная составляющая сэлссмещения эфионов — [61](#).
- Роторные смещения эфионов — [56](#).
- Роторный источник стационарной точки — [66](#).
- Роторный приёмник стационарной точки — [66](#).
- Сам-Батэра — [14](#).
- Самбатэрпространство — [14](#).
- Самбатэрсреда — [14](#).
- Сильное раздвоение нуклонэкрана — [102](#).
- Система координат вэпса — [33](#).
- Скоростной эфирпотоковый массив — [118](#).
- Слабое раздвоение нуклонэкрана — [101](#).
- Слабый гравизлектрический эффект — [96](#).
- Смещение эфиксатора — [22](#).
- Смещение эфиона — [22](#).
- Собственные сэлсимпульсы сэлсблока — [52](#).
- Собственный импульсный след сэлсблока — [52](#).
- Совмещённый роторный источник — [67](#).
- Совмещённый роторный приёмник — [67](#).
- Содержащий импульсный след сэлсимпульса — [52](#).
- Соось вращения — [74](#).
- Соось вращения сэлссечения — [76](#).
- Составной гравитон — [78](#).
- Спектр направлений — [21](#).
- Сползающие смещения — [82](#).
- Сползающие эксцентриситеты — [82](#).
- Спонтанная встреча — [47](#).
- Стабильные вселенные — [9](#).
- Стабильный элементарный процесс Сам-Батэры — [51](#).
- Стационарная траектория сэлса — [67](#).
- Стационарные точки импульсного следа — [53](#).
- Стационарный эфиксатор — [22](#).
- Степень составного гравитона — [78](#).
- Стивда — [11](#).
- Стивдпространство — [11](#).
- Суперобъём эфиона — [20](#).
- Суперспектр направлений — [21](#).
- Суперэфиронокрестность — [20](#).
- Сэлс — [51](#).
- Сэлсблоки — [52](#).
- Сэлсвращение эфира — [62](#).
- Сэлсдополнение сэлсблока — [52](#).
- Сэлсимпульс [52](#).
- Сэлсовая ось нейтрона — [100](#).
- Сэлсовое вращение эфира — [62](#).
- Сэлсовый экран — [68](#).
- Сэлсрадиус — [52](#).
- Сэлсстепень — [67](#).
- Сэлстраектория — [51](#).
- Сэлсфаза — [57](#).

- Сэпсчастота — [67](#).
- Сэпсэкран — [68](#).
- Сэпсядро — [78](#).
- Тангенциальная ось МСК — [110](#).
- Тангенциальное смещение эфилона — [31](#).
- Текущее плечо гэпса — [80](#).
- 3D тело — [73](#).
- 4D тело — [73](#).
- Теневая гравитонсфера — [78](#).
- Теневая продольная ось вэпса — [33](#).
- Теневая продольная ось гэпса — [80](#).
- Теневая скорость эфирпотока — [116](#).
- Теневая сфера — [19](#).
- Теневое подпространство — [18](#).
- Теневой вектор — [38](#).
- Теневой виртуальный импульсный полюс — [55](#).
- Теневые проекции негативного, позитивного и главного центров вэпса — [33](#).
- Теневые пучки меридианных плоскостей — [34](#).
- Тенероны — [18](#).
- Торообразные области сэпса — [66](#).
- Траектория условного источника — [42](#).
- Тривиальная сэпстраектория — [82](#).
- Тривиальное n-мерное физическое пространство — [8](#).
- Тривиальные эфирные отношения — [8](#).
- Угол грависцепления — [82](#).
- Ударная частота импульсного следа — [57](#).
- Управляющее пространство — [38](#).
- Условно пустая суперэфиронокрестность — [20](#).
- Условно пустая эфиронкрестность — [20](#).
- Условно пустой эфиксатор — [24](#).
- Условные источники эфирной информации — [25](#).
- Условные центральные источники приращения интенсивности эфирной информации — [30](#).
- Условный источник эфирной информации — [42](#).
- Усреднённое воздействие срединного сэпсечения — [84](#).
- Хвостовые сэпсечения сэпса — [75](#).
- Центр вращения 3D тела — [74](#).
- Центр вращения произвольной точки вращающегося 3D тела — [74](#).
- Центр гэпса — [80](#).
- Центр нейтрона — [100](#).
- Центр сэпсечения — [76](#).
- Центральное поле приращений интенсивности радиального переноса эфирной информации — [25](#).
- Центральное сечение сэпса — [51](#).
- Центральноточечные смещения эфиронов — [114](#).
- Экваториальное сечение (экватор) сэпсимпульса — [53](#).
- Экваторы породообразующих сфер — [34](#).
- Экранполе сэпса — [68](#).
- Эксцентриситет ведомого вэпсблока — [38](#).

- Электрические эфирпотoki — [116](#).
- Электровращение эфира — [116](#).
- Электронный фиксатор атома — [102](#).
- Элемент негативной лицевой мощности проводника — [111](#).
- Элемент негативной теневой мощности проводника — [111](#).
- Элемент позитивной лицевой мощности проводника — [111](#).
- Элемент позитивной теневой мощности проводника — [111](#).
- Элемент полной мощности проводника с током — [112](#).
- Элементарная гравимасса — [88](#).
- Элементарная инертмасса — [88](#).
- Элементарный гравиелектрический заряд — [131](#).
- Элементы сэлсдополнения — [52](#).
- Энергия вселенной — [9](#).
- Эфиксатор — [22](#).
- Эфирная информация Самбатэрпространства — [17](#) и [20](#).
- Эфирное давление — [21](#).
- Эфирные взаимодействия — [7](#).
- Эфирные отношения — [7](#).
- Эфирные отношения m-го порядка — [8](#).
- Эфирные отношения второго порядка — [8](#).
- Эфирные отношения первого порядка — [8](#).
- Эфирный поток — [115](#).
- Эфирный фиксатор — [22](#).
- Эфинокрестность — [20](#).
- Эфироны Самбатэрпространства — [17](#).
- Эфирпоток — [115](#).
- Эфирпотокoвое поле — [116](#).
- Ядерная ось — [103](#).
- Ядерный блокфиксатор — [102](#).

ЛИТЕРАТУРА:

- [1] – Дж. Конвей, Н. Слоэн «Упаковки шаров, решетки и группы» ч. 1. издательства «мир» 1990г.
- [2] – Н. С. Пискунов «Дифференциальное и интегральное исчисления» для втузов т. 1 МОСКВА 1965г.
- [3] – Б.М. Яворский А.А. Детлаф «Справочник по физике» МОСКВА 1985г